

Universidade Estadual Paulista "Júlio de Mesquita Filho"



FACULDADE DE ENGENHARIA DE BAURU PROGRAMA DE PÓS-GRADUAÇÃO EM ENGENHARIA MECÂNICA ÁREA DE PROCESSOS DE FABRICAÇÃO

VALTER ROBERTO DE BRITO CELESTINO

ESTUDO DO COMPORTAMENTO FÍSICO E MECÂNICO DE PAINÉIS AGLOMERADOS FABRICADOS COM PARTÍCULAS DE TECTONA GRANDIS E CORYMBIA CITRIODORA

BAURU, SP

Setembro-2020

VALTER ROBERTO DE BRITO CELESTINO

ESTUDO DO COMPORTAMENTO FÍSICO E MECÂNICO DE PAINÉIS AGLOMERADOS FABRICADOS COM PARTÍCULAS DE TECTONA GRANDIS E CORYMBIA CITRIODORA

Tese apresentada ao programa de Pós-Graduação em Engenharia Mecânica, na área de Processos de Fabricação, da Faculdade de Engenharia de Bauru, como parte dos requisitos para obtenção do título de Doutor em Engenharia Mecânica.

Orientador: Prof. Dr. Ivaldo De Domenico Valarelli

BAURU, SP

Setembro-2020

Celestino, V. R. B.

Estudo do comportamento físico e mecânico de painéis aglomerados fabricados com partículas de Tectona grandis e Corymbia citriodora / Valter Roberto de Brito Celestino, 2020 210 f.

Orientador: Prof. DR° Ivaldo De Domenico Valarelli

Tese (Doutorado) – Universidade Estadual Paulista. Faculdade de Engenharia, Bauru, 2020.

1. Painéis de Partículas. 2. Tectona grandis. 3. Corymbia citriodora. 4. Resina poliuretana. 5. microtomografia. 6. Densitometria de raios X.

I. Universidade Estadual Paulista. Faculdade de Engenharia. II Título.



UNIVERSIDADE ESTADUAL PAULISTA



Câmpus de Bauru

ATA DA DEFESA PÚBLICA DA TESE DE DOUTORADO DE VALTER ROBERTO DE BRITO CELESTINO, DISCENTE DO PROGRAMA DE PÓS-GRADUAÇÃO EM ENGENHARIA MECÂNICA, DA FACULDADE DE ENGENHARIA - CÂMPUS DE BAURU.

Aos 13 dias do mês de julho do ano de 2020, às 09:30 horas, no(a) Via Sistema de videoconferência e outras ferramentas de comunicação a distância, reuniu-se a Comissão Examinadora da Defesa Pública, composta pelos seguintes membros: Prof. Dr. IVALDO DE DOMENICO VALARELLI -Orientador(a) do(a) Departamento de Engenharia Mecânica / Faculdade de Engenharia de Bauru -UNESP, Prof. Dr. EDUARDO CARLOS BIANCHI do(a) Departamento de Engenharia Mecânica / FEB/UNESP/Bauru, Prof. Dr. MANOEL CLÉBER DE SAMPAIO ALVES do(a) Departamento de Materiais e Tecnologia / Faculdade de Engenharia de Guaratinguetá, Prof. Dr. LUIZ DARE NETO do(a) Departamento de Engenharia Mecânica / Faculdade de Engenharia de Bauru - UNESP, Prof. Dr. ELSON AVALLONE do(a) Departamento de Indústria / Instituto Federal de Educação, Ciência e Tecnologia de São Paulo (IFSP) - Câmpus de Catanduva/SP, sob a presidência do primeiro, a fim de proceder a arguição pública da TESE DE DOUTORADO de VALTER ROBERTO DE BRITO CELESTINO, intitulada ESTUDO DO COMPORTAMENTO FISICO E MECANICO DE PAINEIS AGLOMERADOS FABRICADOS COM PARTÍCULAS DE TECA E CORYMBIA CITRIODORA. Após a exposição, o discente foi arguido oralmente pelos membros da Comissão Examinadora, tendo recebido o conceito final: APROVADO . Nada mais havendo, foi lavrada a presente ata, que após lida e aprovada, foi assinada pelos membros da Comissão Examinadora.

Prof. Dr. IVALDO DE DOMENICO VALARELLA

Prof. Dr. EDUARDO CARLOS BIANCHI

Prof. Dr. MANOEL CLÉBER DE SAMPAIO ALVES

Prof. Dr. LUIZ DARE NETO

Prof. Dr. ELSON AVALLONE

Faculdade de Engerhana - Câmpus de Bauru -Avenida Engenharo Luiz Edmundo Camijo Coube, 14-01, 17033350, Bauru - São Paulo http://www.feb.unesp.br/posgrad_mecândex.phpCNPJ-48.031.918/0030-69.





PROPOSTA PARA ALTERAÇÃO DE TÍTULO

A BANCA EXAMINADORA PROPÕE A ALTERAÇÃO DO TÍTULO DO TRABALHO DO ALUNO: **VALTER ROBERTO DE BRITO CELESTINO**

DE: "ESTUDO DO COMPORTAMENTO FISÍCO E MECÂNICO DE PANÉIS AGLOMERADOS FABRICADOS COM PARTICULAS DE TECA E CORYMBIA CITRIODORA"

PARA: "ESTUDO DO COMPORTAMENTO FÍSICO E MECÂNICO DE PAINÉIS AGLOMERADOS FABRICADOS COM PARTÍCULAS DE TECTONA GRANDIS E CORYMBIA CITRIODORA"

Prof. Dr. Ivaldo de Domenico Valarelli

Bauru, 13de julho de 2020]

Orientador

Dedico este trabalho a toda minha família, meus avós paternos e maternos (in memoriam), meus pais Jarbas Tavares Celestino e Gilza Celeste de Brito, que souberam me ensinar e educar para enfrentar a vida e superar os desafios, minha esposa Cristina de Almeida Oliveira, pelo carinho e atenção e com quem divido todos estes anos de luta, meu filho Péricles Augusto de oliveira Celestino, que serve diariamente de motivação para buscar cada vez mais vitorias ao longo da carreira e da vida.

Dedico também a alma de minha sogra Francisca de Almeida Oliveira, que partiu deixando uma lacuna gigantesca em nossas vidas, que dificilmente será preenchida por palavras, mas onde estiver, receba minha gratidão eterna pelo convívio harmonioso de uma família maravilhosa que me proporcionou fazer parte.

AGRADECIMENTOS

Agradecimento a Deus pai, todo poderoso, por mais um dia, por tudo que eu tenho e pela minha família, e todos aqueles que acompanharam minha trajetória incansável em busca de conhecimento e de um futuro melhor para mim, minha esposa Cristina de Almeida Oliveira e meu filho Péricles Augusto de Oliveira Celestino.

Agradecimento ao professor Dr. Ivaldo De Domenico Valarelli, que como professor e orientador, pode compartilhar de sua amizade sincera e verdadeira, seus conselhos e sua sabedoria ao lidar com seus aprendizes de forma a transformar alunos em parceiros de trabalho e pesquisa, amizade essa que espero aproveitar por muitos anos mais.

Agradecimento ao professor Dr. Manoel Cleber de Sampaio Alves, pela amizade e pela imensa ajuda durante estes anos todos de trabalho, por sua orientação durante o mestrado acadêmico, que proporcionou as condições necessárias para continuar meu empenho e dedicação para a realização dessa jornada de conhecimento até os dias atuais.

Agradecimento especial ao Professor Doutor Eduardo Carlos Bianchi que com paciência e sabedoria nos ajudou a conduzir este trabalho de forma segura com seus conselhos e ensinamentos espetaculares, e que essa amizade seja longa e produtiva sempre.

Agradecimento especial ao professor Dr. Mario Tommaziello Filho, e toda sua equipe, que nos abriram as portas dos laboratórios de processamento de madeira da ESALQ-Piracicaba, contribuindo muito para ampliação do conhecimento em diferentes áreas de trabalho, como a análise tridimensional em estruturas de madeira e compósitos.

Agradecimento aos professores Doutores Carlos Alberto Soufen, Elson Avallone, Luiz Daré Neto e demais professores da UNESP de Bauru, seus técnicos de laboratório, secretários, diretores acadêmicos e todos que direta e indiretamente fazem essa instituição ser reconhecida nacional e internacionalmente.

Agradecimento a todos os colegas de jornada durante o mestrado e agora findando o doutorado acadêmico, sou grato pela amizade e pela oportunidade de estudar e aprender muito com todos vocês.

Agradeço de coração ao amigo Marcus Antônio Pereira Bueno, cuja parceria desde os primeiros dias de trabalhos, vem se agigantando pela sua competência e disposição, rendendo trabalhos muito bons e a satisfação pela certeza de estarmos fazendo o que amamos de paixão, que é pesquisar, construir, estudar e melhorar o mundo com nossa contribuição intelectual através de nossas pesquisas.

CELESTINO, V. R. B. Estudo do comportamento físico e mecânico de painéis aglomerados fabricados com partículas de *Tectona grandis* e *Corymbia citriodora*. 2020. 210f. Tese (Doutorado em Engenharia Mecânica) - Faculdade de Engenharia do Campus de Bauru, Universidade Estadual Paulista, Bauru, 2020.

RESUMO

A diretriz deste trabalho foi a confecção de painéis aglomerados em laboratório, utilizando partículas de madeira Corymbia citriodora e da madeira Tectona grandis, popularmente conhecida como teca, variando a granulometria dos cavacos e utilizando a resina poliuretana à base de óleo de mamona AG101, sob processo de prensagem a 110 ° C e 190 bar de pressão. A densidade alvo foi estabelecida em 750 kg/m³, definindo-o como painel de média densidade, onde foram fabricados 5 traços com adições diferentes de material, com o painel T1 com 100% de partículas de Corymbia, T2 com 75% Corymbia e 25% teca, T3 contendo 50% Corymbia e 50% teca, o painel T4 contendo 25% Corymbia e 75% teca e o quinto painel contém100% de partículas de teca. Para avaliação das qualidades dos painéis construídos, foram realizados ensaios físicos e mecânicos destrutivos e não destrutivos estabelecidos pelas normas NBR 14810-2 (2013), NBR 14810-2 (2002) e ANSI A 208.1 (1993), ensaios não destrutivos de densitometria de raios-X e análise tridimensional dos painéis pelo ensaio de Microtomografia de raio X. A resina PU utilizada na proporção de 10% do peso total do material seco contribuiu com o aumento da resistência mecânica e resistência quanto absorção de água, inchamento e estabilidade nos teores de umidade e respondeu muito bem aos ensaios mecânicos com aplicação de carga, como atestado pela literatura voltada a adesivos indissolúveis. Todos os painéis contendo adição de Tectona grandis em sua composição obtiveram resultados dentro dos requisitos, enquanto o painel T1 e 100% Corymbia não apresentou valores que suprissem a maioria das exigências da NBR 14810-2 (2013). Os ensaios de densitometria mostraram uma excelente conformidade e homogeneidade quanto a densidade estrutural dos painéis, e a avaliação estrutural por microtomografia proporcionou uma análise mais precisa da estrutura tridimensional e o mapeamento de espaços em vazio e detalhes como falhas de preenchimento e falhas de adesão do adesivo no interior dos painéis de partículas aglomeradas.

PALAVRAS-CHAVE: Painéis de partículas, *Tectona grandis*, *Corymbia citriodora*, Resina Poliuretana, Microtomografia, Densitometria de raios X.

CELESTINO, V. R. B. Study of the physical and mechanical behavior of agglomerated panels manufactured with particles of Tectona grandis and Corymbia citriodora. 2020. 210f. Thesis (PhD in Mechanical Engineering) - Bauru Campus School of Engineering, Universidade Estadual Paulista, Bauru, 2020.

ABSTRACT

The guideline of this work was the manufacture of particle board in the laboratory, using particles of Corymbia citriodora wood and Tectona grandis, popularly known as teak, varying the granulometry of chips and using the polyurethane resin based on castor oil AG101, under the process of pressing at 110 ° C and pressure of 190 bar. The design density for medium density panels was established at 750 kg/m³, where 5 traces with different additions of material were manufactured, with the panel T1 with 100% Corymbia particles, T2 with 75% Corymbia and 25% teak, T3 containing 50% Corymbia and 50% teak, the panel T4 containing 25% Corymbia and 75% teak and the fifth panel contains 100% teak particles. For evaluation of the qualities of the panels built, were carried out physical and mechanical destructive and non-destructive tests established by standards NBR 14810-2 (2013), NBR 14810-2 (2002) and ANSI A 208.1 (1993), and non-destructive tests by X-ray densitometry and three-dimensional analysis of the panels by X-ray Microtomography test. The PU resin used in the proportion of 10% of the total weight of the dry material contributed with the increase of the mechanical resistance and resistance as for water absorption, swelling and stability in the moisture contents and responded very well to the mechanical load tests, as described in the literature. All the panels containing the addition of Tectona grandis in its composition obtained results within the normative requirements, while the T1 panel with 100% Corymbia citriodora did not present values that met the requirements of NBR 14810-2 (2013). The densitometry tests showed excellent compliance and homogeneity in the density and structural strength of the panels, and the evaluation by microtomography provided a more accurate analysis of the three-dimensional structure and the mapping of empty spaces and details such as filling failures and adhesion of the adhesive inside the panels.

Keywords: Particle panels, Tectona grandis, Corymbia citriodora, Polyurethane Resin, Microtomography, X-ray, Densitometry.

LISTA DE ABREVIATURAS E SIGLAS

AA Absorção e água

ABIPA Associação Brasileira da Indústria de Painéis de Madeira

ABNT Associação Brasileira de Normas Técnicas

ABRAF Associação Brasileira de Produtores de Florestas Plantadas

ANBG Australian National Botanic Garden

BRACELPA Associação Brasileira de Celulose e Papel

Cc Corymbia citriodora

CMI Centro de Microscopia e Imagem - USP de Piracicaba

CPs Corpos de prova

DAP Diâmetro na altura do peito

ESALQ Escola Superior de Agricultura Luiz de Queiroz

FF Fenol-Formaldeído

HDF High Density Fiberboard

IE Inchamento em espessura

IPT Instituto de Pesquisas Tecnológicas

LPM Laboratório de Processamento de Madeira

MDF Médium Density Fiberboard

MDP Médium Density Particleboard

MF Melamina-Formaldeído
MOE Módulo de Elasticidade

MOR Módulo de Ruptura

Tc Tectona grandis F.t.

UE Umidade de Equilíbrio

UF Uréia-Formaldeído

UNESP Universidade Estadual Paulista "Júlio de Mesquita Filho"

USDA United States Department of agriculture

USP Universidade de São Paulo

LISTA DE SÍMBOLOS

T [°C] Temperatura

Tu [%] Teor de Umidade

bar [kgf/cm²] Unidade de Pressão

Centímetro [cm] Unidade de medida

D [kg/cm³] Densidade

Gramas [g] Unidade de peso Quilograma [kg] Unidade de peso

Força/área [kgf/cm²] Quilograma força por centímetro quadrado

Força/área [kgf/cm³] Quilograma força por centímetro cúbico

kN [100 kgf] Quilo Newton

Metro[m]Unidade de medidaMilímetro[mm]Unidade de medidaMilímetro Cúbico[mm³]Unidade de medida

MPa [MPa=N/cm²] Mega Pascal

N [Kg*m/s²] Newton

Tp [MPa] Tração perpendicular

Ts [MPa] Tração superficial

Micro-CT $[\mu CT]$ Microtomografo

LISTA DE FIGURAS

Figura 1. Áreas de Incidência da Corymbia	.27
Figura 2. Definição dos gêneros e espécies a partir de 1995	.29
Figura 3. Formação e detalhamento da Corymbia citriodora	.30
Figura 4. Detalhes da madeira de Corymbia citriodora	.33
Figura 5. Distribuição natural da Teca no continente Asiático	.36
Figura 6. Produção e exportação de teca de 2005 a 2014	.37
Figura 7. Principais caraterísticas da Tectona grandis	.39
Figura 8. Tipos de Ligações adesivas	.42
Figura 9. Classificação de painéis reconstituídos de madeira	.48
Figura 10. Detalhamento de processamento dos elementos da madeira	.49
Figura 11. Demonstração das zonas de densidade do painel	.55
Figura 12. Construção tridimensional do scanner SkyScan1174	.58
Figura 13. Imagens do funcionamento de um micro-CT SkyScan 1174	.59
Figura 14. Colheita, coleta e processamento da Teca em São Carlos-SP	.61
Figura 15. Colheita, coleta e processamento da Corymbia citriodora	.62
Figura 16. Triturador TM-30 LIPPEL, corrente e tensão de trabalho e cavac	
Figura 17. Etapas de peneiramento e separação das partículas	.64
Figura 18. Distribuição das partículas por granulometria após processo peneiramento.	
Figura 19. Componentes da resina poliuretana AG101	.65
Figura 20. Pesagem e mistura dos componentes do painel	.67
Figura 21 procedimentos de preparação e prensagem dos painéis	.69

Figura 22. Detalhes da prensa e vista dos painéis aglomerados70
Figura 23. Plano de corte e corte e marcação para os ensaios71
Figura 24. Instrumentos para ensaio de análise de densidade73
Figura 25. Equipamentos e medição de absorção de água e inchamento em espessura
Figura 26. Estufa de secagem e corpos de prova em tratamento77
Figura 27. Máquina universal de testes EMIC e ferramentas utilizadas78
Figura 28. Ensaio resistência a flexão e módulo de elasticidade MOR e MOE
Figura 29. Adesivo Compound e colagem dos corpos de prova81
Figura 30. Resistência a tração perpendicular as faces82
Figura 31. Ensaio de resistência a tração superficial84
Figura 32. Corpos de prova e ensaios de arrancamento de parafuso topo e face
Figura 33. Ensaio de Dureza Janka86
Figura 34. Vista em cortes das amostras e fixação no prato defletor88
Figura 35. Fases de preparação e escaneamento por microtomografia de raios X
Figura 36. Detalhe do microdensitômetro QDP 01-X91
Figura 37. Calibração do densitômetro, carro rolamentado e suporte de ensaios
Figura 39. Resultados para a Densidade Básica dos Painéis96
Figura 40. Teores de umidade de cada painel97
Figura 41. Resultados para avaliação da absorção de água99
Figura 42. Dados de ensaios de Inchamento em Espessura100
Figura 43. Resultados de Resistência a flexão estática (MOR)102
Figura 44. Resultados Módulo de elasticidade na tração estática (MOE)104

Figura 45. Resultados para Resistência a Tração Perpendicular	106
Figura 46. Resultados para arrancamento de parafuso topo	108
Figura 47. Arrancamento De Parafuso Na Face Ou Superfície	109
Figura 48. Resultados para Tração superficial	111
Figura 49. Avaliação para resultados de dureza Janka	112
Figura 50. Camada inferior, central e superior painel T1-100% Corymbia	114
Figura 51.Amostra das projeções dos painéis T1	114
Figura 52. Detalhes construtivos da microtomografia em T1	115
Figura 53. Camada inferior, central e superior painel T2	116
Figura 54. Amostra das projeções dos painéis T2	116
Figura 55.Detalhes construtivos da microtomografia em T2	117
Figura 56. Camada inferior, central e superior painel T3	118
Figura 57. Amostra das projeções dos painéis T3	118
Figura 58.Detalhes construtivos da Microtomografia em T3	119
Figura 59. Camada inferior, central e superior painel T4	119
Figura 60.Amostra das projeções dos painéis T4	120
Figura 61. Detalhes construtivos da microtomografia em T4	121
Figura 62. Camada inferior, central e superior painel T5	121
Figura 63. Amostra das projeções dos painéis T5	122
Figura 64. Detalhes construtivos da microtomografia em T5	122
Figura 65. Resultados Médios dos ensaios de densitometria T1	127
Figura 66. Análise da Densidade por zonas de ensaio painel T1	127
Figura 67. Análise da Densidade por zonas de ensaio painel	128
Figura 68 . Resultados Médios dos ensaios de densitometria T2	128
Figura 69. Análise da Densidade por zonas de ensaio painel T3	129
Figura 70. Resultados Médios dos ensaios de densitometria T3	129

Figura 71. Análise da Densidade por zonas de ensaio painel T4130	
Figura 72 Resultados Médios dos ensaios de densitometria T4130	
Figura 73. Análise da Densidade por zonas de ensaio painel T5131	
Figura 74. Resultados Médios dos ensaios de densitometria T5131	
Figura 75. Gráfico de projeção de densidades ponto a ponto132	
Figura 76 Projeção sólida da densidade dos painéis aglomerados133	

LISTA DE TABELAS

Tabela 1. Classificação das espécies de teca3
Tabela 2. Características físicas e mecânicas da Teca4
Tabela 3. Combinação dos traços dos painéis de T1 a T56
Tabela 4. Resultados do Módulo de Ruptura na Flexão Estática102
Tabela 5. Módulo de elasticidade na condição de flexão estática10
Tabela 6. Resultados do Ensaio de Tração Perpendicular10
Tabela 7. Resultados de Arrancamento Parafuso no Topo10
Tabela 8. Resultados do Ensaio de Arrancamento Parafuso Face109
Tabela 9. Resultados do Ensaio de Tração Superficial em [MPa]11
Tabela 10. Resultados do Ensaio de Dureza Janka em [MPa]11
Tabela 12. Dados de densidade por Densitometria de raios X12

LISTA DE EQUAÇÕES

Equação 1. Densidade dos painéis	72
Equação 2. Volume dos painéis	72
Equação 3. Absorção de Água	74
Equação 4. Inchamento em Espessura	74
Equação 5. Teor de Umidade	76
Equação 6. Módulo de Ruptura (MOR)	79
Equação 7. Módulo de Elasticidade (MOE)	79
Equação 8. Resistência a tração Perpendicular	82
Equação 9. Resistência a Tração Superficial	83
Equação 10. Parametros de densitometria	92

SUMÁRIO

1.	INTRODUÇ	ÃO	22
2.	OBJETIVO		24
	2.1. OBJET	IVOS ESPECÍFICOS	24
	2.2. JUSTIF	FICATIVAS DO PROJETO	25
3.	REVISÃO E	BIBLIOGRÁFICA	26
	3.1. A COR	YMBIA CITRIODORA E SUA OCORRÊNCIA	26
	3.1.1.	Mudanças na classificação do gênero Corymbia	28
		Reprodução do gênero Corymbia	
	3.1.3.	Características botânicas e mecânicas da Corymbia citriodora	.32
	3.2.TECA E	SUA OCORRÊNCIA	34
	3.2.1.	Características Botânicas, Físicas e Mecânicas da Teca	38
	3.3.ADESI\	OS E ADITIVOS APLICADOS EM PAINÉIS COMPOSITOS	41
	3.4.ADESI\	OS A BASE DE RESINA DE MAMONA	43
	3.5.APLICA	ÇÃO DE RESINA POLIURETANA EM PAINÉIS DE MADEIRA	444
	3.6.PRODU	JÇÃO DE PAINÉIS AGLOMERADOS RECONSTITUÍDOS	46
	3.7.ENSAIC	OS FÍSICOS E MECÂNICOS EM PAINÉIS DE MADEIRA	51
	3.8.DENSI	TOMETRIA DE RAIOS X PARA ANÁLISE DE DENSIDADE	53
	3.9.MICRO	TOMOGRAFIA DE RAIOS X EM MADEIRA E PAINÉIS	56
4.	MATERIAIS	S E MÉTODOS	60
	4.1. MATER	RIAIS UTILIZADOS	60
	4.2. METO[DOLOGIA	61
	4.3. EXTRA	ÇÃO E PROCESSAMENTO DA MADEIRA UTILIZADA	61
	44 RESINI	A POLILIRETANA BI-COMPONENTE AG 101	65

	4.5. FABRICAÇÃO DOS PAINÉIS COM <i>TECTONA</i> E <i>CORYMBIA</i>	66
	4.6. PLANO DE CORTE E PREPARAÇÃO DAS AMOSTRAS	71
	4.7. ENSAIOS FÍSICOS	72
	4.7.1. Determinação da Densidade por Método Gravimétrico	
	, , , , , , , , , , , , , , , , , , , ,	
	4.7.3. Determinação do Teor de Umidade	76
	4.8. ENSAIOS MECÂNICOS	77
	4.8.1. Ensaio resistência à flexão estática (MOR) e (MOE)	78
	4.8.2. Resistência à Tração Perpendicular as Faces	80
	4.8.3. Determinação à Resistência a Tração superficial	83
	4.8.4. Determinação da Resistência ao Arranchamento de Parafuso) de
	Topo e Face	84
	4.8.5. Determinação da Resistência a Dureza Janka	86
	4.9. MICROTOMOGRAFIA DE RAIOS X	87
	4.10. ENSAIOS DE MICRODENSITOMETRIA	90
5.	RESULTADOS E DISCUSSÕES	94
	5.1. RESULTADOS DOS ENSAIOS FÍSICOS	95
	5.1.1. Determinação de Densidade dos painéis	95
	5.1.2. Avaliação do Teor de Umidade	97
	5.1.3. Absorção de Água 24 horas	98
	5.1.4. Inchamento em Espessura em 24 horas	99
	5.2. RESULTADOS DE ENSAIOS MECÂNICOS	101
	5.2.1. Resistência a flexão estática e módulo de ruptura (MOR)	101
	5.2.2. Resistência a flexão estática e Módulo de elasticidade (MOE);.	103
	5.2.2. Resultados dos ensaios de Tração Perpendicular	105
	5.2.3. Arrancamento de Parafusos no topo ou superfície	107
	5.2.4. Arrancamento de Parafuso na Face	108
	5.2.5. Resultados para Tração Superficial dos painéis	110
	5.2.6. Dureza Janka	111

5.3. ANÁLISE DOS ENSAIOS DE MICROTOMOGRAFIA	113
5.4. RESULTADOS PARA DENSITOMETRIA DE RAIOS X	125
6. CONCLUSÕES	134
7. SUGESTÕES PARA FUTURAS PESQUISAS	136
8. REFERÊNCIAS BIBLÍOGRAFICAS	137
APÊNDICE A - ENSAIOS FÍSICOS PARA ANÁLISE DE DENSIDADE	146
APÊNDICE B - ENSAIOS FÍSICOS PARA TEOR DE UMIDADE (TU)	148
APÊNDICE C- ENSAIOS FÍSICOS PARA ABSORÇÃO DE ÁGUA	150
APÊNDICE D- ENSAIOS FÍSICOS INCHAMENTO EM ESPESSURA	152
APÊNDICE E- ENSAIOS MECÂNICOS MOR E MOE	153
APÊNDICE F - ENSAIOS MECÂNICOS TRAÇÃO PERPENDICULAR	161
APÊNDICE G - ENSAIOS ARRANCAMENTO DE PARAFUSO TOPO	168
APÊNDICE H - ENSAIOS ARRANCAMENTO DE PARAFUSO FACE	175
APÊNDICE I - ENSAIOS MECÂNICOS TRAÇÃO SUPERFICIAL	181
APÊNDICE J- ENSAIOS MECÂNICOS DUREZA JANKA	189
APÊNDICE L - DENSITOMETRIA DE RAIOS X	196

1. INTRODUÇÃO

A madeira é o material natural de uso cotidiano mais valioso e versátil do planeta e sua importância se confunde com a própria evolução humana nesses milhões de anos, seja pela construção de cidades e civilizações da antiguidade, na construção das pirâmides e templos históricos, na madeira dos portões e muros de proteção dos castelos medievais, ou na destruição destes pelo uso de catapultas e aríetes, na fabricação de navios e embarcações dos exploradores, além da importante contribuição para a geração de calor e energia fundamental para a sobrevivência de nações inteiras até os dias atuais.

Sendo uma das principais matérias primas mais importantes da indústria, a madeira apresenta características próprias quanto a anisotropia nos diferentes sentidos de crescimento, uma higroscopicidade própria quanto a capacidade de absorver ou perder umidade do ambiente e troca de agua com o meio, explicada pela própria constituição da madeira composta principalmente por polímeros celulósicos, hemiceluloses, e lignina, além da variabilidade nas propriedades e diferenças estruturais contidas em suas estruturas celulares (BORGES e QUIRINO, 2004).

Segundo Iwakiri, (2005), produção de painéis constituídos de partículas tem sua origem ligada a diversos estudiosos da Alemanha no período e no pós-guerra, quando a escassez de material vegetal e petróleo, fizeram com que a indústria se adaptasse a fim de garantir suprimento de matéria prima para reconstrução das nações devastadas, além de produzir moveis, estruturas e casas com o menor custo possível.

A produção de painéis reconstruídos de madeira faz com que o Brasil continue a ocupar o 8º lugar no ranking mundial de produtores de painéis com uma produção de 8,2 milhões de metros cúbicos em 2018, em um aumento de 2,8% se comparado à 2017, onde o aumento mais considerável foi constatado na produção de MDF (Médium Density Fiberboard) e HDF (High Density Fiberboard) com 2,5%, MDP(Médium Density Particleboard) com aumento de 3,4% e a produção de HB (Chapas Duras) com aumento de 0,4 % no mercado nacional (IBÁ, 2019).

O uso de adesivos de base poliuretana vem alcançando um elevado destaque na fabricação de painéis por serem menos voláteis e não liberar substância tão tóxica quanto o formaldeído na atmosfera, e pela sua destacada resistência a umidade, além de suportar ambientes que exijam alta resistência a esforços mecânicos (DIAS et. al., 2006).

O crescimento de setores consumidores de painéis particulados e aglomerados, fez com que grandes indústrias se adaptassem e modernizassem para suprir a demanda de produção, acarretando na busca de maiores fontes de matéria prima a fim de suprir as necessidades de produção, implicando diretamente na busca por novas espécies de rápido crescimento, para geração de novas florestas que sejam capazes de suprir esse mercado crescente (MENDES, 2012)

Neste trabalho serão abordados o processo de fabricação na área de painéis de partículas aglomeradas, com a criação de um painel da madeira composto por *Tecona grandis t.f.*, sendo uma espécie de crescimento rápido e uma extensa geração de matéria prima através, permitindo diversas podas controladas durante seu crescimento, juntamente com partículas de *Corymbia citriodora*, madeira bastante versátil detentora de excelentes qualidades e ótimas propriedades mecânicas para uso na construção civil, fabricação de postes e dormentes ferroviários, mourões e balancins para cercas e currais e bastante conhecida nos meios acadêmicos e pela indústria brasileira de fabricação de moveis e painéis.

Outro acréscimo serão as análises laboratoriais menos convencionais, com o intuito de aprimorar a visão do que ocorre no âmbito estrutural de produtos à base de madeira processada, são processos de análise como as inspeções tridimensionais por densitometria de raios X para análise de perfis de densidade e ensaios de microtomografia de raios X são primordiais para a análise da estrutura microscópica e a reconstrução tridimensional de painéis de madeira reconstruída.

A densitometria é uma técnica muito útil na avaliação de diversas variáveis como prensagem, densidade e propriedades mecânicas dos painéis, onde a densidade aparente pode ser um diferencial na avaliação de ligações internas e densidade média dos painéis produzidos (BELINI et. al., 2009), (SURDI et. al., 2014), e a microtomografia permite melhor avaliação e a ligação entre propriedades microestruturais e físicas do material analisado (FERNANDES et. al., 2012).

2. OBJETIVO

Este projeto de pesquisa tem como objetivo construção de painéis aglomerados com as espécies exóticas Corymbia citriodora e Tectona grandis além de avaliar características como densidade, absorção de agua, inchamento em espessura e comportamento mecânico dos painéis, utilizando três diferentes granulometrias de partículas e resina poliuretana à base de mamona não volátil para gerar um novo produto que apresente resistência e durabilidade. Neste cenário, onde a praticidade é exigida como norma e expõe um mercado muito promissor para experimentar novas espécies e misturas e ampliar essa demanda nesse mercado crescente e carente de novos materiais compósitos na geração de painéis e chapas de madeira reconstruída, cada vez mais requisitados na confecção de mobiliário, construção civil e arquitetura em geral,

2.1. OBJETIVOS ESPECÍFICOS

- Utilizar as partículas de Tectona e Corymbia na construção de painéis aglomerados variando porcentagens de adição e avaliar a resistência física de cada traço desenvolvido através dos ensaios de densidade, inchamento em espessura e absorção de água;
- Avaliar o comportamento físico e mecânico dos painéis gerados durante em comparação com os valores padronizados para painéis aglomerados via norma NBR 14810-2 (2013) e ensaios mecânicos de dureza janka via norma ANSI A 208.1 (1993) e comparar os resultados obtidos entre os cinco traços de painel desenvolvidos em laboratório;
- ➤ Efetuar as análises tridimensionais com auxílio das técnicas de Microtomografia computadorizada e microdensitometria de raios X, para a análise minuciosa da estrutura de cada painel e se ocorrem locais de fragilização, campos vazios ou aglutinação irregular e concentrações de resina ao longo das camadas dos painéis;

2.2. JUSTIFICATIVAS DO PROJETO

A Corymbia citriodora já tem seu espaço difundido pela comunidade cientifica desde a década de 60, sendo usada na produção de painéis de variadas estruturas como MDF, OSB, MDP, HDF, Painéis Aglomerados, laminados entre outros, mas pela sua densidade um pouco elevada, seu uso segue limitado pela indústria de painéis, que preferem outras espécies menos densas como eucaliptos e pinus, e a associação de suas partículas com outros tipos de madeira como a teca, para geração de um novo produto que possa atender a demanda comercial e industrial no mercado interno brasileiro e sua crescente demanda para exportação, principalmente para países da América do norte, Ásia, Oriente Médio e Europa.

A introdução de florestas da árvore exótica *Tectona grandis* f. t. em quase todas as regiões do Brasil, surge como uma ótima opção para o cultivo industrial e reflorestamento em todo território nacional, ampliando a demanda da produção de madeira in natura para consumo na indústria de painéis e construção civil, bem como a produção de móveis e acessórios, que faz com que a produção dessa espécie e as pesquisas em torno de suas características continuem a aumentar no Brasil e exterior, pela necessidade de produzir mais, respeitando a legislação cada vez mais severa na fiscalização da procedência de produtos florestais do mercado Brasileiro.

O uso da resina poliuretana a base de mamona, amplamente estudada por pesquisadores nas universidades brasileiras, é um diferencial interessante uma vez que a substituição das resinas a base de formóis e álcoois ajuda na diminuição dos riscos de contaminação por parte dos operários e fabricantes de painéis em geral.

Tendo em vista a dificuldade em se produzir painéis particulados em laboratório, com características próximas as dos painéis produzidos nas linhas de produção industrial de grandes empresas, que operam com altos investimentos em equipamentos e controle de produção, o painel aglomerado com partículas de Tectona grandis f.t. e Corymbia citriodora gerados no laboratório de processamento de madeira (LPM), da Unesp em Bauru, visa fornecer resultados que podem servir de referência ao setor industrial para a produção em série em ambiente industrial e comercialização do produto dentro dos padrões exigidos pelas normas vigentes.

3. REVISÃO BIBLIOGRÁFICA

A Fundamentação dessa revisão será baseada na descrição das duas espécies de madeira utilizadas, sua origem, sua importância e suas principais características físicas, destacando o uso de resinas e materiais aditivos com foco na utilização da resina poliuretana a base de mamona e seus derivados, como das suas aplicações na fabricação de painéis de partículas e fibras, tanto em laboratório, como na indústria de painéis em geral. Nessa revisão bibliográfica será destacada também os processos de análise por microdensitometria para análise da densidade e da microtomografia de raios X para análise estrutural da madeira e painéis de madeira em geral

3.1. A CORYMBIA CITRIODORA E SUA OCORRÊNCIA.

A Corymbia citriodora, cujo nome composto deriva do Corymbium em Latim e citriodora - de origem grega e que significa aroma de limão uma árvore de origem da Oceania continental, nativa e originaria principalmente do leste da Austrália tropical e temperada e ilhas próximas, pode também ser encontradas ao norte de Coffs Harbour, Nova Gales do Sul, ao longo do litoral e leste de Queensland para Chinchilla, a Cordilheira Carnarvon, Great Dividing Range a leste de Tambo, leste de Townsville a Hughenden, e mais ao norte até Cooktown e Lakeland Downs na península do sul de Cape York, e o formato dessa árvore é facilmente identificado devido a características únicas, sendo lisa por toda sua superfície, em tonalidade branca, rosa ou acobreado e suas manchas de tronco podem ser visíveis ou não (ANBG, 2016).

As florestas continuas de *Corymbia citriodora* da bio-região do cinturão de Bigalow, sub-trópico da Austrália, também conhecido como "florestas de madeira ocidental", possui um papel importantíssimo para a conservação da biodiversidade local, por fornecer características continuas de uma região extensa e limpa, mas que possui um histórico longo de manejo e extração de madeira, por se tratar de área muito usada para o pastoreio de gado para comercialização (EYRE et al., 2010).

A Figura 1, uma projeção do mapa mundial e a localização de florestas naturais na região leste do continente australiano como um dos principais locais de incidência da Corymbia em seu habitat original.



Figura 1. Áreas de Incidência da Corymbia

Fonte:http://florawww.eeb.uconn.edu/200400077.html (2020).

Pryor & Johnson (1971), Hill & Johnson (1995) definiriam a *Corymbia citriodora* como não sendo mais pertencente à família *Eucalyptus*, o que causou muitas controvérsias entre muitos pesquisadores, mas essa foi uma classificação que finalizou uma jornada que foi de 1971 a 1995 com a mudança de gênero consolidada. Com o trabalho de alguns pesquisadores, que percebendo a inúmeras diferenças físicas e taxonômicas das espécies *Eucalyptus* em relação a própria *Corymbia*, a comunidade cientifica optou finalmente por aceitar essa divisão e reclassificação em 1995.

Segundo Marchiori e Sobral (1997), por ser uma espécie originaria da zona oeste australiana, seu melhor desenvolvimento ocorre em zonas de clima tropical e subtropical de temperaturas mais elevadas e com precipitações mínimas entre 600 e 1000 milímetros anuais, além de adaptar-se a terrenos com solo empobrecido e pedregulhoso, solos vermelhos profundos argilosos ou ricos em arenitos.

Pesquisas de Mabberley (2008), descrevem o gênero *Corymbia* como pertencente a subfamília *Leptospermoidea*, e que compreende cerca de 680 espécies de plantas, e a grande maioria destas sãos originarias do continente Australiano. sendo uma árvore exuberante e alta, podendo atingir até 40 metros de comprimento em habitat nativo, cresce em florestas abertas, cristas e planaltos de regiões costeiras da Austrália, podendo crescer de 20 a 30 metros sob cultivo controlado, tolerante a diversos tipos de solo, desenvolvendo-se preferencialmente em solo argiloso arenoso, ou cascalho bem drenado, casca lisa com folhas juvenis de Goma Lemon-scented de margens onduladas, fortemente perfumadas com tom de limão, daí o apelido "goma com aroma de limão" (A. N. B. G., 2016).

3.1.1. Mudanças na classificação do gênero Corymbia

Na concepção de Rozefelds (1996), o renascimento da compreensão e comprovação das diferenças encontradas pelos vastos estudos dos professores Pryor e Johnson, de 1971 a 1981, seguidos por Ladiges e Humphries, 1983 e o estudo de pesquisa molecular e morfológica via trabalhos de Ladiges et al., 1995 e Udovicic et. al., 1995, colocaram os gêneros de *Angophora* e *Corymbia*, divididas em diferentes linhagens de plantas ao que define todos os subgêneros relacionados ao *Eucaliptus* e *Eucalyptus sensu* (LADIGES et al. 1995; HILL e JOHNSON, 1995).

Com a divulgação do minucioso estudo dos botânicos Ken Hill e Lawrie Johnson, que foram os primeiros a definir o gênero Corymbia, realizando o reagrupamento dos gêneros *Angophora* e *Corymbia*, esta última contendo 113 espécies de que estão reclassificadas acordo com seus altos teores de carboidratos, extrativos vegetais e densidade básica elevadas com teor reduzido de lignina (Segura, 2015). Desta forma, o gênero *Corymbia* vem sendo reconhecida como espécie própria por suas diferenças taxonômicas, estruturais e reprodutivas, graças a estudos intensos desenvolvidos por inúmeros pesquisadores, causando a subdivisão das espécies culminou na reorganização das espécies, e passou a englobar *Corymbia maculata* (Hook) *Corymbia variegata* (F. Muells), *Corymbia henryi* (S.T. Blake) e *Corymbia citriodora* (Hook), todas vinculada aos pesquisadores K. D. Hill & L. A. S. Johnson (SEGURA, 2015).

Na Figura 2, é possível ver um diagrama simplificado dos estudos de Rozefelds (1996), com a definição dos dados filogenéticos as divisões entre Angophora, Corymbia, e espécies e subespécies de eucaliptos s.str. no grupo *Eudesmia*, grupo *Symphyomyrtus*e grupo *Monocalyptus*, baseados em conclusões dos estudos de Ladiges et. al. 1995, seguindo as conclusões nos estudos de Pryor e Johnson (1971, 1981).

Angophora
Corymbia

Eudesmia
Symphyomyrtus group
Monocalyptus group

Eucalyptus s. str.

Figura 2. Definição dos gêneros e espécies a partir de 1995

Fonte: (ROZEFELDS, 1996).

A formação das sépalas e pétalas, que nas espécies de *Eucaliptus* é fundida em uma ou duas tampas chamada opercular, que tem como função cobrir os estames e o ovário, sendo que, quando as flores estão maduras o opérculo é eliminado, por outro lado no gênero *Corymbia*, que possui madeira cor de sangue e também têm um opérculo tipo os Ghost Gums, e o desenvolvimento das flores se dá com um opérculo que evoluiu diferente da dos eucaliptos, e pôr fim a *Angophora*, que possui um pequeno gênero de árvores confinado em áreas do leste da Austrália possui pétalas e sépala livres (ROZEFELDS, 1996).

Para Moura e Franzener (2014) essa classificação ainda é um tanto confusa, pois o gênero Corymbia apresenta uma constituição anatômica bastante homogênea em relação as demais espécies, mas essas questões podem ser resolvidas com o avanço de estudos sobre anatomia foliar e trabalhos taxinômicos sobre a espécie.

Na Figura 3, é possível notar algumas características peculiares da *Corymbia* em seu ecossistema natural, como coloração, caraterísticas físicas e formatos das folhas (A, B); coloração da casca, porte anatômico e formato do tronco (C, D); formato das flores e opérculos de sementes ainda verdes (E, F); e os opérculos secos e exposição das sementes após rompimento da capsula protetora (G, H).

Figura 3. Formação e detalhamento da Corymbia citriodora

Fonte: EUCLID (Eucaliptos da Austrália) (2018).

3.1.2. Reprodução do gênero Corymbia

A Corymbia pode sobreviver a temperaturas altas além de suportar climas gélidos em torno de 0°C, do seu tronco, galhos e folhas é possível extrair um óleo aromatizado com odor marcante e uma madeira consistente e bem resistente, sendo uma madeira bastante utilizada também para extração de essências, fabricação de ferramentas e postes, estruturas pesadas e trabalhos de marcenaria em geral (MARCHIORI & SOBRAL, 1997).

Para Dickinson (2012), o trabalho de conhecer melhor os riscos de introgressão genética na produção híbrida comercial de *Corymbia* ajudarão a criar práticas de manejo para produção amplamente sustentável e permitindo ainda a preservação da pureza genética das populações nativas da *Corymbia* no continente Australiano, sendo preciso entender as combinações genéticas e a seleção dos fenótipos adequados para cada cruzamento da espécie.

Como as espécies do gênero *Corymbia* são consideradas de difícil propagação, principalmente por apresentar problemas de recalcitração no enraizamento, e que essa germinação geralmente acaba ficando abaixo de 5%, isso acaba dificultando e muito o processo de plantio em escala, causando impedimentos para clonagem por via tradicional da espécie, fazendo com que as plantações comerciais de *Corymbia* sejam estabelecidas em sua maioria por via seminal (REIS et. al., 2013).

A seleção de espécies é o passo inicial no objetivo de reflorestar, que também leva em consideração a produção abundante de madeira, celulose e ligninas geradas pela madeira, adaptação as características e condições de solo e variações climáticas da região, itens extremamente necessários para investigar os diferentes genótipos capazes de suportar determinados tipos de clima e solo, além de gerar espécies capazes de se adaptar e se propagar melhor em diferentes ambientes (ALCÂNTRA et. al., 2015). Como a clonagem dessa espécie é um dos grandes gargalos para reprodução do material genético em grande escala, a ampliação dos estudos e testes para o aprimoramento de técnicas de propagação vegetativa tornam a produção e cultivo da *Corymbia citriodora* no Brasil importantíssimas e bastante promissoras (REIS et. al., 2013).

O aumento do plantio florestal de híbridos de *Corymbia*, se deve ao fato desta ser uma espécie que oferece madeira bastante durável e amplamente adaptável a ambientes marginais tendo como característica admirável a resistência a insetos e geadas, além da tolerância a certas doenças herbóreas, o que torna ainda mais urgente uma maior compreensão dos mecanismos controladores de reprodução para o aumento do sucesso reprodutivo para híbridos comerciais, além de avaliar e quantificar seus riscos em relação às mudanças na cultura de florestas nativas de *Corymbia* (DICKINSON, 2012).

3.1.3. Características botânicas e mecânicas da Corymbia citriodora

Conhecida por seu crescimento rápido e direto, a *Corymbia* é uma madeira forte e resistente, ideal para uso estrutural em vigas e pontes, contêineres e engradados, além de pisos e cabos de ferramentas manuais. Suas flores são matéria prima extremamente importante na produção de mel em algumas regiões, e seu óleo volátil é uma valiosa commodity, muito valorizado para produção de cosméticos, remédios e repelentes de insetos, além de ser uma planta bastante popular em projetos de reflorestamento de áreas degradadas, no uso agropastoril e ornamental (A. N. B. G., 2016).

Se comparados ao *Eucalyptus spp.*, a *Corymbia* apresenta valores bem superiores em sua espessura média, espessura maior das paredes e variação menos acentuada com relação a estrutura anatômica, além das maiores uniformidades entre medula e casca (MELO et. al., 2016), onde o crescimento do *Eucalipto grandis* e *Corymbia citriodora* em três diferentes solos de diferentes qualidades (Latossolo Vermelho, Areia Quartzosa e Latossolo Roxo), foi possível notar que o *Eucaliptus grandis* cresce em altura e DAP e possui melhor fuste de forma nos três tipos de solo, se comparado com a *Corymbia*, que por sua vez apresenta maior taxa de sobrevivência se comparado ao eucalipto, e para ambas espécies testadas nesse estudo, as melhores taxas e crescimento em altura e diâmetro são observadas no cultivo em Latossolo Roxo (MORAIS et. al., 2010).

Segundo Ferreira (2003), existe hoje uma efetividade nos tratamentos de preservação aplicados, que fazem com que a madeira seja indicada para uma infinidade de aplicações, e que ao ser trabalhada ou maquinada, esta requer atenção nas técnicas de desdobro, sendo bastante requisitada para usos em serrarias, pelo acabamento final que gera após tratamentos como aplainamento, furação, lixamento. A *Corymbia* pode ser usada para diversa finalidades, uma vez que se respeite as condições de secagem adequadas para evitar trincas e colapsos por rachaduras, que amenizam muito em condições de controle em estufas em baixas temperaturas e umidade elevada, sabendo que o recomendado é iniciar o processo de secagem ao ar livre e em local protegido (FERREIRA, 2003).

Segundo Boland et. al. (2006), a madeira da *Corymbia* pode ser classificada como de boa trabalhabilidade, possuindo alburno branco e cerne marrom escuro, de grã direita ou reversa que pode ser ondulada, além de possuir cerne bastante duro e resistente, com textura levemente oleosa, cuja densidade pode variar de 0,95 a 1,01 g/cm³, onde cuidados especiais por ser uma espécie com madeira bastante rígida, e resistente a perda de umidade das partículas. Na Figura 4, os detalhes e imagens apresentadas pelo instituto de pesquisas tecnológicas de São Paulo, detalhes das características tangenciais (A) radiais (B) e fotomacrografia dos vasos tangenciais da *Corymbia citriodora* com ampliação em 10 vezes via microscópio ótico.



Figura 4. Detalhes da madeira de Corymbia citriodora

Fonte: IPT (2020).

No trabalho para produção de pisos de madeira em larga escala com uso de *Eucaliptus* e *Corymbia citriodora*, o processo de aplainamento em alta velocidade com variação da velocidade de avanço e duas rotações no sistema de porta ferramentas demonstram equilíbrio das duas espécies em relação aos índices medidos de rugosidade com a variação dos parâmetros durante a usinagem, mas esse teste demonstrou estatisticamente que as peças com densidade mais elevadas e menores ângulos de grã na madeira, permitiram as melhores condições de usinagem e menores índices de rugosidade R_a e R_z (ANDRADE et. al. 2015).

O que se pode constatar na madeira extraída de árvores mais maduras, é que estas ao serem serradas, possuirão maior estabilidade dimensional e fornecerão uma matéria prima de melhor qualidade à indústria, apresentando uma variação dimensional tangencial maior próximo a medula e diminuindo em direção a casca, mantendo o coeficiente anisotrópico que descreve bem esse equilíbrio e sua excelente estabilidade dimensional, se comparada às árvores com lenho juvenil da mesma espécie (LORENÇON et. al. ,2013).

3.2. TECA E SUA OCORRÊNCIA

A *Tectona grandis*, popularmente conhecida teca no Brasil, é uma árvore de grande porte, extremamente adaptável, capaz suportar temperaturas extremas em locais que vão de 2º a 42º C, ocorrendo em áreas que vão de 0 até 1300 m acima do nível do mar e com precipitação anual de 800 a 2500 mm, mas extremamente susceptível a ação de geadas. Com ocorrência principalmente na Índia, Burma, Tailândia, Laos, Camboja, Vietnã, Java, e índias orientais além de serem encontradas no sudeste da Ásia e subcontinente indico é apreciado pelos britânicos desde o século XVIII, pela imensa demanda de madeira na Grã-Bretanha para alavancar a indústria naval. (ANGELI e STAPE, (2003), (WOOD HANDBOOK, (2010).

Na Tabela 1, é possível visualizar uma classificação referencial entre cada espécie de teca descoberta e os pesquisadores responsáveis pelo mapeamento descritivo desde que começou a ser catalogada em 1781.

Tabela 1. Classificação das espécies de teca

FAMILIA	NOME CIENTÍFICO	AUTOR	REFERÊNCIA	ANO PUBLIC.
Lamiaceae	Tectona	L. f.	Supl. Pl. 20, 151	1781 [1782]
Lamiaceae	Tectona grandis	L. f.	Supl. Pl. 151	1781 [1782]
Lamiaceae	Tectona grandis fo. abludens	Koord. & Valeton	Bijdr. Booms Java 7: 171	1900
Lamiaceae	Tectona grandis fo. canescens	Moldenke	Phytologia 31 (1): 28	1975
Lamiaceae	Tectona grandis fo. pilosula	Moldenke	Phytologia 31 (1): 28	1975
Lamiaceae	Tectona grandis fo. punctata	Moldenke	Phytologia 31 (1): 28	1975
Lamiaceae	Tectona grandis fo. tomentella	Moldenke	Phytologia 31 (1): 28	1975
Lamiaceae	Tectona hamiltoniana Wall	Nanda	Cave 1962	1962
Lamiaceae	Tectona philippinensis	Benth. E gancho.	Gen. Pl. 2: 1152	1879
Lamiaceae	Tectona ternifolia	Buch-Ham. ex parede.	Pl. Asiat. Rar 3: 68	1832
Lamiaceae	Tectona theka	Lour.	Fl. Cochinch 137	1790

Fonte: http://www.tropicos.org (2018).

Estudos dirigidos pelo IPT em 2003, colocavam como estimativa da produção anual de madeira de teca em torno 3 milhões de hectares, e como produtores principais o Brasil, Republicas de Togo, Camarões, Zaire, Nigéria, Trinidad Tobago, Honduras, entre outros países de clima tropical e estimativa de que seu peso cúbico tende a ser um dia, mais valioso que madeiras nobres como o mogno, por exemplo, (ANGELI & STAPE, 2003).

Na definição de Rocha et. al. (2015), a espécie exótica *Tectona grandis*, que já foi denominada *Verbenaceae*, pertencente de fato à família Lamiaceae, foi introduzida no Brasil com plantios comerciais que datam desde 1971, tendo como características principais o ciclo de cultivo mais curto e a capacidade de implementação bem sucedida tanto para cultivo em áreas de monocultura quanto sistemas silvopastoris integrados, mas apesar de ser uma espécie de madeira bastante requisitada para decoração, indústria naval, conta com conhecimento e técnicas de cultivos pouco difundidas no Brasil.

Segundo Hallett et. al. (2011), a madeira de teca é uma madeira de alto valor agregado, por ser detentora de qualidades únicas em sua estrutura, mas as florestas nativas têm diminuído consideravelmente, dando lugar às florestas controladas para ter madeira de alta qualidade para atender a demanda, mas essa prática oferece limitantes que precisam ser controlados para obter efeitos ambientais positivos que surgirão somente com manejo adequado e ações de gestão bem estabelecidas.

Sendo cultivada em centenas de países de clima tropical, as florestas naturais de teca estão disponíveis em alguns poucos países da Ásia como Índia, Miamar, Laos, Tailândia, tem característica de crescer e evoluir bem em solos aluviais profundos e bem drenados de clima bastante unido e quente como nos climas tropicais a teca é cultivada em muitos países asiáticos, africanos e sul-americanos para a produção de madeira (PALANISAMY et. al., 2009).

Na Figura 5, detalhes da distribuição natural das florestas de teca no contente asiático com 3 grandes áreas de incidência das populações de teca, na península Indiana, sudoeste continental da Ásia e insular sudoeste da Ásia.

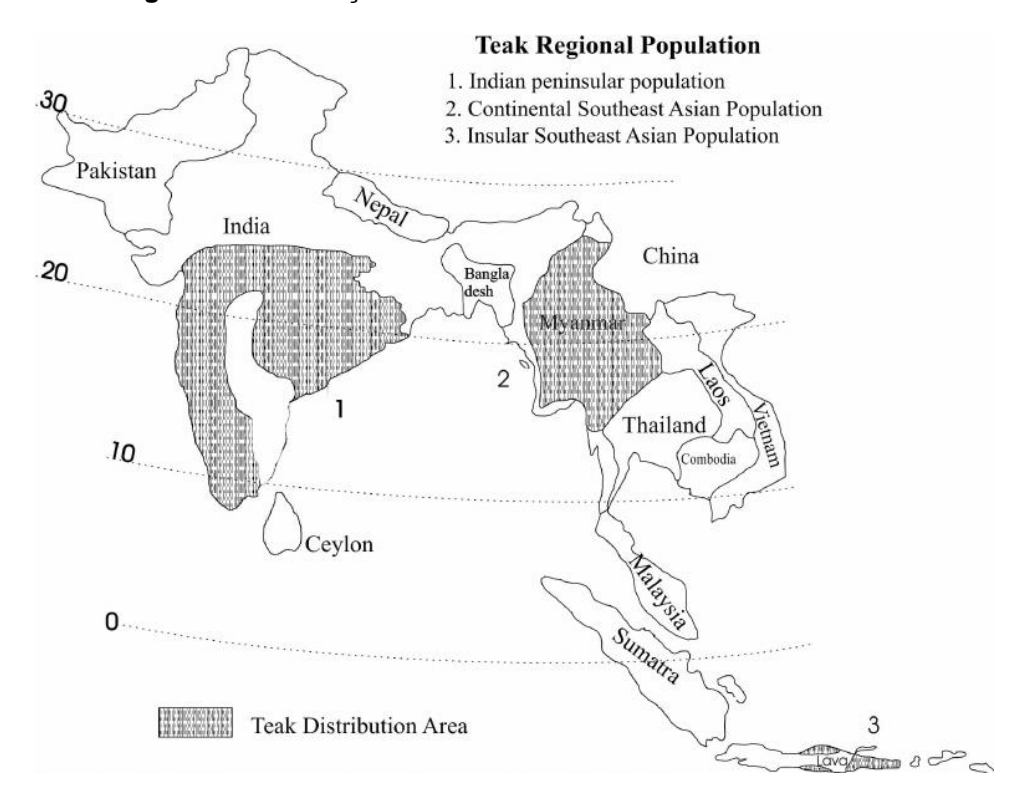


Figura 5. Distribuição natural da Teca no continente Asiático

Fonte: ((Kaosa-ard, 1996, apud PALANISAMY et. al., 2009).

O comercio global da teca movimentou mais de Um milhão de m³ dessa madeira, contando com exportações na casa dos US \$ 487 milhões por ano, ou 3% do comercio mundial de madeira, em nada menos do que US \$ 15,5 bilhões de dólares, atraindo grandes investimentos dos setores privados nos continentes asiático, africano e América Latina entre outros (KOLLERT e WALOTEK, 2015).

A *Tectona grandis L.t.* é considerada por pesquisadores como Walter Kollert e Przemyslaw Jan Walotek, a madeira mais valiosa do planeta na atualidade, ao ponto de lançarem um estudo detalhado no ano de 2015, sobre o levantamento global da produção, importação e exportação dessa madeira, que tem se destacado por suas qualidades e desempenho em mais de 70 países produtores, ao passo de ter pelo menos 100 países consumidores de produtos industriais e de madeira "in natura" de teca ao redor do mundo entre os anos de 2005 e 2014 (KOLLERT e WALOTEK, 2015). Na Figura 6, a distribuição de florestas de árvores de Tectona grandis onde as cores indicam os volumes de exportação de toras para cada país.

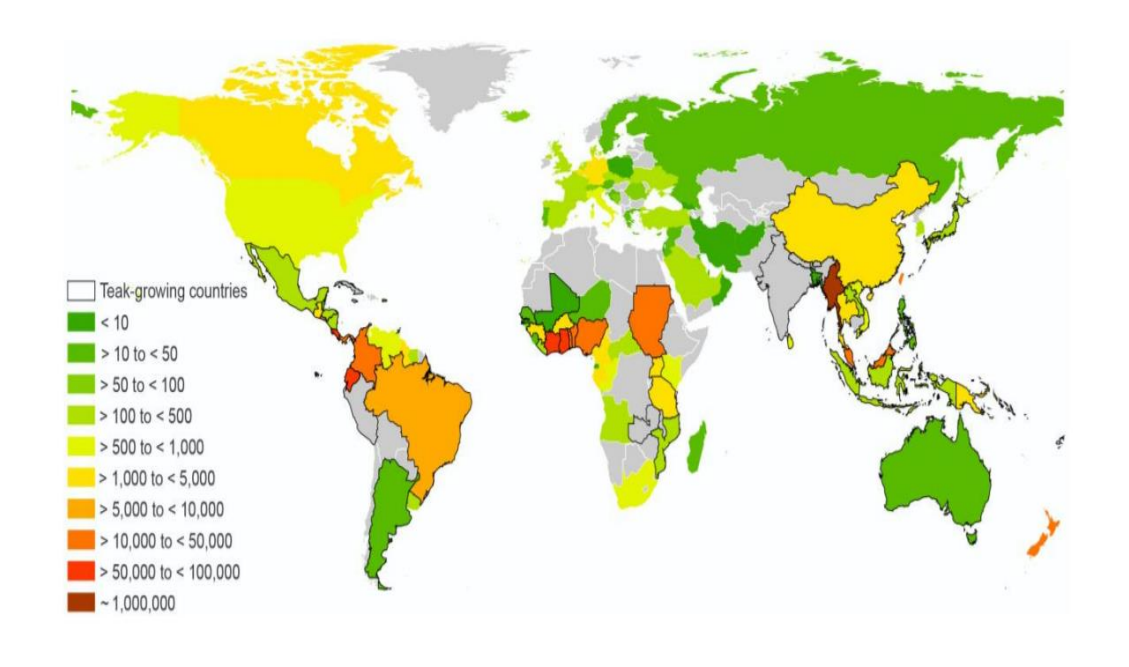


Figura 6. Produção e exportação de teca de 2005 a 2014.

Fonte: FAO 2015, KOLLERT e WALOTEK, 2015.

A tendência do mercado global é que continue sendo regido pelo mercado asiático que consome mais de 90% dos recursos mundiais de madeira de teca, sendo que a Índia sozinha gere cerca de 38% das florestas plantadas de teca em todo o planeta, e com a crescente procura do mercado internacional, que vê a ampliação do consumo que vai além das florestas asiáticas , com o início do fornecimento de teca por florestas de crescimento rápido e pequenos diâmetros , proveniente da África e América Latina. (KOLLERT e CHERUBINI, 2012)

Segundo Camacho (2011) somente África do sul e América Latina, produzem produtos de teca acabados ou semiacabados antes da exportação, onde a maioria dos produtores mundiais tende a exportar a madeira em toras a fim de alimentar a demanda do mercado Indiano e suas fabricas locais que aplicam o processamento artesanal de fabricação a custos muito baixos, estando bem adaptados para trabalho com toras de madeira de menores diâmetros esse processo acaba por beneficiar produtores latino-americanos uma vez que tornam a exportação de madeira em toras para a Índia mais rentável do que processar e transformar essa madeira em produtos acabados ou semiacabados (CAMACHO 2011).

3.2.1. Características Botânicas, Físicas e Mecânicas da Teca

Sendo que os principais fatores para determinar locais ideais para o cultivo da teca estão ligados a 3 níveis ambientais principais, vinculados ao nível (I) clima incluindo temperatura e precipitação, nível (II) edáficos relacionados à geologia, topografia e solos, e o nível (III) que enfatiza níveis comunitários relacionados à unidade do solo, luminosidade. Nesse conceito, condições como propriedades físicas e químicas do solo como textura, drenagem, pH, Cátions livres são extremamente importantes, mas o cultivo experimental também é importante para gerar métodos confiáveis de cultivo da teca (TANAKA et. al.,1998).

As florestas de teca exigem parcelas maiores de fertilidade do solo em relação às florestas não perturbadas ou terrenos agropastoris com referência a analises de amostras, contendo teores maiores de K, Ca, Mg, carbono orgânico do solo, pH, acidez, densidade aparente quando comparadas com a fertilidade de outras culturas, mas a cultura de teca não se mostrou tão eficiente quanto à avaliação de restauração do solo como florestas não perturbadas (BOLEY et.al., 2009). Seu pH ideal varia de 6,5 e 7,5 e sua produtividade varia de acordo com o local e as condições ambientais, sendo de coloração vai da cor branca ao amarelo pálido enquanto seu cerne é castanho e moderadamente pesada com textura grosseira e pesada, possui densidade específica em torno de 0,55 a 0,70 kg/cm³, possui boa qualidade estética e é muito utilizada para construção de navios, embarcações e mobiliário (PALANISAMY et. al., 2009).

Na Figura 7, temos a teca em seu ambiente natural (A), o lenho (B), suas características microscópicas (C), a textura e coloração da madeira (D), uma ilustração de *Tectona grandis* do século XIX, encomendada por William Roxburgh em aquarela sobre papel, desenhada por um artista indiano desconhecido (E), e a imagem das flores de teca (F).



Figura 7. Principais caraterísticas da Tectona grandis

Fonte: http://www.woodassistant.com.

Um dos principais estudos da espécie foi listado no "Tropical Timbers of The World", desenvolvido pelo pesquisador norte americano Martin Chudnoff realizou um apanhado completo das informações sobre a madeira exótica teca em 1979, no Laboratório de serviços e produtos Florestais do Departamento de Agricultura dos Estados Unidos (USDA, 2010).

As definições traçadas por Chudnoff (1979), e que são seguidas até hoje, a teca se destaca em algumas características que viabilizam sua produção e utilização industrial, já sendo amplamente plantada e comercializada ao redor do planeta, pelas características listadas em detalhes na Tabela 2.

Tabela 2. Características físicas e mecânicas da Teca.

Características gerais	Cerne amarelado, com manchas e estrias, alburno pálido, formação de grã reta e textura grossa com perfil desigual, exala cheiro quando serrado.		
Peso específico	Sua gravidade específica básica ou seu peso específico básico por volume verde (peso ovendry) pode variar entorno de 0,55 gramas por centímetro cúbico, numa densidade do ar seco em temperatura ambiente.		
Propriedades mecânicas	Os melhores resultados de Resistência à flexão, módulo de elasticidade e força máxima de esmagamento concentradas no material com as menores taxas de teor umidade em 11%.		
Resistência da madeira	Cerne se torna extremamente resistente quando submetido a tratamentos preservativos de combate a fungos e insetos, e agregar valor por ser uma madeira de um alburno de baixa permeabilidade e boa trabalhabilidade.		
Secagem e Encolhimento:	Requer secagem lenta, para que não haja a degradação, podendo atingir grandes variações nas taxas de secagem. Uso de forno ou estufa de secagem deve seguir norma T 10-D4S para 4/4 de lotação e norma T8-D3S para 8/4 de lotação. As taxas de encolhimento verde para ovendry: na direção radial em torno de 2.5%; na direção tangencial com 5,8%; e variação volumétrica chegando a 7,0%. Sua deformação em serviço é classificada como pequena, tendo elevada resistência à absorção de água.		
Propriedades de trabalho:	Madeira macia e facilmente trabalhável com ferramentas manuais ou máquinas proporciona um acabamento muito suave se trabalhado com ferramentas afiadas; sua encolagem pode ser considerada de moderada a boa, Seu pó e seu pólen podem causar dermatite em alguns indivíduos sensíveis ou alérgicos e sua poeira pode causar irritações na pele por ter volumes variáveis quanto ao teor de sílica que pode chegar a valores de até 1,4%.		
Durabilidade da madeira:	O seu cerne pode ser classificado como bastante durável em relação a fungos e cupins em geral, mas não é imune a brocas marinhas.		
Usos recomendados:	Bastante leveza e facilidade de trabalhar em situações de improviso e poucas ferramentas além da baixa densidade torna a teca ideal construção naval, marcenaria, móveis, pisos, entalhes, armários, painéis, pias, tanques e cubas, ou equipamentos que exigem alta resistência a ácidos.		

Fonte: USDA-Tropical Timbers of the World (2010).

Muitas dessas características fazem da teca uma das espécies com imenso potencial, tanto em valor econômico para suprir as necessidades da indústria de produtos florestais, quanto por ser uma boa alternativa para manejo sustentável de madeira de qualidade para itens que vão desde moveis de luxo até construção naval, além da possibilidade de comercialização de lenha e produtos para geração de bioenergia desde os primeiros desbastes da planta (PELISSARI et. al. 2014).

3.3. ADESIVOS E ADITIVOS APLICADOS EM PAINÉIS COMPOSITOS.

A principal função de um adesivo é unir partes de um conjunto, com objetivo de distribuir tensões de uma parte para outra para a distribuição dessas tensões de forma bem mais uniforme do que com fixadores mecânicos. As ligações adesivas podem ser mais fortes tanto para superfícies lisas quanto superfícies expostas em relação a alguns sistemas de fixação mecânica e agem também numa importante função da aparência resistência e rigidez dos aderentes (EBNESAJJAD, 2008).

Os adesivos utilizados para fabricação de painéis de fibras ou partículas estão divididos em dois grupos básico, tendo de um lado os adesivos de origem natural e de origem animal como amido caseína, albumina, proteínas vegetais, mamona e tanino de algumas espécies de madeira e os adesivos de origem sintética que possuem como bases a ureia, o resorcinol, o fenol, melanina e polivinilicas que dentro desse imenso leque podem ou não ser resistentes a agua e a umidade, e ações como a deterioração das juntas coladas de madeira, cavacos, fibras orientadas ou laminados colados, ação de variação da temperatura ambiente e ataque de microrganismos (OLMOS,1992; IWAKIRI, 2005),

De dois tipos principais adesivos aplicados na produção de painéis, nas classes de orgânicos e inorgânicos conforme sua composição química, onde os inorgânicos são à base de silicatos, e classificados como termofixos, que necessitam de catalisadores para reação química ou ativação térmica, entre eles o fenolformaldeído, ureia-formaldeído, resorcinol-formaldeído, melanina-formaldeído e poliuretanos e adesivos termoplásticos de cura reversível como albumina, caseína e tanino (IWAKIRI 2005; FIORELLI, 2005).

A colagem de materiais utilizando adesivos prova ser um meio eficaz para a junção de diversos materiais, havendo uma vasta literatura disponível em vários pontos de vista, seja pela perspectiva da síntese, perspectiva química ou as várias técnicas de colagem, além é claro dos pontos de vista práticos a fim de descrever a adesão e sua relação com diversos materiais, como metais, plásticos madeira e outros, uma vez que o adesivo nada mais é que uma substância capaz de formar ligações quando aplicado a superfícies de qualquer material para uni-los de forma permanente por um processo de colagem (EBNESAJJAD, 2008).

Para Packham (2005), a adesão é tida como um fenômeno onde dois corpos estão unidos envolvendo em si a resistência mecânica do adesivo e a força que envolve os átomos das interfaces coladas. As forças interfaciais, definidas pela resistência mecânica do sistema, sendo determinadas pelas forças interfaciais, propriedades mecânicas da zona interfacial e pelas duas massas (EBNESAJJAD, 2008). Segundo Wu (1982), a adesão de dois componentes e um adesivo, refere-se ao estado em que dois corpos diferentes são unidos por um contato interfacial íntimo, de modo que a força mecânica ou o trabalho podem ser transferidos através dessa interface. Nas definições de Ebnesajjad (2008), existe uma diferença significativa da ocorrência algumas ligações adesivas, onde as três falhas mais comuns, que seguem detalhadas na Figura 8, com a apresentação dos detalhes de ligações adesivas e modos de falhas, como a falha adesiva (a); falha coesiva na camada adesiva(b) e falha coesiva no material aderente (c).

adesivo Material aderente

(a) (b) (c)

Figura 8. Tipos de Ligações adesivas

Fonte: adaptado de EBNESAJJAD, 2008.

Em ensaios realizados com diferentes adesivos comerciais, Bianche et. al. (2017), testaram vários painéis e adesivos, dentre estes o Fenol, silicato, PVA, melanina, resinas poliuretanas a base de mamona e o resorcinol, e a interação no resultados dos ensaios mostraram que a colagem da madeira influencia na resistência ao cisalhamento na linha de cola tanto nas condições úmidas avaliadas, quanto nas condições secas dos ensaios. Nos resultados obtidos, ficou constatado que os adesivos de fenol-formaldeído e melamina-formaldeído foram os que apresentaram maior percentual de falhas na madeira na condição úmida, e com resultados nos ensaios sendo considerados inconsistentes, e os adesivos a base de silicato de sódio e PVA foram descartados para utilização industrial e exposição em ambientes úmidos (BIANCHE et. al., 2017).

3.4. ADESIVOS A BASE DE RESINA DE MAMONA

Na descrição de Coutinho e Delpech (1999), o óleo de mamona é extraído da semente da planta *Ricinus communis*, contendo em sua constituição química de ácidos graxos hidroxilados em numa faixa de 84% a 91%, apresentando duas formas diferentes de adesivo, uma monocomponente, outra bicomponente, onde ambas realizam o processo de cura com a reação química aplicada ao substrato, através da evaporação do solvente pelo contato com a temperatura ambiente e a segunda por cura com a ação de um catalizador.

O óleo é gerado pelo processamento das sementes da mamoneira, planta de cultura economicamente relevante no Brasil, sendo um composto rico em ácido ricinoleico, cuja utilização se estende desde a fabricação cosméticos, polímeros, produção de óleos em geral, sendo muito estratégico para as indústrias de lubrificantes e demais indústrias (MORAES et. al., 2014). Essas características proporcionam ao óleo de mamona características especiais para a utilização em mais de 400 processos industriais como produzir revestimentos internos e poltronas de avião pela resistência a chama e liberação de gases tóxicos, resinas e anticongelantes para combustível de aviões, cosméticos, medicamentos e componentes para a indústria automobilística (ANJOS E SILVA et. al. 2005).

3.5. APLICAÇÃO DE RESINA POLIURETANA EM PAINÉIS DE MADEIRA

A pesquisa de polímeros versáteis como os poliuretanos, utilizados em uma gama de materiais de excelentes propriedades, são matéria base para produção de proteção das mais diversas estruturas, gerando espumas, elastômeros e fibras, além de produção de adesivos capazes de revestir aço, metais plásticos concreto, madeira entre outros, além da pesquisa em sistemas que interagem no revestimento de meios aquosos, evitando a toxicidade, por estas serem substâncias orgânicas não tóxicas (COUTINHO e DELPECH, 1999).

Pesquisadores do departamento de Química e física molecular de São Carlos, ligados ao grupo de química analítica e tecnologia de polímeros, desenvolveram na década de 80 uma resina poliuretana a base de mamona, com características excelentes como a possibilidade de manipulação em temperatura ambiente, grande resistência a ação da água e de raios ultravioleta e enorme resistência mecânica, além da vantagem de ser um material que pode ser produzido facilmente, por ser um adesivo oriundo de recurso natural renovável (JESUS, 2000).

Para Dias (2006), painéis compensados e aglomerados são produtos bastante difundidos em setores como construção civil e indústria moveleira, e a constante busca por inovações colocam a resina poliuretana a base de mamona como alternativa promissora na confecção desses painéis, uma vez que muitos dos resultados obtidos foram superiores quando comparados com os painéis fabricados com ureia-formaldeído.

Com relação a produção de materiais reconstruídos de madeira e painéis de madeira e a umidade de equilíbrio (UE), é possível dizer que existe diferença significativa entre a umidade na comparação entre o clima em vários estados da federação, e a constatação da variação de estabilidade dimensional pela umidade de equilíbrio ao longo do ano, são menores em produtos reconstruídos em relação aos valores coletados em madeira maciça, uma vez que a variação menor na anisotropia das partículas e uma tendência do conceito de umidade de equilíbrio de menor taxa de umidade contida nas laminas e partículas, condição influenciada pelas exigências para a aplicação de adesivos (SILVA, 2006).

Segundo Jesus e Kalil júnior (2000), a aplicação do adesivo bi componente Poliol B1640 e pré-polimero A249 a base de mamona em estruturas fabricadas com madeira laminada colada (MLC) se mostrou interessantíssimo como alternativa viável uma vez que é oriundo de recurso renovável e natural e de fácil manuseio, podendo ser curado a frio, não ser agressivo ao meio ambiente e aos seres humanos, com preço equivalente aos adesivos comerciais, podendo vir a ter a ter um custo bem mais acessível se produzido em escala industrial.

Em estudos de emissão de formaldeído em painéis de partículas aglomeradas (PB), partículas duras (HB) partículas de isolamento (IB) e médium Density fiberboard (MDF) produzidos no Japão e levando em conta os efeitos cancerígenos ou não do adesivo, degradação de recursos humanos e demais impactos a saúde via emissão de formaldeído, chegou se a conclusão que a melhoria em qualidade ambiental e processos de produção de painéis derivados de madeira estão vinculados ao maior rigor na redução de emissão de formaldeído dos painéis liberado na atmosfera (NAKANO et.al. 2018).

Ao analisar o uso de três tipos de resinas para a fabricação de painéis aglomerados utilizando madeiras de cedrinho, cordia, fícus e paineira, Negrão et. al. (2014), constataram dentre os inúmeros resultados com base nas análises estatísticas, a superioridade da resina PU-mamona quanto aos resultados das propriedades físicas dos painéis, exceto que os painéis fabricados com Ureia-formaldeído (UF) e Purbond tiveram resultados superiores quanto a módulo de elasticidade na flexão (MOE), e os painéis construídos somente com Ureia-formaldeído se destacaram melhor quanto a módulo de ruptura na flexão (MOR).

O uso de 15% de resina monocomponente e bi-componente na fabricação de painéis de partículas mostrou -se excessiva e com resultados para resistência a flexão estática adesão interna e densidade com até 100% superiores a valores da NBR14810-2 (2002) em alguns casos, mostrando ser um adesivo bem eficiente na confecção de chapas quanto aos valores apresentados para teor de umidade. Mesmo assim, é necessário o ajuste nas variáveis da confecção de chapas, buscando a diminuição da adição do percentual de resina com intuito de reduzir os custos, melhorar o processo de produção e reduzir também os teores de umidade contidos nos painéis fabricados (CRISTOFORO et. al., 2015)

3.6. PRODUÇÃO DE PAINÉIS AGLOMERADOS RECONSTITUÍDOS.

Para Vieira et. al. (2012), o consumo de madeira serrada vem diminuindo de forma gradativa, sendo substituída pela crescente no mercado de peineis de madeira, tanto pela escassez de toras de grandes diâmetros, pressão do ponto ambiental sobre a exploração, além do desenvolvimento tecnológico na produção de painéis de madeira mais baratos, com elevação dessa qualidade para substituição de produtos com base de madeira solida.

A madeira é heterogênea e de estrutura anisotrópica composta por células diferentes que cumprem três funções básicas a planta, sendo o transporte de seiva em toda a planta, transformação e armazenamento de substancias para suprimentos das próprias necessidades e reserva para sua sustentação vegetal, e os aspectos químicos, físicos e anatômicos da madeira como direção das partículas, presença de defeitos e nós, concentração de resinas densidade e teor de umidade podem interferir durante os processos de transformação da madeira (GONCALVES, 2000).

Dentro das peças de madeira ocorre ainda a variação de umidade, capaz de promover defeitos quando esse teor de umidade atingir pontos de saturação das fibras (PSF) inferiores a 28%, que tem como opção para alteração dos componentes hidrófilos dessa madeira a fim de controlar o modo de variação dimensional através de tratamento térmico, casando redução higroscópica com a degradação da seu constituinte mais hidrófilo que é a hemicelulose, além de outras modificações na estrutura da madeira reduzindo assim tanto a contração quanto o inchamento

(BORGES E QUIRINO, 2004)

Sendo excelente na utilização pela engenharia para fabricação de produtos de altíssima qualidade, a madeira pode gerar problemas quando se trata da fabricação de superfícies de geometria complexa, seja pelos fatores anisotrópicos, cinemática do processo de corte, densidade, umidade e mais uma série de fatores que acabam dificultando atingir um acabamento de superfície de qualidade (SANDAK et. al. 2004).

Para Foelkel et. al. (1971), a densidade da madeira é um importante fator de avaliação de suas características, pois com ela é possível avaliar algumas qualidades da madeira e da celulose contidas na planta. Mas há ainda que se considerar outros fatores também, pois árvores de diferentes espécies e com a mesma densidade podem gerar peças de madeira tecnologicamente e anatomicamente diferentes, cuja densidade real da madeira ou densidade da parede celular da madeira pode ser calculada excluindo se os espaços vazios da madeira com imersão da madeira na água e podem atingir até 1,53 g/cm³ em algumas espécies (FOELKEL et. al. 1990).

Na visão de Amaral (1994), essa densidade representa basicamente a quantidade de medida da massa do material lenhoso de uma determinada peça de madeira por uma unidade de volume, e está diretamente ligada a propriedades físicas e mecânicas como resistência mecânica e dureza, sendo essa densidade da madeira uma característica herdada por adição e correlacionada à espécie genitora, como módulo de crescimento, densidade, resistência a pragas, podendo haver, por exemplo, uma planta da mesma família que é resistente a pragas e outra do mesmo gênero e espécie diferente ser mais susceptível a elas (REIS et. al. 2013).

Para a produção de painéis aglomerados dois componentes básicos são essenciais, as partículas de madeira que podem ser utilizadas de diversos formatos sem maiores problemas e o adesivo que podem representar um ponto dificultante, por ser um componente de alto custo no processo produtivo e pode representar até 60% do valor final de produto (IWAKIRI, 2005). Em uma definição mais precisa, os painéis de madeira aglomerada são formações solidas de madeira constituída de partículas de madeira em várias dimensões, impregnadas de resinas ou naturais como o tanino a resina de mamona ou resinas industrializadas ou sintéticas, prensados sob a ação de variáveis como calor e de pressão (MALONEY, 1993).

Na concepção de Suchsland e Woodson (1986), o painel de partículas é baseado em fragmentos pequenos em comparação as folhas de compensado e muitas vezes maiores que células de blocos de construção biológica da madeira maciça, com dimensões irregulares e montadas de forma aleatória, e por esta razão a categoria de painéis de partículas está posicionada ligeiramente a direita da gama natural da madeira maciça, representada na Figura 9.

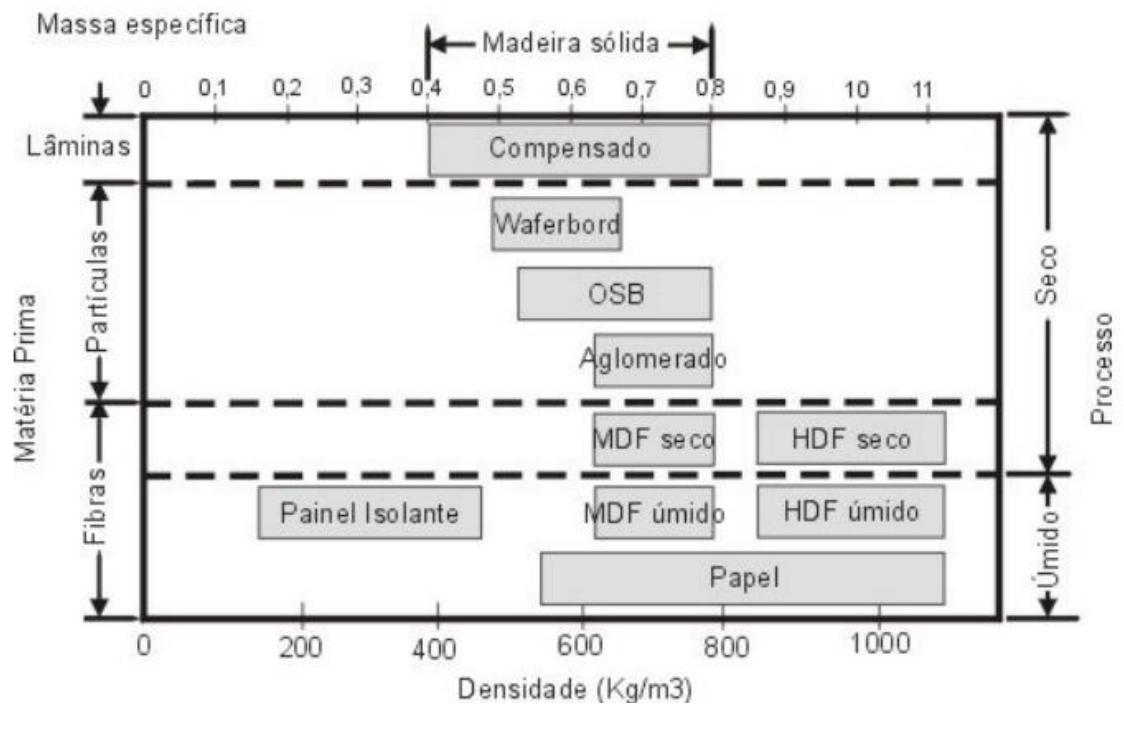


Figura 9. Classificação de painéis reconstituídos de madeira

Fonte: Razena (2006), adaptado de Suchsland e Woodson (1986).

A madeira utilizada na produção das chapas pode ser de alta, baixa ou média densidade onde se leva em considerações variantes como teor de umidade das partículas, a vaporização de gases e aglomerante, a pressão aplicada, a resistência mecânica interna e externa e aplicabilidade dos painéis ou chapas, onde a granulometria das partículas pode vir a ser de grande influência na classificação das chapas homogêneas ou de camadas múltiplas (MALONEY, 1993) e TONISSI (1988).

À medida que as toras são processadas em elementos de grã das fibras mais longos ou curtos, com a redução de comprimento, espessura e largura poderá ocorrer maior formabilidade, diminuição ou acréscimo de resistência e peso, aumento ou diminuição das características como isotropia e homogeneidade, acréscimo ou decréscimo da qualidade da matéria prima final e aumento ou diminuição da lucratividade, como retratado por Marra (1992),

Na descrição contida na Figura 10, o detalhamento das divisões da estrutura da madeira em componentes de acordo com a diminuição da espessura ou comprimento sugerido por Marra (1992)

ELEMENTOS GRÃ LONGO

ELEMENTOS GRÃ CURTO

DISCO

ELEMENTOS E FIBRAS

ELEMENTOS E FIBRAS

ELEMENTOS E FIBRAS

ELEMENTOS QUÍMICOS

ELEMENTOS QUÍMICO

Figura 10. Detalhamento de processamento dos elementos da madeira

FONTE: MARRA (1992)

Os painéis particulados de madeira são produzidos de formas distintas, sobre partículas ou fibras secas e aplicação de adesivo para a formação dos colchões, que são submetidos à prensagem a quente para cura do adesivo, e após conformados passam pela normatização quanto a largura, comprimento e acabamento superficial das peças, conforme estes são classificados de acordo com a matéria prima , processo de produção e pela massa especifica das fibras (YOUNGQUIST, 1999).

Para Araujo et. al., (2019) A interação entre as partículas de madeira pode ser um fator decisivo no desempenho final do painel de partículas, podendo-se afirmar que a geometria das partículas pode interferir diretamente nas condições finais do painel particulado de madeira. Partículas com comprimentos maiores podem gerar boas qualidades mecânicas do painel, enquanto as partículas comprimentos menores contribuem para uma melhor qualidade superficial, ter maior dureza e geração de melhores condições de ligação interna dos particulados (IRLE, 2010).

Tonissi (1988), define como sendo chapas homogêneas os painéis cujas partículas com granulometria variada estão apresentadas na mesma proporção, que resultam em uma única operação para a formação do colchão, enquanto que as chapas de camadas múltiplas são formadas por mais de três camadas, distribuídas em operações sucessivas e simétricas nas extremidades, tendo como base de relação uma camada central de partículas maiores e partículas menores nas camadas externas.

A variação dos teores de resina podem ser um diferencial para evitar expansão linear dos painéis, onde o aumento de densidade são fator predominante quando submetido a condições de temperatura umidade entre 40°C e 90% de umidade. Desta mesma experiência, foi constatado que o aumento dos teores de resina de 6 para 12% de volume de massa foi responsável pelo aumento da expansão linear e diminuição do inchaço dos painéis testados (SUZUKI & MYAMOTO, 1998).

Para Varanda et. al. (2010), a utilização de madeiras provenientes de florestas plantadas(reflorestadas), vem sendo cada vez mais requisitadas para substituir a importação de madeira originaria de outras regiões ou de florestas nativas, são empregadas em grande escala nos mais diversos segmentos de produção, como indústria moveleira, indústrias de painéis de madeira, indústrias de estruturas de madeira e na construção civil em geral, contanto que sejam respeitadas as e características químicas, físicas e anatômicas da madeira que será utilizada para estes fins, além de ter obrigação de respeitar as legislações ambientais. O processamento de madeira para fabricação, a indústria tem evoluído continuamente em busca de novos processos e novas tecnologias para melhorar de forma constante a produção, visando obter melhor qualidade do produto final com aumento da lucratividade dentro destes segmentos, seja produzindo mais, seja com a economia da matéria-prima utilizada no processo (SALONI et. al. (2010).

O trabalho de Nascimento et. al. (2013), indicaram as variadas definições de classificação dos painéis aglomerados, que podem possuir uma ou mais camadas homogêneas, dependendo é claro do melhor acabamento superficial que se deseja obter, além da maior resistência entre as ligações das camadas internas para conferir a esses painéis maiores graus de compactação.

Anterior a essa visão, Haselein et. al. (1989), descreviam através de seus experimentos que a mistura heterogênea das partículas de diferentes tipos de madeira, ou seja, na proporção de 50% de cada espécie, pode atuar na possibilidade de formar painéis com propriedades físico-mecânicas bem melhores do que o painel produzido com uma única espécie, sendo que ainda, essa mistura também pode ser em diversas proporções e seus resultados podem ser bastante variados e promissores.

A geometria das partículas utilizadas na confecção do painel e a interação entre partículas de madeira é decisivo e tem grande influência no desempenho do painel particulado, onde a maior quantidade de partículas menores na composição interna proporciona menores espaçamentos em vazio, gerando melhora na propriedades mecânicas, sendo que na maior incidência de partículas maiores nas camadas intermediarias interferem de forma negativa no desempenho do painel (ARAUJO et. al., 2019).

3.7. ENSAIOS FÍSICOS E MECÂNICOS EM PAINÉIS DE MADEIRA

De modo geral, as espécies de baixa densidade especifica são muito bem aceitas pelo mercado de fabricação de painéis aglomerados, também por possuírem características distintas como rápido crescimento e ciclo de maturidade, o que atende as necessidades, como da grande demanda de matéria prima para suprir a s plantas fabris doas regiões sul e sudeste, como tem sido empregado o gênero *Pinus* nas linhas de produção (IWAKIRI, 2005).

Na análise das propriedades físicas de chapas particuladas de madeira de Mimosa tenuiflora, popularmente Jurema preta via recomendações da ASTM 1037/1996, comparadas com traços de painéis comerciais, com os ensaios de determinação dos módulos de resistência e elasticidade no ensaio de flexão estática, resistência na tração paralela às faces, resistência ao arrancamento de parafusos, inchamento, absorção de água e massa específica, os resultados obtidos no teste da madeira Jurema preta apresenta condições satisfatórias par era usados na fabricação de painéis particulados de madeira (NASCIMENTO E LAHR, 2007).

A aplicação de calor na prensagem e variação dos ciclos de calor no aquecimento, aliado a distribuição irregular das camadas de fibras acarreta em áreas de fragilidades e desequilíbrio dimensional quando expostos a umidade, onde a imersão libera tensão residual, gerando falhas e quebras de ligação, causando assim elevação na penetração de água e agravamento da integridade interna dos painéis com desprendimento das camadas de fibras (WONG et. al., 2000).

Diferenças entre um processo de prensagem e outros fatores como ação de pressão, calor e umidade pode interferir na diferença de formação densidade ao longo da espessura de painel de fibras de lauan (*Shorea spp.*) com perfil de densidade plano, homogêneo (homo profile) e típico em U (convencional) em resina aglutinante de isocianato com prensagem a quente em duas fases e conformação a frio resultaram em uma variação maior na densidade de pico (PD) e na densidade do núcleo (CD) em painéis de média densidade (WONG et. al., 2000).

De acordo com Haselein et. al. (1989), a mistura heterogênea das partículas de diferentes tipos de madeira, na proporção de 50% de cada espécie da possibilidade desses painéis mistos, que apresentarem propriedades físico-mecânicas superiores aos painéis produzidos com uma única espécie, sendo que a variação dessas misturas pode vir a gerar resultados bastante variados, sem contar promissores no ponto de vista da pesquisa.

De modo geral, painéis produzidos com 50% de diferentes tipos de madeira, como pinus e uva-do-Japão, como no trabalho de Napoli et. al. (2013), definem os melhores índices de estabilidade dimensional quando os painéis comparados possuem 50 % de cada componente, como o painel concebido com 50% Pinus e 50% Bracatinga, tendo ainda a análise de que os painéis industriais de três camadas de pinus produzidas na linha de produção estão sujeitos a inchamento em espessura menores em relação a painéis homogêneos e outros painéis produzidos em laboratório.

Sanches et. al. (2016) cita trecho da norma de comercialização da ANSI A 208.1 (1993) na qual os valores mínimos para painéis de media densidade (0,64 a 0,80 g/cm³) os valores aceitáveis para MOR são de 5 a 11 MPa, enquanto que para MOE são aceitos valores de 1025 a 1725 MPa, enquanto que nos trabalhos conduzidos por Sanches, Hillig, Iwakiri e Napoli, os valores médios observados para MOE estiveram entre 923,61 MPa no painel contendo 50% das partículas de eucalipto e 50% Bracatinga, e atingindo 1616,54 MPa nos painéis contendo 100% das partículas de pinus.

3.8. DENSITOMETRIA DE RAIOS X PARA ANÁLISE DE DENSIDADE

De acordo com Quirino et. al. (2012), a densitometria de raios X tem sido usada para diversos fins, e a aplicação da técnica para avaliação de estruturas de madeira e peças de materiais compósitos, tanto para caracterização de anéis de crescimento em madeira bruta, como também avaliação de painéis de MDF e caracterização anatômica de diversas espécies de madeira.

Os estudos utilizando a aplicação de análise de densidade da madeira, utilizando a técnica de densitometria nos laboratórios da ESALQ de Piracicaba tomaram impulso após os estudos de Amaral (1994) e Tomazello Filho (1998), gerando ao menos 45 publicações sobre qualidades do lenho, biodegradação, diferenciação de anéis de crescimento, efeitos das práticas silviculturais e fixação de carbono entre outros.

Segundo Tomazello Filho et. al. (2008), apesar desse processo de Densitometria de raios X para avaliação de madeira remeter as décadas de 1960 com Polge, na França e aos anos de 1970 e 1971 com Parker do Canadá, com estudos relacionados a avaliação quantitativa do lenho e correlação de efeitos da ação do clima com a densidade dos anéis de crescimento da madeira respectivamente, os estudos sobre avaliações por raios X em espécies de madeiras tropicais ainda seguem bem restritas.

Nos ensaios com briquetes de madeira compactada do trabalho de Quirino et. al. (2012), constatou-se através da análise por raios X, que parâmetros ideais de compactação da madeira, granulometria da biomassa e temperatura de compactação darão maior qualidade aos briquetes, pois influi na resistência a compressão diametral das peças.

Na determinação da densidade aparente pelos métodos de gravimetria e densitometria por raios X, em painéis OSB produzidos a base de Pinus *taeda*, *elliottii* var *elliottii* e *caribaea* var hondurensis, os resultados obtidos demonstraram maiores de valores obtidos no ensaio gravimétrico, ante os obtidos pelo ensaio densitométrico (SURDI et.al., 2014).

Nesse caso, os resultados para densidade mínima pelo método densitométrico não sofreram influência dos ciclos de prensagem ou da espécie de madeira avaliada, mantendo valores maiores nas faces e menores no núcleo do painel e a densidade aparente, diretamente associada ao formato dos perfis, sua ligação interna dos painéis e suas propriedades mecânicas e essa similaridade dos colchões de fibras e sua relação com as condições de prensagem correlacionaram os perfis de densidade média a densidade mínima tanto painéis produzidos na indústria quanto fabricados em laboratório via análise de PERSON (SURDI et.al., 2014).

A Densitometria de raios X pode proporcionar uma análise acurada com relação a aspectos de variação de densidade aparente, demarcação das zonas fibrosas e sua estrutura anatômica, como ao exemplo da análise de *Eucalyptus grandis*, que de acordo com os resultados de densidade aparente próximo à casca, permite que se aplique seu lenho para a fabricação de produtos com maior valor agregado (OLIVEIRA, et. al., 2012).

O uso microdensitometria por raios X na análise para comparação de perfis de densidade mostrou-se um meio bastante eficiente para determinação das variações nos perfis de densidade aparente dos painéis de madeira aglomerada a base de Acácia *mangium*, com encolagem por ureia-formaldeído e tanino comercial onde a técnica de micro-deteccão foi eficiente na obtenção direta de densidade, com fortes correlações entre as medias obtido no microdensitômetro e o método gravimétrico tradicional (GONÇALVES et. al., 2018).

Para Bueno (2019) fabricantes de painéis como MDF utilizam a análise dos perfis de densidade por raios X para atestar características tecnológicas no momento da produção., dessa forma, os ensaios de raios X ponto a ponto ao longo da espessura gera zonas de densidade apontada nos gráficos, que divididos em zonas mostram áreas com maiores ou menores densidades sobre a espessura dos painéis.

A descrição dessas zonas de densidade projetadas por alguns densitometro QMS pode ser vista na representação de Bueno (2019), listando nas Figuras 11 A e 11 B com a representação gráfica e física de 5 zonas de análise.

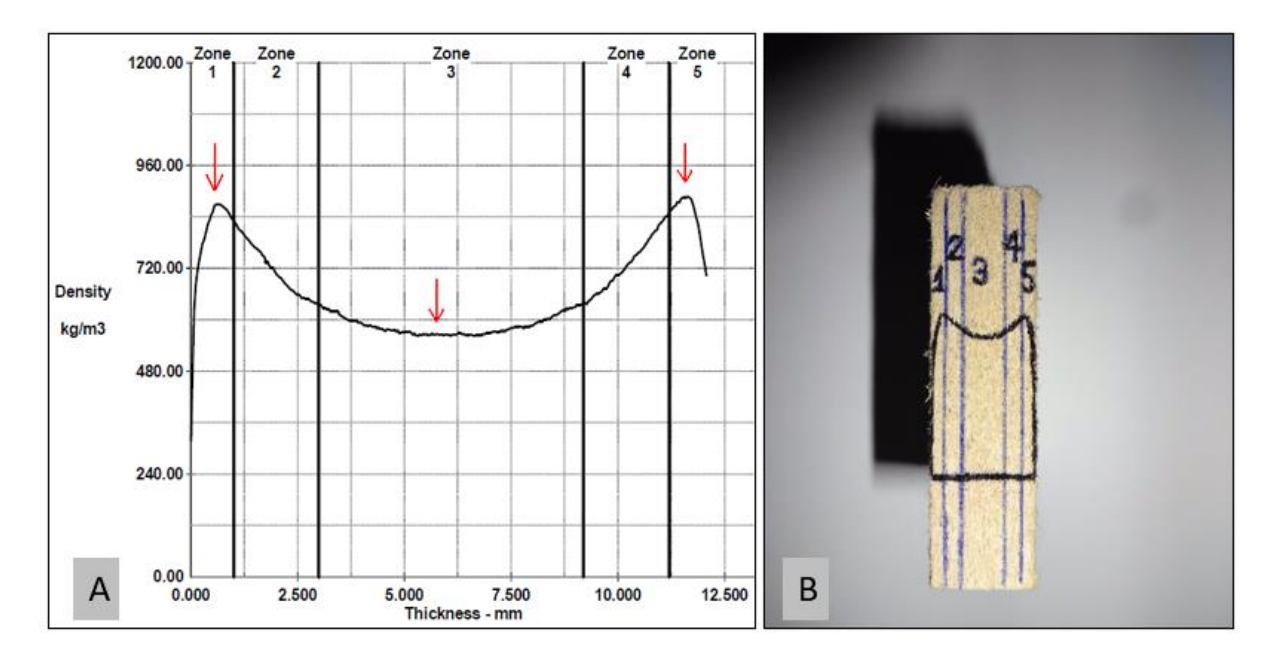


Figura 11. Demonstração das zonas de densidade do painel

Fonte: Bueno (2019).

Siqueira (2004) descreve que enquanto o equipamento de raios X efetua os disparos por passos de comprimento (µm), a respostas a esses disparos é a geração de gráficos com divisão em zonas de separação que permitem a avaliação de perfis em formato semelhantes a uma letra maiúscula "M" ao longo da espessura do corpo de provas, considerado como um painel ideal, uma vez que esse formato gerado também pode ser considerado como um indicativo de que houve ou não uma boa conformação do painel durante seu processo de produção ou prensagem.

Segundo Bueno (2019), que testou o processo de análise por raio X nos painéis construídos com Fibras de coco e eucaliptus, observando os gráficos gerados pelo microdensitometro se constatou que a densidade captada é mais levada próximo as faces do painel, e vai diminuindo em direção ao centro, e à medida que se adicionava fibras de coco, os picos máximos diminuíram enquanto que as regiões de mínima densidade foram se elevando, levando a um equilibro maior dos painéis com relação a densidade média, sendo totalmente diferentes dos gráficos de densidade gerados por painéis comerciais que são fabricados por métodos de prensagem com maior controle.

3.9. MICROTOMOGRAFIA DE RAIOS X EM MADEIRA E PAINÉIS

Para Mayo et.al.,(2010) e Belini et. al., (2011), a Microtomografia pode ser considerado um ensaio do mais alto nível de confiabilidade e sofisticação dentre os ensaios não destrutivos, por atuar com a atenuação de feixes de raios X em diversos ângulo, comprimentos e alturas permite a captação de milhares ou até centena de milhares de imagens capturadas por uma super câmera que concentra e assegura o processamento destas imagens para a construção de objetos em 2D e 3D capazes de revelar a estrutura interna dos objetos, sendo excelente no caso de ensaios em madeira e painéis de madeira possibilitando detectar defeitos e imperfeições no material.

Há indícios de que a análise de peças de madeira por técnicas de raios X tenha iniciado em meados de 1920 (BELINI, et. al., 2011), sabendo que a maior dificuldade nesses procedimentos que envolvem análises radiográficas está em conseguir obter imagens realmente definidas das zonas de diferentes massas especificas analisadas (FERRAZ; TOMAZELLO FILHO, 1978).

Criadas para aperfeiçoar as analisar muitas áreas do corpo, antes inacessíveis a técnicas de radiologia, foi desenvolvido um equipamento com um tubo radiográfico que gira em sentido axial em torno do paciente, enquanto detectores no lado oposto do corpo detectamos raios X emitido pelo corpo do paciente e recebeu nome de tomografia computadorizada (FRIEDLAND e THURBER, 1996), e esse feito histórico para os avanços da medicina rendeu a Allan M. Cormack e Godfrey N. Hounsfield o prêmio Nobel de medicina em 1979, por construírem o primeiro Scanner CT a ser utilizado (NASCIMENTO-DIAS, 2017).

A utilidade do micro-CT de raios X muito além de seu uso no campo da medicina, ocupando áreas como ciência dos materiais, botânica, zoologia, geologia, solos, eletrônica, mecânica, odontologia e farmácia, mesmo que timidamente devido ao alto custo desse tipo de equipamento (LASSO et. al., 2008). Isso também porque a tomografia computadorizada de raios X permite visualizar e medir os parâmetros morfológicos no interior dos materiais, podendo caracterizar, e medir as propriedades físicas e materiais da amostra, sem destruí-la (LASSO et. al., 2008).

Belini et. al. (2011), consideraram a Microtomografia de raios X uma das técnicas de análise não destrutiva mais avançada no que tange a avaliação da estrutura anatômica da madeira e subprodutos através da reconstrução e disposição de elementos anatômicos da madeira em 3D com a obtenção de imagens macro e microscópicas, permitindo assim sua caracterização e avaliação quantitativa, o que expressa grande vantagem ao se manter a integridade das amostras de madeira, painéis, carvão, papel entre outros se comparada à confecção por meios tradicionais, baseada em uso de laminas histológicas.

Basicamente, a Microtomografia computadorizada (µCT) permite avaliar o material de estudo por cortes internos através de centenas de seções microtomograficas transversais, que possibilitam a visualização 2D ou a renderização 3D da amostra, indicando também área, volume e outras quantificações automatizadas, sendo uma forma eficaz de entender melhor a ligação entre propriedades micro estruturais e físicas do material analisado, e depende da utilização de computadores com capacidade para reconstruir e processar essas imagens, e nem sempre ficarão dentro do ideal (FERNANDES et. al., 2012).

A metodologia no processo de formação de raios X de maneira artificial é realizada por aceleração de elétrons contra um meio ou corpo metálico, com o bombardeamento desse material com uma imensa carga de elétrons carregados de energia cinética, gerando um feixe que é convertido em radiação eletromagnética de ondas curtas e alta frequência, com imensa capacidade de penetrar vários tipos de materiais (LOPES et. al., 2012).

Estas imagens fragmentadas são reproduzidas e salvas nos formatos BMP, TIFF, JPG, PNG ou dados numéricos e fornecem reconstruções de volume em interesses restritos, seleção de janelas de densidade e otimização de alinhamento, ampliação do campo de visão em objetos de maior volume entre outras opções fornecem várias opções de reconstrução multithread pelo algoritmo Feldkamp, reconstrução InstaRecon® e reconstrução acelerada por GPU com programas de reconstrução por algoritmos volumétricos de feixe cônico que se adaptam a geometria de varrimento para cada scanner micro-CT (Bruker.com, 2020).

Na Figura 12 pode ser visualizado em detalhamento tridimensional de um scanner SkyScan 1174, onde o ponto (1) indica a fonte de raios X microfocus 20-50kV, (2) a Câmera de raios X com sensor CCD, (2a) a localização do lente macro motorizada de alta resolução, e (3) mostra base manipuladora 50 mm com giro 360°.

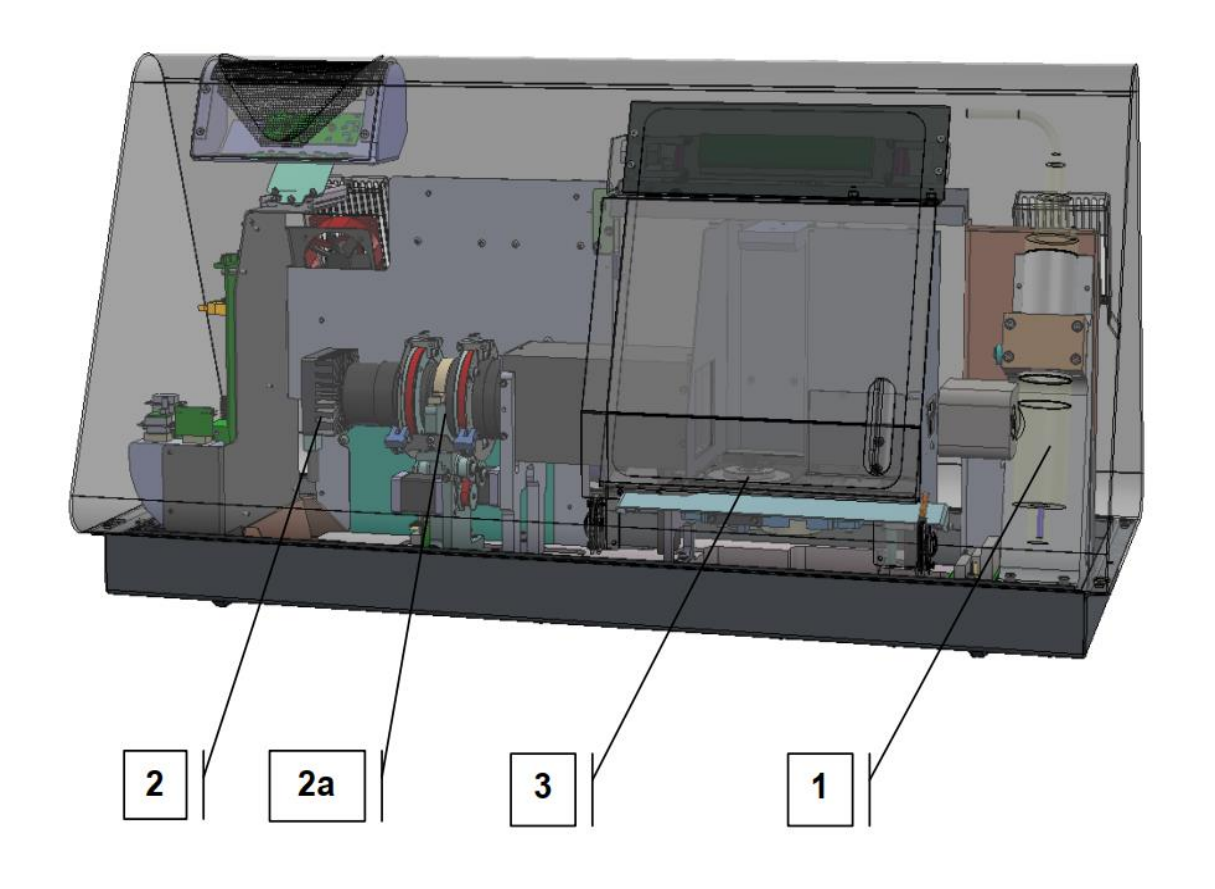


Figura 12. Construção tridimensional do scanner SkyScan1174.

Fonte: SkyScan 2019.

O uso do micro-CT possibilita a reconstrução da estrutura anatômica do lenho de espécies folhosas, como na reconstrução feita por Belini et. al., (2010), que pode comparar as inúmeras vantagens do método não destrutivo, além da avaliação quantitativa da estrutura anatômica da madeira e etapas como visualizar planos transversais, longitudinais e tangenciais da madeira, caracterização macro e microscópica do lenho, reconstrução das disposições e alinhamentos dos elementos anatômicos da madeira, vasos, parênquima radial, longitudinal e fibras.

Além de proporcionar melhor identificação de compostos químicos presentes nas amostras, seja de fases minerais pela atenuação contrastante para facilitar o entendimento entre diferentes fases de compostos químicos presentes em determinada região da amostra avaliada, permitindo que a experiência do operador quanto ao procedimento e o equipamento permitam extrair boas imagens dos elementos, para assim obter resultados realmente confiáveis (DIAS, 2017).

Na Figuras 13 A, uma interface das imagens sob o eixo de coordenadas X, Y, Z no micro-CT SkyScan 1174 e a projeção tridimensional em DataWiewer, e 13 B a reconstrução gerada da estrutura morfológica da amostra, pelo programa CTan.

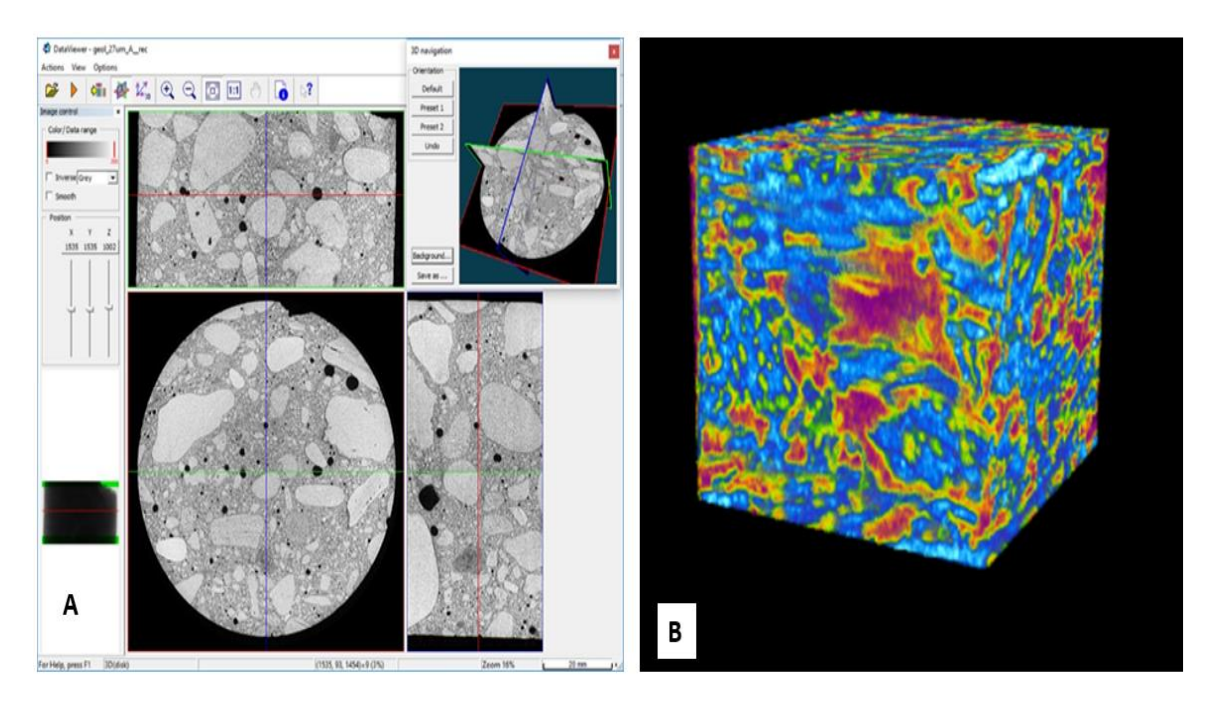


Figura 13. Imagens do funcionamento de um micro-CT SkyScan 1174

Fonte A: https://www.bruker.com/pt/products.html. Fonte B: Acervo do Autor

Para Dias (2017), a utilização da µCT possibilita a visualização em centenas de cortes não destrutivos, que por sua vez tornam possível a visualização tridimensional nas amostras para identificação de características físicas e morfológicas de materiais presentes nas amostras como volume, distribuição, densidade áreas porosas etc., sem a necessidade previa de preparação minuciosa das amostras.

4. MATERIAIS E MÉTODOS

Neste capítulo são abordadas todas as etapas do projeto, desde a escolha e coleta da madeira a ser utilizada, o processamento desses materiais para a obtenção das partículas necessárias para o desenvolvimento do projeto, a descrição detalhada dos procedimentos necessários para processamento e fabricação dos painéis, a porcentagem de resina aplicada e misturas de partículas, além dos equipamentos utilizados e dos métodos de fabricação do painel aglomerado contendo *Corymbia* e teca.

4.1. MATERIAIS UTILIZADOS

- Partículas de madeira Corymbia citriodora coletadas em cerraria tradicional, com árvores com idades e dimensões variadas,
- Partículas de madeira Tectona grandis, vindas de propriedade com sistema de manejo agropastoril,
- Balança digital Marte, modelo BL 3200, carga máxima de 3,2 kg com divisão de 0,01g;
- Caixas formadoras em madeira compensada, para moldagem do colchão de partículas;
- Prensa manual de madeira para pré-prensagem a frio, do próprio laboratório de processamento de madeira da Unesp;
- Prensa hidráulica, fabricada pela empresa PHS, modelo PHH 80T, com potência máxima de 80 toneladas e temperatura máxima dos pratos para até 200°C;
- ➤ Estufa de secagem fabricante SOLAB, modelo 102/480, potência de 4000 W, com temperatura máxima de 200°C;
- Conjunto de peneiras vibratórias da fabricante Pavitest;
- ➤ Serra esquadrejadeira marca Verry, mesa de 1,5 por 0,60 m e serra circular fabricante Leitz especificação 250 x 2.8 e2.0x30 HW Z80/9.82;
- Dissecador fabricante Arsec controle de umidade:

4.2. METODOLOGIA

A descrição metodológica do processo, destaca de forma detalhada todo o processo de produção do painel aglomerado, desde a coleta da madeira e escolha da resina, utilização dos equipamentos e a fabricação em si, separação das partículas por granulometria, adição de resina, forma de mistura, conformação nas formas, prensagem e colagem dos painéis, separação e normalização das peças para os procedimentos de corte.

4.3. EXTRAÇÃO E PROCESSAMENTO DA MADEIRA UTILIZADA

A madeira *Tectona grandis* foi coletada de uma floresta experimental particular na fazenda São José, no município de São Carlos-SP, com a seleção de uma árvore que possuía aproximadamente 18 anos na data de colheita. Essa floresta de cultivo de teca segue espaçamentos de 4 por 3 metros por árvore e um manejo de introdução da cultura juntamente com um sistema de manejo agropastoril da propriedade. A árvore selecionada coletada na região central da área plantada, possuindo DAP de 68 cm de diâmetro e 10 metros de altura aproximadamente, como destacado na Figura 14.



Figura 14. Colheita, coleta e processamento da Teca em São Carlos-SP.

Fonte: Acervo do Autor.

A *Corymbia* foi coletada no município de Torrinha-SP, em uma serraria especializada em extração e corte de *Eucaliptus* e *Corymbia* para fabricação de dormentes ferroviários, balancins e moirões para cercas e currais e madeiramento de caibros e vigotas utilizado em construção civil e fabricação de moveis, onde foram coletadas fragmentos de árvores de *Corymbia citriodora* recém serradas por serra de desdobro, ainda verdes para facilitar o corte sem danificar as pranchas, e destes desdobros, foram coletadas de forma aleatória várias partes da árvore entre cerne e alburno com toras com diâmetro DAP (diâmetro a altura do peito) de 50 a 80 cm em média, considerada uma árvore com um bom grau de maturidade.

Na Figura 15 é possível visualizar as arvores de *Corymbia citriodora* no habitat onde foram cortadas, o processo de descarregamento na serraria e o processo de serragem para fracionamento da madeira por serra de desdobro.

Figura 15. Colheita, coleta e processamento da Corymbia citriodora.





Fonte: Acervo do Autor.

As toras de *Corymbia* e *Tectona* foram transportadas para o Laboratório de Processamento de Madeira (LPM) do Departamento de Engenharia Mecânica da Faculdade de Engenharia da UNESP de Bauru. As peças trazidas para o laboratório ainda verdes foram colocadas para secagem natural a sombra, por um período de 30 dias até o processamento dessa madeira em partículas menores. As toras cortadas foram limpas, descascadas e processadas em um triturador de facas rotativo Lippel, modelo TM-30, onde o material foi totalmente picado e desfragmentado em forma de cavacos de granulometrias variadas, em dimensões.

Esse material triturado foi ensacado e pesado para ser processado, onde foram obtidos aproximadamente 75 kg de material particulado de cada espécie, que foram levados em seguida para o processo de peneiramento, destacadas nas imagens A, B e C da Figura 16, detalhes do equipamento, o painel de comando e o procedimento de trituração e formação das partículas.



Figura 16. Triturador TM-30 LIPPEL, corrente e tensão de trabalho e cavacos.

Fonte: Acervo do Autor.

O processo seguinte a ser aplicado foi o peneiramento utilizando o conjunto de peneira vibratória Pavitest, que possui um conjunto de peneiras com separação por divisão de granulometrias de partículas e separação em peneiras de diferentes aberturas de malha com dimensionamento que variou entre (< 5 e > 60 mesh) maiores que 5 Mesh até partículas menores de 60 Mesh.

A ideia de separação das partículas foi uma alternativa para uma maior limpeza das partículas com a, retirada do máximo de impurezas possíveis para não afetar a qualidade dos painéis e facilitar os procedimentos que viriam a seguir

Na Figura 17, é possível ver o conjunto de plataformas das peneiras instaladas na peneira vibratória Pavitest em operação (A), as partículas e Corymbia (B), e as partículas de teca (C) já separadas para secagem e início de produção dos painéis particulados.

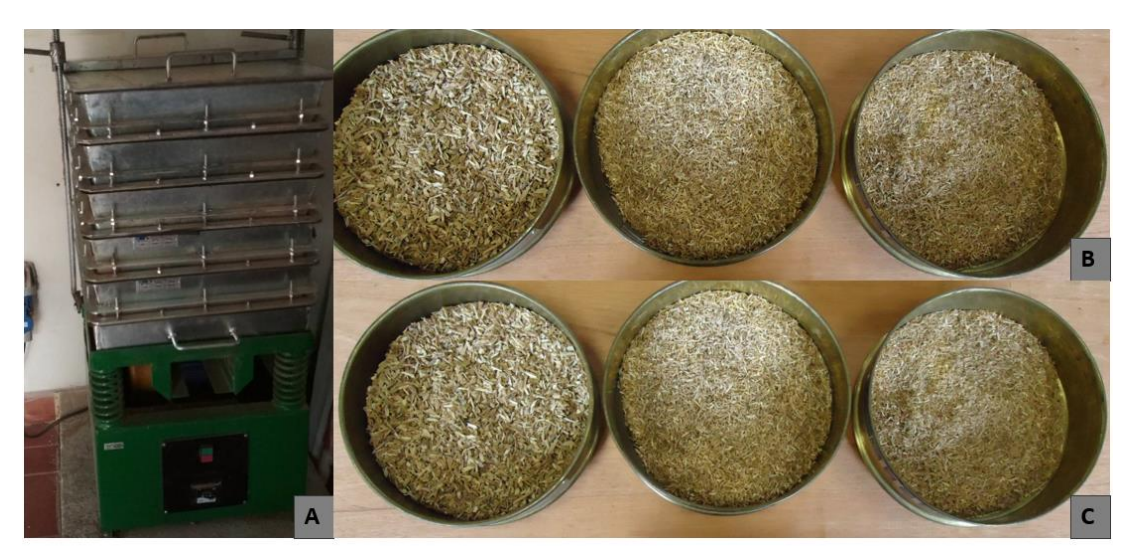


Figura 17. Etapas de peneiramento e separação das partículas

Fonte: Acervo do Autor.

O processo de peneiramento, além de dividir nas granulometrias ideais para o trabalho, contribui também para a eliminação de impurezas como torrões de solo, cascas e poeira, entre outros e sua separação também facilita a pesagem e mensuração de quanto material particulado de cada granulometria estará disponível para a confecção dos 25 painéis aglomerados a serem produzidos. O volume de material processado gerado foi de 35 kg de particulado da espécie Corymbia citriodora e 37,5kg de partículas da espécie Tectona grandis, distribuídos nas três granulometrias distintas, como é possível visualizar na Figura 18

Figura 18. Distribuição das partículas por granulometria após processo de peneiramento.







Fonte: Acervo do Autor

4.4. RESINA POLIURETANA BI-COMPONENTE AG 101

A Resina utilizada neste trabalho foi fabricada pela empresa de Resinas Kehl, de São Carlos-SP, composta de um aglomerante bi componente de base poliuretana Poliol e um ligante endurecedor pré-poliol polimérico, com código de identificação AG101. O componente A é composto por isocianato difuncional ou polifuncional que contém mistura dedifenilmetano diisocianato em estado líquido de aspecto marrom escuro com densidade aproximada de 1,24 kg/litro. O componente B possui poliol aglomerante em estado líquido, derivado de óleo vegetal a base de mamona com presença de cargas minerais e pigmentos de aspecto colorido em tom amarelado, com odor característico e densidade aproximada de 1,0 kg/l.

A resina AG101 ao misturada torna se insolúvel em água, onde a junção dos componentes formam um composto de massa viscosa com alta capacidade de aderência em qualquer produto de superfície porosa, sendo capaz de efetuar uma boa fixação, colagem ou impermeabilização para proteção superficial com alta resistência quanto a absorção de líquidos além de dar maior resistência contra variação dimensional por absorção de água ou deformação superficial, como é possível ver na Figura 19, Resina e aglomerante PU com diferenças de densidade.



Figura 19. Componentes da resina poliuretana AG101.

Fonte: Acervo do Autor

4.5. FABRICAÇÃO DOS PAINÉIS COM TECTONA E CORYMBIA

O cálculo da dimensão do painel para quantificação de materiais para fabricação dos painéis totalizou 15 kg de partículas de cada componente (teca e *Corymbia*), que foram levados para secagem em estufa SOLAB de forma separada, onde passaram por aquecimento a 100°C ± 3°, por 72 horas, para controlar a umidade do material em teores abaixo de 10%, considerados pela norma NBR14810-2 (2013) como ideais para painéis aglomerados.

Na definição dos painéis foram levados em consideração diversos fatores como a densidade média de 0,75 g/cm³ ou 750 kg/m³, subdividindo os painéis em 5 traços distintos, com o primeiro painel contendo 100% de sua composição baseada em partículas de Corymbia, o segundo painel com 75% Corymbia e 25% Teca, o terceiro contendo 50% Corymbia e 50% Teca, o quarto painel com 25% Corymbia e 75% Teca e o quinto traço com 100% Teca, onde a variação das partículas em porcentagem de massa, os cálculos de dosagem aplicada e o peso do material.

Cada painel produzido recebeu 60% de material particulado mais grosso com granulometria entre 5 a 9 Mesh, outros 30% de material particulado tendo granulometria entre 10 a 18 Mesh e os 10% restantes sendo usado o material particulado fino variando de 28 a 60 Mesh, completando assim a formação dos colchões de partículas.

Considerando o volume máximo de material para a produção do painel, a compactação máxima das partículas e a fôrma para conformação dos painéis foi elaborada a Tabela 3 contendo a divisão de cada porcentagem e dosagem a ser usada em cada traço de painel para uma construção uniforme.

Tabela 3. Combinação dos traços dos painéis de T1 a T5.

Gramatura (mesh)	Porcentagem de massa	Cálculo das dosagens*	Peso de material por painel (g)	
<5 >9	60 %	1158,24 * 0,6	694,95	
<10 >28	30 %	1158,24 * 0,3	347,48	
<28 >60	10 %	1158,24 * 0,1	115,83	
* O cálculo da quantidade de material por painel para densidade de 750kg/m³ (0,38 cm *1,27 cm * 0,75g/cm³= 1,158,24 g)				

Fonte: Acervo do Autor.

O cálculo de materiais para a produção dos painéis levou em consideração a densidade desejada nos painéis, o melhor preenchimento dos painéis e as dimensões do arco limitador do painel que possui 38 x 32 x 1,27 cm (comprimento, largura e altura), gerando uma estimativa de 1158,24 gramas de material particulado por peça,

Na primeira etapa foi efetuada a pesagem do material que é acomodado no recipiente de mistura, sendo colocadas de forma ordenada as partículas mais grossas de 5 a 9 mesh, depois 10 a 16 mesh e por fim as partículas menores com 17 a 28 Mesh, ficando as partículas menores acomodadas na parte central do bolo para receber a mesma dosagem de impregnação da resina no máximo de partículas possível deforma mais uniforme possível durante a mistura.

Os detalhes dessas etapas do processo de produção descrita nas Figura 20, seguem a sequência alfabética de pesagem das partículas (A, B, C) adição da resina (D) e mistura dos componentes com a resina (E, F).

Partículas de 5 à 9 mesh

Partículas de 9 à 28 mesh

Partículas de 28 à 60 mesh

Aplicação da resina Pu

Mistura dos componentes

Partículas impregnadas

Figura 20. Pesagem e mistura dos componentes do painel

Fonte: Acervo do Autor.

Foi aplicada a mistura de 1:1 (um pra um) do adesivo na proporção de 10% da massa total em peso seco das partículas em todos os painéis, seguindo recomendações do fabricante como ideal para adesão em pó de madeira, partículas vegetais, pó cerâmico entre outros componentes, cuja recomendação do fabricante para aplicação externa sendo submetidos a testes de acordo com as normas NBR-9779/87; NBR-9779/95 e NBR-10787/94.

Com o material acomodado no recipiente, as partículas e a resina foram misturadas e atritadas umas nas outras até que o aspecto da mistura não mostrasse mais partículas secas, o que era facilitado, uma vez que as partículas impregnadas apresentam um aspecto brilhante em comparação à opacidade das partículas secas e sem resina. Após a mistura, o bolo de partículas e resinas foi levado para uma caixa formadora para o espalhamento e onde o colchão de partículas foi montado sobre um quadro metálico na dimensão de 38 x 32 x 1,27 cm, responsável pelas dimensões finais dos painéis após prensagem.

Esse quadro metálico, chamado de delimitador de espessura, trata-se de um arco de aço maciço, contendo furos e pequenos chanfros em todo o seu perímetro, para permitir a saída do vapor de água durante o processo de prensagem a quente, evitando assim situações de risco por explosão e acúmulo de gases ou bolhas de vapor no interior dos painéis.

Após a acomodação das partículas e sua compactação máxima dentro da caixa formadora, foi efetuado o processo de pré-prensagem por prensa manual, para acomodação das partículas dentro do perímetro do arco de conformação, esse bolo de partículas foi retirado da forma de madeira para a aplicado de uma camada de filme plástico para impedir a aderência nos pratos de inox e assim ficando pronto para ser levado à prensa aquecida .

Dentro da plataforma da prensa, iniciou-se a conformação do painel, com o fechamento das plataformas de prensagem lentamente, até que estas encostassem nos pratos da fôrma do colchão de partículas, para realização de uma pressurização inicial de 30 bar por um período de 5 segundos e na sequência sendo efetuada a prensagem definitiva do colchão e o travamento dos pratos da prensa hidráulica na pressão e tempo estabelecidos para o processo de conformação final.

Os detalhes dessas etapas do processo de produção descrita nas Figura 21, seguem a sequência alfabética de acomodação das partículas (G) pré prensagem (H) definição do perfil do painel e adição e filme plástico (I, J) até o procedimento de prensagem definitiva dos painéis (L, M).

Formação do colchão de partículas

Pré-prensagem manual

Colchão de partículas e delimitador

Aplicação de filme plástico

Acomodação do painel na prensa

prensagem

Figura 21. Procedimentos de preparação e prensagem dos painéis

Fonte: Acervo do Autor.

O processo de prensagem foi realizado com temperatura de 110°C (Celsius) em ambos os pratos da prensa, com a utilização da pressão hidráulica da máquina aos 190 bar de pressão, (193,75 kgf/cm²) estabelecidos para todos os painéis, com o tempo de permanência dos painéis na prensa fixado em 10 minutos. Transcorrido os 10 minutos da prensagem determinada, foi efetuado o alívio de pressão por 10 segundos, para permitir o escape de vapor e evitar acidentes e explosões, comuns em casos de reações químicas, acúmulo de vapores ou reações de resinas fenólicas, mesmo não sendo o caso da resina AG-101 descrito na literatura.

Em seguida foi efetuado a abertura das plataformas para remoção dos pratos, para o acesso ao molde já conformado e assim levar para o resfriamento antes de desenformar a peça produzida.

Nesta etapa já foi possível notar se o painel atingiu a conformação desejada e se a superfície da peça apresenta alguma irregularidade, como bolhas externas e defeitos na formação do painel, como fissuras, trincas ou falhas ao longo do espalhamento das partículas. Esperou-se cerca de 3 minutos do resfriamento ao ambiente para retirada da forma envolta ao painel, fazendo assim a limpeza das bordas com uma espátula e retirando o arco metálico, levando o painel para esfriar até a temperatura ambiente, que leva um tempo médio de 20 a 25 minutos. A textura dos painéis fabricados, bem como sua resistência mecânica vaio depender desse resfriamento, pois o processo de cura ideal necessita de pelo menos 72 horas antes que esse material particulado possa ser utilizado para ensaios mecânicos ou físicos.

Na Figura 22 pode ser visto em detalhes o painel da prensa hidráulica PHS, o painel já conformado e em processo de resfriamento e o painel já retirado da forma e pronto para marcação e descanso de 72 horas antes do fracionamento dos CPs.



Figura 22. Detalhes da prensa e vista dos painéis aglomerados

Fonte: Acervo do Autor.

Os procedimentos descritos seguiram um ciclo de trabalho controlado, desde a pesagem e mistura da resina, adição da resina nas partículas e mistura, a conformação do colchão de partículas, pré-prensagem manual, o acondicionamento do colchão de partículas na prensa aquecida, a prensagem e pós-prensagem, e conformação do painel até estar desenformado e pronto para o corte e posterior utilização nos ensaios de acordo com a norma NBR 14810-2 (2013)

4.6. PLANO DE CORTE E PREPARAÇÃO DAS AMOSTRAS

Para facilitar a separação das peças para os ensaios físicos, mecânicos e microscópicos, foi desenvolvido um plano de corte baseado no trabalho de Bueno (2014), que executou a fabricação de painéis de MDF a base de eucalipto e fibra de cana de açúcar, cuja separação por cores no desenho tridimensional tem por finalidade facilitar o entendimento para o corte e marcação dos CPs, que segundo Acervo do Autor, seguiram a mesma ordem em todos os traços para que houvesse coerência na comparação dos resultados adquiridos nos ensaios e testes realizados,

Como alguns corpos de prova não sofrem degradação ou danos nos ensaios físicos, como os de análise de densidade, por exemplo, estes podem ainda ser reaproveitados para outros ensaios, inclusive ensaios destrutivos. Deste modo, os CPs de coloração cinza foram destinados a ensaios físicos, enquanto os CPs verdes foram separados para ensaios mecânicos, e os vermelhos serão submetidos à ensaios tridimensionais, restando ainda os CPs de coloração amarela foram reservados como corpos de prova reserva, como representado em detalhes na Figura 23.

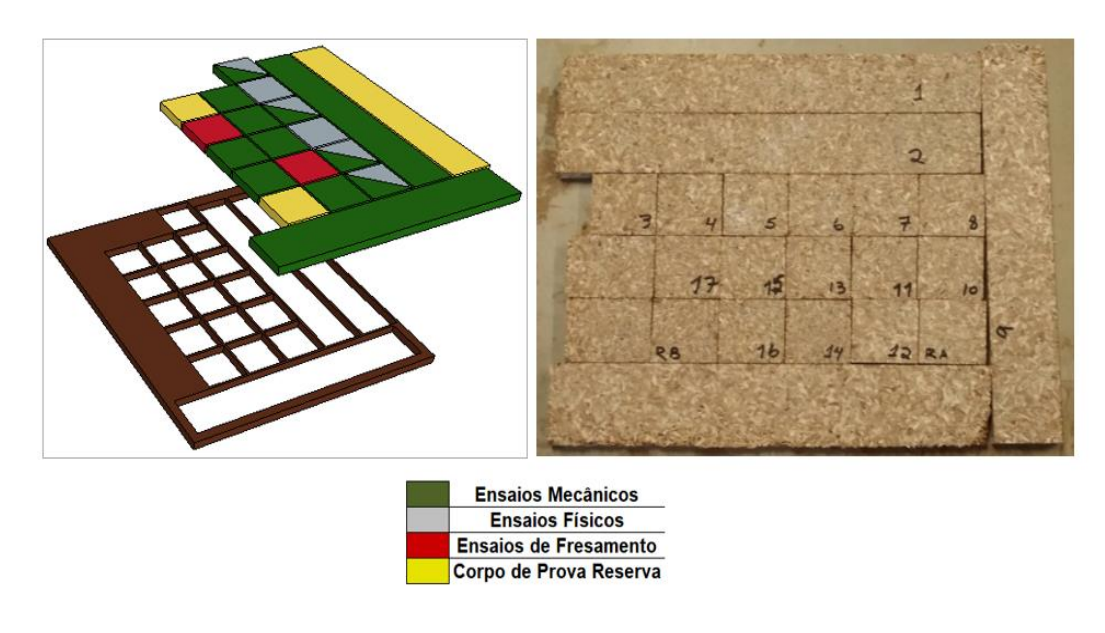


Figura 23. Plano de corte e corte e marcação para os ensaios.

Fonte 1: Adaptado de Bueno, (2014);

Fonte 2: Acervo do Autor

4.7. ENSAIOS FÍSICOS

Os ensaios físicos consistiram na avaliação do comportamento das peças fabricadas via Norma para painéis aglomerados, NBR 14810-2 de (2013), quando submetidas aos testes de análise de densidade, absorção de água, inchamento em espessura, e análise do teor da umidade nos painéis fabricados. Esses testes, além de importantíssimos, ajudam a entender se há ou não uma regularidade na estrutura dos painéis fabricados, para atestar a qualidade do material desenvolvido e se o processo produtivo gerou resultados precisos e confiáveis.

4.7.1. Determinação da Densidade por Método Gravimétrico

O ensaio para a análise da densidade dos painéis aglomerados confeccionados, se deu através da pesagem das amostras, a medição de largura, comprimento e espessura das amostras, com a ajuda de uma balança digital de resolução mínima em 0,01 g, um micrometro digital Mitutoyo IP-65 e um paquímetro digital Mitutoyo. Para a determinação desses valores de densidade em cada painel, foi necessário a utilização das equações 1 e 2, para medir a densidade e volume dos CPs e determinar o valor da densidade de cada painel, conforme NBR 14810-2 (2013).

$$D = \frac{M}{V} \times 1000000 \tag{1}$$

$$V = L \times C \times E \tag{2}$$

Onde:

D = é a densidade do corpo de prova (CP), quilograma por cúbico (kg/m³);

m = é a massa do CP, expressa em gramas (g);

V = é o volume do CP, expresso em milímetro cúbico (mm³);

L = é a largura do CP, expresso em milímetros (mm);

C = é o comprimento do CP, expresso em (mm);

E = é a espessura do CP, expresso em milímetros (mm).

Para esse cálculo são utilizadas como base as equações 1 e 2 já descritas, e inseridas em planilha própria, desenvolvida com base a todos as informações vistas nas normas de fabricação de painéis aglomerados, painéis MDF e painéis particulados.

Como pode ser visto nas imagens da Figura 24, os procedimentos de medição dos corpos de prova com micrometro paquímetro a coleta de dados para serem calculados os valores para determinação da massa das amostras.



Figura 24. Instrumentos para ensaio de análise de densidade

Fonte: Acervo do Autor.

4.7.2. Determinação de Absorção de Água e Inchamento em Espessura

Para a realização dos ensaios de absorção de água e inchamento em espessura foram adotados os procedimentos versados na norma NBR14810-2 (2013), com a pesagem dos corpos de as provas medindo 50x50 mm em balança digital com resolução de 0,01g para a obtenção da massa M0.

Na sequência dos testes, os Cp's foram imersos em um recipiente de plástico transparente com água destilada em temperatura controlada para permanecer a 20°C ± 1°C e uma profundidade de imersão de aproximadamente 25 mm abaixo da linha d'água, sendo mantida nessas condições por um tempo mínimo de 24 horas. Após esse período, as amostras foram pesadas novamente para a obtenção da massa saturada M1 para a conversão desses valores em fórmula definida expressando os resultados em porcentagem para encontrar os valores de A como segue via equação 3.

$$A = \frac{M1 - M0}{M0} \times 100 \tag{3}$$

Onde:

A = absorção de água, expresso em porcentagem (%);

m1 = massa do CP após a imersão, expresso em gramas (g);

m0 = massa do CP antes da imersão, expresso em gramas (g).

Também é nesse ensaio de inchamento e espessura que se determina o aumento na espessura do painel, causado pela absorção de liquido, sendo feita essa determinação de percentual pelas medições no centro das amostras antes da imersão para obter o E0 como indicador inicial e após as 24 horas de permanência do CP mergulhado em fluido para obter o E1, que ao serem inseridos na equação 4, darão a porcentagem de I e esse aumento de espessura ou deformação dos painéis.

$$I = \frac{E1 - E0}{E0} \times 100 \tag{4}$$

Onde:

I = inchamento em espessura do CP, expresso em porcentagem (%);

E1 = espessura do CP após imersão, expressa em milímetros (mm);

E0 = espessura do CP antes da imersão, expresso em milímetros (mm).

O experimento foi realizado no laboratório de análise da faculdade de Tecnologia de jahu que conta com uma estufa de meio de cultura BOD, marca FAMEM, modelo 347 CVD/2 com potência de 3560 watts e capacidade de variação de temperatura de -5° até 50°C para avaliação e conservação de amostras em ambiente climatizado sem variações bruscas de temperatura. As amostras foram todas pesadas, medidas e em seguida mergulhadas em água já com temperatura em 20°C como determina a norma, todas sob as estruturas metálicas com telas para manter as amostras a 25 mm abaixo da linha d'água, onde foram mantidas pelas próximas 24 horas ± 30 min, sempre monitoradas para detectar qualquer alteração que prejudicasse as medições.

Os CP's foram retirados da câmara e depois do procedimento de drenagem da água, foi efetuada a pesagem de peça a peça e esses valores inseridos na planilha própria de cálculos a fim de se obter o valor da massa e as novas medidas e comparar sua variação durante o processo. Nos registros fotográficos contidos na Figura 25, é possível ver em sequência a estufa já com os recipientes (A), o nível da água nas bandejas (B) o termômetro da estufa travado em 20°C ± 2°C (C), além da aferição por termômetro digital de temperatura (D) e por fim as amostras sendo drenadas (E, F) para a aferição da pesagem e medidas finais (G).



Figura 25. Equipamentos e medição de absorção de água e inchamento em espessura

Fonte: Acervo do Autor.

4.7.3. Determinação do Teor de Umidade

Já a determinação de teor de umidade, as amostras secas foram pesadas para obtenção dos valores de MU ou massa úmida do corpo de prova, para assim serem colocados na estufa de secagem com temperatura afixada em 103° C \pm 3° C e permaneceram por seis dias até que a maior parte da umidade das partículas retirada. A retirada total dessa umidade interna das partículas de madeira é quase impossível, uma vez que para atingir tal intento, pois chegaria a um limite mínimo ao qual não seria mais possível retirar toda a água contida dentro das partículas e fibras da madeira, que só poderá ser retirada com a carbonização total das amostras, que não é o objetivo desse projeto.

Na prática, a obtenção da massa seca das amostras (MS) será conhecida após inúmeras pesagens até se chegar a um limite de variação inferior a 0,1% entre as duas últimas pesagens, para calcular assim a relação de Mu e MS será obtido então o valor residual dos Cp's via equação 5.

$$U = \frac{MU - MS}{MS} \times 100 \tag{5}$$

Onde:

U = é a umidade residual do CP, expressa em porcentagem (%);

MU = é a massa úmida do CP, expressa em gramas (g);

MS = é a massa seca do CP, expressa em gramas (g).

Assim sendo, os 50 corpos de prova de 50x50 mm foram pesados para a obtenção das massas úmidas (Mu) e acondicionados nas bandejas da estufa e levados a estufa com o timer de temperatura acionado e a temperatura inicial partindo de 22°C, temperatura ambiente medida no local.

As medições programadas se deram a cada 24 horas nos 5 primeiros dias, até o sexto dia, em que as medições se deram de 4 em 4 horas até que não se

percebesse mais variação significativa maior que 0,1g, ficando assim dentro dos limites mínimos exigidos por norma. Os destaques na Figura 26 foram projetados para demonstrar o equipamento utilizado (A), e as amostras já separadas e pesadas para serem colocadas na estufa (B), posicionamento das bandejas (C) e retirada dos corpos de prova para medição e finalização do ensaio (D).



Figura 26. Estufa de secagem e corpos de prova em tratamento

Fonte: Acervo do Autor.

4.8. ENSAIOS MECÂNICOS

Os ensaios mecânicos que serão realizados para desenvolvimento deste trabalho de pesquisa serão descritos de forma detalhada para os ensaios de arrancamento de parafuso de topo e face, resistência a flexão estática e módulo de elasticidade para a obtenção do módulo de ruptura e módulo de elasticidade conhecidos como MOR e MOE, arrancamento superficial e resistência a tração perpendicular as faces, todos realizados de acordo a NBR 14810-2 (2013).

Para a realização de todos os ensaios mecânicos, contamos com uma máquina para ensaios universal produzida pela empresa EMIC, pertencente e instalada no laboratório de ensaios mecânicos e de solo da engenharia civil, no campus da UNESP de Bauru.

Na Figura 27, é possível ver em destaque as partes físicas e mecânicas mais importantes do equipamento de testes, tendo em (A) a visão geral da EMIC DL 30.000 e sua base de fixação, (B) o painel de controles, (C) a descrição de capacidade do equipamento, em(D) temos a fixação da célula de carga para a leitura dos ensaios, e finalmente em (E) todos os acessórios de acoplamento que serão utilizados nos cinco ensaios mecânicos a serem realizados.



Figura 27. Máquina universal de testes EMIC e ferramentas utilizadas.

Fonte: Acervo do Autor.

4.8.1. Ensaio resistência à flexão estática (MOR) e (MOE)

Para a realização deste ensaio, é efetuada a programação da máquina universal de ensaios EMIC e o posicionamento dos corpos de prova medidos em 3 pontos distintos, ensaio este que conta com 50 CP's possuindo 300x50 mm, que serão apoiados em dois suportes de sustentação, respeitando—se um vão livre de

250 mm, vide NBR14810-2 (2013) onde é efetuado o carregamento no centro da peça de forma lenta e gradual até que a máquina efetue a ruptura total da peça.

Dessa forma os valores são transferidos para o computador onde estão os programas e essa análise dos dados obtidos se dá pelas fórmulas para o módulo de ruptura (MOR) e fórmula definida para o módulo de elasticidade (MOE).

Para o cálculo, usa-se como referência as formula obtidas pelas equações 6 e 7, que irão retirar os dados obtidos e inserir na planilha de cálculo específico da EMIC, cujos valores de ruptura ou flexão também serão apresentados em fórmula de desvio padrão, médias, medianas, além de valores máximos e mínimos para cada ensaio.

$$MOR = \frac{1,5 \times (P \times D)}{B \times (E)^2} \tag{6}$$

Onde:

MOR = Módulo de ruptura em Newton por milímetro quadrado (N/mm²);

P = carga de ruptura no indicador de cargas expresso em Newton (N);

D = distância entre os apoios do aparelho em milímetros (mm);

B = largura do corpo-de-prova, expresso em milímetros (mm);

E = espessura média tomada em 3 pontos do corpo-de-prova (mm).

$$MOE = \frac{P1 \times D^3}{d \times 4 \times B \times E^3} \tag{7}$$

Onde:

MOE = Módulo de elasticidade, em Newton por milímetro quadrado (N/mm²);

P1=carga no limite proporcional no indicador de cargas em Newton (N);

D = distância entre os apoios do aparelho, expresso em (mm);

d = deflexão correspondente à carga P1 em milímetros (mm);

B = largura do corpo-de-prova, expressa em milímetros (mm);

E= espessura média tomada em 3 pontos do CP em milímetros (mm).

Os valores já tabelados seguem um padrão configurado pelo programa da máquina de ensaios para todos os ensaios mecânicos, fazendo as interpolações de curva, e todos os ajustes matemáticos, gerando planilhas de ensaios de MOR e MOE. Como pode ser bem observado na Figura 28, o posicionamento do sistema para o ensaio de resistência a flexão e módulo de elasticidade (A), o ponto de ruptura do corpo de prova (B) e a tela do programa para acompanhamento da geração de gráficos (C).

Ponto de ruptura

B

C

Figura 28. Ensaio resistência a flexão e módulo de elasticidade MOR e MOE.

Fonte: Acervo do Autor.

A regularidade deste ensaio nos pontos de fratura na parte central e a estabilidade desses ensaios foram determinantes para avaliar o comportamento do material fabricado, cabendo ainda entender se a estrutura adquirida na interação adesivo/partículas foi bem-sucedida ou se careceria de maior aperfeiçoamento antes de submeter aos demais ensaios mecânicos, onde a mistura teca e Corymbia citriodora respondeu muito bem ao teste aplicado.

4.8.2. Resistência à Tração Perpendicular as Faces

A função particular dos ensaios de tração perpendicular as faces são para determinar a adesão e ligação envolvendo partículas da madeira utilizada e a resina poliuretana, e para que seja possível perceber se houve qualidade na mistura dos materiais e se a ação de prensagem utilizada foi suficiente para essa união, além de

dar indicativos de qual o nível de resistência foi possível chegar com a junção desses dois componentes dentro do processo de fabricação. Foram usados 50 corpos de prova medindo 50x50 mm, sendo 10 corpos de prova selecionados para cada traço produzido, unidos a dois cabeçotes metálicos padronizados, onde os corpos de prova foram colados com uma liga de resina epóxi com poliamida de baixa densidade e média fluidez denominada Compound® da empresa VEDACIT®.

A escolha desse produto vem de inúmeras experiências e testes com uma variedade de marcas de produtos para colagem de corpos de prova, onde foram constatados que essa liga adesiva foi a que possibilitou os melhores resultados diante dos ensaios aplicados. Conforme é possível visualizar na Figura 29 o produto Compound adesivo usado para a junção dos Corpos de prova (A), os gabaritos metálicos projetados conforme a norma para os ensaios com a colagem em duas etapas para melhor adesão do produto no painel (B) e as peças já coladas e prontas para serem submetidas aos ensaios após 72 horas de cura (C).

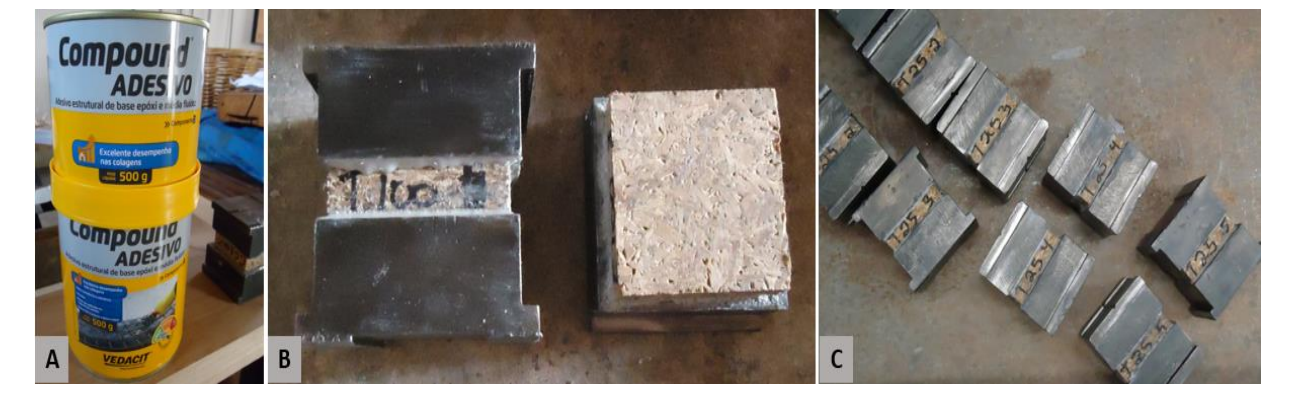


Figura 29. Adesivo Compound e colagem dos corpos de prova

Fonte: Acervo do Autor.

Os ensaios de resistência a tração perpendicular também seguem o mesmo roteiro do padrão de cálculos e formação dos gráficos pelo próprio programa da EMIC, baseados na composição da equação normatizada pela NBR14810-2 (2013), composto pelo cálculo de resistência a tração perpendicular abaixo especificada na equação 8:

$$TP = \frac{P}{S} \tag{8}$$

Onde:

TP = Resistência à tração perpendicular as faces, expresso em Newton por milímetro quadrado (N/mm²);

P = carga na ruptura lida no indicador de cargas em Newton (N);

S = área da superfície do corpo-de-prova em milímetros quadrados (mm²).

Após a junção dos corpos de prova, estes foram colocados para descanso por 72 hora para efetivação da colagem, tempo este determinado após inúmeras experiências com ensaios desse padrão, os corpos de prova foram inseridos na máquina universal para serem submetidos ao ensaio, onde a programação das distancias mínimas e máximas para ruptura das peças foi travada para dar condição de igualdade a todos os testes, só então foi aplicado o carregamento crescente até que a ruptura total pudesse ser observada. Na Figura 30, é possível visualizar nas imagens (a) do ajuste das distancias para ruptura e em (B) a distribuição dos componentes para o ensaio.



Figura 30. Resistência a tração perpendicular as faces

Fonte: Acervo do Autor

4.8.3. Determinação à Resistência a Tração superficial

O ensaio de resistência a tração superficial também contou com um total de 50 ensaios, tendo 10 corpos de prova de 50x50 mm, todos ajustados com corte circular de 35 mm por serra copo a uma profundidade de 1 mm no centro de cada peça para a colagem de pinos de metal contendo diâmetro de 35,7 mm ± 0,2 mm e efetuada a colagem com o adesivo Compound[®].

Estes pinos são apoiados no cabeçote da máquina universal enquanto a peça de madeira será fixa no suporte inferior, que fará a resistência a tração suficiente para o arrancamento dos pinos e a medição da força aplicada até a ruptura completa. A equação para cálculo da resistência a tração dos corpos de prova parte normatizada pela NBR 14810-2 (2013) descrito com detalhes na equação 9 onde constam RS, L e S descritos detalhadamente como:

$$RS = \frac{L}{S} \tag{9}$$

Onde:

RS= Resistência à tração superficial em Newton por milímetros quadrado (N/mm²);

L = Leitura do indicador de cargas da máquina universal em Newton (N);

S= área de rompimento do corpo-de-prova, equivalente a 1.000 mm².

De modo geral, o engastamento das peças com o compósito Compound nos suportes de aço responde melhor aos ensaios se efetuada a colagem das peças e o ensaio de rompimento dos corpos de prova em até 72 horas após a colagem, como foi possível notar nos testes preliminares de arrancamento dos pinos do ensaio de resistência a tração. Entende-se que o ensaio foi bem-sucedido, quando a força concentrada remove o pino engastado com parte da superfície do material particularmente dentro das zonas demarcadas ao centro do painel, no perímetro modelado pelos sulcos de 5 mm feitos por serra copo, com uma polegada (1').

Na Figura 31, encontra-se a descrição fotográfica da preparação dos sulcos para colagem dos pinos no corpo de prova (A), as peças já coladas e em repouso de 72 horas antes dos ensaios em (B), ensaio de arrancamento sendo conduzido em (C), a projeção dos gráficos gerados durante a realização dos ensaios em (D) e as peças ensaiadas (E).



Figura 31. Ensaio de resistência a tração superficial

Fonte: Acervo do Autor.

4.8.4. Determinação da Resistência ao Arranchamento de Parafuso de Topo e Face

Dividido em duas etapas de ensaios, o arrancamento superficial de parafusos ou ensaio de resistência ao arrancamento de parafusos de topo e face tem por finalidade testar a resistência dos painéis aplicando uma pressão de arraste do parafuso para fora da peça causando o arrancamento forçado do parafuso com aplicação de tração lenta e constante até que o parafuso esteja totalmente exposto fora do painel. Para tanto, foram preparados 50 corpos de prova para cada tipo de ensaio, medindo cada um 50x50 mm e sendo separados de 10 em 10 para cada traço produzido gerando um total de 100 peças.

Foi efetuada a furação no ponto central de todas as peças, que no caso da face, posicionada em uma das laterais ou a furação no ponto central superior de cada painel no caso dos ensaios de topo ou superfície, com utilização de uma broca comercial de 2,7mm ± 0,1 mm e profundidade de 15 mm e± 0,5 mm onde foram inseridos parafusos de 4,2 mm x 38 mm de espessura e passo da rosca de 1,4 mm até a profundidade especificada na NBR14810-2 (2013).

Em seguida, todos os corpos de prova são levados ao laboratório e colocados à prova na máquina universal de ensaios EMIC 3000, enquanto é efetuada a programação dos limites de deslocamento axial que fazendo a função de arrancamento com uma base engastada onde o parafuso é fixado em cabeçote especifico modelo cabeça de martelo até efetuar o arrancamento completo de cada parafuso, cuja programação determinada para esta operação foi fixada em velocidade constante de 10 mm/min e precisão de 0,1N.

Na Figura 32, os corpos de prova preparados para os ensaios (A) realização do ensaio de arrancamento de parafuso de topo (B), e a realização dos ensaios com aplicação de força por tração na realização do ensaio de arrancamento de parafuso de face (C).

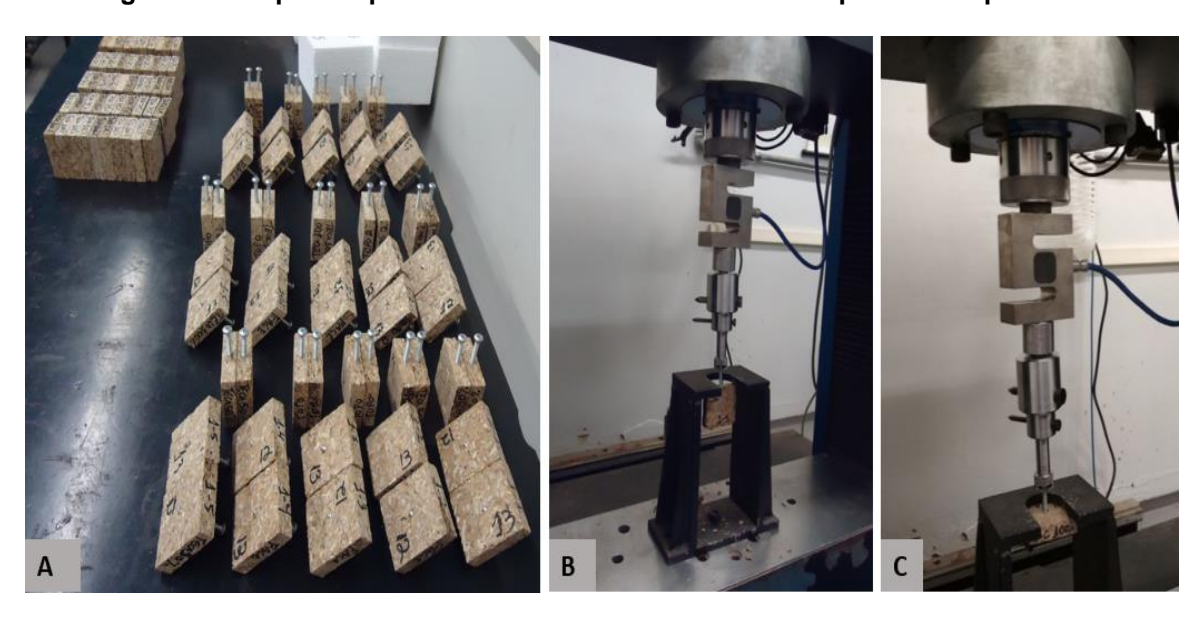


Figura 32. Corpos de prova e ensaios de arrancamento de parafuso topo e face.

Fonte: Acervo do Acervo do Autor

4.8.5. Determinação da Resistência a Dureza Janka

O ensaio de dureza Janka, consiste basicamente na aplicação de força de maneira controlada, via máquina de ensaios EMIC 3000 com um suporte com uma esfera que atua na compressão da superfície testada, onde essa esfera é pressionada ao centro do corpo de prova até a metade de seu diâmetro. Esse ensaio visa testar a resistência exercida pelo painel a esse esmagamento de superfície com resultados em MPa.

A penetração da esfera medindo 11,3 mm de diâmetro já acoplada na máquina universal EMIC se dá bem centro de cada amostra, até uma profundidade de aproximadamente 5,65 mm, com uma compressão constante de 6 mm/min, essa leitura de esforço é coletada pelo sistema de aquisição do próprio equipamento de ensaios e seus resultados expressos em MPa (MegaPascal).

Para realização deste ensaio, foi necessária a utilização de 50 corpos de prova, contando com 10 peças de cada traço de painel produzido, todos medindo 50x50 mm e todos sendo posicionados sob uma plataforma maciça a fim de impedir que ocorra o deslocamento superficial de material posicionado fora da região de análise ou regiões opostas ao local de aplicação de força da esfera de ensaio no corpo de provas, como é possível visualizar na Figura 33.

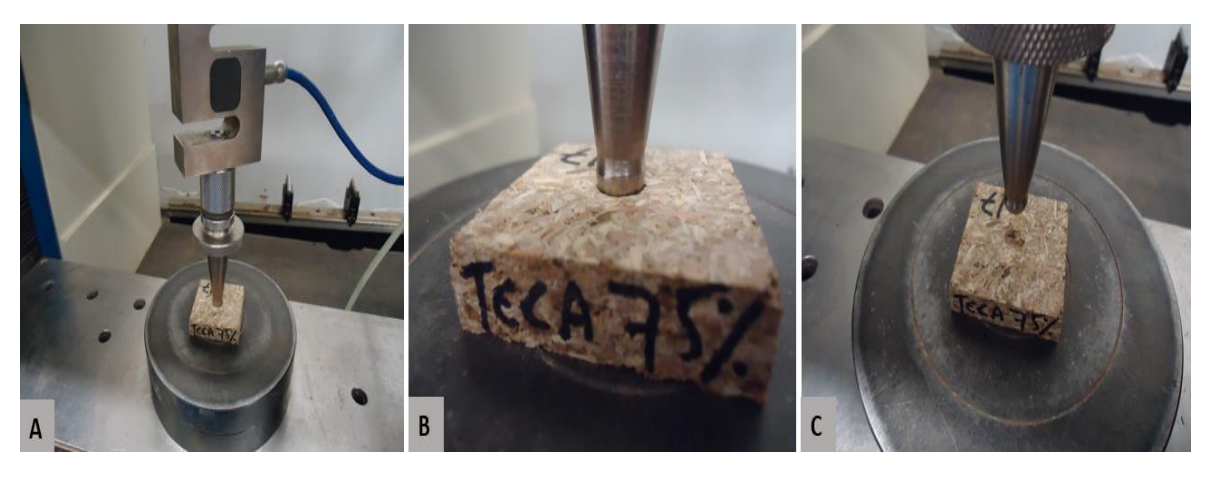


Figura 33. Ensaio de Dureza Janka

Fonte: Acervo do Autor.

4.9. MICROTOMOGRAFIA DE RAIOS X

Os ensaios realizados com Microtomografia e raios X foram realizados nos laboratórios da Universidade estadual de Campinas (UNICAMP), do Centro de Microscopia e Imagem (CMI) da faculdade de odontologia de Piracicaba-SP, onde se encontra um microtomógrafo modelo SkyScan 1174 de fabricação Belga, equipamento este contendo potência nuclear de 20 a 50 Kv e 800 uA, corrente de potência de 100-240 volts e 50-60 Hz.

O © SkyScan 1174 foi desenvolvido para ser um micro-CT compacto de mesa, para uso em aplicações cientificas, industriais, biomédicas e controle de qualidade de produtos, possuindo uma fonte de raios X selada em uma armadura de metal-cerâmica propiciando uma longa vida útil ao equipamento. O Scanner possui uma fonte de alimentação raios X microfocus que funciona no lado direito do equipamento, gerando uma carga que vai de 20 a 50 kV, de 0 a 800µA, também acoplada a uma câmera CCD de 1,3 Megapixel no lado oposto a fonte do scanner e funciona por conexão FireWire capaz de enviar fluxo de vídeo ao PC sem a necessidade de uma placa integrada.

Deste modo, a câmera adquire as imagens de uma fina tela por cintilação que é projetada por macrolentes automatizadas de alta resolução, permitindo assim a ampliação do sistema usando uma geometria estática de raios X (BRUKER, 2020). Dentro desses parâmetros, foram preparadas 10 amostras, sendo duas de cada traço de painel a fim de serem submetidas a análises de reconstrução tridimensional a fim de encontrar definidos de estrutura de cada painel, direcionamento de partículas e possíveis defeitos estruturais na fixação dessas partículas e o adesivo aplicado.

Cada amostra possui corte padrão de 50x50 mm e chanfro reto em uma das faces a fim de servir de ponto de referência para a fixação das peças no scanner como representado na Figura 34 A e B. A fixação do corpo de prova no prato defletor com diâmetro de150 mm é feita com ajuda de uma cera especial para fixar o corpo de prova no prato, e para ser de fácil remoção durante o processo, conforme é possível visualizar na Figura 34 C.



Figura 34. Vista em cortes das amostras e fixação no prato defletor

Fonte: Acervo do Autor

A preparação do ensaio de microtomografia requer uma série de etapas que devem ser seguidas à risca a fim de se obter o máximo de desempenho possível das amostras, uma vez que são ensaios caros e demorados, e dependem também da quantidade de passos que deseja e o grau de refinamento e qualidade que precisa obter de uma determinada amostra.

O trabalho de verificação dos painéis aglomerados de Tc e Cc não precisaram de muitos passes, uma vez que o espaçamento e vazios internos permitem a penetração e difração dos raios gama com maior facilidade. As amostras foram fixadas as mais alinhadas possíveis e o filtro usado no scanner foi de 5,0 mm em alumínio, com rotação máxima da plataforma giratória em 180°, com passos de rotação de 0,7° e duração média de 30 a 40 minutos por ensaio. O manipulador de objetos faz a regulagem e colocação do objeto na posição ideal, podendo este deslocar em até 50 mm de curso, girando o objeto para adquirir as projeções de sombra até que o escaneamento de feixes consiga reconstruir a imagem tomográfica da peça por completo.

O corpo de provas pode ser deslocado para fora do feixe a fim de se obter referências do plano de campo onde está posicionado, o estágio de amostragens produzida no equipamento permite ainda investigar e analisar por controles de estágios opcionais, amostras sob efeitos de compressão, tensão e arrefecimento entre outros (© SkyScan, 2009). Outro detalhe importante para efetuar todos os procedimentos pré-ensaio é que uma vez iniciado o ensaio, este não pode mais interrompido, exceto pelo próprio sistema ao detectar alguma falha de coordenada, desativa o feixe antes que o equipamento conclua o escaneamento.

Desta forma, nem mesmo a porta de acesso à câmara pode ser aberta antes que o sistema possa resetar o ensaio, com o risco de danos ao dispositivo ou o software vir a apresentar falhas nos testes posteriores. Na Figura 35 é possível verificar o posicionamento da amostra dentro da cabine de escaneamento e o filtro de alumínio 5 mm (A), o scanner fechado aguardando comando para iniciar a operação (B), o scanner em funcionamento com acionamento da luz da câmara de raios X (C), e a reprodução da imagem em 3 vistas da peça já escaneada (D).

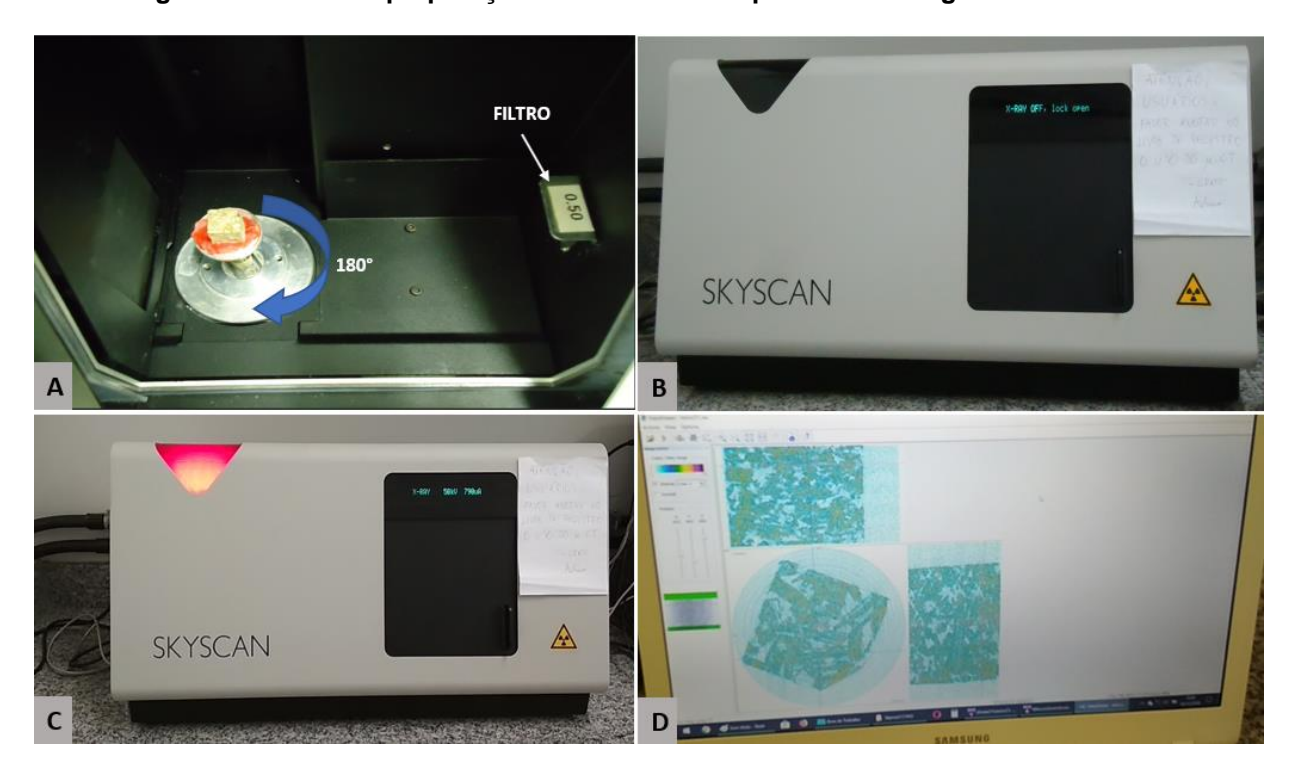


Figura 35. Fases de preparação e escaneamento por microtomografia de raios X

Fonte: Acervo do Autor

Estes objetos serão projetados nas referências X, Y e Z, também denominadas no equipamento como coordenadas trans axial ou transversal nas coordenadas XY, cujo corte do elemento analisado se faz de baixo para cima ou vice-versa, coordenada coronal nos sentidos frente e verso do objeto ou eixo YZ e coordenada sagital, como uma leitura de escaneamento da esquerda para a direita ou vice-versa cobrindo um eixo XZ, fazendo com que o todo o objeto ou o indivíduo contido dentro do equipamento seja totalmente mapeado ponto a ponto.

Os programas utilizados para geração tridimensional são o Nrecon, Nrecon Server CTan e DataViewer, e estes efetuam o processamento das imagens, adquiridas após o escaneamento, onde estas podem ser armazenadas ou renderizadas no próprio sistema, o SkyScan fornece uma gama de softwares próprios, que fazer a leitura e filtragem das imagens. Cada amostra gerou em medias de 490 a 900 microfotografias, que serão a base para a reconstrução dos painéis tridimensionais com o uso dos programas NRecon e NreconServ para efetuar a conversão desse agrupamento e facilitar a utilização dos demais programas e softwares capazes de reproduzir a imagem 3D das peças a fim de verificação estrutural de cada composição nos 5 traços de painel fabricados.

As projeções são representadas por imagens bidimensionais e tridimensionais extraídas de todos os painéis produzidos, de T1 a T5 e cuja captura de imagens focou principalmente a demonstrar as diferenças ente cada um, mesmo que estes não consigam mostrar de forma detalhada todas as imagens reconstruídas via Nrecon, Data Viewer e CTAn. Obviamente a demonstração 3D traz com perfeição todos os detalhes quanto espaçamento, falhas ou defeitos e demais informações dos materiais analisados como serão descritos de forma detalhada aqui.

4.10. ENSAIOS DE MICRODENSITOMETRIA

O ensaio de Densitometria por raios X foi realizado no Laboratório de Anatomia, Identificação e Densitometria de raios X em Madeira da ESALQ, em Piracicaba-SP, , cujo objetivo principal é voltado para a análise da anatomia, qualidade e identificação da madeira; defeitos do lenho; anéis de crescimento em processos de análise por raios X entre outras atividades ligadas a manejo e práticas silviculturais da madeira.

As 50 amostras selecionadas para o ensaio de Densitometria por raios X foram primeiro separadas e armazenada durante 72 horas em uma estufa em sala climatizada para normalização e estabilização de temperatura em 20° C e teor de umidade de todas as amostras estabelecido em 12 %, com a finalidade de garantir estabilidade do material, precisão e confiabilidade na aquisição dos dados.

Os equipamentos utilizados foram um microdensitometro da marca QMS modelo QDP 01-X com câmara interna blindada para funcionamento em voltagem de 10 a 50 KV e corrente de 1,5 mA, atuando em colimação do feixe inicial de 180 µm e final em 90 µm e um computador com o programa de software Quintek Measurement Systems (QMS). Na Figura 36, detalhes do microdensitômetro em processo de calibragem (destaque para as lâmpadas de acionamento) antes de se iniciar os ensaios de análise.



Figura 36. Detalhe do microdensitômetro QDP 01-X

Fonte: Acervo do Autor

O porta amostras utilizado possui capacidade para até 12 corpos de prova perfilados, presos a suportes com mola para fixação das peças, que nesse estudo em questão, foram acopladas as 10 peças de cada tratamento de T1 a T5, todos com medidas de 50 x 50 mm e com espessura máxima variando de 11 a 12,5 mm, em destaque na Figura 37 o carro (A) a lente do feixe (B) e os suportes de amostras (C,D).

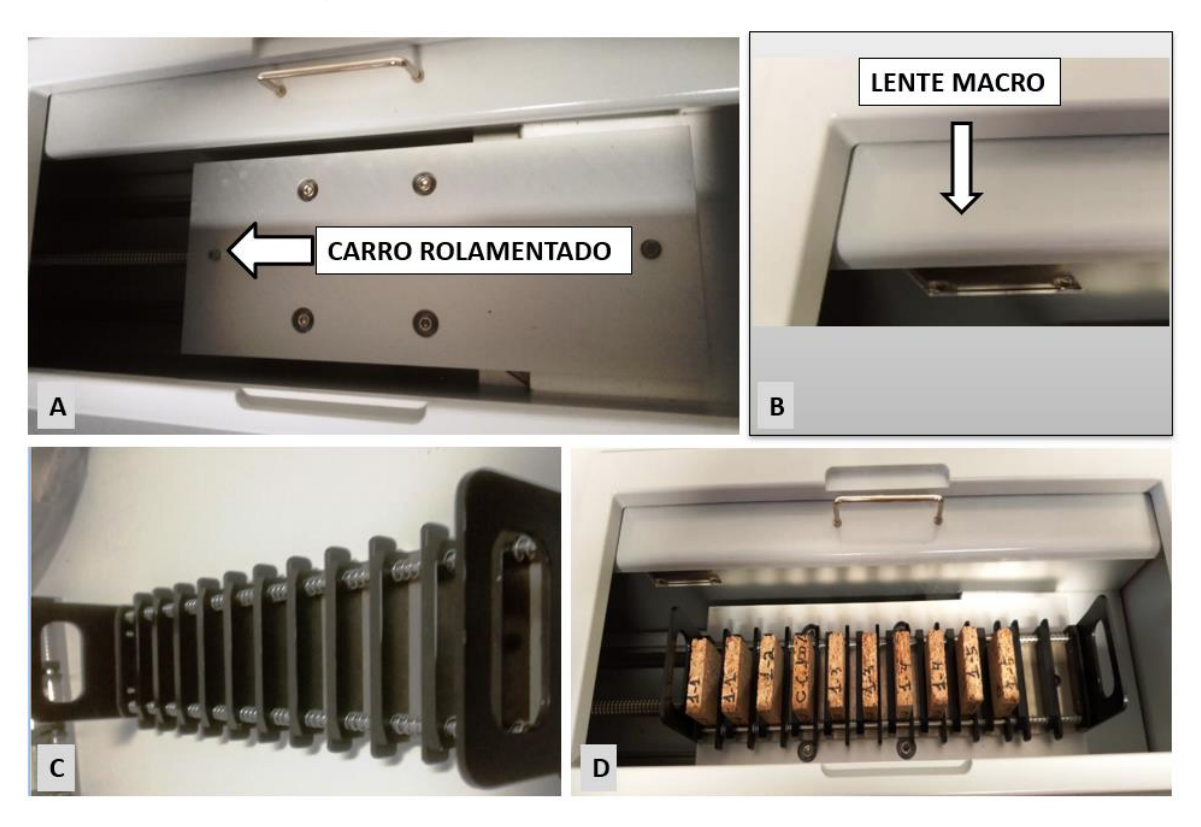


Figura 37. Calibração do densitômetro, carro rolamentado e suporte de ensaios

Fonte: Acervo do Autor

O início dos ensaios ocorre com o teste dos equipamentos e a calibração do microdensitômetro por até 30 minutos, até que o reator gama que alimenta o sistema de feixe esteja aquecido e estável, e que será projetada pelo cabeçote da lente do bloco do feixe, disparando sequencialmente doses totais de feixes de raios X colimados através das amostras fazendo uma varredura das seções transversais em intervalos 0,02 mm/steps (pés por segundo) ou 20 µm de distanciamento linear por passo, onde uma fração dessa irradiação é atenuada nas peças.

A maior parte dessa irradiação de feixe que atravessa as amostras é captada e analisada por um detector de cristal, sendo convertida imediatamente pelo software QMS que atua pelos parâmetros da equação 10, logo abaixo:

$$\frac{I}{I_0^0} = e^{-\mu 1^t} = e^{-\mu m^{\rho t}} \tag{10}$$

Em que:

I = intensidade de radiação que transpassa o corpo de prova (total de fótons por unidade de área por unidade de tempo); $I_0 = \text{intensidade de radiação que ficou retida no corpo de prova;} \\ \mu_I = \text{coeficiente de atenuação linear do material (cm-1);} \\ \mu_m = \text{coeficiente de atenuação da massa do material (cm2 /g);} \\ \rho = \text{densidade do material (g/cm3);} \\ t = \text{espessura do corpo de prova;} \\ e = \text{logaritmo de base natural.}$

Dessa forma, a aquisição dos dados segue o sistema de deslocamento do feixe em todas as áreas determinadas para projeção, que após a passagem do feixe colimado e captação dos dados, que podem ser acompanhados na tela. O sistema de aquisição capta, processa e converte estes dados para uma leitura precisa de parâmetros como as densidades média, mínima e máxima gerando os gráficos de trabalho com detalhamento de pontos e densidades locais em cada ponto detectado a fim de gerar um o gráfico de densidade por distanciamento em µm.

Os valores já captados são submetidos ao processamento via programa QMS Density Profile, versão 2.03 USB, onde serão gerados os gráficos finais de densidade para serem avaliados. Foram selecionadas 5 zonas principais em cada peça para a amostragem das várias densidades por passo de leitura, dando a imagem gráfica perfeita de cada peça e se sua estrutura está dentro dos parâmetros usuais de fabricação, onde são tidos como ideal a formação gráfica em formato de M maiúsculo, sendo que se considera assim por vários estudos a densidade maior nas extremidades e o miolo ou parte interna menos densa como referência.

Os dados de cada ensaio são processados e compilados no programa Density profile, onde são gerados arquivos em DAT e XPS para a utilização como parâmetros de comparação e apresentação dos gráficos finais de cada ensaio individualmente e também a cada bateria de ensaios, seja ele com 5 ,10 ou 12 amostras, é gerado um novo gráfico com as medias e medianas e desvio padrão de cada bateria de ensaios. O grau de confiabilidade neste caso supera os ensaios físicos pois trabalha dentro de parâmetros de equilíbrio das peças submetidas a climatização em laboratório.

5. RESULTADOS E DISCUSSÕES

Dentro do fundamento em que se inserem os resultados e discussões do trabalho realizado, e sabendo ser preciso justificar a ideia de construir os painéis aglomerados de *Tectona grandis* e *Corymbia citriodora*, levamos em consideração todos os detalhes referentes à separação de matéria prima até a fabricação das peças, e os cuidados necessários para a realização dos ensaios físicos e mecânicos e a análise estatística dos resultados, a fim de estabelecer uma linha de raciocínio que consiga desvendar o comportamento dos painéis fabricados e obter a coerência dos valores obtidos e comparados com trabalhos semelhantes e a norma vigente como estabelecidos nas normas NBR 14810-2 (2013).

Como ferramentas de comparação e análise estatística de dados, foram adotados as comparações via planilha gerada em Microsoft Excel 2016,onde a planilha construída como fonte de armazenamento de todos os dados e formulas contidas na NBR 14.810-2 para ensaios físicos e mecânicos, onde se procurou seguir fielmente a interpolação de dados para cada ensaio a ser comparada com a ferramenta de análise de dados Anova Fator Único para a captação de grupos, somas, médias e variâncias, além das análises de comparações entre grupos dentro dos grupos e captação de valores como SQ, gl, MQ, F, valor -P e o F crítico.

Todos esses valores obtidos em todos estes ensaios físicos e mecânicos após o processo estão configurados em planilhas TXT que podem ser convertidos e3m dados e calculados pelas plataformas de cálculo Microsoft Excel e Minitab 16, para a geração dos gráficos e construção dos ensaios de Tukey para análise de variância e os gráficos gerados servem de apoio para a produção dos resultados que serão discutidos a seguir. Outra ferramenta de comparação de dados utilizada foi o Minitab versão 16.1.1 com valores mínimos, médios, máximos e desvio padrão com uso da ferramenta Tukey com nível de confiabilidade determinada em 95%. Fator importante em ressaltar que os dados apresentados nas duas ferramentas. A construção das planilhas seguiu o cronograma dos ensaios realizados onde a compilação dos valores unitários compilados e interpolados junto as fórmulas de conversão estão todos vinculados a valores estabelecidos junto as normas utilizadas neste trabalho.

5.1. RESULTADOS DOS ENSAIOS FÍSICOS

Dentro da gama dos ensaios físicos aplicados e analisados nesse trabalho, estão os ensaios específicos da ABNT NBR 14810-2(2013) para avaliação dos painéis desenvolvidos para densidade básica por método gravimétrico dos corpos de prova, o teor de umidade das peças, a avaliação de inchamento em espessura e absorção de água em 24 horas, onde todos os corpos de prova utilizados foram cortados e preparados com dimensões de 50 por 50 mm. O objetivo principal nestes ensaios é a análise detalhada do processo e a coleta dos dados a fim de comparar o comportamento de cada traço produzido, tendo na sua composição partículas de *Tectona e Corymbia*. Os gráficos e planilha de cálculo complementares desses ensaios encontram-se nos Apêndices para ensaios físicos de A à D.

5.1.1. Determinação de Densidade dos painéis

No método de extração da densidade básica obtida através do método gravimétrico com a medição e aferição por balança digital de precisão, paquímetro digital e micrometro digital foi possível avaliar que todos os painéis construídos ficaram dentro do limite médio para painéis aglomerados construídos, conforme NBR 14810-2 (2013).

O painel T1 contendo 100% Corymbia obteve uma densidade máxima captada em 789,67 kg/m³, T2 com 776,58 kg/m³ e T3 contendo 50% Corymbia e 50% de partículas de teca. O painel T4 ficou com a menor densidade medida dentre os cinco traços avaliados, em 743,31 kg/m³, enquanto (T5) obteve densidade média ideal ao escolhido como referência, com 749,93 kg/m³.

Apesar da variação dentro da mesma bateria de ensaios, os valores estabelecidos via anova para –P em 0,0000009241 e F crítico em 2,5787, mostram um conjunto de variação bastante equilibrado, uma vez que a densidade desejada para este trabalho foi estabelecida em 750 kg/m³, ao levar se em consideração os limites máximos e mínimos e tolerâncias exigidos por norma os painéis atenderam bem as especificações de projeto dos painéis com 100% *Corimbia citriodora*.

Os valores médios para densidade dos painéis, gerados pela interpolação dos dados e análise estatística estão representados graficamente na Figura 38.

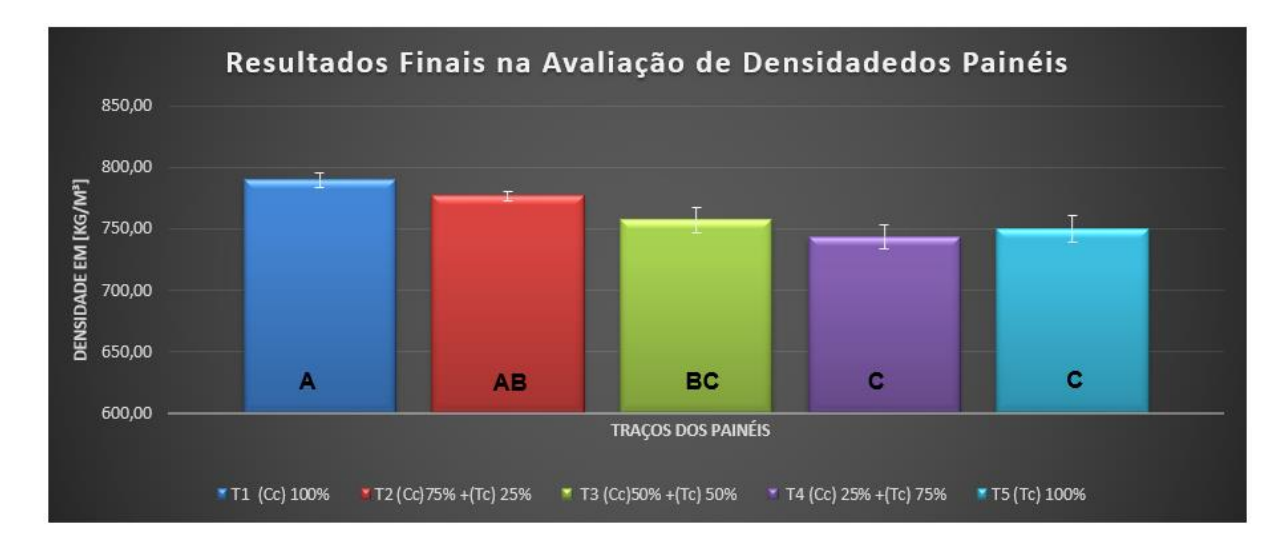


Figura 38. Resultados para a Densidade Básica dos Painéis

Fonte: Acervo do Autor

Para os valores gerados via Minitab, os grupos de Tukey definidos se mostraram bastante diversificados, tendo cada traço de painel em um agrupamento diferente, com T1 isolado no grupo A, T2 no grupo AB e próximo de T3 que por sua vez pertencente ao grupo B, ligeiramente interligado ao painel T4 no grupo BC, enquanto o painel T5 ficou isolado no grupo C.

Para Iwakiri (2005), a influência da densidade na qualidade das chapas ou no processo produtivo é significativa, onde as chapas de partículas produzidas com espécies de baixa densidade podem apresentar maior resistência à flexão, resistência a tração, adesão interna, módulo de elasticidade por apresentarem maior colagem das partículas, se comparadas as chapas produzidas com espécies de alta densidade, onde a condição para que essa chapa de maior densidade obtenha as mesmas condições de resistência de uma chapa de menor densidade está diretamente ligada ao aumento da densidade da chapa, gerando assim chapas maiores e mais pesadas para o mesmo nível de resistência. No caso desse estudo, a possibilidade de se fabricar os painéis com densidade de 800 Kg/m³ certamente supririam essa limitação quanto ao enquadramento aos ensaios aplicados.

5.1.2. Avaliação do Teor de Umidade

Quanto aos valores médios obtidos nos ensaios de Teor de Umidade (TU) dos painéis, quando interpretado todos os resultados obtidos, foi possível notar que os painéis T5, contendo 100% das partículas de teca foram os que apresentam o maior índice dos teores de umidade dentro do painel de partículas em relação aos demais painéis estudados com um valor médio de 9,47 %, seguido de T4 contendo 8,90 % e T1 com 8,61 % de umidade. T3 obteve média de índices de teor de umidade em 8,54% e o painel que apresentou menor teor de umidade entre os cinco traços avaliados foi o painel T2 contendo 25% de partículas de teca e 75% de partículas de Corymbia, com teores por volta dos 8,36%. Essa projeção de teores de umidade no painel aglomerado desse acúmulo de umidade na região estrutural interna pode estar ligada diretamente ao acúmulo de água dentro das fibras ou partículas de forma anisotrópica, que torna difícil a extração definitiva dessa água, mesmo com aplicação de aquecimento. Os valores médios apresentados no gráfico da Figura 39 com valores para teores de umidade em função dos traços de painéis estudados expressos em porcentagem. Desse modo todos ficaram dentro do especificado na recomendação da norma NBR 14810-2 (ABNT 2013b) para valores de teor de umidade entre 5 e 13 % para painéis aglomerados como os testados nesse projeto.

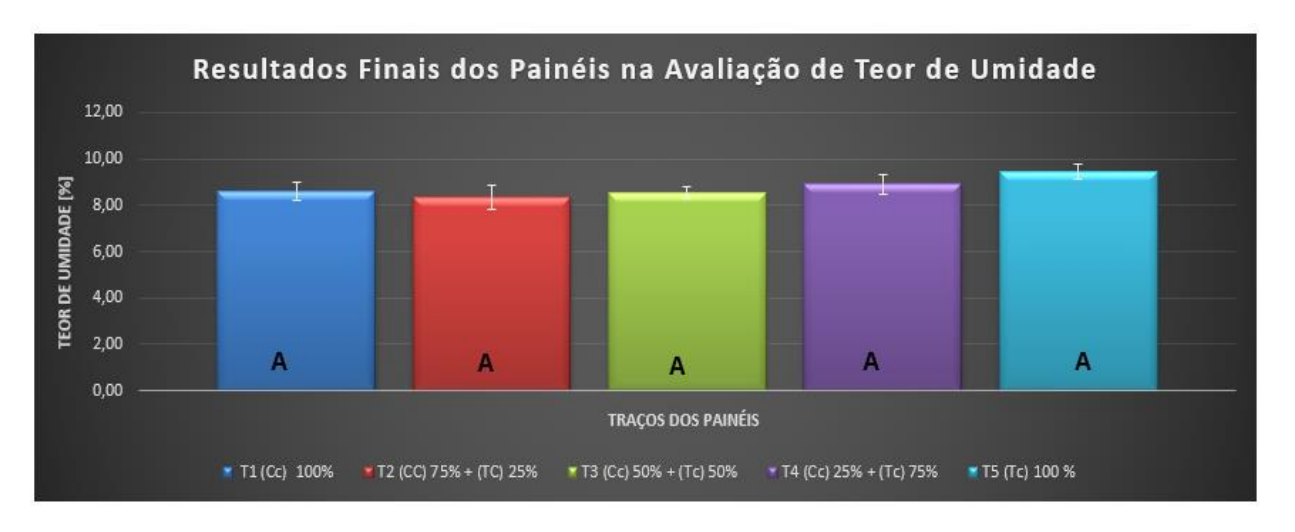


Figura 39. Teores de umidade de cada painel

Fonte: Acervo do Autor

Na variação de Anova os valores gerados para -P foram de 0,019825582 e F crítico ficou em 2,578739 e com fator de confiabilidade individual de 99,33%. A relação dos grupos de Tukey gerados com o Minitab 16.1 determinam um agrupamento muito próximo sem uma variação expressiva, com todos no grupo A. Com relação ao desvio padrão, esse caso todos os painéis ficaram muito próximos em valores médios, ficando todos os traços correlacionados entre si.

5.1.3. Absorção de Água 24 horas

Os resultados para o ensaio de absorção de água (AA), dos painéis aglomerados de Corymbia e teca, foi possível notar que alguns estão dentro do padrão aceitável dos 18% ou muito próximos da margem de tolerância definidos na NBR14810-2 (2013), nos valores médios obtidos nos painéis T4 com 17,44% e T5 Com 18,22% e T3 com 19,9% estão dentro da especificação.

Dos painéis que mais saíram das margens de tolerância da norma e que mais absorveram água em 24 horas, o painel T1 contendo 100% de partículas de *Corymbia* obteve 24,26% e o T2 contendo 75% de partículas de Corymbia e 25% das partículas de teca com 21,40%, superassem gradativamente os valores considerados ideais, dando a entender que essa maior absorção pode estar relacionada a uma capacidade maior de absorção de água por parte das partículas da *Corymbia citriodora*, uma vez que esses dois painéis também tiveram apresentam visualmente maior espaçamento entre partículas e espaços em vazio dentro do painel aglomerado, onde a imperfeição contida na estrutura gerou grandes espaços entre partículas ao longo do painel aglomerado, ideais para concentração de água.

Na variação de Anova os valores gerados para -P 0,0000033250 e F crítico ficou em 2,578739, com fator de confiabilidade individual de 99,33%. A relação dos grupos de Tukey gerados com o Minitab 16.1. com relação aos valores de grupos gerados por Tukey no Minitab 16.1, o agrupamento se mostrou bastante diversificado, ficando T1 no grupo A, T2 pertencendo ao grupo AB, T3 e T5 no grupo BC e por fim T4 que ficou ajustado no grupo C conforme descrição no gráfico da Figura 40.



Figura 40. Resultados para avaliação da absorção de água

Fonte: Acervo do Autor

Pela análise dos resultados obtidos no ensaio físico de absorção de água seguindo os procedimentos da NBR 14810-2(2013), o maior o teor de *Corymbia citriodora*, ou podendo ainda estar relacionados com o maior número de espaços vazios entre as partículas após a compactação, mais absorvente foi o material analisado, onde T1 contendo 100% *Corymbia* e T2 contendo 75% de partículas de Corymbia estão entre os traços quem mais absorveram água em um período de 24 horas. Resultados obtidos se assemelham e muito com os valores encontrados por Negrão et. al. (2014), nos ensaios para a produção de painéis aglomerados utilizando resina PU- mamona, seguindo as normas NBR 148910-2 (2006) e CS236-66 com valores de absorção de água amplamente inferiores aos obtidos com uso de resina ureia-formaldeido e Purbond, onde os valores aferidos foram de 20,07 % para PU- mamona, 69,46% para o painel fabricado com UF e 84,88% nos valores de absorção nos painéis utilizando Purbond.

5.1.4. Inchamento em Espessura em 24 horas

Nos ensaios de inchamento em espessura (IE) e possível notar nos valores e dos ensaios de inchamento em espessura em 24 horas mostraram um painel bastante promissor em todos os ensaios realizados e à medida que se adicionou partículas de teca na composição dos painéis.

Os valores captados para inchamento dos painéis foram diminuindo gradativamente. Dessa forma o painel T1 apresentou maior aumento dimensional com 4,61%, enquanto T2 e T3 permaneceram praticamente estáveis com 4,31 e 4,27% respectivamente, onde T4 ficou com média de 3,66% e as médias do T5 nos menores valores aquisitados, com 2,61% de deformação por inchamento ao longo da espessura dos corpos de prova analisados como destaque na Figura 42.

A estabilidade dimensional pode ser explicada pela ação da resina poliuretana de mamona, com ampla capacidade de inibir a absorção de água. Em comparação com os valores obtidos por lwakiri et. al. (2012), com relação a valores médios de inchamento em espessura, os valores mínimos notados para madeira de Louro obtiveram 10,97% e valores máximos de inchamento para a Virola ficando em 22,37%.



Figura 41. Dados de ensaios de Inchamento em Espessura

Fonte: Acervo do Autor

Para Negrão et. al. (2014), nos valores de inchamento em espessura 24 horas, no que diz respeito à resistência ao inchamento do material, os resultados apontam para superioridade de tendo nos painéis contendo as misturas de quatro espécies de madeira, os painéis construídos com resina Poliuretana à base de mamona representam valores em torno de 9,35% de seu inchamento superficial, ante 15,56% dos painéis fabricados com resina Ureia-Formaldeído e dos 38,40% nos painéis fabricados com resina Purbond.

5.2. RESULTADOS DE ENSAIOS MECÂNICOS

Para este tópico envolvendo os resultados dos ensaios mecânicos, foram seguidos ao todo sete ensaios que constam na NBR 14810-2 (2013), sendo descrito em detalhes a cronologia de realização destes ensaios utilizando a máquina universal EMIC 3000, que expressou os valores em MegaPascal e Newtons, lembrando que no sistema internacional 1MPa equivale a 1N/mm². As planilhas de cálculo e gráficos complementares encontram-se nos Apêndices de E à J.

- Resistência a flexão estática e módulo de ruptura (MOR);
- Resistência a flexão estática e módulo de elasticidade (MOE);
- Resistência a Tração perpendicular;
- > Arrancamento de parafuso da face;
- > Arrancamento de parafuso de topo;
- Resistencia a Tração superficial,
- Dureza Janka.

5.2.1. Resistência a flexão estática e módulo de ruptura (MOR)

Os ensaios Resistência a flexão estática (MOR) e módulo de elasticidade (MOE) na condição de flexão estática foram realizados em 5 baterias de ensaios para cada situação (MOR e MOE), que basicamente consistem no ancoramento ou engastamento das peças de 300 mm de comprimento por 50 mm de largura em uma base fixa com 250 mm entre os dois engastes inferiores e o engaste superior localizado ao centro da peça a ser testada para aplicação de uma carga continua progressiva do sistema no cabeçote até a realização da ruptura parcial do material através de aplicação dessa carga medida em MPa.

Na definição dos resultados de MOR, representados na Tabela 4, é possível comparar os melhores resultados entre os painéis T4 contendo 75% teca e 25% Corymbia com 14,06 MPa e o painel T4 com 50 % de cada espécie de madeira apresentando valores médios de 14,02 MPa, seguidos de T5 com 100% teca e 12,51 Mpa conta T2 com 11,84 MPa. E por último T1 com 9,01 Mpa.

Tabela 4. Resultados do Módulo de Ruptura na Flexão Estática

			1 1 1		
Resultados	T1 (Cc) 100%	T2 (Cc) 75% + (Tc) 25%	T3 (Cc) 50%+ (Tc) 50%	T4 (Cc) 25% +(TC) 75%	T5 (Tc) 100%
Máximo	11,18	15,15	17,51	16,06	14,51
Média	9,01	11,84	14,02	14,06	12,51
Mínima	7,46	9,35	10,76	12,35	10,58
Desvio Padrão	1,27	1,83	1,74	1,36	1,04

Fonte: Acervo do Autor

Os resultados coletados no Painel contendo 100 % *Corymbia citriodora* ficou abaixo do valor estabelecido pela norma NBR14810-2 (2013) que é de 11 MPa, e estando bem abaixo dos valores apresentado pelos demais painéis, que foram produzidos com alguma mistura de Tectona grandis em sua constituição.

Os resultado pode representar as características da teca, descritas na literatura, como boa resistência mecânica e flexibilidade das partículas, além de resistência mecânica quanto ao esforço para resistir a rupturas frágeis que podem ser o principal indicador da ocorrência de colapsos prematuros dos painéis contendo 100% *Corymbia*, que por serem um pouco mais densas, geraram painéis com espessura menor e com graus de espaçamentos maiores entres as partículas e a resina poliuretana se comparados com os demais painéis particulados produzidos, na Figura 42

Resultados Finais para o Módulo de Ruptura (MOR) na Flexão
Estática

16,00
14,00
12,00
6,00
4,00
2,00
C
B
A
A
A
A
B

TRAÇOS DOS PAINÉIS

*T1 (Cc) 100%
*T2 (Cc) 75% + (Tc) 25%
*T3 (Cc) 50% + (Tc) 50%
*T4 (Cc) 25% + (TC) 75%
*T5 (Tc) 100%

Figura 42. Resultados de Resistência a flexão estática (MOR)

Fonte: Acervo do Autor

Na análise por Anova, os valores de -P 0,0000000015 e F crítico em 2,578739 com grau de confiabilidade individual em 99,33 % deixam claro que os resultados estão coerentes com os valores captados e com relação aos ensaios de Tukey, a distribuição dos grupos não foi totalmente uniforme, sendo distribuídos no grupo A os traços T3 e T4, no grupo AB o painel T4, no grupo B o traço T2, e por fim e isolado no grupo C o painel T1.

5.2.2. Resistência a flexão estática e Módulo de elasticidade (MOE);

Quanto aos resultados via módulo de elasticidade na condição de flexão estática seguindo a mesma linha de coleta de dados gerados na EMIC, é possível notar as condições idênticas quanto à ruptura da condição elástica dos CPs, onde os melhores resultados quanto ao desempenho para módulo de elasticidade foram coletados na análise do painel 75% teca T4 com 2145 Mpa, seguido do painel T3 com 50% *Corymbia* e 50% teca chegando a 2205 MPa, tendo logo em seguida os valores dos painéis T5 com 100% *Tectona* e o painel T2 com valores para MOE de 1929 MPa, como é possível verificar na Tabela 5.

Tabela 5. Módulo de elasticidade na condição de flexão estática

Resultados	T1 (Cc) 100%	T2 (Cc) 75% + (Tc) 25%	T3 (Cc) 50%+ (Tc) 50%	T4 (Cc) 25% +(TC) 75%	T5 (Tc) 100%
Máximo	2174,00	2421,00	2679,00	2448,00	2304,00
Média	1738,40	1929,00	2205,00	2145,00	1996,00
Mínima	1426,00	1654,00	1866,00	1943,00	1736,00
Desvio Padrão	262,30	244,60	220,00	163,20	190,50

Fonte: Acervo do Autor

Os piores resultados registrados foram nos painéis 100% Corymbia, cujos resultados médios estiveram entre 1738 MPa, um pouco abaixo o limite de 1800 MPa requisitados pela NBR 14810-2 (2013), mas ainda assim, consta dentro do limite tolerável de 50 MPa para mais ou para menos estabelecido em norma, que o torna aceitável, mas com ressalvas. Quanto aos valores coletados pela estatística Anova, os valores de -P e F crítico foram de 0,000159395 e 2,578739 respectivamente, mantendo o grau de confiabilidade individual dentro dos 99,3%

Com relação aos grupos gerados em Tukey, foi possível notar a geração de três grupos distintos, com T3 e T4 alocados no grupo A, T2 e T5 no grupo AB e no grupo B ficou o painel T1 com 100% de Corymbia em sua composição. Mais uma vez, os painéis contendo alguma proporção de *Tectona grandis* em sua composição resistiram um pouco mais do que o painel contendo somente *Corymbia citriodora*.

Essa condição indica que a adição de teca fez com que o painel resistisse mais a uma carga maior, e essa resistência foi aumentando gradualmente, conforme se adicionou mais partículas de teca ao material dos painéis, só voltando declinar levemente no painel com 100% de partículas de teca, como pode ser comparado olhando os dados de módulo de elasticidade expressos em MPa no gráfico da Figura 43.



Figura 43. Resultados Módulo de elasticidade na tração estática (MOE)

Fonte: Acervo do Autor

Os valores de MOR e MOE representados nos trabalhos de Negrão et.al. (2014), destacam os valores para o uso de resina PU a base de mamona com valores de 19 MPa nos módulos de ruptura e 1581 MPa quanto aos módulos de elasticidade enquanto que os valores constatados dentro da mesma pesquisa, retratam valores de 27 MPa para resina UF e 19 MPa com resina de Purbond para ensaios de MOR, além de 3307 MPa e 4500 MPa respectivamente para ensaios de MOE.

Nos ensaios dirigidos por Sanches et.al. (2016), ao trabalhar com 4 espécies de madeira na produção de painéis monocamadas e multicamadas, os valores mínimos e máximos de MOR variaram entre 6,19 MPa no painel misto com Bracatinga e Eucaliptus, atingindo valores máximos com o painel contendo 100% Pinus, com valores de 10,10 MPa, seguindo a mesma tendência de mínimas e máximas em MOE.

5.2.2. Resultados dos ensaios de Tração Perpendicular

Os valores coletados nos ensaios de tração perpendicular, onde o corpo de provas é submetido a ação de tração com o arrancamento dos suportes metálicos afixado em ambas as faces do corpo de prova preparado, cujo esforço continuo vai tracionando até que haja uma ruptura capaz de separar completamente os dois componentes, os resultados colocam T3 contendo 50% de partículas de teca e 50% de partículas de *Corymbia citriodora* com os melhores resultados médios, variando em torno de 2,61 MPa, seguidos de T4 com 2,55 MPa e T5 com 2,27 MPa. Os valores de T2 contendo 25% de partículas de teça e 75% de partículas de *Corymbia* resultou em 2,06 MPa e os painéis com 100% Corymbia com 1,55 MPa, todos estão dentro do solicitado na NBR 14810-2 (2013), cujos valores estabelecidos são de 0,4 N/mm² ou 0,4 MPa enquanto que os ensaios com menores valores foram bastante superiores a 1,0 MPa ou 1 Newton/mm², valores estes, reproduzidos na Tabela 6.

Tabela 6. Resultados do Ensaio de Tração Perpendicular

Resultados	T1 (Cc) 100%	Г2 (Сс) 75% + (Тс) 25%	3 (Cc) 50% + (Tc) 50%	「4 (Cc) 25% + (Tc) 75%	T5 (Tc) 100%
Máximo	2,0730	2,3990	3,4590	3,0390	2,8200
Média	1,5510	2,0640	2,6060	2,5580	2,2710
Mínima	0,9793	1,6840	2,1190	2,0980	1,8900
Desvio Padrão	0,3419	0,2206	0,3658	0,2910	0,3091

Fonte: Acervo do Autor

Na análise estatística via Anova, é possível notar diferenças significativas entre os painéis investigados cujos valores de valor-P é 0,0000000028 e valor de F Crítico ficou em 2,578739.

Para análise de Tukey, o teste, os valores coletados destacam a divisão dos 5 traços e, 4 grupos com diferenças significativas, sendo o T1 no grupo C, T2 sendo grupo B, T3 e T4 no grupo A enquanto T5 ficou pertencendo ao grupo AB, onde a compatibilidade dos dados para o modelo empregado com precisão de 95,85 % de interpolação entre grupos de dados e mantendo o grau de confiabilidade individual dentro dos 99,3%. Na Figura 44 é possível visualizar a distribuição desses grupos e resultados principais para tração perpendicular dos ensaios realizados.



Figura 44. Resultados para Resistência a Tração Perpendicular

Fonte: Acervo do Autor

A maior estabilidade nos ensaios de tração perpendicular foi captada nos painéis que possuíam maior concentração das partículas de *Tectona grandis* T3, seguido de T4 e T5, e seguindo T2 e por fim T1 que não possuía adição de teca em sua composição. Essa relação de estabilidade dos três primeiros painéis, que também são os que possuem melhor preenchimento e espessura mais elevada, que pode ter gerado menos espaços em vazio em relação aos dois últimos ,contribuindo na adesão do composto fixador e causando essa resistência de engaste mais elevada, se levarmos em consideração uma maior área de contato dos suportes de ensaio com o corpo de prova. Os resultados coincidem com a definição de Araujo et. al. (2019) que relaciona a influência da geometria de partículas menores com bons resultados mecânicos e partículas maiores interferindo de forma negativa no desempenho do painel particulado.

5.2.3. Arrancamento de Parafusos no topo ou superfície

Os ensaios de arrancamento de parafusos seguiram padrão normatizado, pela NBR 14810-2 (2002), mesmo não sendo mais exigência para classificação de painéis tipo 2, foi utilizado como análise de resistência mecânica, onde os resultados obtidos foram apresentados em Newton (N). Nessa condição, os melhores resultados obtidos nesse ensaio estão nos painéis T5 contendo 100% teca com médias de 1431N, seguidos pelos valores obtidos pelos painéis T3 e T2 apresentando medias em torno de 1422 N e 1383 N respectivamente.

Os painéis que obtiveram as condições mais baixas no quesito arrancamento de parafuso de topo ou superfície foi o traço T4 contendo 75 % teca e 25% Corymbia com valores médios entorno de 1191 N onde a referência mínima via norma NBR14810-2 (2002) e ANSI A 208.1 (1993), em 1020 N. Somente os painéis com 100% *Corymbia citriodora* (T1) ficaram um pouco abaixo dessa condição, apresentando valores com medias em torno de 917 N, mesmo assim atendendo os requisitos tranquilamente o requisito de norma. Os valores de referência da interpolação estatística podem ser visualizados na Tabela 7.

Tabela 7. Resultados de Arrancamento Parafuso no Topo.

Resultados	T1 (Cc) 100%	T2 (Cc) 75% + (Tc) 25%	T3 (Cc) 50% + (TC) 50%	T4 (Cc) 25% + (Tc) 75% +	T5 (Tc)100%
Máximo	1248,88	1627,51	1682,43	1402,55	1698,81
Média	917,26	1383,68	1422,65	1191,95	1431,96
Mínima	513,67	1109,43	1146,40	1034,99	1203,86
Desvio Padrão	242,31	166,45	159,49	113,68	171,20

Fonte: Acervo do Autor

Os valores de Anova para -P e F crítico ficaram em 0,0000000426 e 2,5787392 respectivamente, enquanto que na divisão de grupos de Tukey, os painéis T3 e T5 foram classificados como grupo A, enquanto o painel T2 ficou no grupo AB, T4 ficando no grupo B e isolado dos demais temos T1 no grupo C. Os resultados seguem representados em detalhes da Figura 45.



Figura 45. Resultados para arrancamento de parafuso topo

Fonte: Acervo do Autor

5.2.4. Arrancamento de Parafuso na Face

Os ensaios realizados para arrancamento de parafuso na face seguiram os procedimentos de preparação via NBR 14810-2 (2002), mesmo não sendo mais obrigatório nas edições atualizadas da norma, mas ainda são requisitos de normas internacionais, com o complemento da norma ANSI A 208.1 (1993),que estabelece como valores de resistência ao arrancamento de parafusos na face ou superfície em 800 N, com valores de tolerância entre 550 N à 1000 N.

Os melhores valores ficaram em T3 com 1458,54 N e seguidos de T2 com 1413,01 N, onde T5 e T4 tiveram valores muito próximos em suas médias, sendo 1271,98 N e 1244,49 N respectivamente.

Os valores de referência ANSI são de 800 N, dentre todos os experimentos ficaram dentro do especificado, o que obteve os menores resultados quanto à resistência ao arrancamento de parafusos foram os painéis T1, com média de 940,93 N no ensaio aplicado como descrito na Tabela 8.

Tabela 8. Resultados do Ensaio de Arrancamento Parafuso Face

Resultados	T1 (Cc) 100%	T2 (Cc) 75% + (Tc) 25%	T3 (Cc) 50% + (Tc) 50%	T4 (Cc) 25% + (Tc) 75%	T5 (Tc)100%
Máximo	1214,26	1561,81	1628,88	1367,93	1253,00
Média	940,93	1413,01	1458,54	1244,49	1271,98
Mínima	683,23	1102,76	1239,17	1084,13	1041,17
Desvio Padrão	162,76	138,60	129,37	87,57	124,81

Os valores de Anova para -P ficaram em 0,0000000001 e F crítico 2,57873918 enquanto que na divisão de grupos de Tukey, os painéis, a classificação dos painéis gerou 5 grupos distintos, com T3 no grupo A, o painel T2 ficou no grupo AB, T5 ficando no grupo BC,T4 no grupo C, e T1 no grupo D.

A variação de resultados foi menos expressiva nos painéis com mais Corymbia em sua composição e menor nos painéis que continham volume maior de teca em sua composição, ficando fora dessa condição os painéis contendo somente Corymbia citriodora e na Figura 46.

Resultados Finais dos Painéis na Avaliação de Arrancamento Parafuso Face 1600,00 1400.00 1200.00 1000,00 800.00 600,00 400,00 200.00 D C AB BC 0.00 TRAÇOS DOS PAINÉIS ▼T1 (Cc) 100% ■T2 (Cc) 75% + (Tc) 25% ▼T3 (Cc) 50% + (Tc) 50% ▼ T4 (Cc) 25% + (Tc) 75% ▼T5 (Tc) 100%

Figura 46. Arrancamento De Parafuso Na Face Ou Superfície

Fonte: Acervo do Autor

Se comparados também com os trabalhos de Melo e Del Menezzi (2010) os valores médios para arrancamento de parafuso na superfície ou face foram de 710 N para painéis com densidade até 0,60 kg/m³, 891 N nos painéis de 0,70, chegando até 966 N no painel com 0,80 kg/m³.

Se comparados com os valores médios encontrados por Sanches et. al. (2016), seus painéis tiveram variações mais significantes para painéis de diferentes composições , com valores de arrancamento em 436,11 N no painel misto de Eucaliptus e Bracatinga até 810,81 N para o painel misto de Uva do Japão e Pinus, enquanto que seus valores para arrancamento de parafuso no topo do painel ficaram entorno de 464,41 N a 676,79 N para os mesmos traços vistos no arrancamento na superfície.

5.2.5. Resultados para Tração Superficial dos painéis

Os resultados coletados nos ensaios de Tração Superficial (Ts) são obtidos com a ruptura total dos corpos de prova sob tração superficial aplicada em uma das faces engastada por um pino metálico na área delimitada na face do CP, enquanto a outra se encontra engastada no suporte da máquina de ensaios EMIC 3000, conforme resultados comentados a seguir. Todos os corpos de prova estiveram com valores de tração acima do limite estabelecido pela norma 14810-2 (2013) que estabelece limite mínimo de em 1 MPa ou 1 N/mm².

Os CPs fabricados com 100% Corymbia citriodora (T1) foram os experimentos que obtiveram os menores medias obtidas nesse ensaio, com 1,32 MPa, sendo que todos os outros tiveram resultados muito acima dessa média, apresentando de maneira escalar a medida que foi adicionada as partículas de teca na mistura, como em 1,65 MPa em T2 até 2,08 MPa em média para T5, conforme é possível observar na Tabela 9, os valores médios, máximos, mínimos e desvio padrão coletados para análise de tração superficial

Tabela 9. Resultados do Ensaio de Tração Superficial em [MPa]

Resultados	T1 (Cc) 100%	T2 (Cc) 75% + (Tc) 25%	T3 (Cc) 50%+ (Tc) 50%	T4 (Cc) 25% + (Tc) 75%	T5 (Tc)100%
Máximo	1,70	2,19	2,56	2,19	2,45
Média	1,32	1,65	1,96	1,98	2,08
Mínima	1,06	1,39	1,33	1,62	1,63
Desvio Padrão	0,21	0,26	0,32	0,19	0,27

Os valores de Anova para -P ficaram em 0,0000000632 e F crítico 2,578739184 enquanto na divisão de grupos de Tukey, os painéis, a classificação dos painéis T4 e T5 no grupo A, o painel T2 ficou no grupo B, T3 ficando no grupo AB, T1 no grupo C.

Nesse ensaio em específico, os resultados podem estar vinculados a quantidade de teca adicionada ao painel pode ter contribuído para esses painéis resistirem mais a essa ruptura interna dessas partículas, ocasionado principalmente pela aplicação da força de tração do ensaio, conforme os valores demonstrados na Figura 47.



Figura 47. Resultados para Tração superficial

Fonte: Acervo do Autor

5.2.6. Dureza Janka

Os valores de dureza Janka obtidos são resultantes da aplicação de esfera sob a ação de força ordenada na superfície da face dos corpos de prova nos 5 traços de painéis produzidos, os resultados compilados variaram em mínimas de 51,74 MPa em T1 até a máxima de 59,66 MPa com T4. O painel T5 ficou dentro de todos os resultados para ensaios físicos e mecânicos, tendo ótimos resultados na questão de inchamento em espessura, tração superficial e densidade em 749 km/m³, somente apresentando resultados menores que os demais para dureza janka, onde o painel pareceu absorver com mais facilidade a pressão aplicada

Os valores obtidos ficaram bastante equilibrados em T2 com 55,33 MPa, T3 com 55,58 MPa e a apresentação de maior facilidade de penetração e diminuição de resistência das partículas em T 5 que apresentou média de 46,58 MPa como pode ser visto na Tabela 10.

Tabela 10. Resultados do Ensaio de Dureza Janka em [MPa]

Resultados	T1 (Cc) 100%	T2 (Cc) 75% + (Tc) 25%	T3 (Cc) 50%+ (Tc) 50%	T4 (Cc) 25% + (Tc) 75%	T5 (Tc)100%
Máximo	70,25	74,84	68,06	60,33	56,59
Média	51,74	59,66	55,82	55,36	46,58
Mínima	36,32	51,61	43,08	47,44	40,58
Desvio Padrão	11,73	7, 59	7,99	4,59	5,21

Fonte: Acervo do Autor

Com valores de -P 0,0078088 e valores de F crítico em 2,5787392, é possível notar que houve uma pequena variação estatística e interpolação Anova e cálculos de Tukey, com confiabilidade individual em 99,33%. De modo geral, ocorreu um certo equilíbrio quanto aos valores gerados no ensaio de Dureza, foi possível dividir os 5 traços em 3 grupos nos ensaios de Tukey, enquanto que o painel T2 ficou posicionado no grupo A, interligado e com pequena variação com os painéis T1, T3 e T4 ficaram dentro do segmento AB, que por sua vez, estava também vinculado ao e o painel T5 no grupo B, como segue registrado no gráfico da Figura 48.

Resultados Finais dos Painéis na Avaliação de Dureza Janka

70,00

60,00

50,00

30,00

20,00

10,00

AB

AB

AB

AB

TRAÇOS DOS PAINÉIS

* T1 (Cc) 100%

* T2 (Cc) 75% + (Tc) 25%

* T3 (Cc) 50%+ (Tc) 50%

* T4 (Cc) 25% + (Tc) 75%

* T5 (Tc) 100%

Figura 48. Avaliação para resultados de dureza Janka

5.3. ANÁLISE DOS ENSAIOS DE MICROTOMOGRAFIA

A análise por Microtomografia de raios X nos painéis foi realizada no laboratório de análise microscópicas da faculdade de odontologia de Piracicaba onde as peças foram selecionadas e cortadas com dimensões de 50 x 50 mm e fixadas com resina fixadora a um suporte de cobre com base circular, e essas amostras são levadas ao microtomografo. Essas amostras efetuam giros de 180º na plataforma e a máquina fotográfica com lentes de alta resolução fazem centenas de frames seccionando o material analisado em fotografias onde depois serão aplicados os programas de reconstrução.

Quando finalizadas as fotomicrografias, são gerados arquivos para serem processados em diversos programas como Nrecon e Nrecon Server CTan, CTvol e CTvox, que efetuam a reconstrução tridimensional medição e varredura das amostras, para que se possa utilizar das mais variadas formas de análise, uma vez que a projeção gera um arquivo executável de onde é possível retira inúmeras informações, de acordo com a necessidade do usuário.

O painel T1, foi o painel onde foi possível verificar o maior número de espaços vazios em sua estrutura quando se projetou no âmbito tridimensional, ficando visível que a quantidade de material contido no painel não foi suficiente para cobrir totalmente os espaços durante a compactação das partículas, e mesmo apresentando boa resistência mecânica, sendo material mais denso que a teca.

Esse espaçamento é fator determinante em resultados como altos valores de absorção de água e inchamento em espessura em 24 horas, e outros valores em ensaios físicos e o colchão com um grau de compactação menor notado em sua espessura pode ter sido um fator determinante quanto a baixa resistência aos ensaios mecânicos. Foi também o painel que apresentou resultados inferiores aos demais painéis com relação aos testes físicos e mecânicos, mas se destacou muito bem nos ensaios de arrancamento de parafuso de topo e de face onde foi exigida resistência e dureza das partículas conforme é possível visualizar na Figura 49 com a seleção de da camada inferior em 3 mm, a camada central a 7 mm e acamada superior localizada a 11 mm. .

Figura 49. Camada inferior, central e superior painel T1-100% Corymbia

No caso das amostras do painel T1, os espaços vazios ocupam uma grande área do painel, e estas falhas e espaços podem ter interferido diretamente no baixo desempenho desse painel nos ensaios mecânicos e físicos permitindo maior acumulo de fluido e menos engaste estrutural quando exigido na resistência a ruptura parcial ou total das partículas quando exigidos. Essa estrutura na projeção em 3 coordenadas X, Y e Z é representada na Figura 50, com projeção pelos programas Nrecon e DataWiewer.

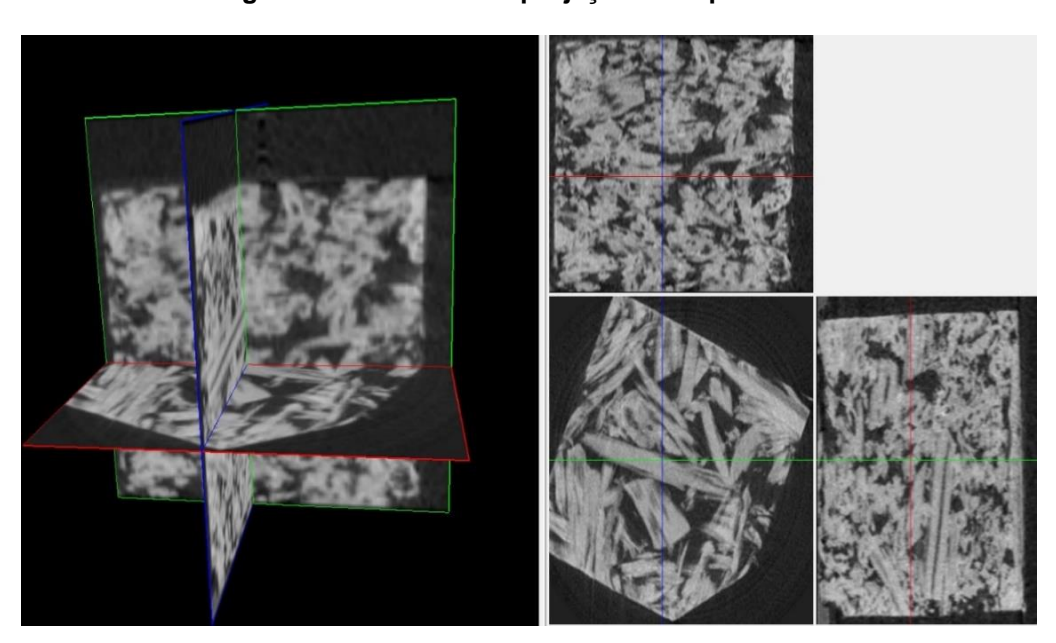


Figura 50. Amostra das projeções dos painéis T1

Ao utilizar o programa de reconstrução CTan, foi possível a visualização reconstruída do painel T1 contendo 100% *Corymbia* na Figura 51 A, onde foi possível observar a separação, mesmo que discreta das partículas (B) e da resina ao longo do painel (C). Essa distribuição é menos visível na projeção 2D da imagem, mas pode ser claramente definida na projeção tridimensional em computador, e por si já torna possível avaliar com precisão as diferenças entre uma peça e outra.

A C

Figura 51. Detalhes construtivos da microtomografia em T1

Fonte: Acervo do Autor

Foi possível notar que o painel T2 continha menos incidência de espaçamentos tão visíveis em relação ao painel T1, mas mesmo tendo um entrelaçamento mais próximo entre sua composição estrutural a junção dessa mistura de partículas adicionando 25% de teca e extraindo 25% da *Corymbia* contida no painel, ainda torna visível algumas fendas hora maiores, hora menores, onde a luz emitida e refletida pelo feixe de lazer do Microtomografia ainda passa com certa facilidade por dentre a estrutura do painel particulado.

Os detalhes do painel T2 e da projeção bidimensional com a camada inferior (A), região central (B) e camada superior do painel aglomerado (C) com detalhes para os espaçamentos em vazio que são muito visíveis em todas as camadas do painel aglomerado está destacado na Figura 52.

| Com | 10.0 | Com | 10.0 | Com | 2 < 7.628mm |

Figura 52. Camada inferior, central e superior painel T2.

Na projeção DataWiewer da Figura 53, nota-se o maior entrelaçamento colchão de partículas e que essas partículas se encontram bem mais organizadas e entrelaçadas quando comparado com imagens do painel T1, a imagens nas vistas tridimensionais do painel T2, possui um volume bem maior de preenchimento dos espaços e menores espaços em vazios do painel com relação ao painel T1.

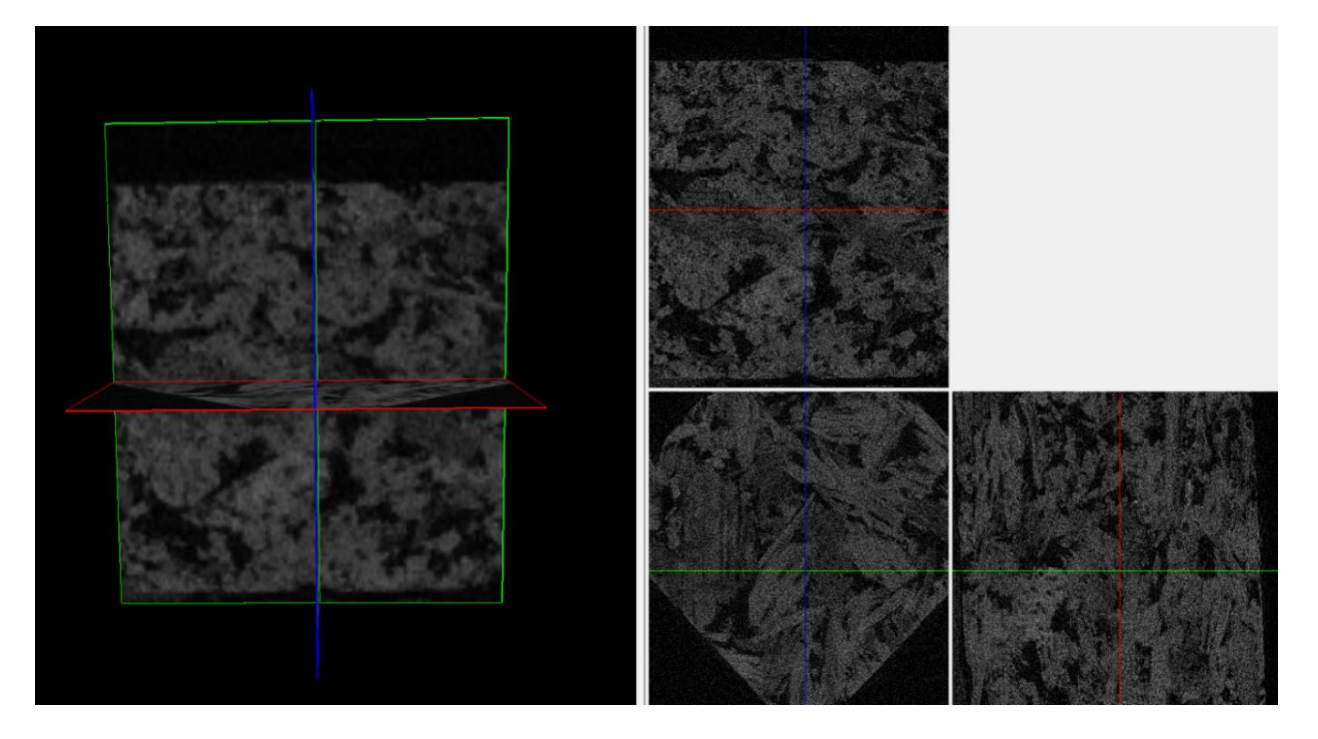


Figura 53. Amostra das projeções dos painéis T2

O painel T2, reconstruído na Figura 54, torna possível notar a estrutura completa (A), as partículas (B) e a poção da resina(C), lembrando que foi o que obteve os melhores resultados dos teores de umidade e dureza Janka dentre as composições testadas.

A C

Figura 54. Detalhes construtivos da microtomografia em T2

Fonte: Acervo do Autor

O painel construído com 50% de partículas de *Corymbia* e 50% de teca, teve um aumento visível de material concentrado nas faces no painel, relacionado ao aumento significativo do volume de partículas de teca, que por possuir uma densidade menor que a *Corymbia* e com essa adição maior de material, acaba gerando uma compactação de um volume mais abrangente dentro do painel, pois esse material vai ocupando mais espaços no painel, e gerando uma estrutura mais uniforme ao longo de todo o painel.

Sendo mais leve, a tendência é que ao preparar o colchão de partículas para a compactação, estas partículas vão ocupando mais espaços dentro do colchão, à medida que se foi acrescentando teca dentro da formação dos painéis.

É necessário destacar que os ensaios físicos e mecânicos aplicados, os melhores resultados se deram com a mistura de 50% de cada espécie de madeira estudada, tendo destaque em ensaios físicos e mecânicos dentro da norma NBR 14.810-2 (2013), para painéis aglomerados, com destaques onde o painel T3 sempre esteve entre os 3 melhores resultados em praticamente todos os ensaios realizados a longo desse trabalho. Na Figura 55 e 56, é possível visualizar a projeção do painel T3 em 3 regiões distintas.

Figura 55. Camada inferior, central e superior painel T3.

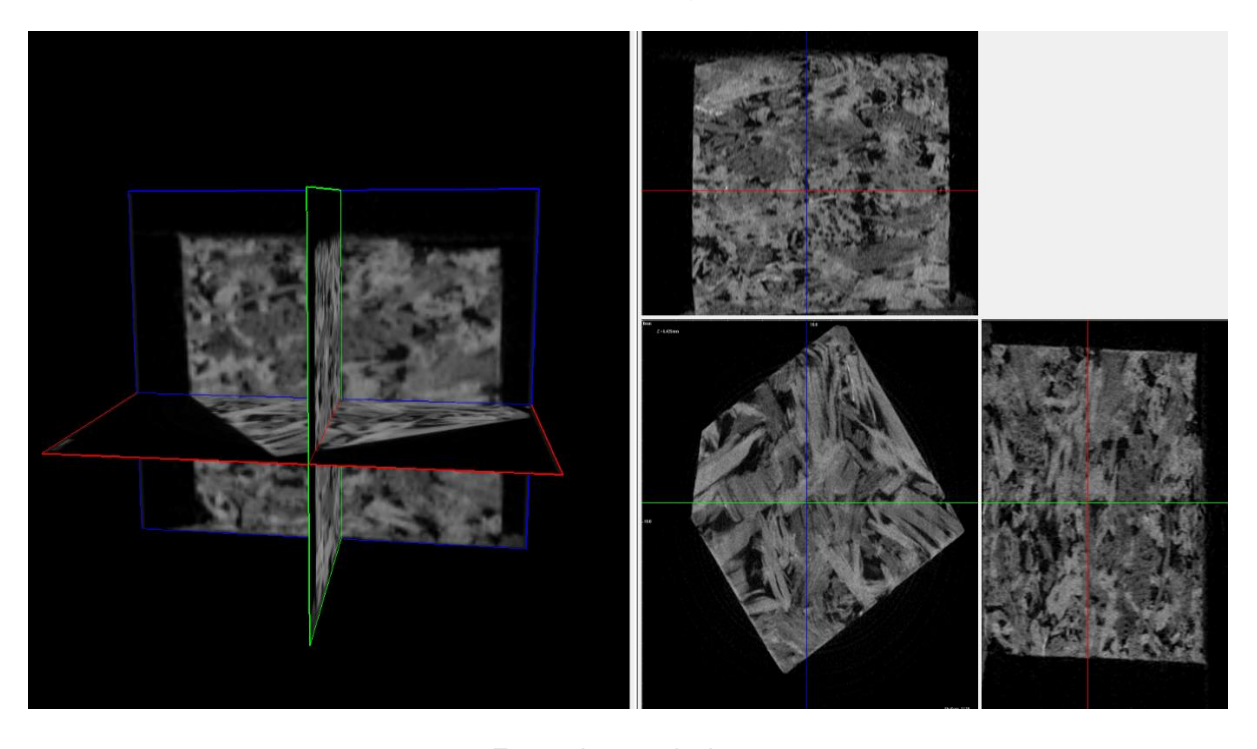


Figura 56. Amostra das projeções dos painéis T3

Fonte: Acervo do Autor

Os resultados encontrados na condição do painel T3, que utiliza a mistura de 50% de teca e 50% *Corymbia citriodora* em sua composição leva a algumas conclusões amplamente discutidas na literatura, como Haselein et. al. (1989), que através de experiências que a mistura heterogênea com 50% das partículas de cada espécie de madeira, existe uma grande possibilidade de que essa soma

de características de duas ou mais espécies podem vir a formar painéis com propriedades físico-mecânicas bem melhores do que os painéis produzidos com uma única espécie, e a variação das proporções de uma espécie ou outra vão refletir diretamente e podem gerar resultados bastante satisfatórios dentro dessa perspectiva. Na Figura 57 a projeção 3D com a reconstrução do painel T3 completo (A), a projeção das partículas (B) e a projeção da resina (C).

A B

Figura 57. Detalhes construtivos da Microtomografia em T3

Fonte: Acervo do Autor

As imagens coletadas e reproduzidas na Figura 58, é possível dar destaque para o painel T4 contendo 25% de teca e 75% Corymbia, onde foi possível notar pelas ferramentas de análise tridimensional, que existem pouquíssimos espaços entre as partículas e que grau de ocupação dos espaços foi bem mais nítido quando relacionado aos 3 painéis anteriores T1, T2 e T3.

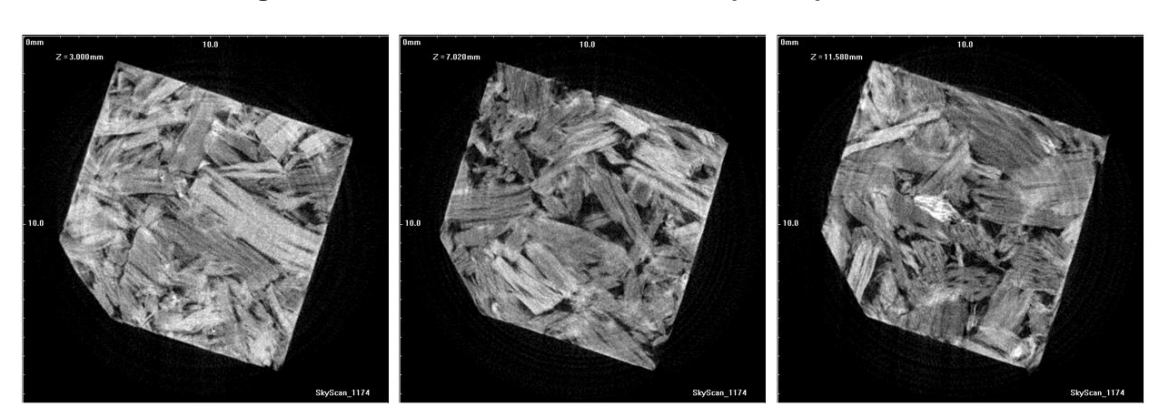


Figura 58. Camada inferior, central e superior painel T4.

Essa ocupação mais eficiente das partículas na formação do colchão, formaram um painel com desempenho bastante próximo ao painel T3, apresentando os melhores resultados nos ensaios de flexão estática e menores índices de absorção de agua nos ensaios para painéis aglomerados ABNT 14810-2 (2013), e também se manteve entre os melhores resultados de densidade aparente. Deste modo, os painéis de partículas aglomeradas T4 possuem maior preenchimento em relação a T3, e tiveram atuação bastante significativa nos ensaios mecânicos e físicos, permanecendo dentro dos valores requisitados pela norma NBR 14810-2 (2013) com certa folga com os detalhes das imagens via DataWiewer na Figura 59

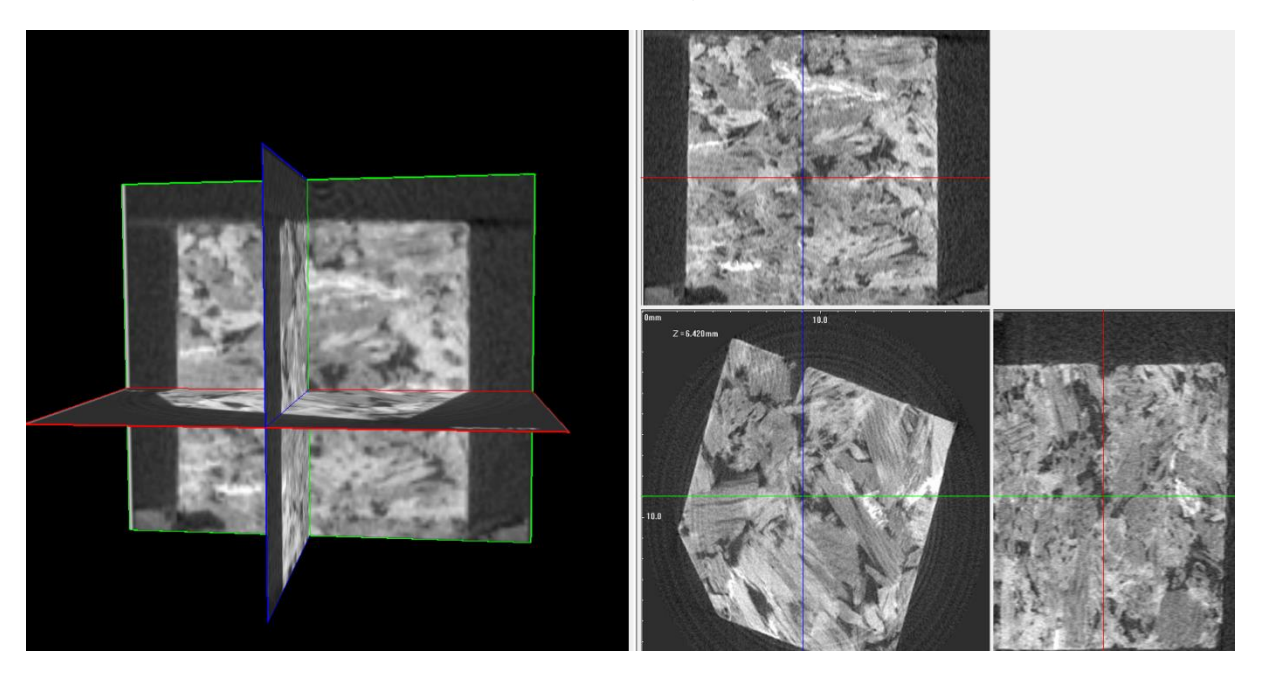


Figura 59. Amostra das projeções dos painéis T4

Fonte: Acervo do Autor

Como é possível comparar pelas imagens coletadas nos ensaios e na reconstrução 3D na Figura 60, a estrutura tridimensional mais solida no conjunto painel/resina como vistos na Figura 60-A com imagem das partículas e da resina, (B) contendo o volume de partículas e somente a resina em (C) deixando bastante evidente que a variação proporcional de articulas de madeiras de diferentes espécies podem sim vir a dar forma a painéis bastante interessantes para o ponto de vista comercial, e sua robustez pode ser bastante útil na construção civil e indústria moveleira por exemplo.

B C C

Figura 60. Detalhes construtivos da microtomografia em T4

Na Figura 61, onde é apresentada em projeção as imagens semelhantes aos demais nas alturas 3, 7 e 11,50 mm, ou seja, vista inferior, vista central e vista superior das amostras, nota-se que o painel com 100% de particulados de teca fez com que o painel parecesse bem mais compacto que os demais, com valores das normas avaliadas, e destaque nos ensaios de tração superficial com valores médios em torno de 2,8 N/mm², o dobro exigido pela norma NBR14.810-2 (2013).

Com relação aos demais painéis, percebe-se um nível de preenchimento bem maior dos painéis de partículas T4 e T5 se comparado aos demais painéis T1, T2 e T3, e esse nítido preenchimento dos painéis e o fechamento cada vez mais amplo dos espaços contidos no interior das amostras à medida que se adiciona uma maior quantidade das partículas de teca ao material como é possível ver na Figura 62.

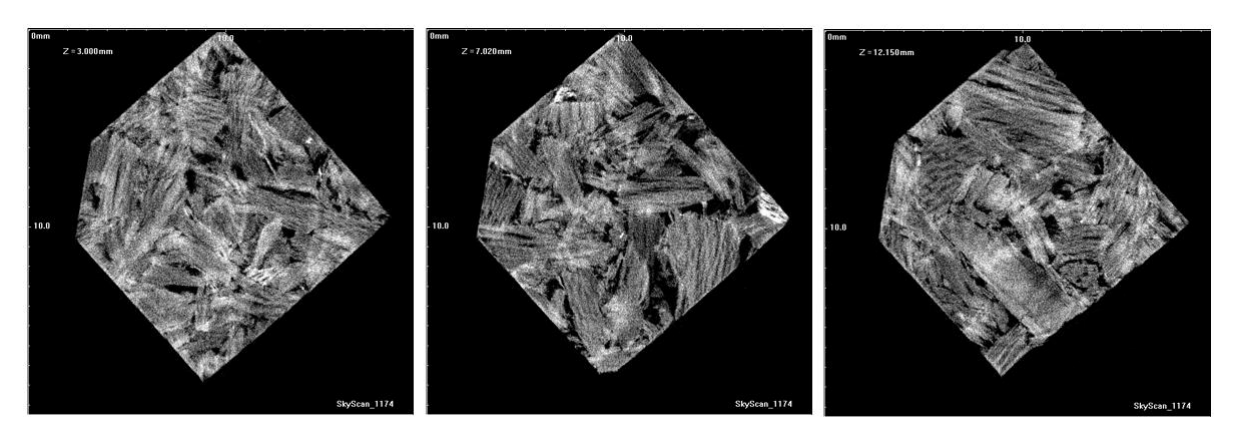


Figura 61. Camada inferior, central e superior painel T5.

And 2 of 1 library

Figura 62. Amostra das projeções dos painéis T5

A reconstrução 3D de T5 permitiu observar diferenças significativas entre a estrutura interna, onde a junção entre espécies de diferentes densidades pode contribuir para um painel robusto e consistente, além da diversificação da granulometria das partículas, que contribuiu para maior homogeneidade e preenchimento dos painéis, Figura 63 A, a proporção de partículas (B) e resina (C),

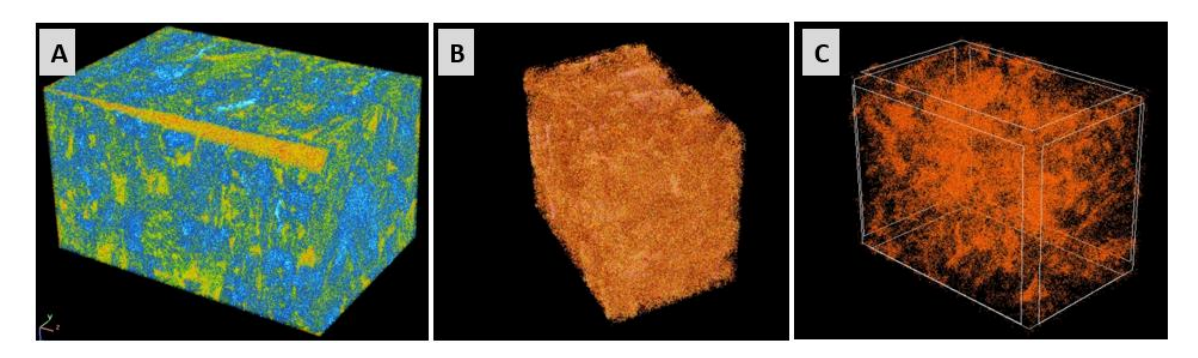


Figura 63. Detalhes construtivos da microtomografia em T5

Fonte: Acervo do Autor

Nas Figuras 64, 65, 66, 67, microtomografias geradas no programa Nrecon dos painéis de T1 a T5, em 4 zonas diferentes de espessura para 3, 6, 9 e 12 mm.

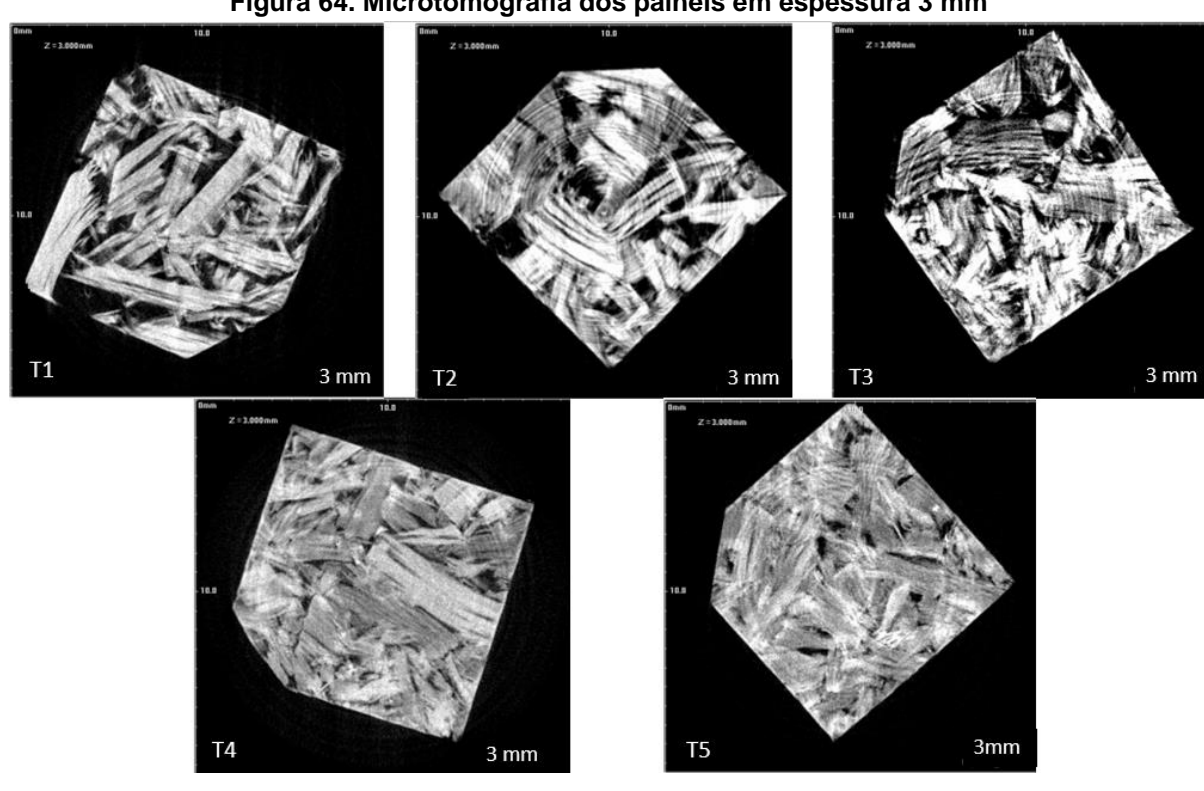


Figura 64. Microtomografia dos painéis em espessura 3 mm

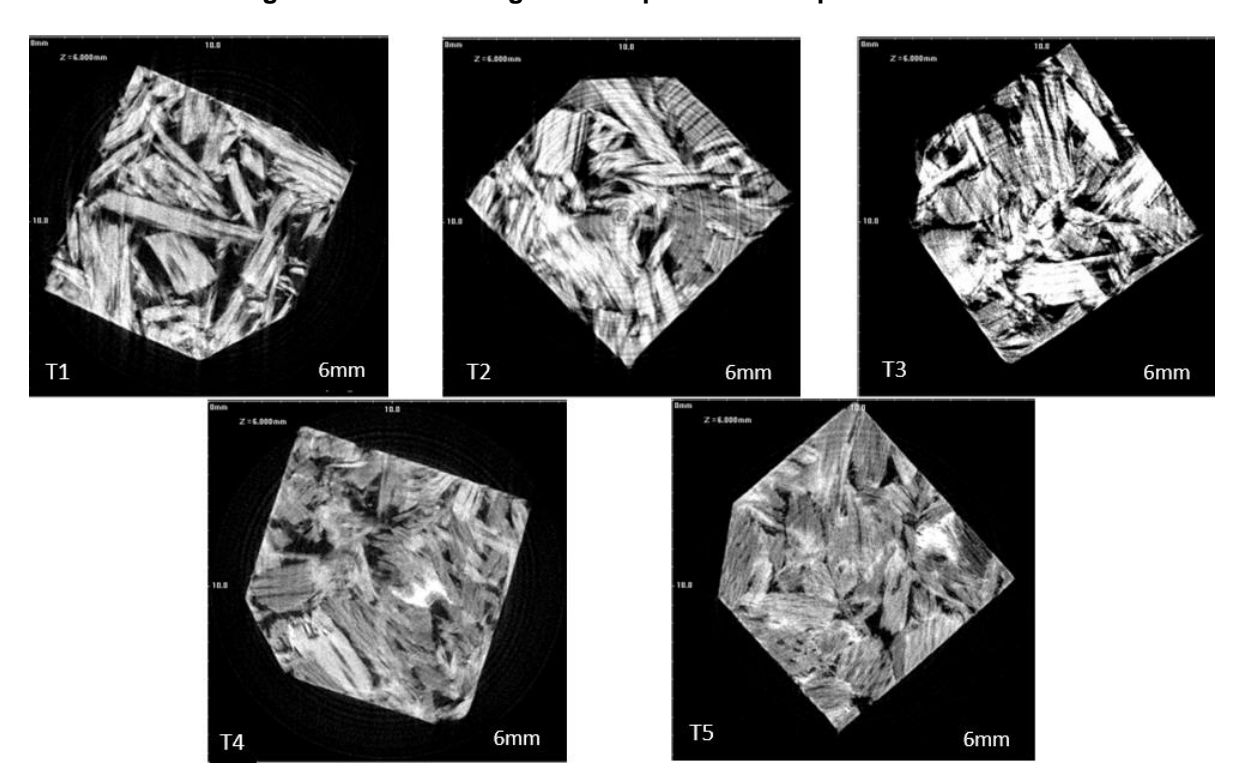


Figura 65. Microtomografia dos painéis em espessura 6 mm

T1 9mm T2 9mm T3 9mm

T4 9mm T5 9mm

Figura 66. Microtomografia dos painéis em espessura 9 mm

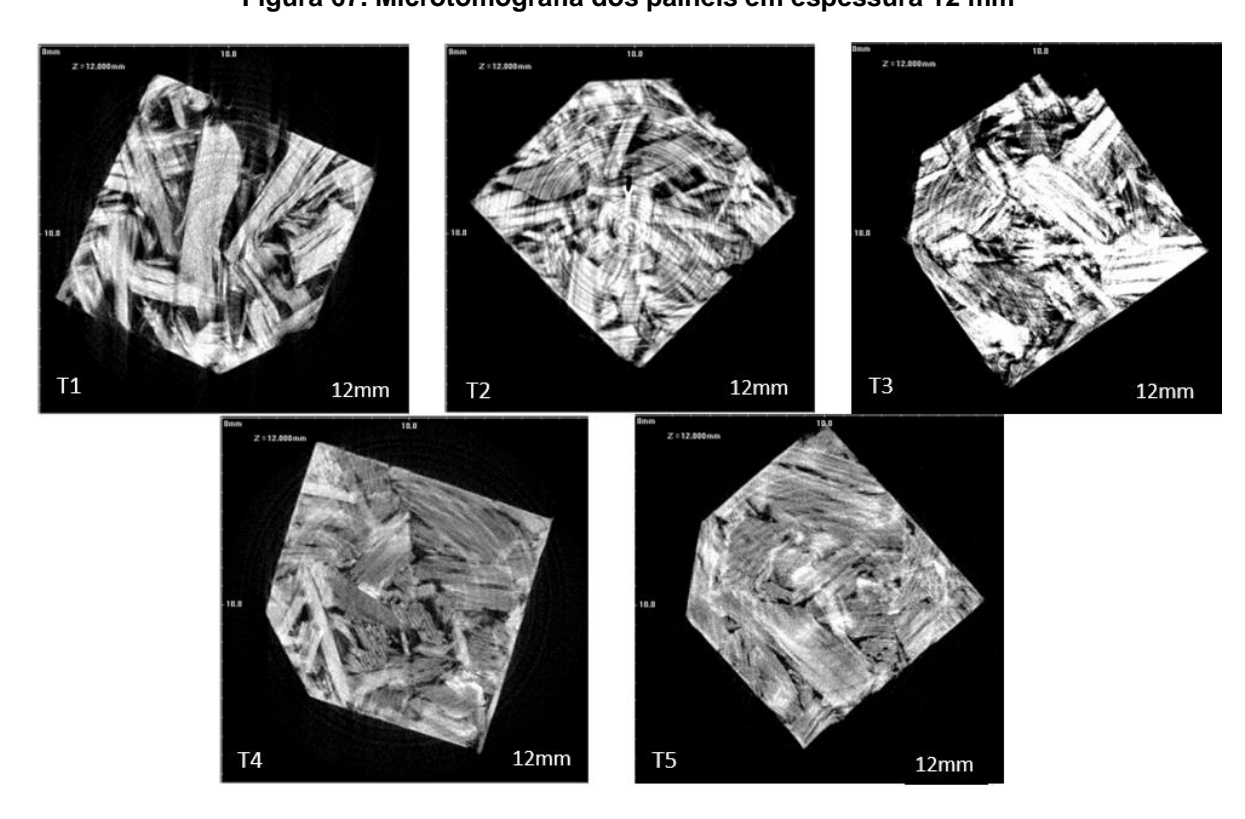


Figura 67. Microtomografia dos painéis em espessura 12 mm

5.4. RESULTADOS PARA DENSITOMETRIA DE RAIOS X

O ensaio de densidade aplicado nos painéis aglomerados que são apresentados neste bloco são os valores e gráficos ensaiados com o densitômetro QDP 01-X e o programa de analises QMS Density Profile, versão 2.03 USB, que gera em seus arquivos as tabelas e gráficos de inserção de dados, dados esses que são delimitados pelo ponto de incidência de feixe colimado em uma área de análise pontual. Vale salientar que os ensaios foram aplicados com 12% do teor de umidade enquanto o gravimétrico foi realizado dentro das normas estabelecidas pela NBR 14810-2 (2013) de acordo com a umidade dos painéis entre 8,32 e 9.47%. dessa forma, além de realizado a coleta de valores para densidade média pelo sistema de interpolação gerado pelo densitometro QMS, descritos na densidade 1 da Tabela 12, os dados foram coletados e densidade 2, gerados em Microsoft Excel para geração dos gráficos de densidade por interpolação de densidade média, máximas e mínimas ao longo da dimensão dos painéis aglomerados.

Tabela 11. Dados de densidade por Densitometria de raios X

PAINEL	T1	T2	Т3	T4	T5
Espessura média [mm]	11,400	11,520	11,880	12,080	11,760
Densidade 1- QMS	804,33	823,24	811,50	808,65	774,05
Densidade 2 - Ms Excel	802,60	822,63	811,29	808,62	775,34
Densidade mínima	354,69	465,70	536,51	473,52	613,48
Densidade máxima	859,16	885,53	880,10	877,24	856,30
Desvio Padrão	356,71	296,86	242,95	285,47	171,70

Fonte: Acervo do Autor

Dentro dessa análise, os valores obtidos pelo sistema convertem e geram os gráficos de densidade em kg/m³ por espessura em mm, com destaque do gráfico do ensaio e a formação dos limites de zonas para 3,6,9 até 12 mm. Dentro desses valores em questão temos também a densidade média aferida para o painel T1 em 802.60 kg/m³, enquanto o painel pelos ensaios de densidade aparente pelo método gravimétrico ficou em 786,23.

A dimensão média dos painéis T1 ficaram em 11,440 mm e foram gerados 286 pontos de verificação ao longo das zonas de densidade ponto a ponto foi coletada e transferida para a planilha, onde essa interpolação proporcionou a geração de gráficos de densidade ao longo da espessura do painel

Os painéis T2, com espessura média de 11,520 mm, teve 289 pontos de colimação de feixes e apresentou densidade de 823,24 via QMS e 822,60 kg/m³ pela contraprova via análise convencional e esses valores de densidade média coletados ao longo de todo o painel, representam um painel um pouco mais denso dentre os 5 painéis analisados,

A densidade do painel T3 com espessura de 11,880 mm e 298 pontos de verificação obtiveram densidade levemente inferior, se comparado a T2, mas bem mais denso em sua estrutura se comparado a T1,T4 e T5 com densidade média QMS 811,50 e 811,29 kg/m³ via Excel, com uma variação de maior densidade nos pontos das zonas 1 e 4 mais levadas enquanto as zonas 2 e 3 mantiveram estabilidade da densidade bem maior nas extremidades e menor ao centro das amostras analisadas.

Os valores de T4 foi o mais espesso dentre os painéis analisados com 12,080 mm em 303 pontos de disparos de feixe colimado, e sua densidade ficou muito próxima de T1, mas com um pequeno diferencial na zona 5, que possivelmente por ser um pouco mais espesso, teve uma incidência de feixe mais efetiva ao longo da última zona, gerando uma média mais ponderada. Essa densidade média captada via QMS foi de 808,65 e 808,62 kg/m³, e pode estar associada a essa distribuição mais homogênea ao longo da espessura do painel.

Por fim, no painel T5 com espessura de 11,760 mm e 295 pontos de verificação e densidade média em 774,05 kg/m³, foi possível perceber que a variação por zonas ficou bem mais compatível com os valores coletadas para densidade aparente de projeto.

É preciso levar em consideração que os valores de análise por densitometria de raios X ponto a ponto tem a tendência de apresentar uma maior precisão, pois seu sistema de captação é bem mais consistente e preciso que as medições superficiais projetadas pelos métodos tradicionais, pois avalia toda a estrutura interna e externa do corpo de prova com maior precisão.

Os valores de densidade máxima, mínima e densidade média nas 5 zonas geradas na densitometria foram representados graficamente da Figura 68 e análise estatística em Ms. Excel na Figura 69 microtomografia dos painéis 100% Cc.

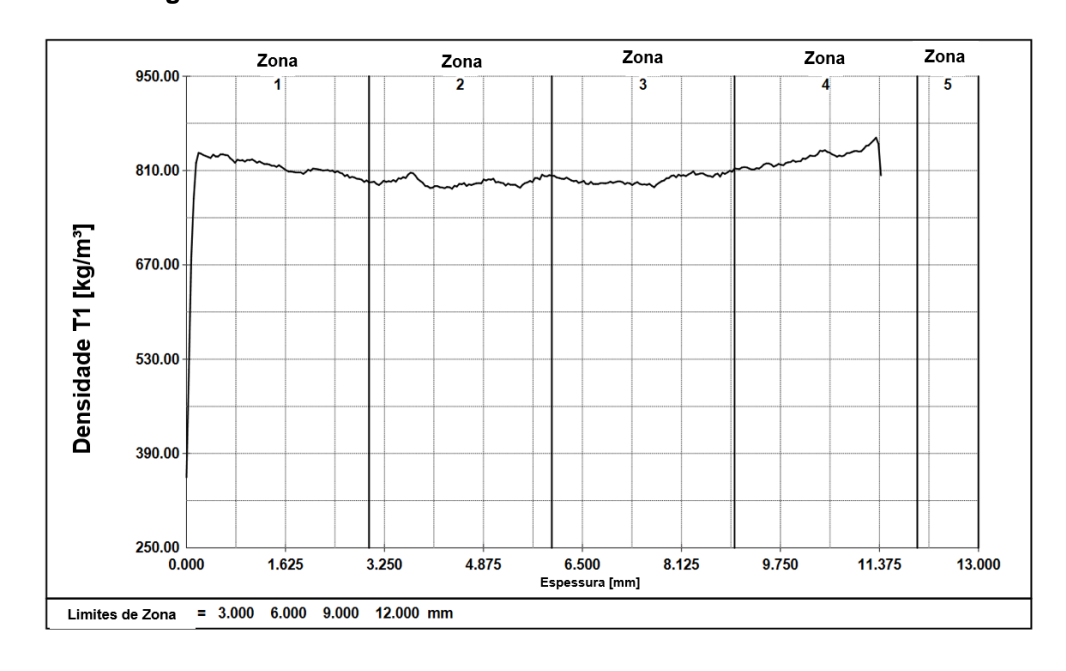


Figura 68. Resultados Médios dos ensaios de densitometria T1

Fonte: Acervo do Autor

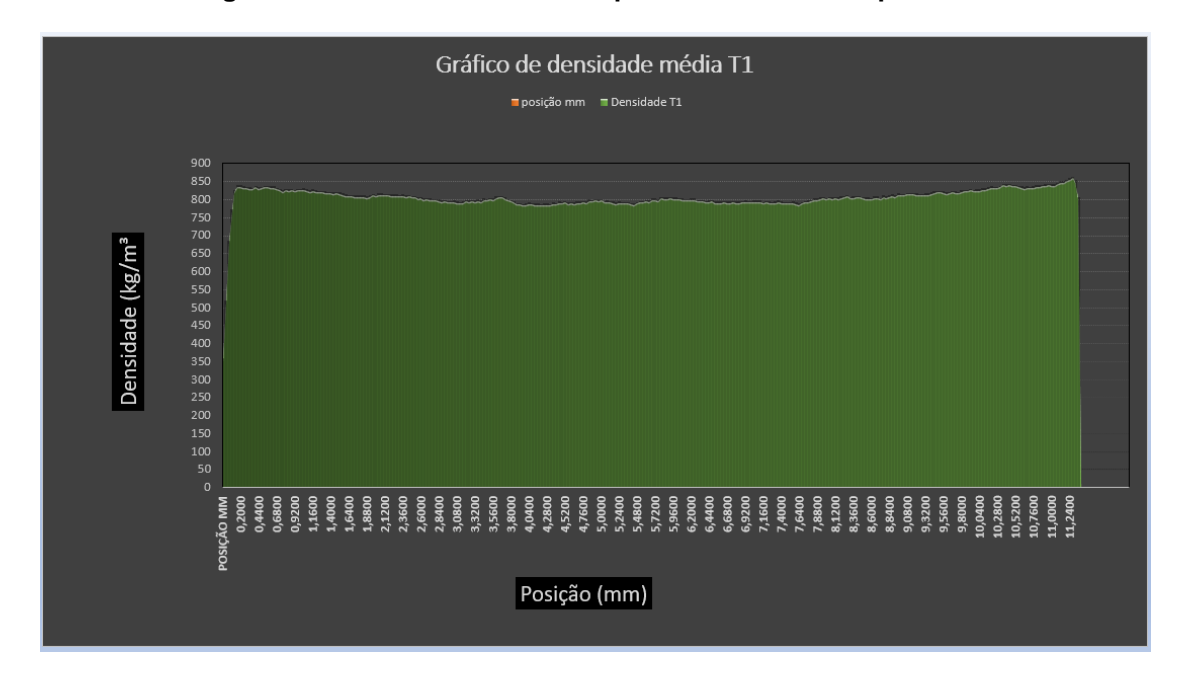


Figura 69. Análise da Densidade por zonas de ensaio painel T1

Nas Figuras 70 e 71, os detalhes da densidade média de T2, gerados pelos dois sistemas de dados do densitometro e análise estatística via Ms Excel.

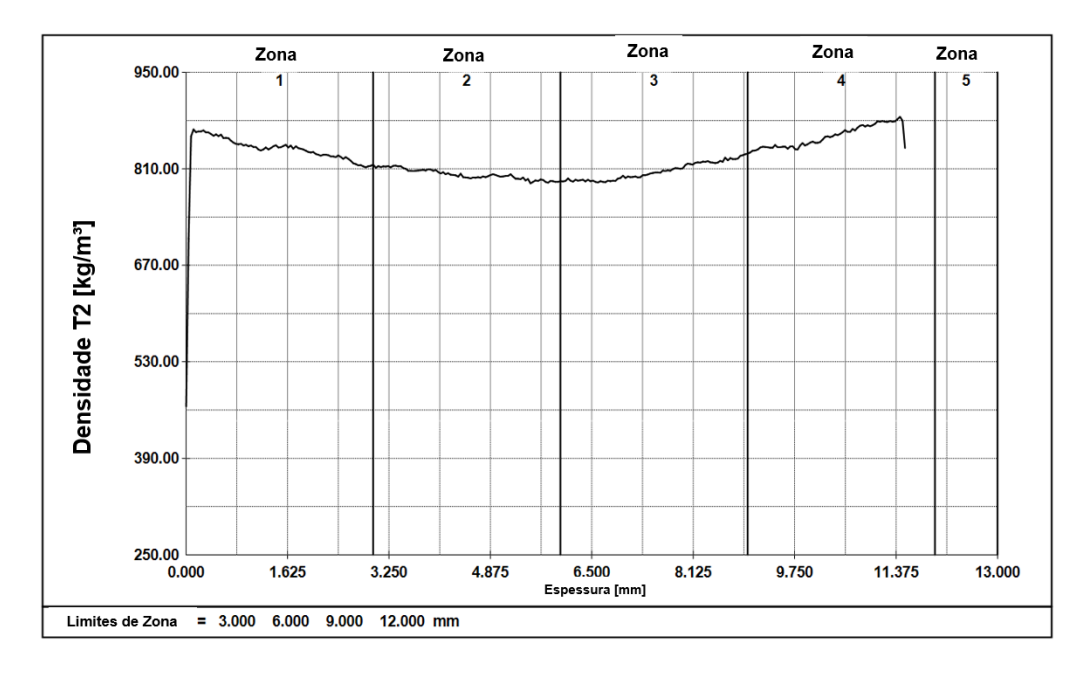


Figura 70. Análise da Densidade por zonas de ensaio painel T2

Fonte: Acervo do Autor

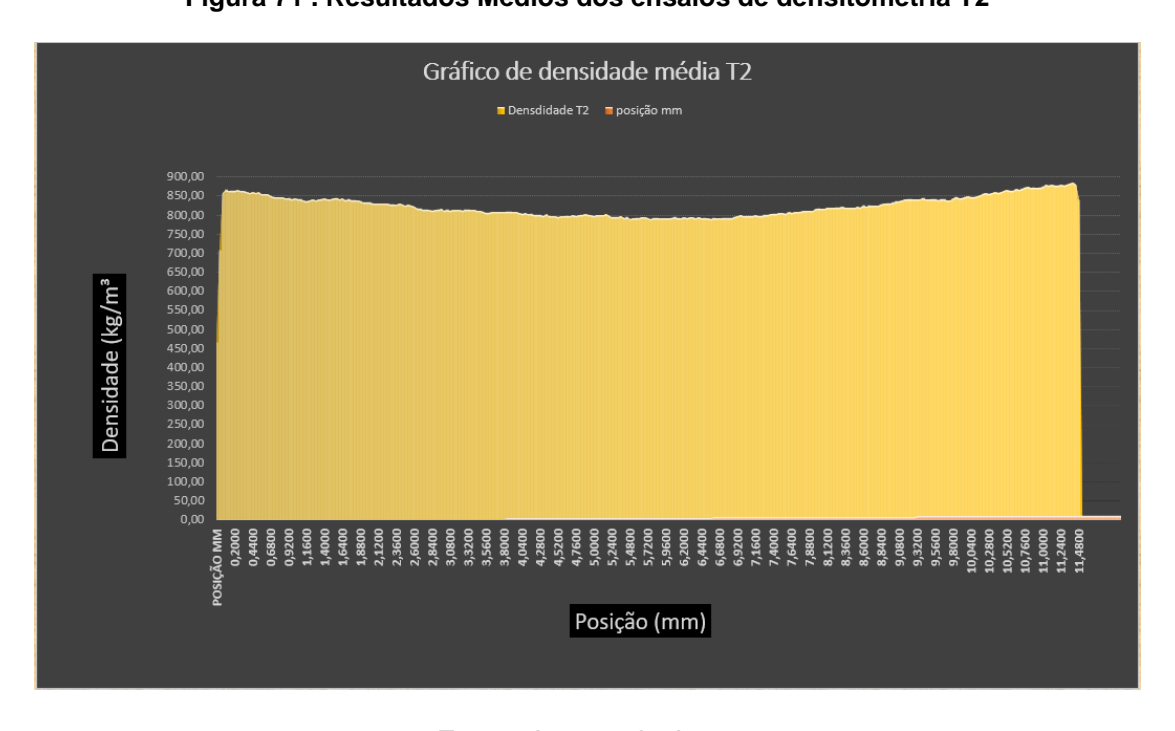


Figura 71 . Resultados Médios dos ensaios de densitometria T2

Nas Figuras 72 e 73 a análise de densidade por zonas e pela distribuição de densidade por área via Ms Excel.

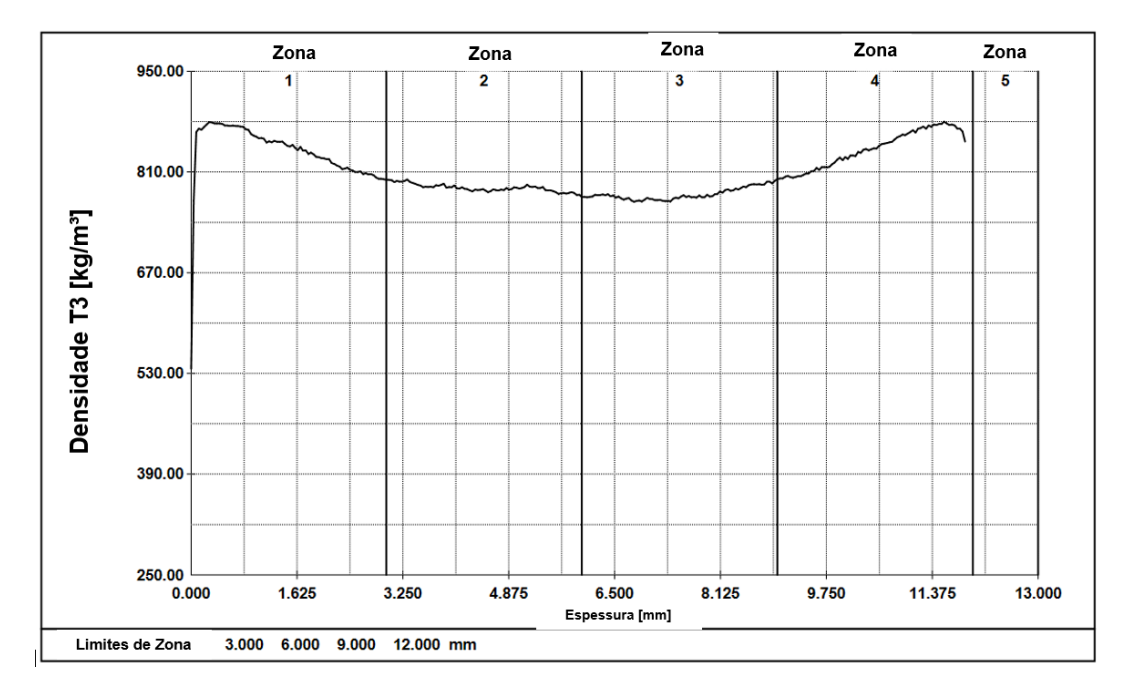


Figura 72. Análise da Densidade por zonas de ensaio painel T3

Fonte: Acervo do Autor

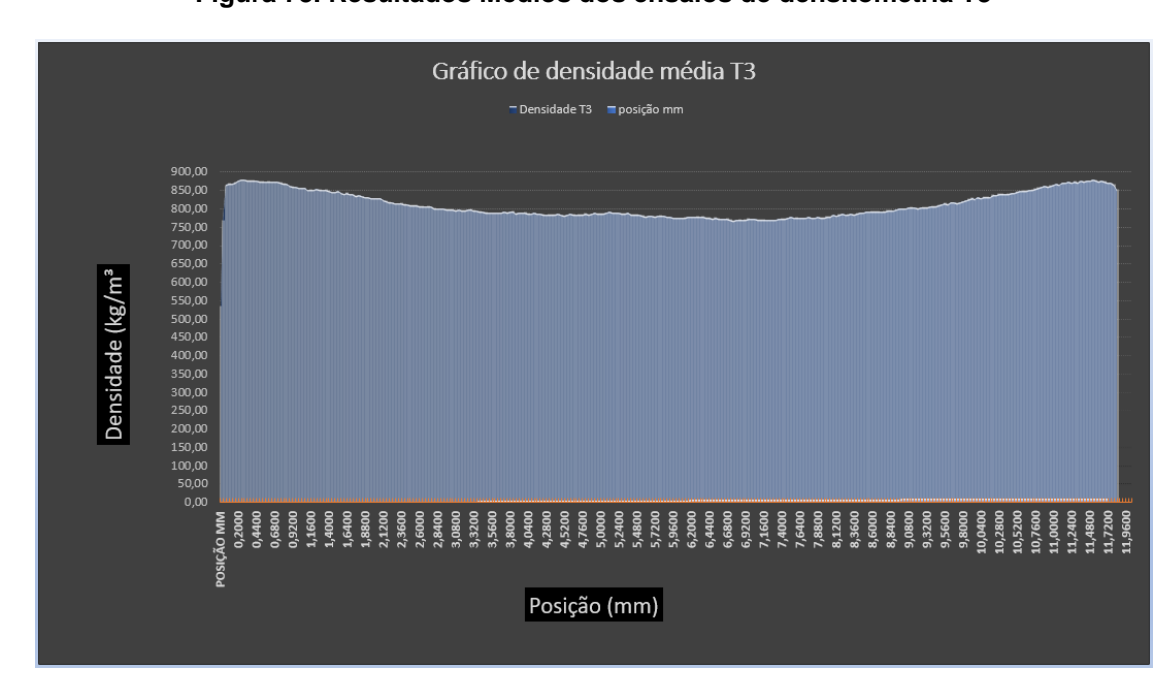


Figura 73. Resultados Médios dos ensaios de densitometria T3

Nas Figuras 74 e 75, a análise de densidade por zonas no painel T4 e pela interpolação de densidade por área e a análise estatística ponto a ponto por Excel.

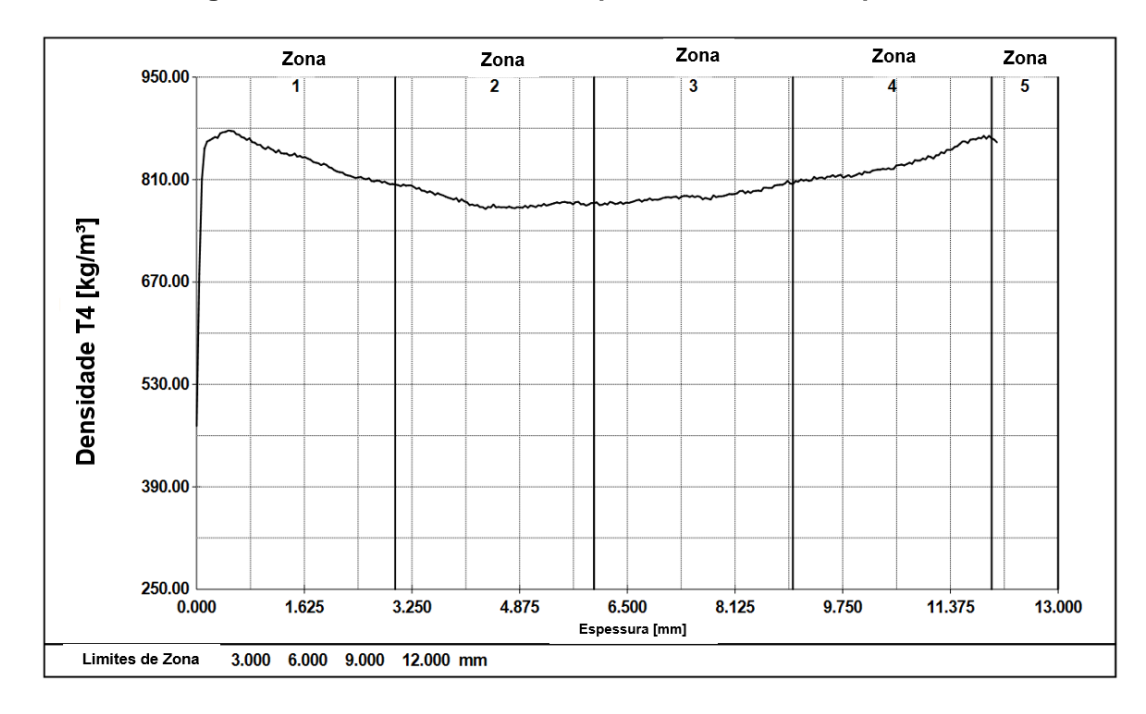


Figura 74. Análise da Densidade por zonas de ensaio painel T4

Fonte: Acervo do Autor

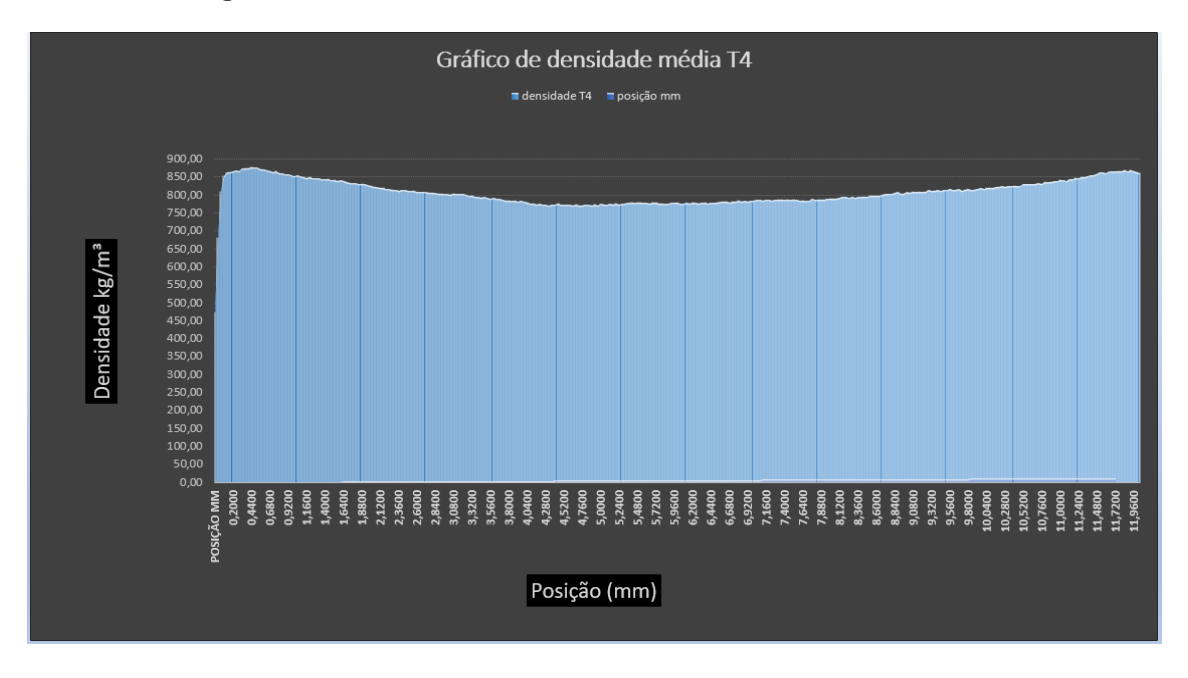


Figura 75. Resultados Médios dos ensaios de densitometria T4

Nas Figuras 76 e 77 a análise de densidade por divisão por zonas de espessura e pela distribuição de densidade por área via ponto a ponto no painel T5.

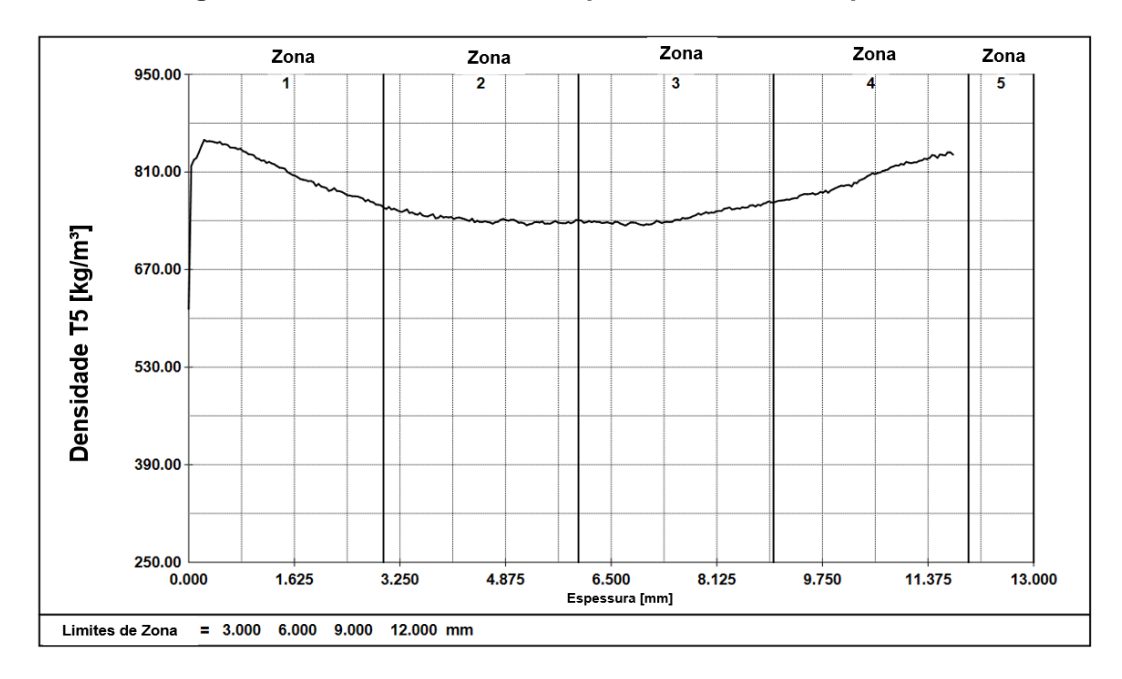


Figura 76. Análise da Densidade por zonas de ensaio painel T5

Fonte: Acervo do Autor

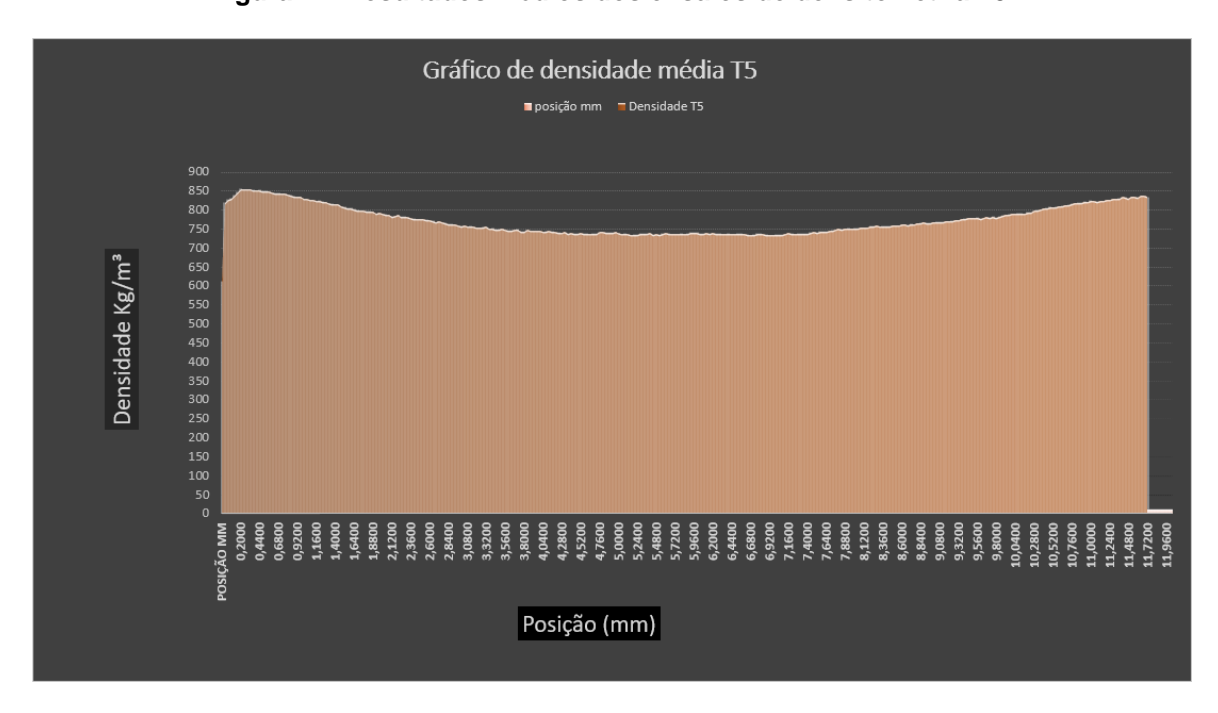


Figura 77. Resultados Médios dos ensaios de densitometria T5

Os valores processados nos painéis aglomerados de Tectona e Corymbia diferiram do trabalho de Gonçalves et. al. (2018) onde estes observaram que os valores de densidades mínima, média e máxima nos painéis aglomearados de Acacia mangium variaram bastante em comparação com o método gravimétrico, onde o ensaio de densitometria se mostrou mais eficiente na determinação de variação de perfis de densidade ao longo da espessura em todos os tratamentos aplicados, pois houve uma forte correlação entre as medias obtidas pelo método de microdensitometria de raios X e o método gravimétrico. Para Surdi et. al. (2014) a diferença significativa entre os métodos de medição gravimétrico e a densitometria podem estar ligados a atenuação dos feixes colimados enquanto efetuam a leituras micrométricas no sentido da espessura do painel e podem influenciados pela reação da resina, o teor de umidade e a geometria da partícula. Wong et. al. (1999) entende que o calor durante o processo de prensagem contribui na deformação e a deformação de forma irregular ao longo da espessura do painel. No Gráfico da Figura 78 está expresso a projeção de densidade média de cada painel coletada via sistema de interpolação QMS.

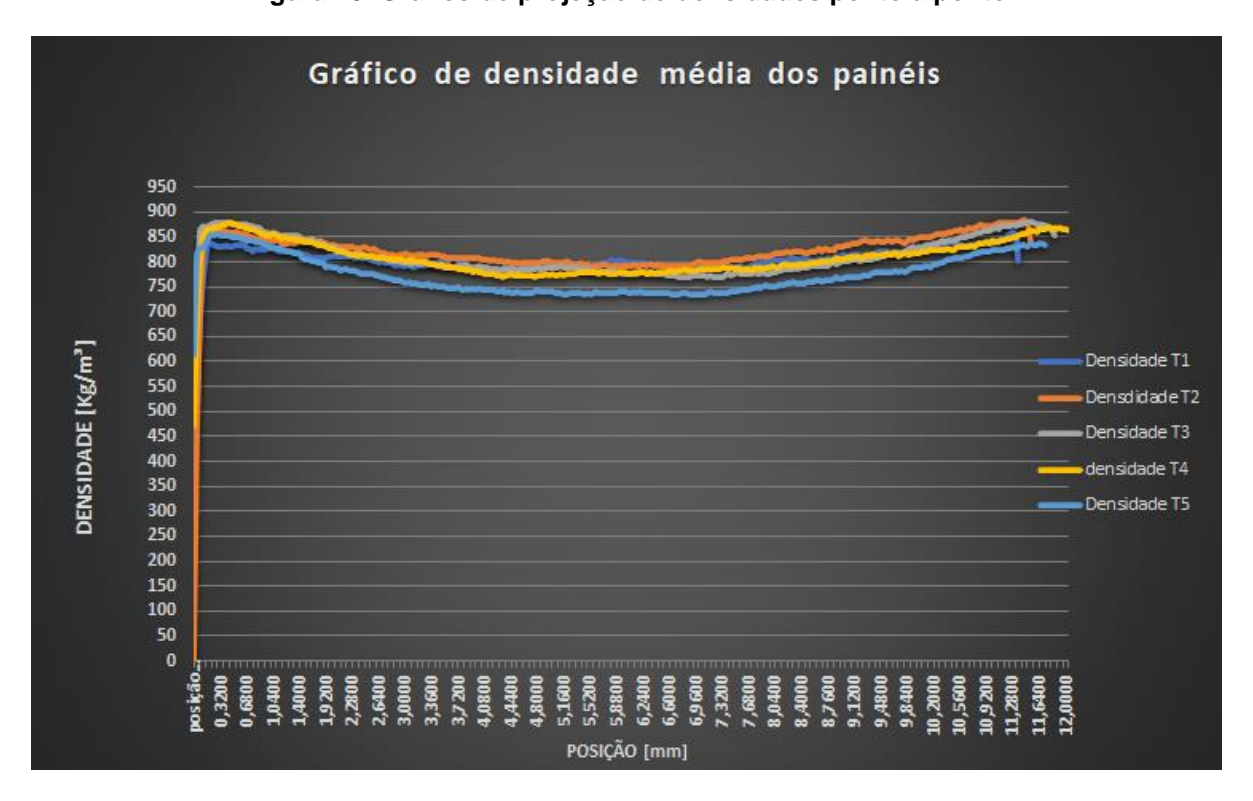


Figura 78. Gráfico de projeção de densidades ponto a ponto

Na Figura 79, uma projeção sólida da distribuição da densidade dos painéis ensaiados, coletados e projetados no Ms Excel.

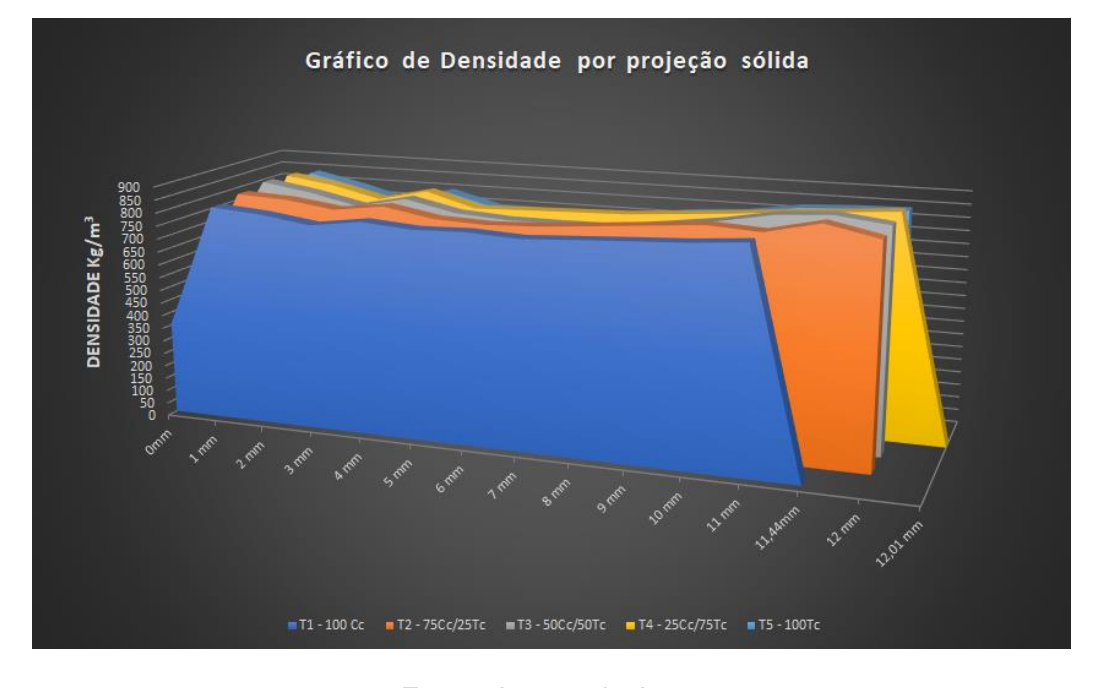


Figura 79. Projeção sólida da densidade dos painéis aglomerados

Fonte: Acervo do Autor

Na observação dos gráficos presentados no ensaio de densitometria por raios X, é possível constatar que a precisão dos valores ponto a ponto indicam a densidade real do painel com a verificação integral dos pontos distribuídos ao longo dos painéis de madeira, sendo uma ferramenta extremamente eficaz para se entender o que acontece na estrutura do painel e dar mais credibilidade quanto aos valores captados dentro de cada corpo de prova avaliado ao ser colocado na comparação com outros ensaios mecânicos ou físicos da ABNT 14810-2 (2013).

A utilização de processos de análise tridimensional como a densitometria por raios X, quando bem utilizado, é capaz de gerar inúmeros benefícios para a melhoria dos processos de fabricação e conformação de painéis das mais diversas especificações, fazendo com que os dados de densidade obtidos possam ser usados como referência para aprimorar e ampliar a produção dos painéis aglomerados com métodos mais eficientes para a melhorias do processo produtivo e aumento na qualidade dos produtos fabricados.

6. CONCLUSÕES

A condição de painel T1 contendo 100% de partículas de *Corymbia citriodora* para a densidade definida em 750 kg/m³, deixou a desejar em quase todos os ensaios estabelecidos na ABNT NBR 14810-2 (2013), quando submetido aos ensaios físicos e mecânicos, podendo estar diretamente ligado a sua densidade mais elevada nas partículas em relação a *Tectona grandis* e como os resultados ficaram muito próximos ao enquadramento da norma, a opção de ampliação dessa densidade para 800 kg/m³ certamente traria o painel para dentro das condições desejáveis, mas acarretaria em um painel mais denso, consumindo mais matéria prima e maior custo, o que poderia ser um obstáculo que inviabilizaria sua produção.

Os painéis T2, T3, T4 e T5 ficaram dentro ou um pouco acima dos limites estabelecidos na NBR 14810-2 (2013) dando a estas, condições para adaptação na indústria de painéis, com aplicação de melhorias no controle de processo e ajustes nas variáveis como umidade e densidade para se obter um painel mais adequado as exigências do mercado.

De modo geral, os painéis T3 contendo 50% de partículas de cada material, estiveram sempre dentro das melhores condições, tanto em ensaios físicos quanto ensaios mecânicos aplicados, mostrando-se mais homogêneos e mantendo uma boa estabilidade dimensional nos ensaios de densidade, teor de umidade, inchamento em espessura, como também apresentaram resultados muito bons nos ensaios mecânicos como MOR e MOE, tração perpendicular, tração superficial, arrancamento de parafusos face e topo, como também boa resistência ao esmagamento superficial por aplicação de força em esfera, quando submetido ao ensaio de dureza Janka;

Na tração superficial ficou mais nítido a diferença entre os painéis, cujos valores obtidos variaram em um escalar crescente à medida que se adicionava partículas de teca ao conjunto, dando a entender que o preenchimento mais homogêneo da mistura e diminuição de espaços vazios no painel fortaleceram a resistência interna e externa dos painéis com maior volume de partículas de *Tectona* grandis na constituição dos painéis.

Em comparação com outros trabalhos na mesma linha de pesquisa, e que se utilizaram resinas diversas para produção de painéis aglomerados, a resina poliuretana a base de mamona AG101 na adição de 10% de massa seca total se mostrou ideal para a produção de painéis particulados, sendo de fácil aplicação e sem emissão de fumos ou vapores tóxicos, gerando um painel resistente e de consistência sólida, podendo ter influenciado tanto na baixa deformação quanto na baixa absorção de água, possuindo ainda uma resistência elevada nos ensaios mecânicos dos painéis investigados, se comparado com demais trabalhos que utilizaram de resinas a base de fenóis, álcoois, ureia-formaldeido, resinol, melanina, polivinil e outros;

Com relação aos ensaios de Microtomografia 3D, foi possível notar com a análise milímetro por milímetro dos programas tridimensionais que à medida que se adicionou partículas de teca na mistura com a Corymbia, o número de espaços vazios entre o arranjo de partículas compactadas foram ficando cada vez menores, sugerindo que quanto maior a quantidade na adição de partículas da teca inseridas no painel, maior foi o grau de compactação do colchão de partículas, e menores foram os espaçamentos e vazios encontrados no painel produzido;

Na análise dos 5 traços de painéis produzidos, a densitometria aplicada com teor de umidade a 12%, os valores captados no densitometro QDP 01-X ficaram um pouco acima dos valores de densidade aparente coletadas em laboratório, com teores de umidade entre 8,36 e 9,47%, mas mantiveram semelhança no padrão, onde a densidade dos painéis contendo mais *Corymbia citriodora* se mantiveram valores de densidade um pouco mais elevados que as partículas de *Tectona grandis*, como sugere a literatura cientifica;

As análises tridimensionais com uso de métodos de raios X em painéis de madeira colaboram muito para o entendimento dos fenômenos que ocorrem entre o processamento, produção e testes dos painéis aglomerados, podendo ser uma excelente ferramenta para aperfeiçoar o desenvolvimento de novos métodos de produção e ampliar o conhecimento industrial para produção em série com maior eficiência e segurança;

7. SUGESTÕES PARA FUTURAS PESQUISAS

- Confeccionar painéis com partículas de teca em granulometrias variadas com partículas de algumas espécies de eucalipto, pinus e madeiras nativas de diferentes densidades ou fibras de espécies de bambu;
- ➤ Efetuar um maior controle na secagem das partículas, no ciclo de prensagem do colchão de partículas, controle de umidade para aproximar o mais próximo possível da padronização realizada no ciclo industrial;
- ➤ Fabricar painéis de MDF, MDP, OSB e de partículas aglomeradas de teca com variação dos teores de resina poliuretana em 10% da massa seca;
- Melhorar o método de distribuição da resina com novos teores de resinas poliuretana afim de baratear o processo produtivo;
- ➤ Efetuar ensaios de usinagem e desgaste de ferramenta, rugosidade, vibração e emissão acústica na usinagem dos painéis aglomerados de Tectona grandis e *Corymbia citriodora*;
- Ampliar o leque de análises tridimensionais em raios X para painéis particulados como OSB, MDP, MDF e avaliar a capacidade de distribuição das partículas com aplicação de ensaios não destrutivos de raios X em grande escala.
- Análise do fator de empacotamento, grau de compactação e análise de adesão interna nos painéis produzidos nas mesmas condições de trabalho

8. REFERÊNCIAS BIBLÍOGRAFICAS

ABNT - Associação Brasileira de Normas Técnicas. NBR 14810: **Chapas de madeira aglomerada.** Rio de Janeiro: ABNT, 2013. v.2, 124p.

ALCÂNTRA, B. K.; PIZZAIA, D.; PIOTTO, F. A.; BORGO, L.; BRONDANI, G. E.; AZEVEDO, R. Atemporal dynamics of the response to Al stress in Eucalyptus grandis × Eucalyptus camaldulensis. Anais da academia brasileira de ciências, rio de janeiro, v. 87, n. 2, p. 1063-1070. 2015.

AMARAL, A.C.B.; TOMAZELLO FILHO, M. Avaliação das características dos anéis de crescimento de Pinus taeda, através da densitometria de raios X. Revista Ciência e Tecnologia, Piracicaba, v.11/12, n.6, p.17-23, 1998.

AMERICAN NATIONAL STANDARD – ANS. **Mat-formed wood particleboard: Specification ANSI/A 208.1. 1993.** Gaithersburg: National Particleboard Association, 1993. 9p.

ANDRADE, A. C. de A., SILVA F. A. V., SILVA, J. R. M. da, OLIVEIRA, M. B., LIMA, J.T., MOULIN J.C., BRAGA JÚNIOR R.A., **Rugosidade da superfície usinada de madeiras de corymbia e eucalyptus-** (II CBCTEM 2015) II Congresso Brasileiro de Ciência e Tecnologia da Madeira Belo Horizonte - 20 a 22 set 2015.

ANBG-CENTRE FOR AUSTRALIAN NATIONAL **Biodiversity Research:** consultado em 12/01/2019. Disponivel em: http://www.anbg.gov.au/cpbr/cd-keys/euclid3/euclidsample/html/Corymbia_citriodora.htm, 2016.

ANGELI, A.; STAPE, J.L. 2003. **Identificação de espécies florestais:** Tectona grandis (Teca). Piracicaba: Copyright, IPEF. Acesso em: 10/08/2019.Disponível em: http://www.ipef.br/identificacao/tectona.grandis.asp.

ANJOS E SILVA, et. al. **A cultura da mamona na região de clima temperado:** informações preliminares. ISSN 1516-8840-dezembro, 2005. consultado em: https://www.infoteca.cnptia.embrapa.br/bitstream/doc/745129/1/documento149.pdf.

ARAUJO, C. K. C.; CAMPOS, C. I.; CAMARGO, S.K.C.A.; CAMARGO, B. S. Caracterização mecânica de painéis particulados de média densidade produzidos a partir de resíduos de madeira. Revista Gestão Industrial (Online), v. 15, p. 197-211, 2019.

BELINI, U. L. (2007). Caracterização e alterações na estrutura anatômica da madeira do Eucalyptus grandis em três condições de desfibramento e efeito nas propriedades tecnológicas de painéis MDF. Universidade de São Paulo.

BELINI, U. L.; TOMAZELLO FILHO, M.; CHAGAS, M. P. Densitometria de raios X aplicada na avaliação tecnológica de painéis MDF de eucalipto. Scientia forestalis, Piracicaba, v37, n. 84, p. 343-350, dez. 2009.

BELINI, U. L.; TOMAZELLO FILHO, M.; LOUZADA, J. L. P.; RODRIGUES, J. C.; Aspectos anatômicos e tecnológicos de painéis confeccionados com fibras de eucalipto e cana-de-açúcar. Cerne, Lavras, v16, suplemento, p. 48-52, jul.2010.

BELINI, U. L.; TOMAZELLO FILHO, M.; LOUZADA, J. L. P.; RODRIGUES, J. C.; Aspectos anatômicos e tecnológicos de painéis confeccionados com fibras de eucalipto e cana-de-açúcar. Cerne, Lavras, v16, suplemento, p. 48-52, jul.2010.

- BELINI, U. L.; TOMAZELLO FILHO, M; MENDES, L. M.; LEITE, M. K.; LIMA, P. M. R.; **Teor de sílica em compósitos confeccionados com bagaço de cana-de-açúcar e eucalipto.** Floresta e ambiente 2012; 19(2):250-256.
- BELINI, U.L.; TOMAZELLO FILHO, M.; CASTRO, V.R.; MUNIZ, G.I.B.; LASSO, P. R. O.; VAZ, C. M. P. **Microtomografia de raios X (micro CT) aplicada na caracterização anatômica da madeira de folhosas e coníferas.** Floresta e Ambiente, Rio de Janeiro. v.18, n.1, p.30-36, 2011.
- BIANCHE, J. J., TEIXEIRA, A. P. M., LADEIRA, J. P. S., CARNEIRO, A. DE C. O., CASTRO, R. V. O., & DELLA LUCIA, R. M. (2017). Cisalhamento na Linha de Cola de Eucalyptus sp. Colado com Diferentes Adesivos e Diferentes Granulometrias. Floresta e Ambiente, 24, e00077114. Epub August 03, 2017.
- BIANCHE, J.J. Interface madeira-adesivo e resistência de juntas coladas com diferentes adesivos e granulometria. 2014, 85p. Tese (Doutorado em Ciência Florestal) Universidade Federal de Viçosa, Viçosa, 2014.
- BOLAND, D.; BROKER, M. H.; CHIPPENDALE, G. M.; HALL, N.; HYLAND, B. P. M.; JOHNSTON, R. D.; KLEINING, D. A.; MCDONALD, M. W.; TURNER, J. D. **Forest trees of Australia.** Melbourne: CSIRO, 2006. 736 p.
- BOLEY, J. D., DREW, A. P., ANDRUS, R. E., 2009. Effects of active pasture, teak (Tectona grandis) and mixed native plantations on soil chemistry in Costa Rica. For. Ecol. Manag. 257, 2254–2261.
- BORGES, L. M.; QUIRINO, W. F. (2004). **Higroscopicidade da madeira de Pinus caribaea var. hondurensis tratado termicamente.** Revista Biomassa & Energia, v.1, n.2, p.173-182.
- BRUCKER.COM. https://www.bruker.com/pt/products/microtomography/micro-ct-for-sample-scanning/skyscan-1174/technical-details.html,(consultado em maio de 2020).
- BUENO, M. A. P., Painéis de *médium density fiberboard* fabricado com bagaço de cana-de-açúcar e madeira de Reflorestamento, Dissertação (Mestrado) Universidade Estadual Paulista. Faculdade de Engenharia, Bauru, 2014.
- BUENO, M. A. P., Caracterização físico, mecânica e de usinagem para compósitos MDF a base de fibras lignocelulosicas. Tese (Doutorado) Universidade Estadual Paulista. Faculdade de Engenharia, Bauru, 2019.
- CAMACHO, P. 2011. **Oral communication at the Conferência Mundial de Teca**, San José, Costa Rica,31 October–2 November 2011.
- CHRISTOFORO, A. L., SILVA, S. A. M. DA, BARBOSA, J. C., RIBEIRO FILHO, S. L. M., PANZERA, T. H., & LAHR, F. A. R. (2015). **Produção de chapas de partículas com resíduos de madeira Cordia goeldiana.** Engenharia Agrícola, 35(2), 368-377. https://doi.org/10.1590/1809-4430-Eng.Agric.v35n2p368-377/2015
- CHUDNOFF, M., **U.S.D.A. Wood Technology Transfer Fact Sheet.** Madison, WI 53705-2398 (608) 231 9200, Forest Service Forest Products Laboratory One Gifford Pinchot Drive Arquivo March 2007. Consultado em 10/06/2019.Disponível em: http://www2.fpl.fs.fed.us/TechSheets/Chudnoff/SEAsian_Oceanic/htmlDocs_seasian/tectonagrandis.html.
- COUTINHO, F. M. B.; DELPECH, M. C. **Poliuretanos como materiais de revestimento de superfície**. Polímeros, São Carlos, v. 9, n. 1, p. 41-48, 1999.

- Disponível em http://dx.doi.org/10.1590/S0104-14281999000100006. acessos em 29 ago. 2020. http://dx.doi.org/10.1590/S0104-14281999000100006.
- DIAS, A. A., AZAMBUJA, M., OLIVEIRA S. F. JR. Análise estatística comparativa entre adesivos poliuretanos frente ao resorcinol-formaldeído aplicados em emenda dentada estrutural para espécie Eucalyptus grandis. In: Anais do XVII Congresso Brasileiro de Engenharia e Ciência dos Materiais CBECIMat; 2006; Foz do Iguaçu. São Paulo: IPEN; 2006.
- DIAS, B, L. N., Aplicações multidisciplinares da microtomografia de raios X e sua utilização na caracterização e análises não-destrutivas de materiais, R. bras. Fís. Tecnol. apl., Ponta Grossa, v. 4, n. 2, p. 26-41, dez. 2017.
- DIAS, F. M. (2005). *Aplicação de adesivo poliuretano à base de mamona na fabricação de painéis de madeira compensada e aglomerada*. Tese de Doutorado, Ciência e Engenharia de Materiais, Universidade de São Paulo, São Carlos. doi:10.11606/T.88.2005.tde-31082009-105836. Recuperado em 2020-07-26, de www.teses.usp.br.
- DICKINSON, G. R. (2013). **Reproductive biology, hybridisation and gene flow of** *Corymbia torelliana* and *Corymbia Citriodora*. PhD thesis, University of the Sunshine Coast, Queensland, Australia.
- EBNESAJJAD, S. (**Adhesives Technology Handbook.** Adhesives Technology Handbook, 2009.
- EBNESAJJAD, S. Adhesives Technology Handbook. 2 nd ed. New York: William Andrew Inc, 2008. 363p.
- EUCLID ONLINE. **Sample-Third Edition Center for Plant Biodiversity Research.** http://www.publish.csiro.au/samples/euclidsample/html/Corymbia_citriodora.htm. Arquivo consultado em 22/05/2019.
- EUCLID SAMPLE GLOSSARY **Corymbia Citriodora (Hook.)** K.D. Hill& L.A.S. Johnson, Telopea 6:388(1995). Acessado em (05/08/2020).
- EYRE, T. J., BUTLER, D. W., KELLY, A. L., WANG, J., Effects of forest management on structural features important for biodiversity in mixed-age hardwood forests in Australia's subtropics For. Ecol. Manag., 259 (2010), pp. 534-546
- FAO. 2015. Global teak trade in the aftermath of Myanmar's log export ban by Kollert, W. &Walotek, P.J. Planted Forests and Trees Working Paper FP/49/E. Rome, Italy (http://www.fao.org/forestry/plantedforests/67508@170537/en/)
- FERNANDES, J. S. et al. **Determination of the Representative Elementary Volume for the study of sandstones and siltstones by X-Ray microtomography, Mat.** Res, 15, 4, pp.662-670, 2012.
- FERRAZ, E. S. B.; TOMAZELLO FILHO, M. **Uso de métodos nucleares nos estudos da qualidade da madeira.** In: CONGRESSO FLORESTAL BRASILEIRO, 3., 1978, Manaus. Anais... Manaus: Ed. SBS, 1978.
- FERREIRA, O. P. (Coord). **Madeira**: **uso sustentável na construção civil.** São Paulo: Instituto de Pesquisas Tecnológicas, 2003. 60 p. (Publicação IPT, 2980).

- FIORELLI, J. Estudo teórico e experimental de vigas de madeira laminada colada reforçadas com fibra de vidro. 2005. 108f. Tese (Doutorado em Ciência e Engenharia de Materiais) Universidade de São Paulo, São Carlos, 2005
- FIORELLI, J.; DIAS, A. A.; COIADO, B., **Propriedades mecânicas de peças com dimensões estruturais de Pinus spp: correlação entre resistência à tração e classificação visual.** Revista Árvore, v.33, n.4, p.741-750, 2009.
- FOELKEL, C. E. B., BRASIL, M. A. M., & BARRICHELO, L. E. G. **Métodos para determinação da densidade básica de cavacos para coníferas e folhosas.** IPEF, Piracicaba, 2(3), 65-74, (1971).
- FOELKEL, C.E.; MORA, E.; MENOCHELLI, S. **Densidade básica: sua verdadeira utilidade como índice de qualidade da madeira de eucalipto para produção de celulose.** In: CONGRESSO FLORESTAL BRASILEIRO, 6., Campos do Jordão, 1990. Anais... Campos do Jordão: 1990. p.719-728.
- FRIEDLAND G, THURBER B (1996) **The birth of CT.**AJR Am J Roentgenol 167:1365–1371
- FRIEDMAN, J.; HASTIE, T.; TIBSHIRANI, R. **The Elements of Statistical Learning.** v.7. Berlin: Springer, 2008.
- GONÇALVES, F. G., LELIS, R. C. C., CARVALHO, A. M. de, & TOMAZELLO FILHO, M., (2018). **DENSITOMETRIA DE RAIOS X NA AVALIAÇÃO DA DENSIDADE EM PAINÉIS DE PARTÍCULAS.** Ciência Florestal, 28(3), (consultado em dezembro 2019) 1151-1162. https://doi.org/10.5902/1980509833382
- HALLETT, J. T., DÍAZ-CALVO, J., VILLA-CASTILLO, J., WAGNER, M. R., **Teak Plantations: Economic Bonanza or Environmental Disaster?** *Journal of Forestry*, Volume 109, Issue 5, July 2011, Pages 288 –292,
- HASELEIN, C. R. Análise de parâmetros para a fabricação de chapas de partículas aglomeradas de madeira de eucalipto (Eucaliptus grandis W. Hill ex Maiden) e embaúva (Cecropia sp.). 75 p. Dissertação (Mestrado em Ciência Florestal), Universidade Federal de Viçosa, Viçosa, MG, 1989.
- HILL, K. D., JOHNSON, L. A. S. *Corymbia citriodora* (Hook.) pesquisado em (05/20200). http://florawww.eeb.uconn.edu/(consultado em agosto de 2018), (http://florawww.eeb.uconn.edu/200400077.html
- HILL, K. D.; JOHNSON, L. A. S. **Systematic studies in the eucalyptus 7: a revision of the bloodwoods, genus** *Corymbia* **(Myrtaceae).** Telopea, Sydney, v. 6, p. 173-505, 1995.
- HILLIG, E. Qualidade de chapas aglomeradas estruturais, fabricadas com madeiras de Pinus, Eucalipto e Acácia negra, puras ou misturadas, coladas com tanino-formaldeído. 96 p. Dissertação (Mestrado em Engenharia Florestal) Universidade Federal de Santa Maria, Santa Maria, 2000.
- HILLING, E.; HASELEIN, C., R.; SANTINI, E., J. **Propriedades mecânicas de chapas aglomeradas estruturais fabricadas com madeiras de pinus, eucalipto e Acácia negra.** Revista Ciência Florestal, Santa Maria, RS, v. 12, n. 1, p. 59-70, 2002.
- IBÁ- Industria Brasileira de Árvores- Relatório anual 2019. (Consultado em 21/07/20190 https://iba.org/datafiles/publicacoes/relatorios/iba-relatorioanual2019.pdf

- IRLE, M., BARBU M. C. **Wood-based panel technology.** In: THOEMEN H, IRLE M, SERNEK M. Wood-based panels: an introduction for specialists. London: Brunel University Press; 2010. p. 1-90.
- IWAKIRI S, CUNHA A. B, PRATA J. G, BRAZ R. L, CASTRO V. G, KAZMIERCZAK S, et al. **Produção de painéis compensados com lâminas de madeira de e resina ureia-formaldeído.** *Sequoia sempervirens* Floresta. 2012; (pesquisado em maio 2020) 42(4):809-816. http://dx.doi.org/10.5380/rf.v42i4.25688.
- IWAKIRI, S. CRUZ, C. R.; OLANDOSKI, D. P.; BRAND, M. A. **Utilização de resíduos de serraria na produção de chapas de madeira aglomerada de Eucalyptus salina, Eucalyptus citriodora e Eucalyptus pílulas.** Floresta e Ambiente, Seropédica, v. 7, n. 1, p. 251-256, 2000.
- IWAKIRI, S. Painéis de madeira reconstituída. Curitiba: FUPEF, 2005. 247p.
- IWAKIRI, S; STINGHEN, A. B. M; SILVEIRA, E. L; ZAMARIAN, E. H. C; PRATA, J. G.; BRONOSKI, M. Influência da massa específica sobre as propriedades mecânicas de painéis aglomerados. Floresta, Curitiba, v. 38, n. 03, p. 487-493, 2008.
- JESUS, J. M. H. *Estudo do adesivo poliuretano à base de mamona em madeira laminada colada (MLC)* [tese]. São Carlos: Escola de Engenharia de São Carlos, Universidade de São Paulo; 2000.
- JESUS, J. M. H.; CALIL Jr, C.; CHIERICE, G. O. (2000). Resistência ao cisalhamento do adesivo poliuretano à base de mamona: parâmetros de colagem. In: ENCONTRO BRASILEIRO EM MADEIRA E EM ESTRUTURA DE MADEIRA, 7, 2000, São Carlos. Proceedings... São Carlos: EESC; USP.
- KOLLERT W., WALOTEK P.J., 2015. **Global teak trade in the aftermath of Myanmar's log export ban.** *Planted Forests and Trees Working Paper* 049. Rome, Italy: FAO. http://www.fao.org/forestry/plantedforests/67508@170537/en
- KOLLERT, W. & CHERUBINI, L. 2012. **Teak resources and market assessment 2010.** FAO Planted Forests and Trees Working Paper FP/47/E, Rome, FAO (consultado de www.fao.org/docrep/015/an537e/an537e00.pdf)
- LADIGES, P. Y., UDOVICIC, F., DRINNAN, A. (1995). **Eucalypt Phylogeny Molecules and Morphology.** Australian Systematic Botany. 8. 483. 10.1071/SB9950483.
- LADIGES, P. Y.; UDOVICIC, F. Comment on a new classification of the Eucalypts. Australian Systematic Botany, Colingwood, v. 13, n. 1, p. 149-152, 2000.
- LASSO P. R. O, VAZ C. M. P, NAIME J. M. Recomendações para utilização do microtomógrafo de raios X Sky Scan 1172. em ciências agrárias e biológicas. Documentos 37 2008.
- LOPES, A. P. et al., **Análise tridimensional de rochas por meio de microtomografia computadorizada de raios X integrada à petrografia**, Geociências, v.31, n.1, 2012
- LORENÇON, T.; GATTO, D.; MATTOS, B.; DELUCIS, R. Propriedades físicas da madeira de Corymbia Citriodora no sentido radial. Scientia Forestalis, Piracicaba, v. 41, n. 99, p. 369-375, 2013.

- MABBERLEY, D. J. 2008. **Mobberley's plant book: a portable dictionary of plants, their classifications, and uses.**3 ed. Cambridge: Cambridge University Press 1040p
- MALONEY, T. M. (1977). **Modern Particleboard & Dry-Process Fiberboard Manufacturing.** San Francisco. 672p.
- MALONEY, T. M. Modern particleboard & dry-process fiberboard manufacturing. San Francisco: Miller Freeman Inc., 1993, 681p.
- MARCHIORI, J. N. C.; SOBRAL, M. **Dendrologia das Angiospermas. Myrtales.** Santa Maria: Ed. da UFSM, 1997. 304 p.
- MARRA, A. A. **Technology of wood bonding: principles in practice.** New York: Van Nostrand Reinhold, 1992.
- MARRA, G. **Overview of wood as a material.** J. Educational Modules for Materials Science and Engineering. 1(4):699-710, 1979.
- MARTINS, H. E. et al. painéis aglomerados convencionais produzidos com madeira de Cecropia pachystachya. ENCICLOPÉDIA BIOSFERA, Centro Científico Conhecer -Goiânia, v.10, n.19; p. 2014.
- MAYO S., CHEN F., EVANS R. **Micron-scale 3D imaging of wood and plant microstructure using high-resolution X-ray phase-contrast microtomography.** Journal of Structural Biology 2010; 171(2):182-188. http://dx.doi. org/10.1016/j.jsb.2010.04.001
- MELO, C.A.F.; SOUZA, M. M.; VIANA, A. P.; SANTOS, E. A.; SOUZA, V. O.; CORRÊA, R. X. Morphological characterization and genetic parameter estimation in backcrossed progenies of Passiflora L. for ornamental use. Scientia Horticulturae, v.212, 2016, 91–103.
- MELO, R. R.; DEL MENEZZI, C. H. S. Influência da massa específica nas propriedades físico-mecânicas de painéis aglomerados. Silva Lusitana, Oeiras Portugal, v. 18, p. 59-73, 2010.
- MENDES, R. F.; MENDES, L. M.; GUIMARÃES JUNIOR, J. B.; SANTOS, R. C.; CÉSAR. A. A. S. **Efeito da associação de bagaço de cana, do tipo e do teor de adesivo na produção de painéis aglomerados**. Ciência Florestal, Santa Maria, v. 22, n. 1, p. 161-170, jan.-Mar, 2012.
- MENEZZI, C. H. S. DEL; SOUZA, M. R.; GONÇALES, J. C. Fabricação e avaliação tecnológica da chapa aglomerada de mistura de Eucalyptus urophylla T. S. Blake e Pinus oocarpa Schiede. Revista Árvore, v.20, p.371-379, 1996.
- MORAIS, E.; ZANOTTO, A. C. S.; FREITAS, M. L. M.; MORAES, M. L. T.; SEBBENN, A. M. Variação genética, interação genótipo solo e ganhos na seleção em teste de progênies de *Corymbia Citriodora* Hook em Luiz Antônio, São Paulo. Scientia Forestalis, Piracicaba, v. 38, n. 85, p. 11-18, mar. 2010.
- MOURA G. S, FRANZENER G. (2014) Anatomia foliar de Corymbia citriodora (Hook.) K.D. Hill & L.A.S. Johnson oriundas da região noroeste do Paraná. Revista Biologia Neotrop 11:116–123
- NAKANO, K., ANDO, K., TAKIGAWA, M., AND HATTORI, N. (2018). "Life cycle assessment of wood-based boards produced in Japan and impact of

formaldehyde emissions during the use stage," Int. J. Life Cycle Assoc. 23(4), 957-969. DOI: 10.1007/s11367-017- 1343-6

NAPOLI, L. M. et al. **Propriedades físicas da Madeira e de painéis aglomerados produzidos com misturas de espécies florestais.** Floresta, v. 43, n. 3, p. 475-484, 2013.

NASCIMENTO, M. F.; CHRISTOFORO, A. L.; BERTOLINI, M.S.; CHAHUD, E.; ROCCO LAHR, F. A. **Painéis de partículas homogêneas fabricados com espécies de manejo da região da Caatinga do Brasil.** Revista Construindo, v.5, p.1-10, 2013.

NASCIMENTO, M. F.; ROCCO LAHR, F. A. **Emprego de Algaroba** (**Prosopolisjuliflora**) na produção de chapas de partículas homogêneas. Revista Minerva, Mexicali, v. 4, p. 51-56, 2007.

NASCIMENTO-DIAS, B. L., et al. **Utilization of non-destructive techniques for analysis of the Martian meteorite NWA 6963 and its implications for astrobiology.** X-Ray Spectrometry. Willey Online Library, p. 1-6, 2017.

NEGRÃO, W. H.; SILVA, S. A. M. DA; CHRISTOFORO, A. L.; LAHR, F. A. R. Painéis aglomerados fabricados com mistura de partículas de madeiras tropicais. Ambiente Construído, Porto Alegre, v. 14, n. 3, p. 103-112, jul./set. 2014.ISSN 1678-8621 Associação Nacional de Tecnologia do Ambiente Construído.

OLIVEIRA, B. U., (2012). Microdensitometria de Raios X Aplicada na Determinação da Variação da Densidade do Lenho de Árvores de Eucalyptus grandis W. Hill. Scientia Forestalis, Forest Sciences. 40. 103-112.

OLMOS, M. A. C. (1992). **Equipamento e Processo de Fabricação de Chapas de Madeira Aglomeradas a partir de Resíduos de Madeira.** Dissertação de Mestrado. 110p. São Carlos.

PACKHAM, D. E. 2005. **Handbook ofAdhesion.**2 ed. West Sussex, ENG: John Wiley & Sons.

PACKHAM, D. E. Surface roughness and adhesion. Surfaces, Chemistry and Applications. Midland, USA: Elsevier B.V., 2003. 317-349 p.

PALANISAMY, K., K. GIREESAN, V. NAGARAJAN and M. HEGDE (2009): **Selection and clonal multiplication of superior trees of teak (Tectona grandis L.) and preliminary evaluation of clones.** Tropical Forest Science, 21(2): 168–174.

PELISSARI, A. L.; GUIMARÃES, P. P.; BEHILING A.; EBLING A. A. Cultivo da Teca: Características da espécie para implantação e condução de povoamentos florestais. *Agrarian Academy*, Centro Científico Conhecer, Goiânia, v. 1, n. 1, 128 p. 2014.

PRYOR L. D and JOHNSON L. A. S (1971) A Classification of the Eucalypts, Australian National University, Canberra.

PRYOR L. D, JOHNSON L. A. S (1981) *Eucalyptus*, the universal Australian. In: Keast A, editor. Ecological biogeography of Australia. The Hague: Dr. W. Junk Publishers. pp. 499–536.

PRZYBYSZ, M. e MACHADO, G.; CHRISTOFORO, A. L.; SILVA, M. R. da; JUNIOR, C. C. Resistencia Biológica a Fungos Xilófagos da Madeira de Pinus Oocarpa

- **Termorretificada.** Revista Madeira: Arquitetura e Engenharia, v.14, n. 35, p.25 a 32. 2013. ISSN: 2237-7964
- QUINTEK MEASUREMENT SYSTEMS. QMS: **Density Profiler Model QDP-01X.** Users Guide. Knoxville; 1999.
- QUIRINO, W. et al. **Densitometria de raios x na análise da qualidade de briquetes de resíduos de madeira:** X Ray densitometry for waste wood briquetts analysis. **Scientia Forestalis**. 40(96):525-536, 2012.
- RAZENA, D. L. Estudo sobre as interações entre as variáveis do processo de produção de painéis aglomerados e produtos moldados de madeira, Tese Universidade Federal do Paraná UFPR- Curitiba, 2006 -144 pg.
- REIS A. F. et. al. **Corymbia Citriodora: estado da arte de pesquisas no Brasil** [recurso eletrônico] / Cristiane Aparecida Fioravante Reis... [et al.]. Dados eletrônicos Colombo: Embrapa Florestas, 2013. (Documentos / Embrapa Florestas, ISSN 1980-3958; 255)
- ROCHA, H. F.; LEONARDO, F. V. S.; OLIVEIRA, A. C. Plantios comerciais de Tectona grandis L. f. no Brasil. N Multitemas, v.1, n. 48, p. 9-28, 2015.
- ROSSI, A. S.; DRESCHER, R.; PELISSARI, A. L.; LANSSANOVA, L. R. Relação hipsométrica e crescimento de Tectona grandis L. f. no município de Monte Dourado, Pará. Scientia Forestalis, v. 39, n. 91, p. 301–307, 2011.
- ROZEFELDS, A. C., (1996). **Eucalyptus phylogeny and history: A brief summary.** TASFORESTS. 8. 15-26.
- SANCHES, F. L. et al. Resistência de painéis aglomerados produzidos com mistura de madeira de espécies florestais tradicionais e não tradicionais. Ciência Florestal, v. 26, n. 2, p. 559-569, 2016. DOI: 10.5902/1980509822756.
- SANDAK, J., TANAKA C., OHTANI T., (2004) Evaluation of surface smoothness by a laser displacement sensor II: comparison of lateral effect photodiode and multielement array. Journal of Wood Science (2004) 50:22-27
- SEGURA, T. E. S. Avaliação das madeiras de Corymbia citriodora, Corymbia torelliana e seus híbridos visando à produção de celulose Kraft branqueada. 2015. 198 f. Tese (Doutorado em Recursos Florestais) Escola Superior de Agricultura "Luiz de Queiroz", Piracicaba.
- SILVA, G. A. et al. **Estimativa de umidade de equilíbrio de painéis de madeira.** Scientia Forestalis, n.70, p.23-29, 2006
- SILVA, S. A. M.; CHRISTOFORO, A. L.; GONCALVES, R.; ROCCO, F. A. L. Strength Properties of Medium Density Fiberboards (MDF) Manufactured with Pinus elliottii wood and Polyurethane Resin Derived from Castor Oil. International Journal of Composite Materials, v. 3, p. 7-14, 2013.
- SIQUEIRA, K. P. Variabilidade da massa específica de Pinus taeda L. em diferentes classes de sítio. 2004. 43p. Dissertação (Mestrado em Ciências Florestais) Universidade Federal do Paraná, Curitiba, 2004
- SUCHSLAND, O., AND WOODSON, G. E. 1986. **Fiberboard manufacturing practices in the United States.** USDA Forest Service. Agriculture Handbook No. 640.263 p.

- SURDI, P. G., BORTOLETTO JR., G., CASTRO, V. R., MENDES, R. F., ALMEIDA, N. F. de, &TOMAZELLO FILHO, M. (2014). **Relação entre perfil de densidade e ligação interna de painéis OSB de Pinus spp.** Floresta e Ambiente, 21(3), 349-357. Epub August 01, 2014.https://doi.org/10.1590/2179-8087.063413.
- SUZUKI, S., MIYAMOTO, K. Effect of manufacturing parameters on the linear expansion and density profile of particleboard. *J Wood Sci* 44, 444–450 (1998). https://doi.org/10.1007/BF00833408.
- TANAKA, N.; HAMAZAKI, T.; VACHARANGKURA, T. **Distribution, growth, and site requirements of teak.** Japan Agricultural Research Quarterly, v. 32, p. 65–77, 1998.
- TOMAZELLO FILHO, M. Formação e caracterização da estrutura anatômica da madeira de Eucalyptus. In: CURSO DE PROCESSAMENTO MECÂNICO E SECAGEM DA MADEIRA DE Eucalyptus. Piracicaba: IPEF, 1994.
- TOMAZELLO FILHO, M.; BRAZOLIN, S.; CHAGAS, M.P.; OLIVEIRA, J.T.S.; BALLARIN, A.W. **Aplication of X-ray techique in nondestructive evaluation of eucalypt wood.** Madera: Ciencia y Tecnologia, Concepción, v.10, n.2, p.139-149, 2008.
- TOMAZELLO FILHO, M.; BRAZOLIN, S; CHAGAS, M.P.; OLIVEIRA, J.T.S.; BALLARIN, A.W.; BENJAMIN, C.A. **Application of X-ray technique in nondestructive evaluation of eucalypt wood.** Maderas, Ciência y Technologia, Concepción, v.10, n.2, p.139-149, 2008.
- TONISSI, J.L. (1988). **Madeira e seus Derivados na Construção Civil.** Dissertação de Mestrado. São Carlos SP. 137p.
- VARANDA L. D., ALVES MCS, GONÇALVES M. T. T, SANTIAGO L. F. F. A influência das variáveis do lixamento tubular na qualidade das peças de Eucalyptus grandis. Cerne 2010; vol.16: págs. 23-32.
- VIEIRA M. C, BRITO E. O, GONÇALVES F. G. **Evolução econômica do painel compensado no Brasil e no mundo.** Floresta e Ambiente, 2012; 19 (3): 277-285. [Links] http://dx.doi.org/10.4322/floram.2012.033
- WONG E. D, ZHANG M., WANG Q., KAWAI S. Formation of the density profile and its effects on the properties of particleboard. *Wood Science and Technology* 1999; 33: 327-340. http://dx.doi.org/10.1007/s002260050119
- WOOD HANDBOOK (2010) Forest Products Laboratory. 2010. **Wood as an engineering material.** General Technical Report FPL-GTR-190. Madison, WI: U.S. Department of Agriculture, Forest Service, Forest Products Laboratory. 508 p
- WOOD HANDBOOK. **Wood as an Engineering Material.** Agric. Handb. 72. Washington, DC: U.S. Department of Agriculture; rev. 1987.
- YOUNGQUIST, J. A. et al. **Mechanical and physical properties of air formed wood-fiber/polymer-fiber composites.** Forest Products Journal, v. 42, n. 6, p. 42-48, 1992.

APÊNDICE A - ENSAIOS FÍSICOS PARA ANÁLISE DE DENSIDADE

						Densidade Corym	bia (Cc) 100%						
Painel	Posicão	Corpo de Prova	Lado A	Lado B	Lado C	Lado D	Ponto 1	Ponto 2	Ponto 3	Ponto 4	Ponto 5	Massa	Densidade
raillei	rosição	Corpo de Frova	[mm]	[mm]	[mm]	[mm]	[mm]	[mm]	[mm]	[mm]	[mm]	[g]	kg/m³
T 1-1	P 5	CP 1	50,03	50,07	50,44	50,31	11,32	11,66	11,37	11,40	11,38	22,48	780,34
1 1-1	P 8	CP 2	50,05	50,30	50,01	50,00	11,65	11,75	11,81	11,76	11,81	24,14	818,42
T1- 2	P 5	CP 3	50,31	50,25	50,10	50,04	11,40	11,42	11,45	11,39	11,37	22,55	785,31
11-2	P 8	CP 4	49,92	49,95	49,92	50,21	11,60	11,50	11,67	11,66	11,60	22,63	779,94
T1- 3	P 5	CP 5	50,05	49,94	50,30	50,24	11,51	11,39	11,33	11,53	11,43	22,96	798,70
11- 3	P 8	CP 6	50,26	49,96	49,88	49,92	11,50	11,66	11,78	11,65	11,63	23,14	794,76
T1- 4	P 5	CP 7	50,23	50,17	50,40	50,23	11,70	11,65	11,61	11,63	11,64	23,32	792,78
11-4	P 8	CP 8	50,11	50,03	50,23	50,26	11,78	11,92	11,95	11,80	11,97	23,65	791,04
T1- 5	P 5	CP 9	50,14	50,23	50,25	50,30	11,49	11,45	11,50	11,57	11,47	22,60	779,18
11- 3	P 8	CP 10	50,24	50,23	49,93	50,37	11,45	11,58	11,70	11,45	11,53	22,57	776,20

				Densi	dade Coryn	nbia (Cc) 7	'5% +Teca (Tc) 25%					
Painel	Posição	Corpo de Prova	Lado A	Lado B	Lado C	Lado D	Ponto 1	Ponto 2	Ponto 3	Ponto 4	Ponto 5	Massa	Densidade
Palliel	Pusiçau	Corpo de Frova	[mm]	[mm]	[mm]	[mm]	[mm]	[mm]	[mm]	[mm]	[mm]	[g]	kg/m³
T2- 1	P 5	CP 1	50,02	50,00	50,26	50,29	11,78	11,69	11,74	11,92	11,72	23,09	780,26
12- 1	P 8	CP 2	50,10	50,15	50,02	50,30	11,92	12,01	12,00	11,86	11,93	23,22	773,22
T2- 2	P 5	CP 3	50,16	50,31	50,20	50,25	11,71	11,65	11,67	11,68	11,72	22,67	768,88
12- 2	P 8	CP 4	50,11	50,15	49,78	50,31	11,85	11,93	11,96	11,84	11,96	23,07	772,24
T2- 3	P 5	CP 5	50,28	50,21	50,27	50,29	11,75	11,67	11,69	11,64	11,63	23,25	788,21
12-3	P 8	CP 6	50,16	50,12	50,32	50,30	11,70	11,90	11,76	11,60	11,76	23,08	779,08
T2- 4	P 5	CP 7	50,05	50,01	50,20	50,38	11,75	11,67	11,75	11,72	11,67	23,10	783,91
12- 4	P 8	CP 8	50,11	50,10	50,14	50,22	11,73	11,76	11,82	11,74	11,76	22,76	769,63
T2-5	P 5	CP 9	50,07	50,14	50,19	50,35	11,83	11,72	11,89	11,84	11,75	23,36	785,56
12-5	P 8	CP 10	50,14	50,20	49,90	50,31	11,84	11,93	12,02	11,89	11,93	22,92	764,79

					Densida	de Corymbia (Cc) 50% +Teca (Tc)	50%					
Painel	Posição	Corpo de Prova	Lado A	Lado B	Lado C	Lado D	Ponto 1	Ponto 2	Ponto 3	Ponto 4	Ponto 5	Massa	Densidade
raillei	rusiçau	corpo de i Tova	[mm]	[mm]	[mm]	[mm]	[mm]	[mm]	[mm]	[mm]	[mm]	[g]	kg/m³
T3- 1	P 5	CP 1	50,05	50,14	50,12	50,12	11,85	11,82	11,87	11,85	11,86	22,47	755,23
13-1	P 8	CP 2	50,11	49,85	50,15	50,25	11,85	12,03	12,04	12,01	11,95	23,24	773,44
T3- 2	P 5	CP 3	50,16	50,16	50,10	50,09	11,86	11,85	11,88	11,97	11,87	22,43	751,00
13- 2	P 8	CP 4	50,07	50,03	50,36	50,22	12,16	12,05	12,10	12,01	12,06	23,28	765,90
T3- 3	P 5	CP 5	50,02	50,03	50,18	50,20	12,08	12,00	12,04	12,02	12,04	21,73	719,07
13-3	P 8	CP 6	50,11	50,05	50,28	50,35	12,15	12,24	12,13	12,06	12,11	23,04	753,31
T3- 4	P 5	CP 7	50,06	50,12	50,26	50,32	11,81	11,91	11,93	11,97	11,86	22,11	737,83
13-4	P 8	CP 8	50,12	50,15	50,22	50,24	12,00	11,98	11,91	11,92	11,90	23,96	796,72
T3-5	P 5	CP 9	49,99	50,00	50,34	50,26	11,90	11,89	11,78	11,79	11,82	22,60	759,29
13-3	P 8	CP 10	50,02	50,10	50,27	50,28	12,04	12,05	12,01	12,02	12,04	23,09	762,51

				Densi	dade Coryn	nbia (Cc) 2	5% + Teca (Tc) 75%					
Painel	Posição	Corpo de Prova	Lado A	Lado B	Lado C	Lado D	Ponto 1	Ponto 2	Ponto 3	Ponto 4	Ponto 5	Massa	Densidade
Palliel	Pusiçau	Corpo de Prova	[mm]	[mm]	[mm]	[mm]	[mm]	[mm]	[mm]	[mm]	[mm]	[g]	kg/m³
T4- 1	P 5	CP 1	50,00	49,91	50,13	50,18	12,41	12,46	12,49	12,48	12,48	23,92	765,97
14-1	P 8	CP 2	50,01	49,90	50,19	50,32	12,48	12,60	12,66	12,53	12,59	22,84	723,66
T4- 2	P 5	CP 3	50,06	50,02	50,26	50,28	12,39	12,37	12,38	12,35	12,39	23,27	747,46
14-2	P 8	CP 4	50,01	49,92	50,09	50,25	12,51	12,53	12,55	12,57	12,58	24,34	773,81
T4- 3	P 5	CP 5	50,13	50,11	50,26	50,26	12,50	12,37	12,28	12,46	12,33	22,14	709,48
14-3	P 8	CP 6	50,21	50,06	50,08	50,36	12,43	12,44	12,36	12,35	12,40	22,55	722,52
T 4-4	P 5	CP 7	50,13	50,07	50,29	50,22	12,20	12,18	12,27	12,22	12,17	23,14	752,84
14-4	P 8	CP 8	50,02	49,86	50,25	50,24	12,35	12,31	12,40	12,42	12,35	23,29	750,58
T4- 5	P 5	CP 9	50,13	50,12	50,26	50,27	12,13	12,13	12,09	12,13	12,17	22,44	734,25
14-3	P 8	CP 10	50,06	50,08	50,01	50,38	12,29	12,34	12,52	12,41	12,38	23,43	752,55

	Densidade 100 % Teca (Tc)												
Painel	Posição	Corpo de Prova	Lado A	Lado B	Lado C	Lado D	Ponto 1	Ponto 2	Ponto 3	Ponto 4	Ponto 5	Massa	Densidade
raillei	rusiçau	Corpo de Flova	[mm]	[mm]	[mm]	[mm]	[mm]	[mm]	[mm]	[mm]	[mm]	[g]	kg/m³
T5- 1	P 5	CP 1	50,14	50,18	50,27	50,33	12,23	12,24	12,19	12,22	12,28	22,66	734,24
13- 1	P 8	CP 2	50,07	50,23	50,20	49,91	12,35	12,23	12,24	12,33	12,32	22,64	733,61
T5- 2	P 5	CP 3	50,05	50,07	50,25	50,32	12,08	12,06	12,01	12,02	12,10	22,49	741,19
13-2	P 8	CP 4	50,02	50,04	49,90	50,31	12,27	12,35	12,31	12,22	12,37	23,17	751,22
T5- 3	P 5	CP 5	50,11	50,00	50,37	50,32	11,86	11,82	11,78	11,82	11,80	22,83	766,71
15-3	P 8	CP 6	50,01	50,02	50,27	50,42	12,04	12,18	12,15	12,07	12,14	23,43	767,99
T5- 4	P 5	CP 7	50,32	50,45	50,41	50,40	12,46	12,41	12,44	12,42	12,42	23,34	739,36
13-4	P 8	CP 8	50,32	50,32	50,14	50,38	12,48	12,53	12,52	12,51	12,54	23,11	730,08
T5- 5	P 5	CP 9	50,44	50,39	50,27	50,12	12,11	12,19	12,16	12,04	11,97	22,54	736,48
13-3	P 8	CP 10	50,37	50,38	40,42	50,41	12,12	12,25	12,22	12,18	12,08	22,23	798,43

Resultados do Ensaio de Densidade

Resultados	T1 (Cc) 100%	T2 (Cc)75% +(Tc) 25%	T3 (Cc)50% +(Tc) 50%	T4 (Cc) 25% +(Tc) 75%	T5 (Tc) 100%
Máximo	818,42	788,21	796,72	773,81	798,43
Média	789,67	776,58	757,43	743,31	749,93
Mínima	776,20	764,79	719,07	709,48	730,08
Desvio Padrão	12,64	7,93	20,60	20,37	21,70

Comprimento = (Lado A + Lado B)/2 - Comprimento do corpo de prova expresso em milímetros [mm]

Largura = (Lado C + Lado D)/2 - Largura do corpo de prova expresso em milímetros [mm]

Espessura = (Ponto 1 + Ponto 2 +Ponto 3+Ponto 4+Ponto 5)/5 - Espessura do corpo de prova expresso em milímetros [mm]

Volume = Comprimento *Largura*Espessura - Volume do corpo de prova expresso em milímetros cubicos [mm³]

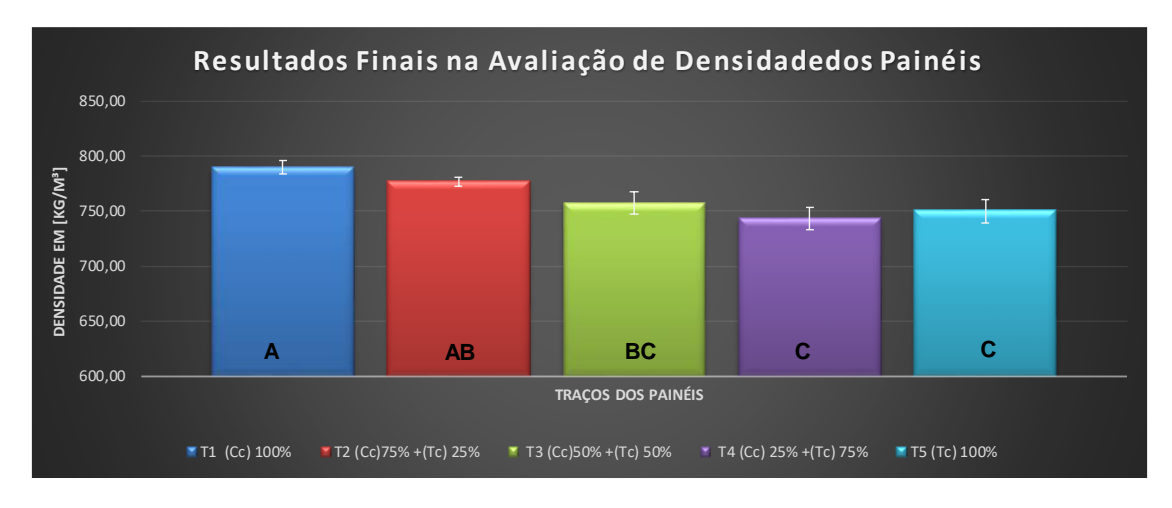
 $\rho = m / V \rightarrow \rho = (m / V)*1000000 \rightarrow Densidade em kg/m³$

 $m = \acute{e}$ a massa do corpo-de-prova - (Gramas [g])

Volume (V)=((A+B)/2)*((C+D)/2)*((P1+P2+P3+P4+P5)/5) - [mm³]

(CC) → Corymbia

(TC) → Teca



Anova fator único- Densidade

Anova: fator único

Grupo	Contagem	Soma	Média	Variância
T1 (Cc) 100%	10	7896,666814	789,6666814	159,7780522
T2 (Cc) 75% + (Tc) 25%	10	7765,766023	776,5766023	62,92740897
T3 (Cc) 50% + (Tc) 50%	10	7574,301498	757,4301498	424,3882138
T4 (Cc) 25% + (Tc) 75%	10	7433,116933	743,3116933	414,997113
T5 (Tc)100%	10	7499,310336	749,9310336	470,7590956

ANOVA

Fonte da variação	SQ	gl	MQ	F	valor-P	F crítico
Entre grupos	14841,52225	4	3710,380564	12,10288301	0,0000009241	2,57873918
Dentro dos grupos	13795,64895	45	306,5699767			
Total	28637,17121	49				

Grupos de Tukey para densidade

Grouping Information Using Tukey Method

						N	Mean	Grouping
T1	(Cc)	1004	ŀ			10	789,67	A
T2	(Cc)	75%	+	(Tc)	25%	10	776,58	AB
T3	(Cc)	50%	+	(Tc)	50%	10	757,43	BC
T5	(Tc)	100%				10	749,93	C
T4	(Cc)	25%	+	(Tc)	75%	10	743,31	C

Means that do not share a letter are significantly different.

APÊNDICE B - ENSAIOS FÍSICOS PARA TEOR DE UMIDADE (TU)

	Teor de Umidade										
		Corymbia	(Cc) 100%								
Painel	Posição	Corpo de Prova	MU - [g]	MS - [g]	Umidade						
· ame	i osição	corpo de i lova	1410 - [8]	1413 - [8]	Residual [%]						
Ch 1	P 3	CP 1	21,84	20,09	8,71	Г					
CIT	P 7	CP 2	22,93	21,02	9,09						
Ch 2	P 3	CP 3	22,13	20,36	8,69	Г					
CII Z	P 7	CP 4	20,81	19,11	8,90						
Ch 3	P 3	CP 5	21,57	19,71	9,44	Г					
CIIS	P 7	CP 6	22,89	20,86	9,73	Г					
Ch 4	P 3	CP 7	23,27	21,65	7,48	Г					
CII 4	P 7	CP 8	21,81	20,25	7,70	Г					
Ch 5	P 3	CP 9	19,95	18,45	8,13						
CII 5	P 7	CP 10	18,98	17,54	8,21						

Corymbia (Cc) 100% [U.%]						
Máximo	9,73					
Média	8,61					
Mínima	7,48					
Desvio Padrão	0,73					

(Cc) → Corymbia (Tc) → Teca

	Teor de Umidade						
		Corymbia (Cc) 509	% + Teca (Tc)	50%			
Painel	Painel Posição Corpo de Prova MU - [g] MS - [g] Umidade						
					Residual [%]		
Ch 1	P 3	CP 1	21,70	20,11	7,91		
CILI	P 7	CP 2	23,07	21,18	8,92		
Ch 2	P 3	CP 3	20,86	19,33	7,92		
Cli Z	P 7	CP 4	22,76	20,98	8,48		
Ch 3	P 3	CP 5	20,14	18,68	7,82		
CIIS	P 7	CP 6	22,04	20,37	8,20		
Ch 4	P 3	CP 7	20,03	18,38	8,98		
Cn 4	P 7	CP 8	23,70	21,77	8,87		
Ch 5	P 3	CP 9	22,38	20,46	9,38		
Cn 5	P 7	CP 10	23,78	21,84	8,88		

Teca (Tc) 50%+Corymbia (Cc) 50% [U.%]				
Máximo 9,38				
Média	8,54			
Mínima	7,82			
Desvio Padrão	0,55			

(Cc) → Corymbia (Tc) → Teca

Teor de Umidade						
Corymbia (Cc) 75% Teca (Tc) 25%						
Painel	Posição	Umidade	П			
Palliel	Posição	Corpo de Prova	MU - [g]	MS - [g]	Residual [%]	
Ch 1	P 3	CP 1	22,33	20,44	9,25	
CILI	P 7	CP 2	22,91	21,05	8,84	
Ch 2	P 3	CP 3	20,54	19,12	7,43	
Ch Z	P 7	CP 4	23,07	21,32	8,21	
Ch 3	P 3	CP 5	20,64	19,36	6,61	
Cn 3	P 7	CP 6	21,66	20,22	7,12	
Ch 4	Р3	CP 7	22,51	20,69	8,80	
CII 4	P 7	CP 8	22,30	20,58	8,36	
Ch 5	P 3	CP 9	22,50	20,54	9,54	
Cn 5	P 7	CP 10	21,51	19,65	9,47	Г

Teca (Tc) 25%+Corymbia (Cc) 75% [U.%]				
Máximo 9,54				
Média	8,36			
Mínima	6,61			
Desvio Padrão	1,02			

(Cc) → Corymbia (Tc) → Teca

	Teor de Umidade							
	Corymbia (Cc) 25% + Teca (Tc) 75%							
Painel	Painel Posição Corpo de Prova MU - [g] MS - [g]							
	Р3	CP 1	21,84	20,24	Residual [%]			
Ch 1	P 7	CP 2	23,06	21,18	8,88			
Ch 2	P 3	CP 3	22,50	20,46	9,97			
Cn Z	P 7	CP 4	23,98	21,88	9,60			
Ch 3	P 3	CP 5	22,24	20,41	8,97			
CII 3	P 7	CP 6	21,90	20,10	8,96			
Ch 4	P 3	CP 7	22,05	20,24	8,94			
CII 4	P 7	CP 8	23,13	21,05	9,88			
Ch 5	P 3	CP 9	21,34	19,85	7,51			
CII 5	D 7	CD 10	22.49	20.72	9.44			

Teca (Tc) 75%+Corymbia (Cc) 25% [U.%]				
Máximo	9,97			
Média	8,90			
Mínima	7,51			
Desvio Padrão	0,80			

(Cc) → Corymbia (Tc) → Teca

	Teor de Umidade		
	(TC) Ted	a 100%	_
Posição	Corpo de Prova	MU - [g]	

	(10) 1000 20070						
Painel	Posição	Corpo de Prova	MU - [g]	MS - [g]	Umidade Residual [%]		
Ch 1	P 3	CP 1	22,25	20,22	10,04		
Chi	P 7	CP 2	20,83	18,96	9,86		
Ch 2	P 3	CP 3	23,30	21,29	9,44		
Cli Z	P 7	CP 4	22,41	20,46	9,53		
Ch 3	P 3	CP 5	22,26	20,37	9,28		
Cirs	P 7	CP 6	22,82	20,72	10,14		
Ch 4	Р3	CP 7	22,69	20,62	10,04		
CII 4	P 7	CP 8	22,42	20,66	8,52		
Ch 5	P 3	CP 9	21,60	19,95	8,27		
Cil 5	P 7	CP 10	21,25	19,39	9,59		

(TC) Teca 100% [U.%]				
Máximo	10,14			
Média	9,47			
Mínima	8,27			
Desvio Padrão	0.64			

Resultados dos Ensaios de Teor de Umidade

Resultados	T1 (Cc) 100%	T2 (CC) 75% + (TC) 25%	T3 (Cc) 50% + (Tc) 50%	T4 (Cc) 25% + (Tc) 75%	T5 (Tc) 100 %
Máximo	9,73	9,54	9,38	9,97	10,14
Média	8,61	8,36	8,54	8,90	9,47
Mínima	7,48	6,61	7,82	7,51	8,27
Desvio Padrão	0,73	1,02	0,55	0,80	0,64

(Cc) → Corymbia

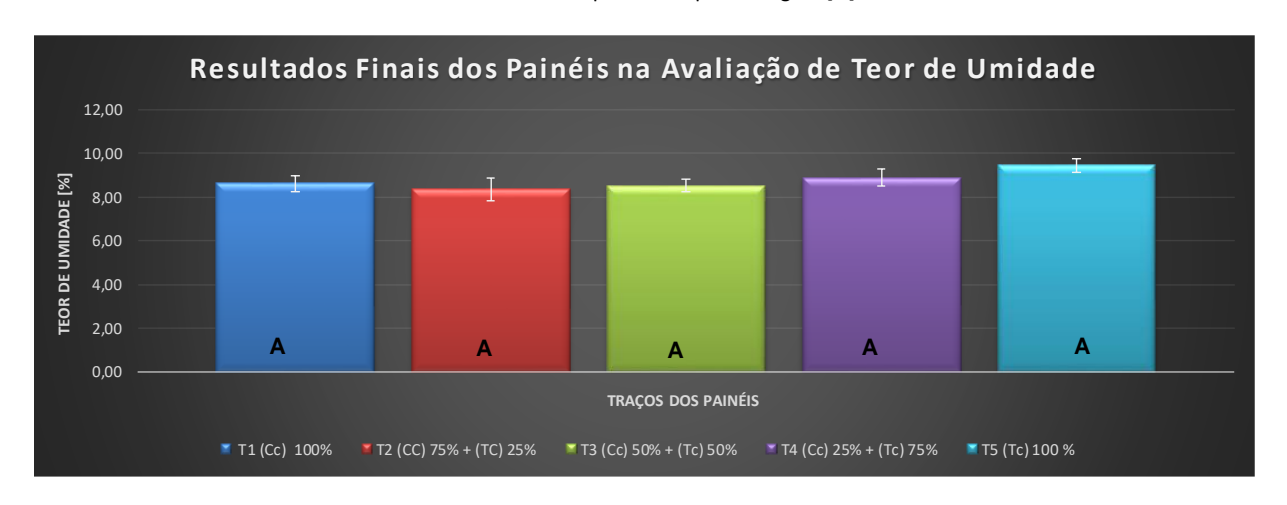
U= [(MU - MS) / MS] x 100

(Tc) → Teca

MU = massa umida do Corpo de Prova expressa em gramas [g]

MS = massa seca do Corpo de Prova expressa em gramas [g]

U = Umidade residual C.P. expressa em porcentagem [%]



Anova: fator único

RESUMO

INEGUIVIO				
Grupo	Contagem	Soma	Média	Variância
T1 (Cc) 100%	10	86,0814162	8,60814162	0,527796751
T2(Cc) 75% + (Tc) 25%	10	83,61309928	8,361309928	1,034230356
T3 (Cc) 50% +(Tc) 50%	10	85,35314044	8,535314044	0,301104786
T4(Cc) 25% + (TC) 75%	10	89,04342617	8,904342617	0,638640568
T5 (Tc)100%	10	94,70868809	9,470868809	0,404886273

ANOVA

Fonte da variação	SQ	gl	MQ	F	valor-P	F crítico
Entre grupos	7,573885093	4	1,893471273	3,257126904	0,019825582	2,578739
Dentro dos grupos	26,15992861	45	0,581331747			
Total	33,7338137	49				

Grupos de Tukey- Teor de umidade

			N	Mean	Grouping
(Tc)	100%		10	9,2420	A
(TC)	75%+(Cc)	25%	10	8,9043	A
(Cc)	100%		10	8,6081	A
(Tc)	50%+(Cc)	50%	10	8,5353	A
(Tc)	25%+(Cc)	75%	10	8,3613	A

Means that do not share a letter are significantly different.

APÊNDICE C- ENSAIOS FÍSICOS PARA ABSORÇÃO DE ÁGUA

Absorção de Água 24h Corymbia (Cc) 100%							
Painel	Posição	Corpo de Prova	M0 - [g]	M1 - [g]	Resultado 24h [%]		
744	P 4	CP 1	23,02	28,60	24,24		
T 1-1	P 6	CP 2	23,11	27,61	19,47		
T1- 2	P 4	CP 3	23,27	28,37	21,92		
	P 6	CP 4	20,92	26,55	26,91		
T1- 3	P 4	CP 5	23,95	29,09	21,46		
11-3	P 6	CP 6	22,08	27,33	23,78		
T1- 4	P 4	CP 7	22,03	28,51	29,41		
11-4	P 6	CP 8	22,76	28,44	24,96		
T1- 5	P 4	CP 9	20,88	27,18	30,17		
11-5	P 6	CP 10	19,99	24,04	20,26		

Corymbia (Cc) 100% [A.A.%]					
Máximo	30,17				
Média	24,26				
Mínima	19,47				
Desvio Padrão	3,67				

Ch = Chapa (CC) → Corymbia
A= [(M1 - M0)/M0] x 100 (TC) → Teca
M0 = Massa do CP antes da imersão [g]
M1 = Massa do CP após a imersão [g]
A = Absorção de água do C.P. expressa em porcentagem [%]
24 Horas = 24h

	Absorção de Água 24h							
Corymbia (Cc) 50% +Teca (Tc) 50% Painel Posição Corpo de Prova M0 - [g] M1 - [g] Res 2.								
T3- 1	P 4 P 6	CP 1 CP 2	23,81 23,54	27,92 27,77	17,26 17,97			
T3- 2	P 4	CP 3	22,39	27,77	21,53			
13-2	P 6	CP 4	23,05	27,27	18,31			
T3- 3	P 6	CP 6	22,87 22,33	27,34 27,26	19,55 22,08			
T3- 4	P 4	CP 7	22,33	27,02	21,00			
	P 6	CP 8 CP 9	23,63	27,57 27,56	16,67 20,40			
T3-5	P 6	CP 10	23,23	27,20	17,09			

Corymbia (Cc) 50% +Teca (Tc) 50% [A.A.%]					
Máximo 22,08					
Média	19,19				
Mínima	16,67				
Desvio Padrão	1,98				

$$\label{eq:chapa} \begin{split} \text{Ch = Chapa} \\ \text{A= [(M1 - M0) / M0] } x \ 100 \\ \text{M0 = Massa do CP antes da imersão [g]} \end{split}$$

MI = Massa do CP após a imersão [g]
A = Absorção de água do C.P. expressa em porcentagem [%]
24 Horas = 24h

Absorção de Água 24h								
		Corymbia (Cc) 75	% +Teca (C)	25%				
Painel	Posição Corpo de Prova M0 - [g] M1 - [g] Resultado 24h [%]							
T2- 1	P 4	CP 1	23,21	27,42	18,14			
12-1	P 6	CP 2	22,81	27,50	20,56			
T2- 2	P 4	CP 3	22,32	27,30	22,31			
12-2	P 6	CP 4	22,21	28,09	26,47			
T2- 3	P 4	CP 5	23,24	28,08	20,83			
12- 3	P 6	CP 6	22,00	27,50	25,00			
T2- 4	P 4	CP 7	23,08	27,93	21,01			
12-4	P 6	CP 8	23,29	27,68	18,85			
T2-5	P 4	CP 9	24,04	28,15	17,10			
12-5	P 6	CP 10	22,08	27,32	23,73			

Corymbia (Cc) 75% +Teca (C) 25%					
Máximo 26,47					
Média	21,40				
Mínima	17,10				
Desvio Padrão	3,02				

(Cc) → Corymbia (Tc) → Teca

Ch = Chapa $A = \left[\left(\ M1 - M0 \ \right) \ / \ M0 \right] \ x \ 100$

M0 = Massa do CP antes da imersão [g] M1 = Massa do CP após a imersão [g]

A = Absorção de água do C.P. expressa em porcentagem [%]

24 Horas = 24h

	Absorção de Água 24h Corymbia (Cc) 25%+Teca (C) 75%							
Painel	ainel Posição Corpo de Prova M0 - [g] M1 - [g] Resultado 24h [%]							
T4- 1	P 4	CP 1	23,99	28,33	18,09			
14-1	P 6	CP 2	24,28	28,09	15,69			
T4- 2	P 4	CP 3	23,52	27,81	18,24			
14- 2	P 6	CP 4	24,26	27,89	14,96			
T4- 3	P 4	CP 5	23,57	27,94	18,54			
14- 5	P 6	CP 6	22,88	27,24	19,06			
T 4-4	P 4	CP 7	23,78	27,75	16,69			
1 4-4	P 6	CP 8	23,55	27,45	16,56			
T4- 5	P 4	CP 9	23,52	27,79	18,15			
14- 3	P 6	CP 10	23,03	27,27	18,41			

Corymbia (Cc) 25%+Teca (C) 75% [A.A.%]					
Máximo 19,06					
Média	17,44				
Mínima	14,96				
Desvio Padrão	1,37				

Ch = Chapa $A = \left[\left(\ M1 - M0 \ \right) \ / \ M0 \right] \ x \ 100$

(Cc) → Corymbia

M0 = Massa do CP antes da imersão [g] M1 = Massa do CP após a imersão [g]

A = Absorção de água do C.P. expressa em porcentagem [%]

24 Horas = 24h

Absorção de Água 24h									
	Teca 100 %								
Painel	Posição	Corpo de Prova	M0 - [g]	M1 - [g]	Resultado 24h [%]				
T5- 1	P 4	CP 1	22,95	27,17	18,39				
13- 1	P 6	CP 2	21,04	25,63	21,82				
T5- 2	P 4	CP 3	23,62	27,08	14,65				
15- 2	P 6	CP 4	22,29	26,46	18,71				
T5- 3	P 4	CP 5	22,90	27,02	17,99				
13-3	P 6	CP 6	22,55	26,70	18,40				
T5- 4	P 4	CP 7	23,92	27,11	13,34				
13-4	P 6	CP 8	22,56	27,06	19,95				
T5- 5	P 4	CP 9	22,51	26,48	17,64				
13- 3	P 6	CP 10	21,32	25,86	21,29				

Resultados Teca 100 % [A.A.%]						
Máximo 21,82						
Média	18,22					
Mínima	13,34					
Desvio Padrão 2,64						

Resultados do Ensaio de Absorção de Água 24h

Resultados	T1 (CC) 100%	T2 (CC) 75%+ (TC) 25%	T5 (Cc) 50%+(Tc) 50%	T4 (CC) 25%+ (TC) 75%	T5 (TC) 100%
Máximo	30,17	26,47	22,08	19,06	21,82
Média	24,26	21,40	19,19	17,44	18,22
Mínima	19,47	17,10	16,67	14,96	13,34
Desvio Padrão	3,67	3,02	1,98	1,37	2,64

(Cc) → Corymbia

 $A=[(M1-M0)/M0] \times 100$

(Tc) → Teca M0 = Massa do CP antes da imersão [g]

M1 = Massa do CP após a imersão [g]

A = Absorção de água do C.P. expressa em porcentagem [%]

24 Horas = 24h



Anova: fator único

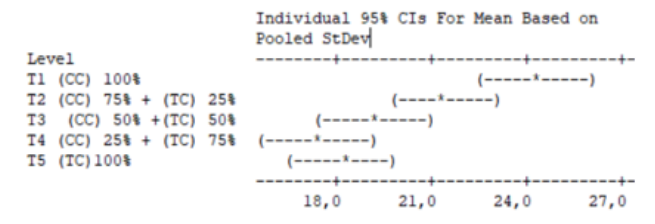
RESUMO

Grupo	Contagem	Soma	Média	Variância
T1 (CC) 100%	10	242,582152	24,2582152	13,50254345
T2 (CC) 75% + (TC) 25	10	214,0039877	21,40039877	9,091596127
T3 (CC) 50% +(TC) 50	10	191,8584868	19,18584868	3,934901443
T4 (CC) 25% + (TC) 75	10	174,4026996	17,44026996	1,873304702
T5 (TC)100%	10	182,1688406	18,21688406	6,96252274

ANOVA

7110 171						
Fonte da variação	SQ	gl	MQ	F	valor-P	F crítico
Entre grupos	304,3775224	4	76,0943806	10,75847075	0,0000033250	2,578739
Dentro dos grupos	318,2838161	45	7,072973692			
Total	622,6613385	49				

Grupos de Tukey- Absorção de Água



Pooled StDev = 2,660

Grouping Information Using Tukey Method

			N	Mean	Grouping
T1	(CC) 100%		10	24,258	A
T2	(CC) 75% + (TC)	25%	10	21,400	A B
Т3	(CC) 50% + (TC)	50%	10	19,186	BC
T5	(TC) 100%		10	18,217	BC
T4	(CC) 25% + (TC)	75%	10	17,440	C

Means that do not share a letter are significantly different.

APÊNDICE D- ENSAIOS FÍSICOS INCHAMENTO EM ESPESSURA

	Inchamento em Espessura 24h						
		Corymbia	(Cc) 100%				
Painel	Posição	Corpo de Prova	E0 - [mm]	E1 - [mm]	Resultado 24h [%]		
T 1-1	P 4	CP 1	11,50	12,09	5,13		
1 1-1	P 6	CP 2	11,42	11,85	3,77		
T1- 2	P 4	CP 3	11,41	11,88	4,12		
11-2	P 6	CP 4	11,37	11,91	4,75		
T1- 3	P 4	CP 5	11,78	12,36	4,92		
11-3	P 6	CP 6	11,53	12,07	4,68		
T1- 4	P 4	CP 7	11,69	12,23	4,62		
11-4	P 6	CP 8	11,36	11,87	4,49		
T1- 5	P 4	CP 9	11,66	12,21	4,72		
11-5	Р6	CP 10	11,35	11,97	5,46		

Corymbia	(Cc) 100% [I.E.%]
Máximo	5,46
Média	4,67
Mínima	3,77
Desvio Padrão	0.48

Ch = Chapa I= [(E1 – E0) / E0] x 100 E0 = espessura do CP antes da imersão [mm] E1 = espessura do CP após a imersão [mm] $\begin{array}{ll} \text{(CC)} & \rightarrow \text{Corymbia} \\ \text{(TC)} & \rightarrow \text{Teca} \end{array}$

I = Inchamento em espessura do C.P. expressa em porcentagem [%]

24 Horas = 24h

	Inchamento em Espessura 24h						
		Corymbia (Cc) 50	% + Teca ((C) 50%			
Painel	Painel Posição Corpo de Prova E0 - [mm] E1 - [mm]						
T3- 1	P 4	CP 1	11,98	12,46	4,01		
13-1	P 6	CP 2	11,99	12,48	4,09		
T3- 2	P 4	CP 3	11,79	12,33	4,58		
13-2	P 6	CP 4	11,68	12,35	5,74		
T3- 3	P 4	CP 5	11,95	12,40	3,77		
13-3	P 6	CP 6	11,86	12,41	4,64		
T3- 4	P 4	CP 7	11,87	12,40	4,47		
13-4	P 6	CP 8	11,95	12,38	3,60		
T3-5	P 4	CP 9	11,93	12,41	4,02		
13-5	P 6	CP 10	11,96	12,42	3,85		

Corymbia (Cc) 50% + Teca (C) 50% [I.E.%]				
Máximo	5,74			
Média	4,27			
Mínima	3,60			
Desvio Padrão	0,62			

Ch = Chapa I= [(E1 – E0) / E0] x 100 E0 = espessura do CP antes da imersão [mm] E1 = espessura do CP após a imersão [mm] $\begin{array}{ll} \text{(CC)} & \rightarrow \text{Corymbia} \\ \text{(TC)} & \rightarrow \text{Teca} \end{array}$

I = Inchamento em espessura do C.P. expressa em porcentagem [%] 24 Horas = 24h

Inchamento em Espessura 24h								
		75% Corymbia(C	c)+ Teca (C) 25%				
Painel	Painel Posição Corpo de Prova E0 - [mm] E1 - [mm] Resultado 24h [%]							
T2- 1	P 4	CP 1	11,84	12,34	4,22			
12- 1	P 6	CP 2	11,64	12,21	4,90			
T2- 2	P 4	CP 3	11,67	12,07	3,43			
12-2	P 6	CP 4	11,51	12,06	4,78			
T2- 3	P 4	CP 5	11,76	12,28	4,42			
12-3	P 6	CP 6	11,54	11,99	3,90			
T2- 4	P 4	CP 7	11,80	12,26	3,90			
12-4	P 6	CP 8	11,55	12,04	4,24			
T2-5	P 4	CP 9	11,93	12,64	5,95			
12-3	P 6	CP 10	11,66	12,05	3,34			

75% Corymbia(Cc)+ Teca (C) 25% [I.E.%]						
Máximo 5,95						
Média	4,31					
Mínima	3,34					
Desvio Padrão	0,77					

		Inchamento em					
		Corymbia (Cc) 25%	% + Teca (I	c) /5%	Resultado		
Painel	Painel Posição Corpo de Prova E0 - [mm] E1 - [mm]						
T4- 1	P 4	CP 1	12,38	12,87	3,96		
14- 1	P 6	CP 2	12,42	12,90	3,86		
T4- 2	P 4	CP 3	12,21	12,67	3,77		
14- 2	P 6	CP 4	12,35	12,73	3,08		
T4- 3	P 4	CP 5	12,29	12,76	3,82		
14-3	P 6	CP 6	12,23	12,66	3,52		
T 4- 4	P 4	CP 7	12,17	12,71	4,44		
1 4- 4	P 6	CP 8	12,12	12,47	2,89		
T4- 5	P 4	CP 9	12,07	12,53	3,81		
14- 5	P 6	CP 10	12,02	12,44	3,49		

Corymbia (Cc) 25% + Teca (Tc) 75% [I.E.%]					
Máximo 4,44					
Média	3,66				
Mínima	2,89				
Desvio Padrão	0,44				

Inchamento em Espessura 24h							
	Teca 100%						
Painel	Posição	Corpo de Prova	E0 - [mm]	E1 - [mm]	Resultado 24h [%]		
T5- 1	P 4	CP 1	12,38	12,78	3,23		
13-1	P 6	CP 2	12,18	12,54	2,96		
T5- 2	P 4	CP 3	12,19	12,47	2,30		
13-2	P 6	CP 4	12,14	12,45	2,55		
T5- 3	P 4	CP 5	12,10	12,46	2,98		
15-3	P 6	CP 6	11,85	12,13	2,36		
T5- 4	P 4	CP 7	12,53	12,74	1,68		
13-4	P 6	CP 8	12,35	12,60	2,02		
T5- 5	P 4	CP 9	12,09	12,47	3,14		
15-5	Р6	CP 10	11.92	12.26	2.85		

Resultados Teca 100% [I.E.%]						
Máximo	3,23					
Média	2,61					
Mínima	1,68					
Desvio Padrão	0,51					

APÊNDICE E- ENSAIOS MECÂNICOS MOR E MOE

	Flexão e	e Módulo de Elastici	dade Corymbia (CC	7 10070		
Painel	Posição	Corpo de Prova	Largura - [mm]	Espessura - [mm]	MOR	MOE
					[Mpa]	[Mpa]
Ch 1	P 2	CP 1	50,02	12,00	11,18	2174,49
	P 9	CP 2	49,92	12,23	8,67	1504,11
Ch 2	P 2	CP 3	50,03	12,09	10,25	1854,85
	P 9	CP 4	50,00	12,29	7,46	1505,83
Ch 3	P 2	CP 5	50,00	11,97	9,22	1796,20
	P 9	CP 6	49,95	12,35	9,23	1939,74
Ch 4	P 2	CP 7	50,14	12,04	10,45	2046,49
	P 9	CP 8	49,93	12,24	7,81	1646,37
Ch 5	P 2	CP 9	50,10	12,03	7,97	1489,45
	P 9	CP 10	49,98	12,27	7,91	1426,49
Fle	exão e Módu	ilo de Elasticidade C	orymbia (Cc) 75% +	Teca (Tc) 25%		
Painel	Posição	Corpo de Prova	Largura - [mm]	Espessura - [mm]	MOR	MOE
1 ame	i osição	Corpo de Frova	Laiguia - [iiiiii]	Lapesaura - [mm]	[Mpa]	[Mpa]
Ch 1	P 2	CP 1	50,01	12,12	12,60	2095,60
CILI	P 9	CP 2	50,01	12,23	11,02	1654,36
Ch 2	P 2	CP 3	50,03	12,06	9,84	1687,82
CII Z	P 9	CP 4	49,9	12,34	12,63	2144,32
Ch 3	P 2	CP 5	50	12,16	12,73	1870,64
CII 3	P 9	CP 6	49,77	12,45	12,27	2063,91
Ch 4	P 2	CP 7	49,97	12,25	15,15	2421,45
CII 4	P 9	CP 8	49,85	12,35	12,04	1813,03
Ch 5	P 2	CP 9	50,02	12,27	9,79	1793,19
	P 9 exão e Módu	CP 10 ulo de Elasticidade 5	49,95 0%Corymbia (Cc)+	12,47 Teca (Tc) 50%	9,35	1742,95
					MOR	MOE
FI	exão e Módu Posição	ulo de Elasticidade 5 Corpo de Prova	0%Corymbia (Cc)+ Largura - [mm]	Teca (Tc) 50% Espessura - [mm]	MOR [Mpa]	MOE [Mpa]
FI	exão e Módu Posição P 2	ulo de Elasticidade 5 Corpo de Prova CP 1	0%Corymbia (Cc)+ Largura - [mm]	Teca (Tc) 50% Espessura - [mm] 12,17	MOR [Mpa] 13,68	MOE [Mpa] 2173,76
Fl Painel	exão e Módu Posição P 2 P 9	ulo de Elasticidade 5 Corpo de Prova CP 1 CP 2	0%Corymbia (Cc)+ Largura - [mm] 50,03 50,01	Teca (Tc) 50% Espessura - [mm] 12,17 12,35	MOR [Mpa] 13,68 10,76	MOE [Mpa] 2173,76 1865,50
Fl Painel	exão e Módu Posição P 2 P 9 P 2	Lo de Elasticidade 5 Corpo de Prova CP 1 CP 2 CP 3	0%Corymbia (Cc)+ Largura - [mm] 50,03 50,01 49,92	Teca (Tc) 50% Espessura - [mm] 12,17 12,35 12,24	MOR [Mpa] 13,68 10,76 14,90	MOE [Mpa] 2173,76 1865,50 2340,43
Fl Painel Ch 1	exão e Módu Posição P 2 P 9 P 2 P 9	ulo de Elasticidade 5 Corpo de Prova CP 1 CP 2 CP 3 CP 4	0%Corymbia (Cc)+ Largura - [mm] 50,03 50,01 49,92 49,90	Teca (Tc) 50% Espessura - [mm] 12,17 12,35 12,24 12,55	MOR [Mpa] 13,68 10,76 14,90 14,80	MOE [Mpa] 2173,76 1865,50 2340,43 2100,11
Fl Painel Ch 1	exão e Módu Posição P 2 P 9 P 2 P 9	Lo de Elasticidade 5 Corpo de Prova CP 1 CP 2 CP 3 CP 4 CP 5	0%Corymbia (Cc)+ Largura - [mm] 50,03 50,01 49,92 49,90 50,05	Teca (Tc) 50% Espessura - [mm] 12,17 12,35 12,24 12,55 12,23	MOR [Mpa] 13,68 10,76 14,90 14,80	MOE [Mpa] 2173,76 1865,50 2340,43 2100,11 2193,46
Fl Painel Ch 1 Ch 2	exão e Módu Posição P 2 P 9 P 2 P 9 P 2 P 9	Corpo de Prova CP 1 CP 2 CP 3 CP 4 CP 5 CP 6	0%Corymbia (Cc)+ Largura - [mm] 50,03 50,01 49,92 49,90 50,05 50,01	Teca (Tc) 50% Espessura - [mm] 12,17 12,35 12,24 12,55 12,23 12,38	MOR [Mpa] 13,68 10,76 14,90 14,80 13,98 14,75	MOE [Mpa] 2173,76 1865,50 2340,43 2100,11 2193,46 2378,47
Fl Painel Ch 1 Ch 2	exão e Módu Posição P 2 P 9 P 2 P 9 P 2 P 9 P 2 P 9	Corpo de Prova CP 1 CP 2 CP 3 CP 4 CP 5 CP 6 CP 7	0%Corymbia (Cc)+ Largura - [mm] 50,03 50,01 49,92 49,90 50,05 50,01 50,00	Teca (Tc) 50% Espessura - [mm] 12,17 12,35 12,24 12,55 12,23 12,38 12,22	MOR [Mpa] 13,68 10,76 14,90 14,80 13,98 14,75	MOE [Mpa] 2173,76 1865,50 2340,43 2100,11 2193,46 2378,47 2167,62
Fl Painel Ch 1 Ch 2	exão e Módu Posição P 2 P 9 P 2 P 9 P 2 P 9 P 2 P 9 P 2 P 9	Corpo de Prova CP 1 CP 2 CP 3 CP 4 CP 5 CP 6 CP 7	0%Corymbia (Cc)+ Largura - [mm] 50,03 50,01 49,92 49,90 50,05 50,01 50,00 50,01	Teca (Tc) 50% Espessura - [mm] 12,17 12,35 12,24 12,55 12,23 12,38 12,22 12,58	MOR [Mpa] 13,68 10,76 14,90 14,80 13,98 14,75 13,19 17,51	MOE [Mpa] 2173,76 1865,50 2340,43 2100,11 2193,46 2378,47 2167,62 2679,22
Fl Painel Ch 1 Ch 2	exão e Módu Posição P 2 P 9 P 2 P 9 P 2 P 9 P 2 P 9 P 2 P 9 P 2 P 9	Corpo de Prova CP 1 CP 2 CP 3 CP 4 CP 5 CP 6 CP 7 CP 8 CP 9	0%Corymbia (Cc)+ Largura - [mm] 50,03 50,01 49,92 49,90 50,05 50,01 50,00 50,01 50,02	Teca (Tc) 50% Espessura - [mm] 12,17 12,35 12,24 12,55 12,23 12,38 12,22 12,58 12,42	MOR [Mpa] 13,68 10,76 14,90 14,80 13,98 14,75 13,19 17,51 12,70	MOE [Mpa] 2173,76 1865,50 2340,43 2100,11 2193,46 2378,47 2167,62 2679,22 2093,33
Fl Painel Ch 1 Ch 2 Ch 3	exão e Módu Posição P 2 P 9 P 2 P 9 P 2 P 9 P 2 P 9 P 2 P 9	Corpo de Prova CP 1 CP 2 CP 3 CP 4 CP 5 CP 6 CP 7	0%Corymbia (Cc)+ Largura - [mm] 50,03 50,01 49,92 49,90 50,05 50,01 50,00 50,01	Teca (Tc) 50% Espessura - [mm] 12,17 12,35 12,24 12,55 12,23 12,38 12,22 12,58	MOR [Mpa] 13,68 10,76 14,90 14,80 13,98 14,75 13,19 17,51	MOE [Mpa] 2173,76 1865,50 2340,43 2100,11 2193,46 2378,47 2167,62 2679,22
Fl Painel Ch 1 Ch 2 Ch 3 Ch 4	exão e Módu Posição P 2 P 9 P 2 P 9 P 2 P 9 P 2 P 9 P 2 P 9	Corpo de Prova CP 1 CP 2 CP 3 CP 4 CP 5 CP 6 CP 7 CP 8 CP 9	0%Corymbia (Cc)+ Largura - [mm] 50,03 50,01 49,92 49,90 50,05 50,01 50,00 50,01 50,02 50,04	Teca (Tc) 50% Espessura - [mm] 12,17 12,35 12,24 12,55 12,23 12,38 12,22 12,58 12,42 12,46	MOR [Mpa] 13,68 10,76 14,90 14,80 13,98 14,75 13,19 17,51 12,70	MOE [Mpa] 2173,76 1865,50 2340,43 2100,11 2193,46 2378,47 2167,62 2679,22 2093,33
Fl Painel Ch 1 Ch 2 Ch 3 Ch 4	exão e Módu Posição P 2 P 9 P 2 P 9 P 2 P 9 P 2 P 9 P 2 P 9	Corpo de Prova CP 1 CP 2 CP 3 CP 4 CP 5 CP 6 CP 7 CP 8 CP 9 CP 10	0%Corymbia (Cc)+ Largura - [mm] 50,03 50,01 49,92 49,90 50,05 50,01 50,00 50,01 50,02 50,04	Teca (Tc) 50% Espessura - [mm] 12,17 12,35 12,24 12,55 12,23 12,38 12,22 12,58 12,42 12,46	MOR [Mpa] 13,68 10,76 14,90 14,80 13,98 14,75 13,19 17,51 12,70 13,96 MOR	MOE [Mpa] 2173,76 1865,50 2340,43 2100,11 2193,46 2378,47 2167,62 2679,22 2093,33 2056,13
Flee Painel Ch 1 Ch 2 Ch 3 Ch 4 Ch 5	exão e Módu Posição P 2 P 9 P 2 P 9 P 2 P 9 P 2 P 9 P 2 P 9 P 2 P 9 P 2 P 9 P 2 P 9 P 2 P 9 P 2 P 9	Corpo de Prova CP 1 CP 2 CP 3 CP 4 CP 5 CP 6 CP 7 CP 8 CP 9 CP 10 COrpo de Prova	0%Corymbia (Cc)+ Largura - [mm] 50,03 50,01 49,92 49,90 50,05 50,01 50,00 50,01 50,02 50,04 orimbia (Cc) 25% + Largura - [mm]	Teca (Tc) 50% Espessura - [mm] 12,17 12,35 12,24 12,55 12,23 12,38 12,22 12,58 12,42 12,46 Teca (Tc) 75% Espessura - [mm]	MOR [Mpa] 13,68 10,76 14,90 14,80 13,98 14,75 13,19 17,51 12,70 13,96 MOR [Mpa]	MOE [Mpa] 2173,76 1865,50 2340,43 2100,11 2193,46 2378,47 2167,62 2679,22 2093,33 2056,13
Fl Painel Ch 1 Ch 2 Ch 3 Ch 4	exão e Módu Posição P 2 P 9 P 2 P 9 P 2 P 9 P 2 P 9 P 2 P 9 P 2 P 9 P 2 P 9 P 2 P 9 P 2 P 9	Corpo de Prova CP 1 CP 2 CP 3 CP 4 CP 5 CP 6 CP 7 CP 8 CP 9 CP 10 COrpo de Prova COrpo de Prova	0%Corymbia (Cc)+ Largura - [mm] 50,03 50,01 49,92 49,90 50,05 50,01 50,00 50,01 50,02 50,04 orimbia (Cc) 25% + Largura - [mm] 50,06	Teca (Tc) 50% Espessura - [mm] 12,17 12,35 12,24 12,55 12,23 12,38 12,22 12,58 12,42 12,46 Teca (Tc) 75% Espessura - [mm]	MOR [Mpa] 13,68 10,76 14,90 14,80 13,98 14,75 13,19 17,51 12,70 13,96 MOR [Mpa] 13,70	MOE [Mpa] 2173,76 1865,50 2340,43 2100,11 2193,46 2378,47 2167,62 2679,22 2093,33 2056,13 MOE [Mpa] 2049,02
Flee Painel Ch 1 Ch 2 Ch 3 Ch 4 Ch 5 Flee Painel Ch 1	exão e Módu Posição P 2 P 9 P 2 P 9 P 2 P 9 P 2 P 9 P 2 P 9 P 2 P 9 P 2 P 9 P 2 P 9	Corpo de Prova CP 1 CP 2 CP 3 CP 4 CP 5 CP 6 CP 7 CP 8 CP 9 CP 10 Corpo de Prova CP 1 COP 2	0%Corymbia (Cc)+ Largura - [mm] 50,03 50,01 49,92 49,90 50,05 50,01 50,00 50,01 50,02 50,04 orimbia (Cc) 25% + Largura - [mm] 50,06 49,89	Teca (Tc) 50% Espessura - [mm] 12,17 12,35 12,24 12,55 12,23 12,38 12,22 12,58 12,42 12,46 Teca (Tc) 75% Espessura - [mm] 12,71 12,98	MOR [Mpa] 13,68 10,76 14,90 14,80 13,98 14,75 13,19 17,51 12,70 13,96 MOR [Mpa] 13,70 15,41	MOE [Mpa] 2173,76 1865,50 2340,43 2100,11 2193,46 2378,47 2167,62 2679,22 2093,33 2056,13 MOE [Mpa] 2049,02 2208,45
Flee Painel Ch 1 Ch 2 Ch 3 Ch 4 Ch 5	exão e Módu Posição P 2 P 9 P 2 P 9 P 2 P 9 P 2 P 9 P 2 P 9 P 2 P 9 P 2 P 9 P 2 P 9 P 2 P 9 P 2 P 9	Corpo de Prova CP 1 CP 2 CP 3 CP 4 CP 5 CP 6 CP 7 CP 8 CP 9 CP 10 Clo de Elasticidade C Corpo de Prova CP 1 CP 2 CP 3	0%Corymbia (Cc)+ Largura - [mm] 50,03 50,01 49,92 49,90 50,05 50,01 50,00 50,01 50,02 50,04 orimbia (Cc) 25% + Largura - [mm] 50,06 49,89 50,06	Teca (Tc) 50% Espessura - [mm] 12,17 12,35 12,24 12,55 12,23 12,38 12,22 12,58 12,42 12,46 Teca (Tc) 75% Espessura - [mm] 12,71 12,98 12,74	MOR [Mpa] 13,68 10,76 14,90 14,80 13,98 14,75 13,19 17,51 12,70 13,96 MOR [Mpa] 13,70 15,41 14,95	MOE [Mpa] 2173,76 1865,50 2340,43 2100,11 2193,46 2378,47 2167,62 2679,22 2093,33 2056,13 MOE [Mpa] 2049,02 2208,45 2255,83
Flee Painel Ch 1 Ch 2 Ch 3 Ch 4 Ch 5 Flee Painel Ch 1 Ch 2	exão e Módu Posição P 2 P 9 P 2 P 9 P 2 P 9 P 2 P 9 P 2 P 9 P 2 P 9 P 2 P 9 P 2 P 9 P 2 P 9	Corpo de Prova CP 1 CP 2 CP 3 CP 4 CP 5 CP 6 CP 7 CP 8 CP 9 CP 10 COrpo de Prova CP 1 COP 2 COP 3 CP 4	0%Corymbia (Cc)+ Largura - [mm] 50,03 50,01 49,92 49,90 50,05 50,01 50,00 50,01 50,02 50,04 orimbia (Cc) 25% + Largura - [mm] 50,06 49,89 50,06 49,99	Teca (Tc) 50% Espessura - [mm] 12,17 12,35 12,24 12,55 12,23 12,38 12,22 12,58 12,42 12,46 Teca (Tc) 75% Espessura - [mm] 12,71 12,98 12,74 13,16	MOR [Mpa] 13,68 10,76 14,90 14,80 13,98 14,75 13,19 17,51 12,70 13,96 MOR [Mpa] 13,70 15,41 14,95 12,77	MOE [Mpa] 2173,76 1865,50 2340,43 2100,11 2193,46 2378,47 2167,62 2679,22 2093,33 2056,13 MOE [Mpa] 2049,02 2208,45 2255,83 1973,83
Flee Painel Ch 1 Ch 2 Ch 3 Ch 4 Ch 5 Flee Painel Ch 1	exão e Módu Posição P 2 P 9 P 2 P 9 P 2 P 9 P 2 P 9 P 2 P 9 P 2 P 9 P 2 P 9 P 2 P 9 P 2 P 9 P 2 P 9 P 2 P 9 P 2 P 9 P 2 P 9 P 2 P 9	Corpo de Prova CP 1 CP 2 CP 3 CP 4 CP 5 CP 6 CP 7 CP 8 CP 9 CP 10 Ilo de Elasticidade C Corpo de Prova CP 1 CP 2 CP 3 CP 4 CP 5	0%Corymbia (Cc)+ Largura - [mm] 50,03 50,01 49,92 49,90 50,05 50,01 50,00 50,01 50,02 50,04 orimbia (Cc) 25% + Largura - [mm] 50,06 49,89 50,06 49,99 50,08	Teca (Tc) 50% Espessura - [mm] 12,17 12,35 12,24 12,55 12,23 12,38 12,22 12,58 12,42 12,46 Teca (Tc) 75% Espessura - [mm] 12,71 12,98 12,74 13,16 12,78	MOR [Mpa] 13,68 10,76 14,90 14,80 13,98 14,75 13,19 17,51 12,70 13,96 MOR [Mpa] 13,70 15,41 14,95 12,77 13,54	MOE [Mpa] 2173,76 1865,50 2340,43 2100,11 2193,46 2378,47 2167,62 2679,22 2093,33 2056,13 MOE [Mpa] 2049,02 2208,45 2255,83 1973,83 2146,14
Floral Painel Ch 1 Ch 2 Ch 3 Ch 4 Ch 5 Floral Painel Ch 1 Ch 2 Ch 3	exão e Módu Posição P 2 P 9 P 2 P 9 P 2 P 9 P 2 P 9 P 2 P 9 P 2 P 9 P 2 P 9 P 2 P 9 P 2 P 9 P 2 P 9 P 2 P 9 P 2 P 9	Corpo de Prova CP 1 CP 2 CP 3 CP 4 CP 5 CP 6 CP 7 CP 8 CP 9 CP 10 COrpo de Prova CP 1 CP 2 CORPO de Prova CP 1 CP 2 CP 3 CP 4 CP 5 CP 6 CP 7 CP 8 CP 9 CP 10	0%Corymbia (Cc)+ Largura - [mm] 50,03 50,01 49,92 49,90 50,05 50,01 50,00 50,01 50,02 50,04 orimbia (Cc) 25% + Largura - [mm] 50,06 49,89 50,06 49,99 50,08 49,99	Teca (Tc) 50% Espessura - [mm] 12,17 12,35 12,24 12,55 12,23 12,38 12,22 12,58 12,42 12,46 Teca (Tc) 75% Espessura - [mm] 12,71 12,98 12,74 13,16 12,78 13,11	MOR [Mpa] 13,68 10,76 14,90 14,80 13,98 14,75 13,19 17,51 12,70 13,96 MOR [Mpa] 13,70 15,41 14,95 12,77 13,54 13,48	MOE [Mpa] 2173,76 1865,50 2340,43 2100,11 2193,46 2378,47 2167,62 2679,22 2093,33 2056,13 MOE [Mpa] 2049,02 2208,45 2255,83 1973,83 2146,14 2104,93
Flee Painel Ch 1 Ch 2 Ch 3 Ch 4 Ch 5 Flee Painel Ch 1 Ch 2	exão e Módu Posição P 2 P 9 P 2 P 9 P 2 P 9 P 2 P 9 P 2 P 9 P 2 P 9 P 2 P 9 P 2 P 9 P 2 P 9 P 2 P 9 P 2 P 9 P 2 P 9 P 2 P 9 P 2 P 9 P 2 P 9 P 2 P 9 P 2 P 9 P 2 P 9	Corpo de Prova CP 1 CP 2 CP 3 CP 4 CP 5 CP 6 CP 7 CP 8 CP 9 CP 10 Corpo de Prova CP 1 CP 2 CORPO de Prova CP 1 CP 2 CP 3 CP 4 CP 5 CP 6 CP 7 CP 8 CP 9 CP 10	0%Corymbia (Cc)+ Largura - [mm] 50,03 50,01 49,92 49,90 50,05 50,01 50,00 50,01 50,02 50,04 orimbia (Cc) 25%+ Largura - [mm] 50,06 49,89 50,06 49,99 50,08 49,99 50,05	Teca (Tc) 50% Espessura - [mm] 12,17 12,35 12,24 12,55 12,23 12,38 12,22 12,58 12,42 12,46 Teca (Tc) 75% Espessura - [mm] 12,71 12,98 12,74 13,16 12,78 13,11 12,75	MOR [Mpa] 13,68 10,76 14,90 14,80 13,98 14,75 13,19 17,51 12,70 13,96 MOR [Mpa] 13,70 15,41 14,95 12,77 13,54 13,48 16,06	MOE [Mpa] 2173,76 1865,50 2340,43 2100,11 2193,46 2378,47 2167,62 2679,22 2093,33 2056,13 MOE [Mpa] 2049,02 2208,45 2255,83 1973,83 2146,14 2104,93 2448,19
Floral Painel Ch 1 Ch 2 Ch 3 Ch 4 Ch 5 Floral Painel Ch 1 Ch 2 Ch 3	exão e Módu Posição P 2 P 9 P 2 P 9 P 2 P 9 P 2 P 9 P 2 P 9 P 2 P 9 P 2 P 9 P 2 P 9 P 2 P 9 P 2 P 9 P 2 P 9 P 2 P 9	Corpo de Prova CP 1 CP 2 CP 3 CP 4 CP 5 CP 6 CP 7 CP 8 CP 9 CP 10 COrpo de Prova CP 1 CP 2 CORPO de Prova CP 1 CP 2 CP 3 CP 4 CP 5 CP 6 CP 7 CP 8 CP 9 CP 10	0%Corymbia (Cc)+ Largura - [mm] 50,03 50,01 49,92 49,90 50,05 50,01 50,00 50,01 50,02 50,04 orimbia (Cc) 25% + Largura - [mm] 50,06 49,89 50,06 49,99 50,08 49,99	Teca (Tc) 50% Espessura - [mm] 12,17 12,35 12,24 12,55 12,23 12,38 12,22 12,58 12,42 12,46 Teca (Tc) 75% Espessura - [mm] 12,71 12,98 12,74 13,16 12,78 13,11	MOR [Mpa] 13,68 10,76 14,90 14,80 13,98 14,75 13,19 17,51 12,70 13,96 MOR [Mpa] 13,70 15,41 14,95 12,77 13,54 13,48	MOE [Mpa] 2173,76 1865,50 2340,43 2100,11 2193,46 2378,47 2167,62 2679,22 2093,33 2056,13 MOE [Mpa] 2049,02 2208,45 2255,83 1973,83 2146,14 2104,93

	Flexão e Módulo de Elasticidade Teca (TC) 100%								
Painel	Posição	Corpo de Prova	Largura - [mm]	Espessura - [mm]	MOR [Mpa]	MOE [Mpa]			
Ch 1	P 2	CP 1	50,25	12,31	12,30	1855,39			
CHI	P 9	CP 2	50,18	12,29	12,11	1986,43			
Ch 2	P 2	CP 3	50,23	12,25	13,42	2285,11			
Cn Z	P 9	CP 4	50,26	12,27	10,58	1968,88			
Ch 3	P 2	CP 5	50,27	12,23	14,51	2304,26			
CII 5	P 9	CP 6	50,21	12,25	12,34	2111,12			
Ch 4	P 2	CP 7	50,19	12,22	12,66	2067,10			
CII 4	P 9	CP 8	50,24	12,21	12,71	1869,48			
Ch F	P 2	CP 9	50,28	12,24	11,66	1870,54			
Ch 5	P 9	CP 10	50,24	12,25	12,83	1736,41			

Resultados do Módulo de Ruptura (MOR) na Flexão Estática

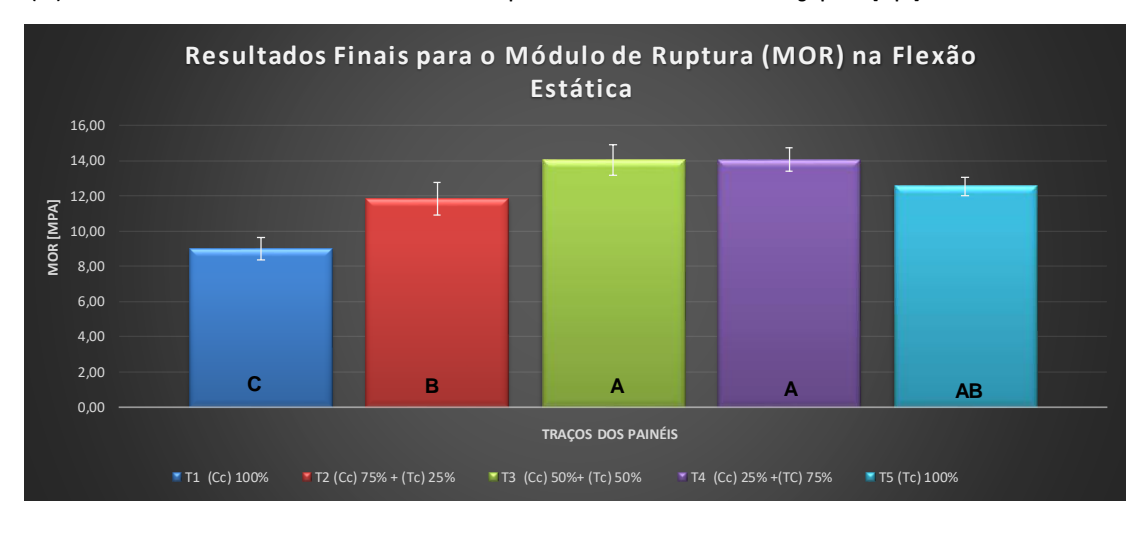
Resultados	T1 (Cc) 100%	T2 (Cc) 75% + (Tc) 25%	T3 (Cc) 50%+ (Tc) 50%	T4 (Cc) 25% +(TC) 75%	T5 (Tc) 100%
Máximo	11,18	15,15	17,51	16,06	14,51
Média	9,01	11,84	14,02	14,06	12,51
Mínima	7,46	9,35	10,76	12,35	10,58
Desvio Padrão	1,27	1,83	1,74	1,36	1,04

(CC) → Corymbia

Resultado - [N/mm²] = Mpa

(TC) → Teca

O resultado no relatório da maquina universal de ensaios esta em mega pascal [Mpa]



Anova fator único- MOR

Anova: fator único

RESUMO

Grupo	Contagem	Soma	Média	Variância
T1 (Cc) 100%	10	90,15	9,015	1,629116667
T2 (Cc) 75% +(Tc) 25%	10	117,42	11,742	3,128195556
T3 (Cc) 50%+(Tc) 50%	10	140,23	14,023	3,030601111
T4 (Cc) 25% +(TC) 75%	10	140,54	14,054	1,84816
T5 (Tc) 100%	10	125,12	12,512	1,074817778

ANOVA

Fonte da variação	SQ	gl	MQ	F	valor-P	F crítico
Entre grupos	171,880348	4	42,970087	20,05906257	0,0000000015	2,578739
Dentro dos grupos	96,39802	45	2,142178222			
Total	268,278368	49				

Resultados do Módulo de elasticidade (MOE) na Flexão Estática

Resultados	T1 (Cc) 100%	T2 (Cc) 75% + (Tc) 25%	T3 (Cc) 50%+ (Tc) 50%	T4 (Cc) 25% +(TC) 75%	T5 (Tc) 100%
Máximo	2174,00	2421,00	2679,00	2448,00	2304,00
Média	1738,40	1929,00	2205,00	2145,00	1996,00
Mínima	1426,00	1654,00	1866,00	1943,00	1736,00
Desvio Padrão	262,30	244,60	220,00	163,20	190,50

(CC) → Corymbia (TC) → Teca

Resultado - [N/mm²] = Mpa

TC) → Teca O resultado no relatório da maquina universal de ensaios esta em mega pascal [Mpa]



Anova fator único- MOE

Anova: fator único

RESUMO

ILLOUIVIO				
Grupo	Contagem	Soma	Média	Variância
T1 (Cc) 100%	10	17384,02	1738,402	68805,25053
T2 (Cc) 75% +(Tc) 25%	10	19287,27	1928,727	59814,8932
T3 (Cc) 50%+(Tc) 50%	10	22048,03	2204,803	48524,26085
T4 (Cc) 25% +(TC) 75%	10	21451,04	2145,104	26629,25769
T5 (Tc) 100%	10	19964,72	1996,472	36274,41753

ΑN	OVA	
\neg	OVA	

Fonte da variação	SQ	gl	MQ	F	valor-P F crítico
Entre grupos	1364887,473	4	341221,8683	7,107365087	0,000159395 2,578739
Dentro dos grupos	2160432,718	4:	48009,61596		
Total	3525320,191	49)		

Grupos de Tukey para MOR e MOE

	N	Mean	Grouping		N	Mean Grouping
4 (Cc) 25% +(TC) 75%	10	14,054	A	T3 (Cc) 50%+(Tc) 50%	10	2204,8 A
3 (Cc) 50%+(Tc) 50%	10	14,023	A	T4 (Cc) 25% +(TC) 75%	10	2145,1 A
5 (Tc) 100%	10	12,512	A B	T5 (Tc) 100%	10	1996,5 A B
2 (Cc) 75% +(Tc) 25%	10	11,742	В	T2 (Cc) 75% +(Tc) 25%	10	1928,7 A B
1 (Cc) 100%	10	9,015	C	T1 (Cc) 100%		1738,4 B

Faculdade de Engenharia de Bauru - Laboratório de Construção Civil

Relatório de Ensaio

Máquina: Emic	DL30000N	Célula: Trd 26	Extensômetro: -	Data: 18/12/2018	8 Hora: 10:5	1:56 Trabalh	no n° 3626
Programa. Tesc	versão 1.13	Méto	do de Ensaio. Pair	nel Aglomerado Fl	lexão estática	MOE-NBR	14810-2 2013
Ident. Amostra:	>>>>>>>>	>>>> Material: Pa	inel aglomerado	Traço: 100% T	eca Projeto P	esquisa: doute	orado Valter
Corpo de Prova	espessura	largura	P est	velocidade carga	carga ruptura P	MOR	MOE 10% a 50%
riova	(mm)	(mm)	(N)	(mm/min)	(N)	(MPa)	(MPa)
CP 1	12,26	50,04	270,94	7	246,69	12,30	1855,39
CP 2	12,42	49,95	270,94	7	248,77	12,11	1896,43
CP 3	12,19	50,03	270,94	7	266,09	13,42	2285,11
CP 4	12,45	49,60	270,94	7	216,89	10,58	1968,88
CP 5	11,98	50,16	270,94	7	278,56	14,51	2304,26
CP 6	12,32	49,82	270,94	7	248,77	12,34	2111,12
CP 7	12,43	50,20	270,94	7	261,93	12,66	2067,10
CP 8	12,62	49,79	270,94	7	268,86	12,71	1869,48
CP 9	12,13	50,15	270,94	7	229,36	11,66	1870,54
CP 10	12,27	49,92	270,94	7	257,08	12,83	1736,41
Número CPs	10	10	10	10	10	10	10
Média	12,31	49,97	270,9	7,000	252,3	12,51	1996
Desv.Padrão	0,1832	0,1899	0,0000	0.0000	18,58	1.038	190,5
Coef.Var.(%)	1,488	0,3800	0,0000	0.0000	7.363	8,295	9,540
Mínimo	11,98	49,60	270,9	7,000	216,9	10,58	1736
Máximo	12,62	50,20	270,9	7,000	278,6	14,51	2304
Força (N) 400,0 320,0							
240,0							
160,0							
80,0	///			7			
0,0 0,00 CP 1 CP		0,00 9,00 CP 5 CP 6 CF	12,00 7 CP 8 CP 9 C	15,00 Deform	nação (mm)		

Observação: Ensaio Flexão estática definitivos , 100% Teca + geração de modulos MOR e MOE - NBR 14810-2 (2013)

Faculdade de Engenharia de Bauru - Laboratório de Construção Civil

Relatório de Ensaio

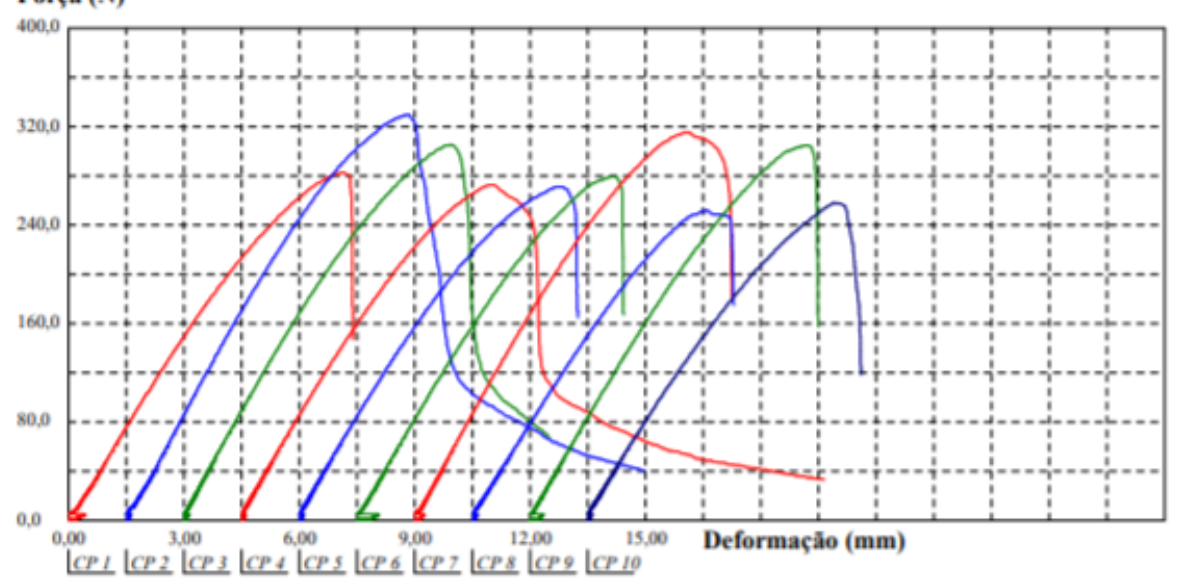
Máquina: Emic DL30000N Célula: Trd 26 Extensômetro: - Data: 18/12/2018 Hora: 10:54:46 Trabalho nº 3627

Programa: Tesc versão 1.13 Método de Ensaio: Painel Aglomerado Flexão estática MOE NBR 14810-2 2013

Ident. Amostra: > Material: Painel aglomera(Traço: Teca (TC) 75%+ 25% Corymbia (CProjeto Pesquisa: Doutorado Valter

Corpo de Prova	espessura (mm)	largura (mm)	P est (N)	velocidade carga (mm/min)	carga ruptura P (N)	MOR (MPa)	MOE 10% a 50% (MPa)
	12.46	40.05	202.12	-	202.72	12.70	2040.02
CP 1	12,46	49,85	293,12	7	282,72	13,70	2049,02
CP 2	12,68	49,92	293,12	7	329,84	15,41	2208,45
CP 3	12,38	50,00	293,12	7	305,59	14,95	2255,83
CP 4	12,67	49,93	293,12	7	273,02	12,77	1973,83
CP 5	12,25	50,00	293,12	7	270,94	13,54	2146,14
CP 6	12,48	50,01	293,12	7	279,95	13,48	2104,93
CP 7	12,15	49,86	293,12	7	315,29	16,06	2448,19
CP 8	12,39	49,90	293,12	7	252,23	12,35	2002,51
CP9	12,08	50,00	293,12	7	304,90	15,67	2318,98
CP 10	12,42	49,81	293,12	7	258,47	12,61	1943,16
Número CPs	10	10	10	10	10	10	10
Média	12,40	49,93	293,1	7,000	287,3	14,06	2145
Desv.Padrão	0,1970	0,07285	0,0000	0,0000	25,48	1.360	163,2
			-,				
Coef.Var.(%)	1,590	0,1459	0,0000	0,0000	8,870	9,675	7,607
Mínimo	12,08	49,81	293,1	7,000	252,2	12,35	1943
Máximo	12,68	50,01	293,1	7,000	329,8	16,06	2448

Força (N)



Observação: Ensaio Flexão estática definitivos , 75% Teca (Tc) +25% Corymbia (Cc) +geração de modulos MOR e MOE - NBR 14810-2 (2013)

Faculdade de Engenharia de Bauru - Laboratório de Construção Civil

Relatório de Ensaio

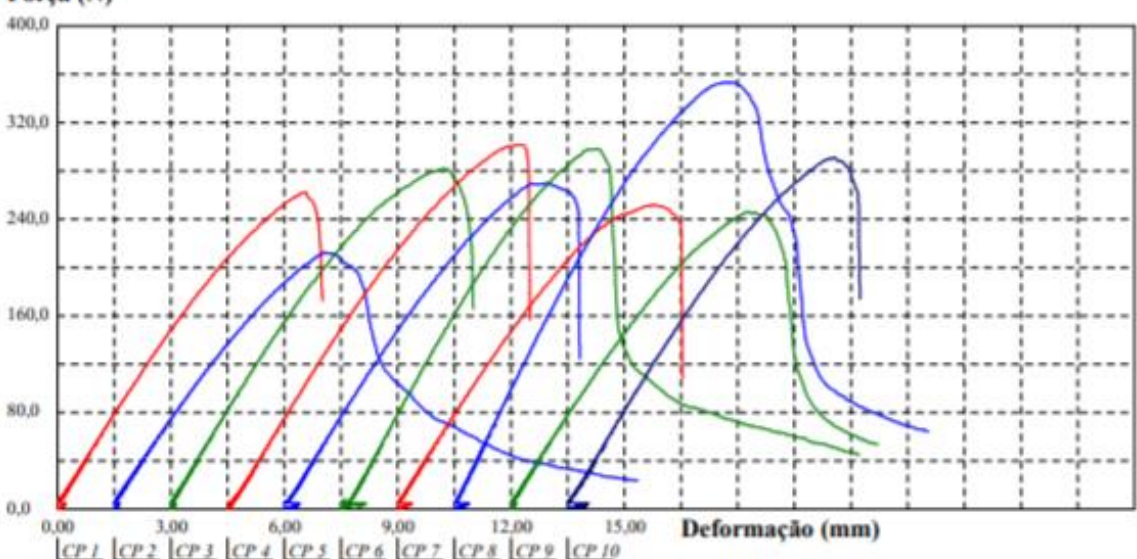
Máquina: Emic DL30000N Cétula: Trd 26 Extensômetro: - Data: 18/12/2018 Hora: 10:55:44 Trabalho nº 3628

Programa: Tesc versão 1.13 Método de Ensaio: Painel Aglomerado Flexão estática MOE NBR 14810-2 2013

Ident. Amostra: > Material: Painel aglomerado Traço: Teca (TC) 50% Corymbia 50% Projeto Pesquisa: Doutorado Valter

Corpo de Prova	espessura	largura	P est	velocidade carga	carga ruptura P	MOR	MOE 10% a 50%
Flova	(mm)	(mm)	(N)	(mm/min)	(N)	(MPa)	(MPa)
CP 1	12,00	50,01	273,02	7	262,63	13,68	2173,76
CP 2	12,20	49,83	273,02	7	212,73	10,76	1865,50
CP3	11,91	50,04	273,02	7	282,03	14,90	2340,43
CP 4	12,37	49,91	273,02	7	301,43	14,80	2100,11
CP 5	12,04	50,00	273,02	7	270,25	13,98	2193,46
CP 6	12,35	49.78	273,02	7	298,66	14,75	2378,47
CP7	11,97	50,06	273,02	7	252,23	13,19	2167,62
CP8	12,31	49,94	273,02	7	353,40	17,51	2679,22
CP9	12,05	50,02	273,02	7	246,00	12,70	2093,33
CP 10	12,52	49,87	273,02	7	291,04	13,96	2056,13
Número CPs	10	10	10	10	10	10	10
Média	12,17	49.95	273.0	7,000	277.0	14,02	2205
Desv.Padrão	0,2063	0.09571	0,0000	0,0000	38,13	1,742	220,3
Coef.Var.(%)	1,695	0,1916	0,0000	0,0000	13,76	12,43	9,991
Mínimo	11.91	49,78	273.0	7,000	212,7	10,76	1866
Máximo	12,52	50,06	273,0	7,000	353,4	17,51	2679

Força (N)



Observação: Ensaio Flexão estática definitivos , 50% Teca +50% Corymbia (Cc) + geração de modulos MOR e MOE- norma NBR14810-2 (2013)

Faculdade de Engenharia de Bauru - Laboratório de Construção Civil

Relatório de Ensaio

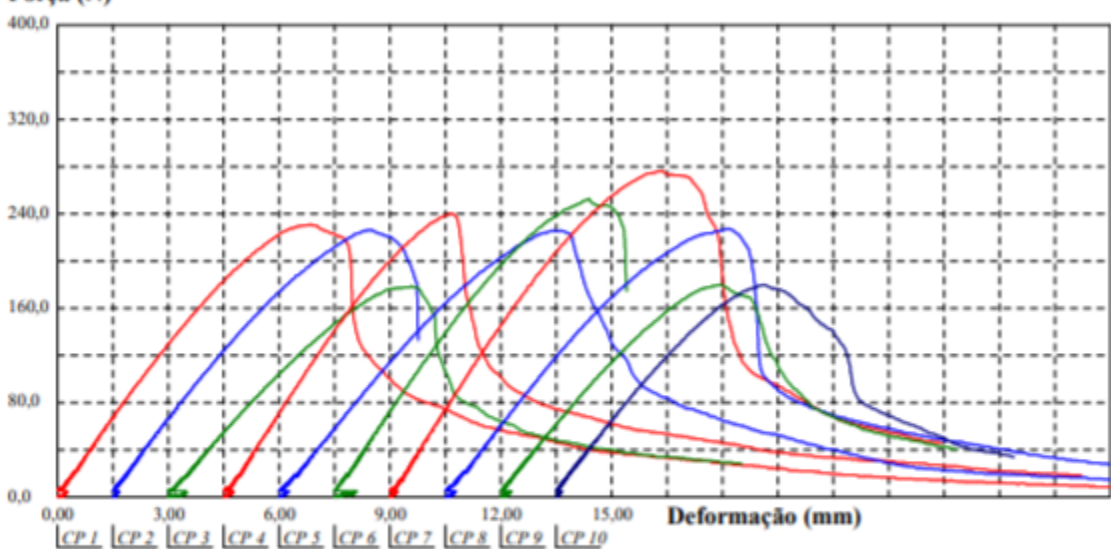
Máquina: Emic DL30000N Célula: Trd 26 Extensômetro: - Data: 18/12/2018 Hora: 10:56:39 Trabalho nº 3629

Programa: Tesc versão 1.13 Método de Ensaio: Painel Aglomerado Flexão estática MOE NBR 14810-2 2013

Ident. Amostra: > Material: Painel aglomerado Traço: Teca (TC) 25%+Corymbia 75% Projeto Pesquisa: Doutorado Valter

Corpo de	espessura	largura	P est	velocidade	carga	MOR	MOE
Prova				carga	ruptura P		10% a 50%
	(mm)	(mm)	(N)	(mm/min)	(N)	(MPa)	(MPa)
CP 1	11,73	50,06	171,16	7	231,44	12,60	2095,49
CP 2	12,42	49,98	171,16	7	226,59	11,02	1654,36
CP 3	11,67	50,05	171,16	7	178,78	9,84	1687,82
CP 4	11,96	49,92	171,16	7	240,45	12,63	2144,32
CP 5	11,54	49,98	171,16	7	225,90	12,73	1870,64
CP 6	11,97	49,88	171,16	7	252,92	13,27	2063,91
CP 7	11,70	50,01	171,16	7	276,48	15,15	2421,45
CP8	11,90	50,00	171,16	7	227,29	12,04	1813,03
CP 9	11,76	49,91	171,16	7	180,17	9,79	1793,19
CP 10	12,01	50,09	171,16	7	180,17	9,35	1742,95
Número CPs	10	10	10	10	10	10	10
Média	11.87	49,99	171.2	7,000	222,0	11.84	1929
Desv.Padrão	0,2473	0,06877	0,0000	0,0000	32,98	1,828	244,6
Coef.Var.(%)	2,084	0,1376	0,0000	0,0000	14,85	15,44	12,68
Mínimo	11,54	49,88	171,2	7,000	178,8	9,351	1654
Máximo	12,42	50,09	171,2	7,000	276,5	15,15	2421

Força (N)



Observação: Ensaio Flexão estática definitivos , 25% Teca +75% Corymbia +geração de modulos MOR e MOE - NBR 14810-2 (2013)

Faculdade de Engenharia de Bauru - Laboratório de Construção Civil

Relatório de Ensajo

Extensômetro: - Data: 18/12/2018 Hora: 10:57:19 Trabalho n° 3630 Máguina: Emic DL30000N Célula: Trd 26 Método de Ensaio: Painel Aglomerado Flexão estática MOE NBR14810-2 2013 Programa: Tesc versão 1.13 Ident. Amostra: >>>>>> Material: Painel aglomerado Traço: 100% Corymbia Projeto Pesquisa: Doutorado Valter P est MOR MOE Corpo de espessura largura velocidade carga ruptura P 10% a 50% Prova carga (MPa) (MPa) (mm) (mm) (N) (mm/min) (N) CP 1 11,40 49,92 151,06 193,33 11,18 2174,49 CP 2 11,84 49,83 151,06 7 161,46 8,67 1504,11 CP3 11,52 49,88 151,06 7 180,86 10,25 1854,85 CP 4 11,65 49,77 151,06 7 134,43 7,46 1505,83 CP 5 11,32 50,12 151,06 7 157,99 1796,20 9,22 CP 6 11,47 49,88 151,06 7 161,46 9,23 1939,74 11,56 49,89 151,06 7 185,71 10,45 2046,49 CP 7 7 CP8 12,05 49,96 151,06 151,06 7,81 1646,37 CP 9 11,50 50,03 151,06 7 140,67 7.97 1489,45 **CP 10** 11,69 50,03 151,06 144,13 7,91 1426,49 10 10 10 10 Número CPs 10 10 10 Média 11,60 49,93 151,1 7,000 161,1 9,014 1738 0.1050 0.0000 0.0000 19,89 1,274 262.3 Desy Padrão 0,2171 Coef.Var.(%) 1,871 0,2104 0,0000 0,0000 12,35 14,14 15,09 11,32 49,77 151,1 7,000 7,463 Minimo 134,4 1426 Máximo 12,05 50,12 151,1 7,000 193,3 11,18 2174 Força (N) 400,0 320.0 240.0

Observação: Ensaio Flexão estática definitivos , 100 % Corymbia (Cc) +geração de modulos MOR e MOE - NBR 14810-2 (2013)

15,00

12.00

CP1 CP2 CP3 CP4 CP5 CP6 CP7 CP8 CP9 CP10

Deformação (mm)

160,0

80,0

APÊNDICE F - ENSAIOS MECÂNICOS TRAÇÃO PERPENDICULAR

		Tração	Perpendic	ular Corym	bia (Cc) 75	5% + Teca (1	Гс) 2 5%		
Painel	Posição	Corpo de Prova	Lado A	Lado B	Lado C	Lado D	Comprimento	Largura	Área
Painei	Posição	Corpo de Prova	[mm]	[mm]	[mm]	[mm]	[mm]	[mm]	[mm²]
Ch 1 P 5	CP 1	50,02	50,00	50,26	50,29	50,01	50,28	2514,25	
CILI	P 8	CP 2	50,10	50,15	50,02	50,30	50,13	50,16	2514,27
Ch 2	P 5	CP 3	50,16	50,31	50,20	50,25	50,24	50,23	2523,05
CII Z	P 8	CP 4	50,11	50,15	49,78	50,31	50,13	50,05	2508,76
Ch 3	P 5	CP 5	50,23	50,10	50,27	50,29	50,17	50,28	2522,30
CII 3	P 8	CP 6	50,16	50,12	50,32	50,30	50,14	50,31	2522,54
Ch 4	P 5	CP 7	50,05	50,01	50,20	50,38	50,03	50,29	2516,01
CII 4	P 8	CP 8	50,11	50,10	50,14	50,22	50,11	50,18	2514,27
Ch 5	P 5	CP 9	50,07	50,14	50,19	50,35	50,11	50,27	2518,78
Cli 5	P 8	CP 10	50,14	50,20	49,90	50,31	50,17	50,11	2513,77

	Tração Perpendicular Corymbia (Cc) 50% + Teca (Tc) 50%											
Painel	Posição	Corpo de Prova	Lado A	Lado B	Lado C	Lado D	Comprimento	Largura	Área			
Palliel	rusiçau	Corpo de Prova	[mm]	[mm]	[mm]	[mm]	[mm]	[mm]	[mm²]			
Ch 1	P 5	CP 1	50,05	50,14	50,12	50,12	50,10	50,12	2510,76			
CILI	P 8	CP 2	50,11	49,85	50,15	50,25	49,98	50,20	2509,00			
Ch 2	P 5	CP 3	50,16	50,16	50,10	50,09	50,16	50,10	2512,77			
CII Z	P 8	CP 4	50,07	50,03	50,36	50,22	50,05	50,29	2517,01			
Ch 3	P 5	CP 5	50,02	50,03	50,18	50,20	50,03	50,19	2510,75			
CII 3	P 8	CP 6	50,11	50,05	50,28	50,35	50,08	50,32	2519,78			
Ch 4	P 5	CP 7	50,06	50,12	50,26	50,32	50,09	50,29	2519,03			
CII 4	P 8	CP 8	50,08	50,07	50,22	50,24	50,08	50,23	2515,27			
Ch 5	P 5	CP 9	49,99	50,00	50,34	50,26	50,00	50,30	2514,75			
Cil 5	P 8	CP 10	50,02	50,10	50,27	50,28	50,06	50,28	2516,77			

	Tração Perpendicular Corymbia (Cc) 25% + Teca (Tc) 75%											
Painel	Posição	Corpo de Prova	Lado A	Lado B	Lado C	Lado D	Comprimento	Largura	Área			
Palifei	Posição	Corpo de Prova	[mm]	[mm]	[mm]	[mm]	[mm]	[mm]	[mm²]			
Ch 1	P 5	CP 1	50,00	49,91	50,13	50,18	49,96	50,16	2505,49			
CILI	P 8	CP 2	50,01	49,90	50,19	50,32	49,96	50,26	2510,49			
Ch 2	P 5	CP 3	50,06	50,02	50,26	50,28	50,04	50,27	2515,51			
CII Z	P 8	CP 4	50,01	49,92	50,09	50,25	49,97	50,17	2506,74			
Ch 3	P 5	CP 5	50,13	50,11	50,26	50,26	50,12	50,26	2519,03			
CIIS	P 8	CP 6	50,21	50,06	50,08	50,36	50,14	50,22	2517,78			
Ch 4	P 5	CP 7	50,13	50,07	50,29	50,22	50,10	50,26	2517,78			
CH 4	P 8	CP 8	50,02	49,86	50,25	50,24	49,94	50,25	2509,24			
Ch F	P 5	CP 9	50,13	50,12	50,26	50,27	50,13	50,27	2519,53			
Ch 5	P 8	CP 10	50,06	50,08	50,01	50,38	50,07	50,20	2513,26			

	Tração Perpendicular Teca (Tc) 100%										
Painel	Posição	ção Corpo de Prova	Lado A	Lado B	Lado C	Lado D	Comprimento	Largura	Área		
raillei	Posição	Corpo de Prova	[mm]	[mm]	[mm]	[mm]	[mm]	[mm]	[mm²]		
Ch 1	P 5	CP 1	50,14	50,18	50,27	50,33	50,16	50,30	2523,05		
Ch 1 P8	CP 2	50,07	50,23	50,20	49,81	50,15	50,01	2507,75			
Ch 2	CP 3	50,05	50,07	50,25	50,32	50,06	50,29	2517,27			
CIIZ	P 8	CP 4	50,02	50,04	49,90	50,31	50,03	50,11	2506,75		
Ch 3	P 5	CP 5	50,11	50,00	50,37	50,32	50,06	50,35	2520,02		
Cli 3	P 8	CP 6	50,01	50,02	50,27	50,42	50,02	50,35	2518,01		
Ch 4	P 5	CP 7	50,32	50,45	50,41	50,40	50,39	50,41	2539,66		
Cn 4	P 8	CP 8	50,32	50,32	50,14	50,38	50,32	50,26	2529,08		
Ch 5	P 5	CP 9	50,44	50,39	50,27	50,12	50,42	50,20	2530,58		
Cli 5	P 8	CP 10	50,31	50,33	40,42	50,41	50,32	45,42	2285,28		

Resultados do Ensaio de Tração Perpendicular

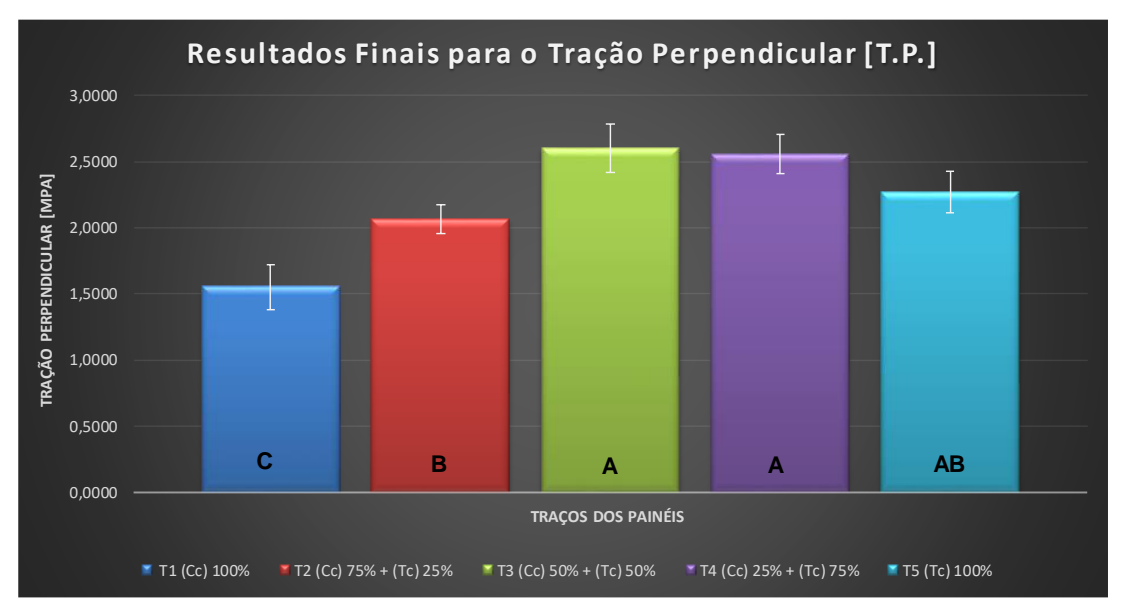
Resultados	T1 (Cc) 100%	T2 (Cc) 75% + (Tc) 25%	T3 (Cc) 50% + (Tc) 50%	T4 (Cc) 25% + (Tc) 75%	T5 (Tc) 100%
Máximo	2,0730	2,3990	3,4590	3,0390	2,8200
Média	1,5510	2,0640	2,6060	2,5580	2,2710
Mínima	0,9793	1,6840	2,1190	2,0980	1,8900
Desvio Padrão	0,3419	0,2206	0,3658	0,2910	0,3091

(Cc) → Corymbia

Resultado - [N/mm²] = Mpa

(Tc) → Teca

O resultado no relatório da maquina universal de ensaios esta em mega pascal [Mpa]



Anova fator único - Tração perpendicular

Anova: fator único

RESUMO

Grupo	Contagem	Soma	Média	Variância
T1 (Cc) 100%	10	15,52	1,552	0,116262222
T2 (Cc) 75% + (Tc) 25%	10	20,63	2,063	0,04869
T3 (Cc) 50% + (Tc) 50%	10	26,06	2,606	0,133648889
T4 (Cc) 25% + (Tc) 75%	10	25,58	2,558	0,08464
T5 (Tc)100%	10	22,71	2,271	0,09601

ANOVA

Fonte da variação	SQ	gl	MQ	F	valor-P	F crítico
Entre grupos	7,36214	4	1,840535	19,20219857	0,0000000028	2,578739
Dentro dos grupos	4,31326	45	0,095850222			
Total	11,6754	49				

Grupos de Tukey Tração perpendicular

Grouping Information Using Tukey Method

			N	Mean	Grouping
T5	(Tc)	100%	10	2,0814	A
T4	(Cc)	25% + (Tc) 75%	10	1,9823	A
T3	(Cc)	50% + (Tc) 50%	10	1,9640	AB
T2	(Cc)	75% + (Tc) 25%	10	1,6482	В
Tl	(Cc)	100%	10	1,3227	C

Means that do not share a letter are significantly different.

Faculdade de Engenharia de Bauru - Laboratório de Construção Civil

Relatório de Ensaio

Extensômetro: - Data: 21/01/2019 Hora: 12:11:10 Trabalho nº 3651 Máguina: Emic DL30000N Célula: Trd 26 Painel aglomerado Tração Perpendicular NBR 14810-2-2013 Programa: Tesc versãoMétodo1,13 de Ensaio Ident. Amostra: >>>>>> Material: Painel Aglomerado Traço: 100% Teca (TC) Proj. Pesquisa: Doutorado Valter (MPa) (mm) (mm) (mm2) (N) CP 1 50,30 50,16 2523,05 5771,47 2,29 CP 2 50,01 50,15 2508,00 4834,82 1,93 2517,52 6154,98 CP3 50,29 50,06 2,44 CP 4 50,35 50,06 2520,52 6591,81 2,62 CP 5 50,35 50,02 2518,51 7098,55 2,82 50,41 50,39 2540,16 5364,41 CP 6 2.11 CP 7 50,32 50,26 2529,08 4782,21 1.89 CP8 50,20 50,42 2531,08 4962,89 1,96 CP9 45,42 50,32 2285,53 5072,96 2,22 **CP 10** 50,11 50,03 2507,00 6084,37 2,43 Número CPs 49,77 50,19 2,270 Média 2498 5672 Desy Padrão 1,533 0,1554 75,35 798.8 0.3091 3,080 Coef.Var.(%) 0,3097 3,016 14,08 13,61 Minimo 45,42 50,02 2286 4782 1,891 50,42 2540 2.819 Máximo 50,41 7099 Força (N) 7500 6000 3000 1500

Observação: Tração perpendicular Carga 2000 N - norma NBR 14810-3- Doutorado Valter Teca 100% (Tc)

CP 1 CP 2 CP 3 CP 4 CP 5 CP 6 CP 7 CP 8 CP 9 CP 10

Tempo (s)

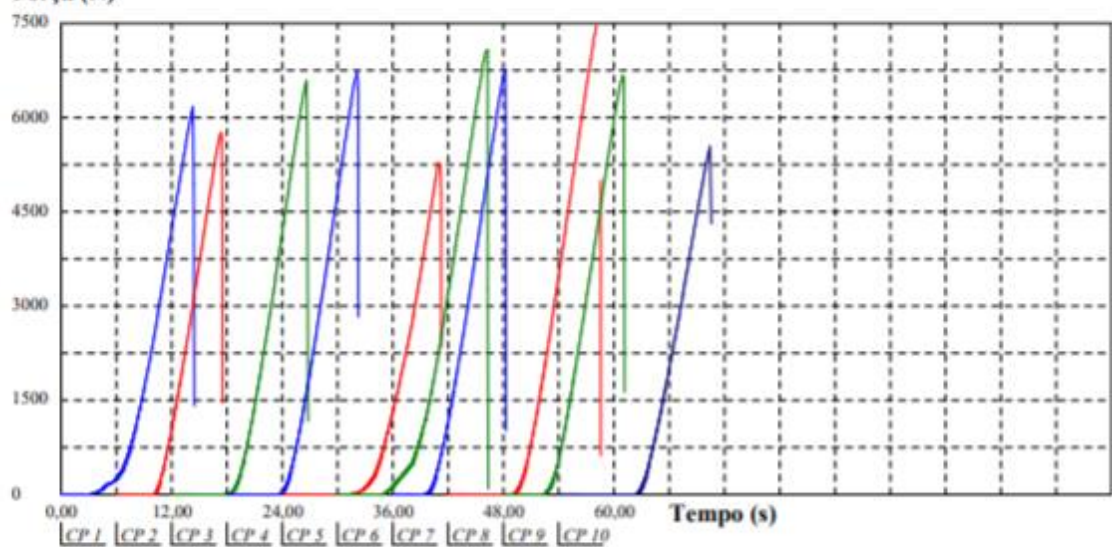
Faculdade de Engenharia de Bauru - Laboratório de Construção Civil

Relatório de Ensaio

Máquina: Emic DL30000N Cétula: Trd 26 Extensômetro: - Data: 21/01/2019 Hora: 12:16:10 Trabalho nº 3652 Programa: Tesc versã/Método de Ensaio: Painel aglomerado Tração Perpendicular NBR 14810-2-2013 Ident. Amostra: >>>>>> Material: Painel aglomerado Tração: 100% Corymbia (CC) Proj. Pesquisa: Doutorado Valter

Corpo de	L	C	S	P	TP
Prova	(mm)	(mm)	(mm2)	(N)	(MPa)
CP 1	50,16	49.96	2505,99	6177,14	2,46
CP 2	50,26	49,96	2510,99	5766,62	2,30
CP3	50,27	50,04	2515,51	6592,50	2,62
CP4	50,17	49,97	2506,99	6744,80	2,69
CP 5	50,26	50,12	2519,03	5286,18	2,10
CP6	50,26	50,10	2518,03	7084,01	2,81
CP7	50,25	49,94	2509,48	6764,88	2,70
CP8	50,27	50,13	2520,04	7657,91	3,04
CP9	50,20	50,07	2513,51	6679,73	2,66
CP 10	50,22	50,14	2518,03	5543,71	2,20
Número CPs	10	10	10	10	10
Média	50,23	50,04	2514	6430	2,558
Desv.Padrão	0,04185	0,07931	5,151	732,8	0,2910
Coef.Var.(%)	0.08331	0,1585	0,2049	11,40	11,38
Mínimo	50,16	49,94	2506	5286	2,098
Máximo	50,27	50,14	2520	7658	3,039

Força (N)



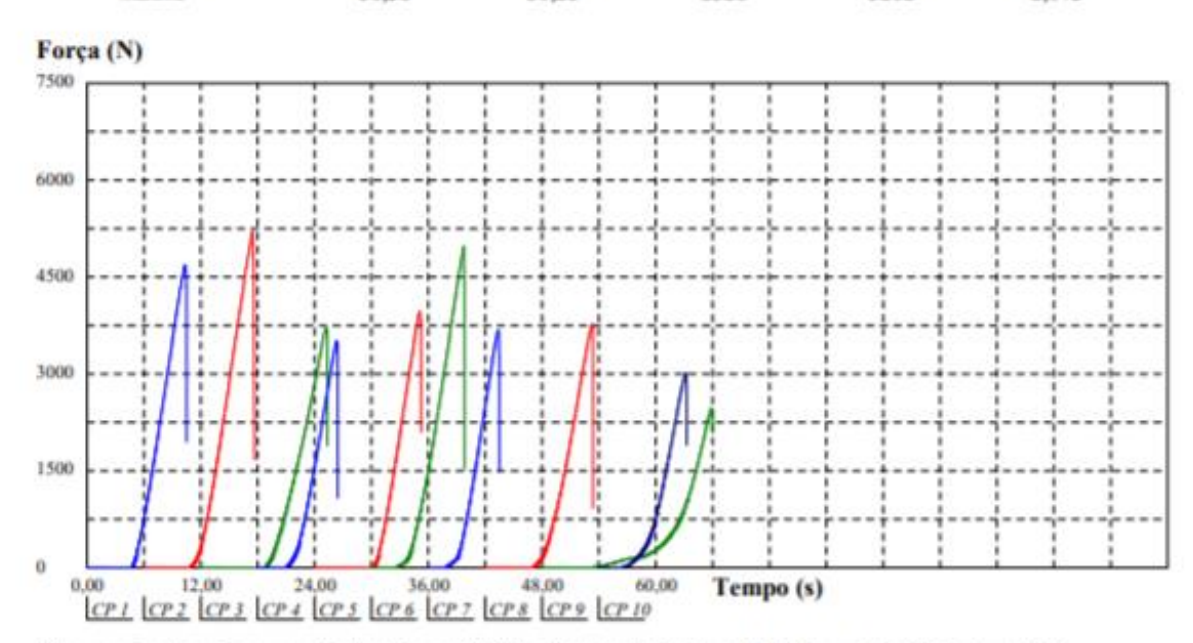
Observação: Tração perpendicular Carga 2000 N - Doutorado Valter Teca (Tc) 75% + 25% Corymbia (Cc) NBR 14810-2 (2013)

Faculdade de Engenharia de Bauru - Laboratório de Construção Civil

Relatório de Ensaio

Máquina: Emic DL30000N Cétula: Trd 26 Extensômetro: - Data: 21/01/2019 Hora: 12:17:31 Trabalho nº 3653
Programa: Tesc versã/Método de Ensaio: Paínel aglomerado Tração Perpendicular NBR 14810-2-2013
Ident. Amostra: > Material: Paínel aglomerado Traço: 100 % Corymbia Citriodora (Cc) Proj. Pesquisa: Doutorado Valter

Corpo de	L	C	S	P	TP
Prova	(mm)	(mm)	(mm2)	(N)	(MPa)
CP 1	50,38	50,05	2521,52	4686,68	1,86
CP 2	50,01	50,18	2509,50	5202,42	2,07
CP3	50,07	50.28	2517.52	3718,88	1.48
CP4	50,07	49.94	2500,50	3512,58	1,40
CP 5	50,27	50,00	2513,50	3971,56	1,58
CP 6	49,90	50,11	2500,49	4976,74	1,99
CP 7	50,32	50,20	2526,06	3678,04	1,46
CP8	50,25	50.07	2516,02	3770.11	1,50
CP9	50,28	50,19	2523,55	2471,41	0,98
CP 10	50,15	50,24	2519,54	3014,15	1,20
Número CPs	10	10	10	10	10
Média	50.17	50,13	2515	3900	1,551
Desv.Padrão	0.1542	0,1100	8,939	853.4	0,3419
Coef.Var.(%)	0.3074	0,2194	0.3554	21,88	22,04
Mínimo	49,90	49,94	2500	2471	0,9793
Máximo	50,38	50,28	2526	5202	2,073



Observação: Tração perpendicular Carga 2000 N - Doutorado Valter 100 % Corymbia Citriodora (Cc)

Faculdade de Engenharia de Bauru - Laboratório de Construção Civil

Relatório de Ensaio

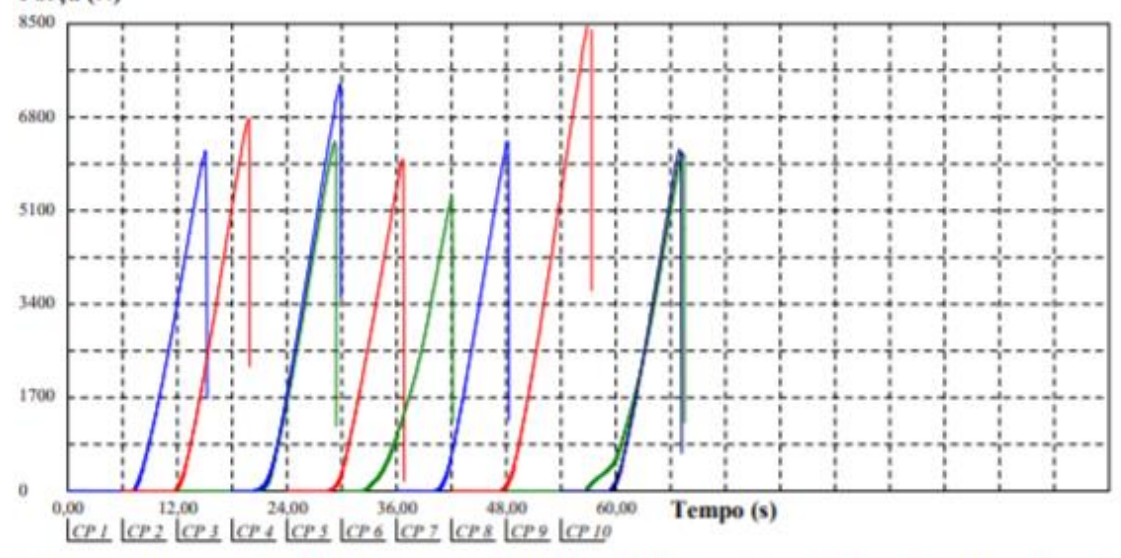
Máquina: Emic DI.30000N Célula: Trd 26 Extensômetro: - Data: 21/01/2019 Hora: 12:19:03 Trabalho nº 3654

Programa: Tesc versā/Método de Ensaio: Painel aglomerado Tração Perpendicular NBR 14810-2-2013

Ident. Amostra: >> Material: Painel aglomerado Tração Vergendicular NBR 14810-2-2013

Corpo de	L	C	S	P	TP
Prova	(mm)	(mm)	(mm2)	(N)	(MPa)
CP 1	50,12	50,10	2511,01	6191,67	2,47
CP 2	50,20	49,98	2509,00	6776,64	2,70
CP3	50,10	50,16	2513,02	6362,67	2,53
CP4	50,29	50,05	2517,01	7403,15	2,94
CP5	50,19	50.03	2511,01	6035,22	2,40
CP 6	50.32	50.08	2520.03	5340,18	2,12
CP7	50.29	50.09	2519.03	6346,74	2,52
CP8	50.23	50.08	2515,52	8701.85	3,46
CP9	50,30	50,00	2515,00	6152,91	2,45
CP 10	50,28	50,06	2517,02	6215,90	2,47
Número CPs	10	10	10	10	10
Média	50.23	50.06	2515	6553	2,606
Desv.Padrão	0.07757	0.05187	3,669	919.7	0.3658
Coef.Var.(%)	0,1544	0.1036	0,1459	14.04	14,04
Mínimo	50,10	49.98	2509	5340	2,119
Máximo	50.32	50.16	2520	8702	3,459

Força (N)



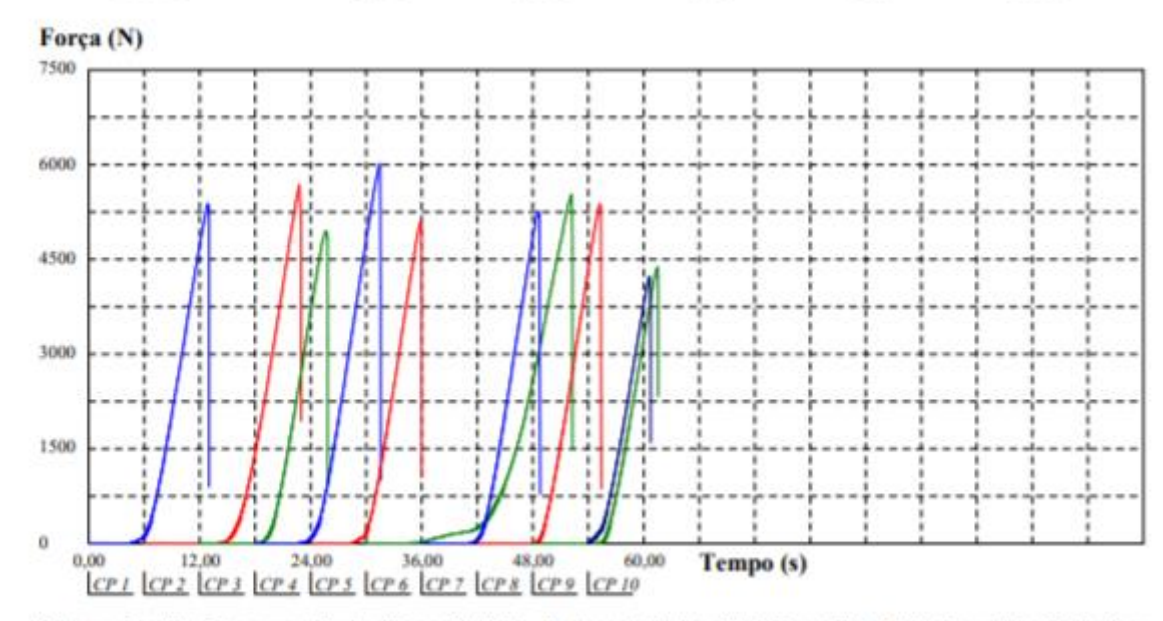
Observação: Tração perpendicular Carga 2000 N - Doutorado Valter 50% Teca (Tc)+ 50% Corymbia Citriodora (Cc) - Norma NBR-14810-2 (2013).

Faculdade de Engenharia de Bauru - Laboratório de Construção Civil

Relatório de Ensaio

Máquina: Emic DI.30000N Célula: Trd 26 Extensômetro: - Data: 21/01/2019 Hora: 12:19:54 Trabalho nº 3655 Programa: Tesc versãiMétodo de Ensaio: Painel aglomerado Tração Perpendicular NBR 14810-2-2013 Ident. Amostra: >> Material: Painel aglomerado Tração Perpendicular NBR 14810-2-2013 Proj. Pesquisa: Doutorado Valter

Corpo de	L	C	S	P	TP
Prova	(mm)	(mm)	(mm2)	(N)	(MPa)
CP1	50,01	50,28	2514,50	5382,41	2,14
CP 2	50,13	50,16	2514,52	5685,62	2,26
CP3	50,24	50,23	2523,56	4955,97	1,96
CP4	50,13	50,05	2509,01	6019,99	2,40
CP5	50,17	50,28	2522,55	5098,58	2,02
CP6	50,14	50,31	2522,54	5534,71	2,19
CP7	50,03	50,29	2516,01	5261,26	2,09
CP8	50,11	50,18	2514,52	5381,03	2,14
CP9	50,17	50,11	2514,02	4388,31	1,75
CP 10	50,11	50,14	2512,52	4231,85	1,68
Número CPs	10	10	10	10	10
Média	50,12	50,20	2516	5194	2,064
Desv.Padrão	0,06687	0.08820	4,864	553.3	0,2206
Coef.Var.(%)	0,1334	0,1757	0,1933	10.65	10,69
Mínimo	50,01	50,05	2509	4232	1,684
Máximo	50,24	50,31	2524	6020	2,399



Observação: Tração perpendicular Carga 2000 N - Doutorado Valter 25% Teca (Tc)+ 75% Corymbia Citriodora (Cc) - Norma NBR-14810-2 (2013).

Força

Newtons [N]

1514,74

1529,25

1347,24

1336,74

159,49

APÊNDICE G - ENSAIOS ARRANCAMENTO DE PARAFUSO TOPO

Arrancamento Parafuso Topo				
		Corymbia (Cc) 10	00%	
Painel	Posição	Corpo de Prova	Força	Força
- unici	i osição	corpo de i lova	[kgf]	Newtons [N]
Ch 1	P 14	CP 1	105,46	1034,21
CHI	P 15	CP 2	102,43	1004,50
Ch 2	P 14	CP 3	120,78	1184,45
	P 15	CP 4	127,35	1248,88
Ch 3	P 14	CP 5	100,88	989,29
CII 3	P 15	CP 6	75,04	735,89
Ch 4	P 14	CP 7	108,08	1059,90
	P 15	CP 8	78,98	774,53
Ch 5	P 14	CP 9	63,96	627,23
	P 15	CP 10	52 38	513 67

CP 10

P 15

Corymbia (Cc) 100% [N]				
Máximo	1248,88			
Média	917,26			
Mínima	513,67			
Desvio Padrão	242,31			

52,38

513,67

	F 13	CF 4	130,31	1330,74
Ch 3	P 14	CP 5	116,90	1146,40
CII 5	P 15	CP 6	142,31	1395,58
Ch 4	P 14	CP 7	171,56	1682,43
CII 4	P 15	CP 8	129,40	1268,98
Ch F	P 14	CP 9	162,08	1589,46
Ch 5	P 15	CP 10	144,36	1415,69
	Corymbia (Cc) 50% +Teca (Tc) 50% [N]			
	Máximo		1	.682,43
	Média		1	422,65
	Mínima		1	146,40

Desvio Padrão

Arrancamento Parafuso Topo Corymbia (Cc) 50% +Teca (Tc) 50%

Corpo de Prova

CP 1

CP 2

CP 3

CP 4

Painel

Ch 1

Ch 2

Posição

P 14

P 15

P 14

P 15

Força

[kgf]

154,46

155,94

137,38

136,31

	Arrancamento Parafuso Topo				
	Cory	/mbia (Cc) 75%+ Teo	ca (Tc) 25%		
Painel	Posição	Corpo de Prova	Força	Força	
Palliel	Posição	Corpo de Prova	[kgf]	Newtons [N]	
Ch 1	P 14	CP 1	121,98	1313,89	
CHI	P 15	CP 2	133,42	1627,51	
Ch 2	P 14	CP 3	105,54	1312,52	
Cli Z	P 15	CP 4	123,96	1322,92	
Ch 3	P 14	CP 5	119,72	1411,57	
Cirs	P 15	CP 6	110,05	1193,47	
Ch 4	P 14	CP 7	143,02	1523,66	
CII 4	P 15	CP 8	111,96	1433,05	
Ch E	P 14	CP 9	130,45	1109,43	
Ch 5	P 15	CP 10	115,35	1588,78	

Corymbia (Cc) 75%+ Teca (Tc) 25% [N]						
Máximo	1627,51					
Média	1383,68					
Mínima	1109,43					
Desvio Padrão	166,45					

	Arrancamento Parafuso Topo				
	Con	ymbia (Cc) 25% +Tec	a (Tc) 75%		
Painel	Posição	Corpo de Prova	Força	Força	
raillei	rosição	Corpo de Prova	[kgf]	Newtons [N]	
Ch 1	P 14	CP 1	133,98	1196,22	
CIII	P 15	CP 2	165,96	1308,40	
Ch 2	P 14	CP 3	133,84	1034,99	
Cli Z	P 15	CP 4	134,90	1215,63	
Ch 3	P 14	CP 5	143,94	1174,05	
Cirs	P 15	CP 6	121,70	1079,22	
Ch 4	P 14	CP 7	155,37	1402,55	
CII 4	P 15	CP 8	146,13	1097,95	
Ch 5	P 14	CP 9	113,13	1279,28	
Cn 5	P 15	CP 10	162,01	1131,20	

Corymbia (Cc) 25% +Teca (Tc) 75% [N]				
1402,55				
1191,95				
1034,99				
113,68				

Arrancamento Parafuso Topo				
		(Tc) 100 % Ted	a	
Painel	Posição	Corpo de Prova	Força	Força
raillei	Posição	Corpo de Piova	[kgf]	Newtons [N]
Ch 1	P 14	CP 1	146,62	1437,85
Cn 1	P 15	CP 2	122,76	1203,86
Ch 2	P 14	CP 3	137,02	1343,71
	P 15	CP 4	158,69	1556,22
Ch 3	P 14	CP 5	173,23	1698,81
CII 3	P 15	CP 6	169,63	1663,50
Ch 4	P 14	CP 7	153,89	1509,15
Cn 4	P 15	CP 8	132,85	1302,81
Ch 5	P 14	CP 9	138,86	1361,75
	P 15	CP 10	126,64	1241,91

(TC) 100 % Teca [N]				
Máximo	1698,81			
Média	1431,96			
Mínima	1203,86			
Desvio Padrão	171,20			

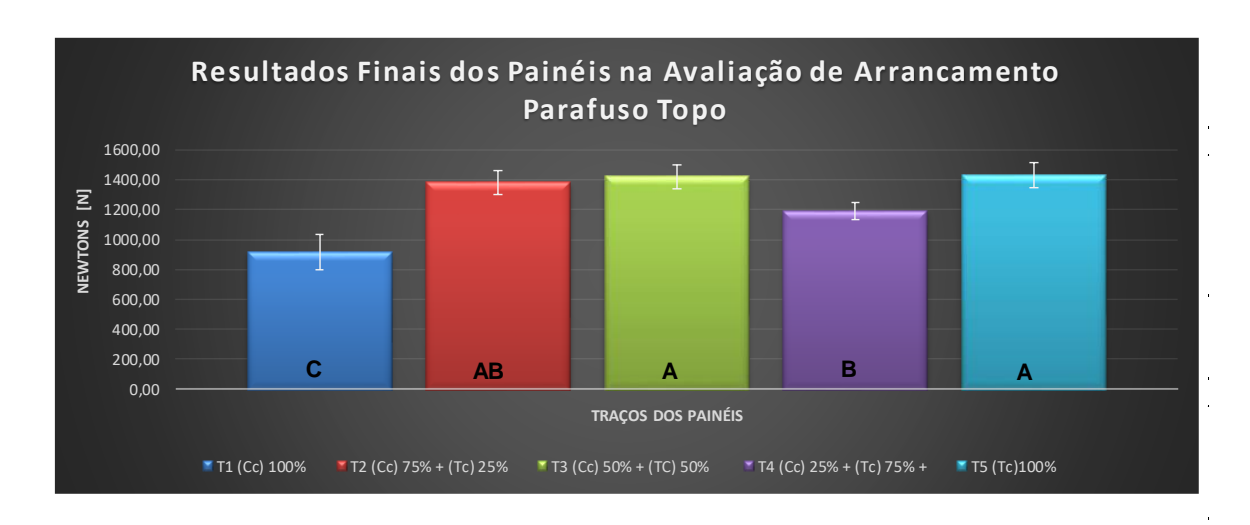
	Resultados do Ensaio de Arrancamento Parafuso Topo em [N]						
Resultados	T1 (Cc) 100%	T2 (Cc) 75% + (Tc) 25%	T3 (Cc) 50% + (TC) 50%	T4 (Cc) 25% + (Tc) 75% +	T5 (Tc)100%		
Máximo	1248,88	1627,51	1682,43	1402,55	1698,81		
Média	917,26	1383,68	1422,65	1191,95	1431,96		
Mínima	513,67	1109,43	1146,40	1034,99	1203,86		
Desvio Padrão	242,31	166,45	159,49	113,68	171,20		

(Cc) → Corymbia

(Tc) → Teca

1 Quilograma Força [kgf] = 9,80665 Newtons [N]

Resultados expressos em Newtons [N]



Anova Fator único- Arrancamento de parafuso Topo

Anova: fator único

RI	ESI	J١	ИO

Grupo	Contagem	Soma	Média	Variância
T1 (Cc) 100%	10	9172,552011	917,2552011	58716,34339
T2 (Cc) 75%+(Tc) 25%	10	13836,79088	1383,679088	27705,29686
T3 (Cc) 50% +(Tc) 50%	10	14226,50715	1422,650716	25436,87856
T4 (Cc) 25% + (Tc) 75%	10	11919,49274	1191,949274	12923,03055
T5 (Tc)100%	10	14319,57226	1431,957226	29310,25929

ANOVA

,						
Fonte da variação	SQ	gl	MQ	F	valor-P	F crítico
Entre grupos	1929748,697	4	4 482437,1742	15,6542122	0,0000000426	2,5787392
Dentro dos grupos	1386826,278	45	30818,36173			
Total	3316574,975	49	9			

Grupos de Tukey – Arrancamento de parafuso Topo

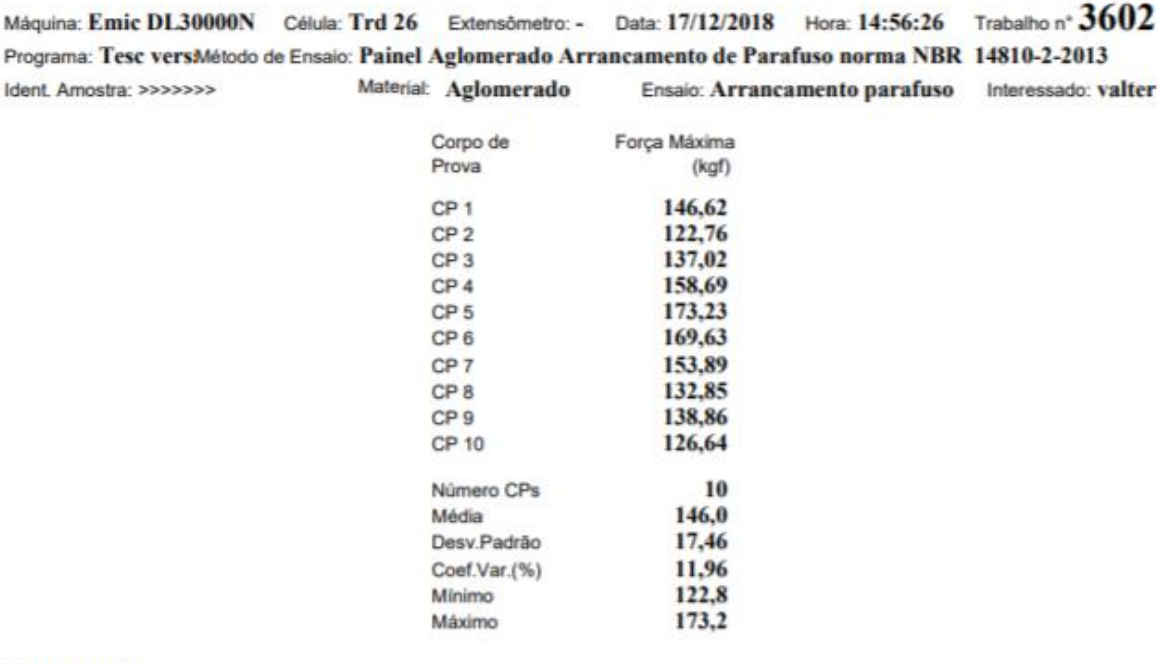
Grouping Information Using Tukey Method

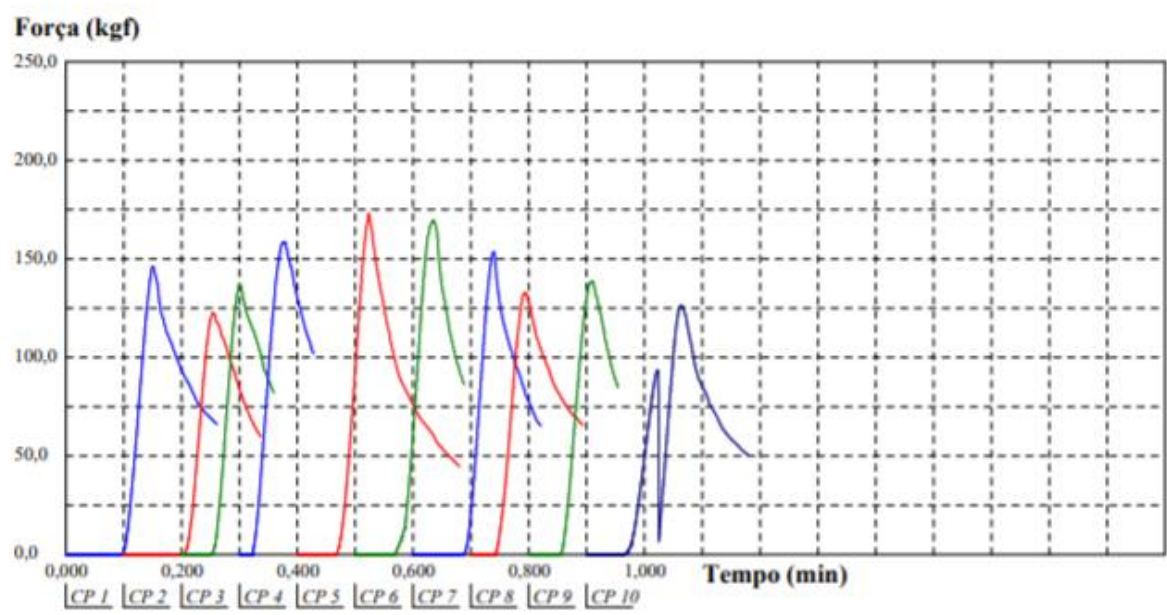
			N	Mean	Grouping
T5	(Tc)	100%	10	1432,0	A
T3	(Cc)	50% +(Tc) 50%	10	1422,7	A
T2	(Cc)	75%+(Tc) 25%	10	1383,7	A B
T4	(Cc)	25% + (Tc) 75%	10	1191,9	В
Tl	(Cc)	100%	10	917,3	C

Means that do not share a letter are significantly different.

Faculdade de Engenharia de Bauru - Laboratório de Construção Civil

Relatório de Ensaio





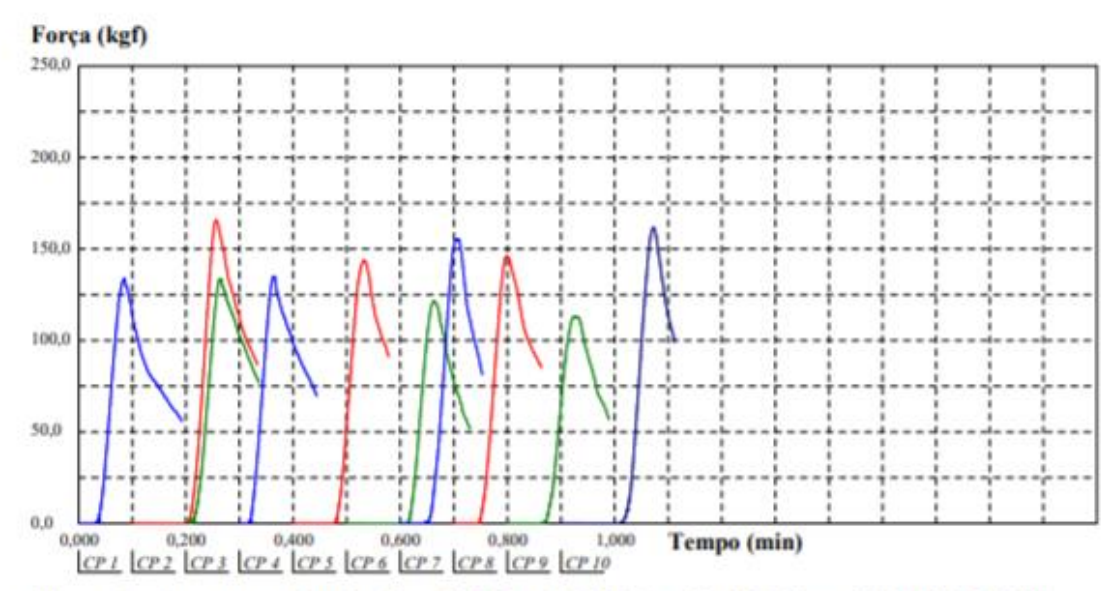
Observação: Arrancamento de Parafuso Topo, 100% Teca (Tc)- Norma NBR 14810-2 (2013)

Faculdade de Engenharia de Bauru - Laboratório de Construção Civil

Relatório de Ensaio

Máquina: Emic DL30000N Célula: Trd 26 Extensômetro: - Data: 17/12/2018 Hora: 14:58:28 Trabalho nº 3603
Programa: Tesc versitétodo de Ensaio: Painel Aglomerado Arrancamento de Parafuso norma NBR ABNT 14810-2 2013
Ident. Amostra: >>>>>> Material: Aglomerado Ensaio: Arrancamento parafuso topo 75% Teca Interessado: valter

Corpo de	
Prova	(kgf)
CP 1	133,98
CP 2	165,96
CP3	133,84
CP 4	134,90
CP 5	143,94
CP6	121,70
CP7	155,37
CP8	146,13
CP9	113,16
CP 10	162,01
Número CPs	10
Média	141,1
Desv.Padrão	16,97
Coef.Var.(%)	12,03
Mínimo	113,2
Máximo	166,0



Observação: Arrancamento Parafuso Topo, 75%Teca (TC)+25 Corymbia (CC)- Norma NBR 14810-2 (2013)

Faculdade de Engenharia de Bauru - Laboratório de Construção Civil

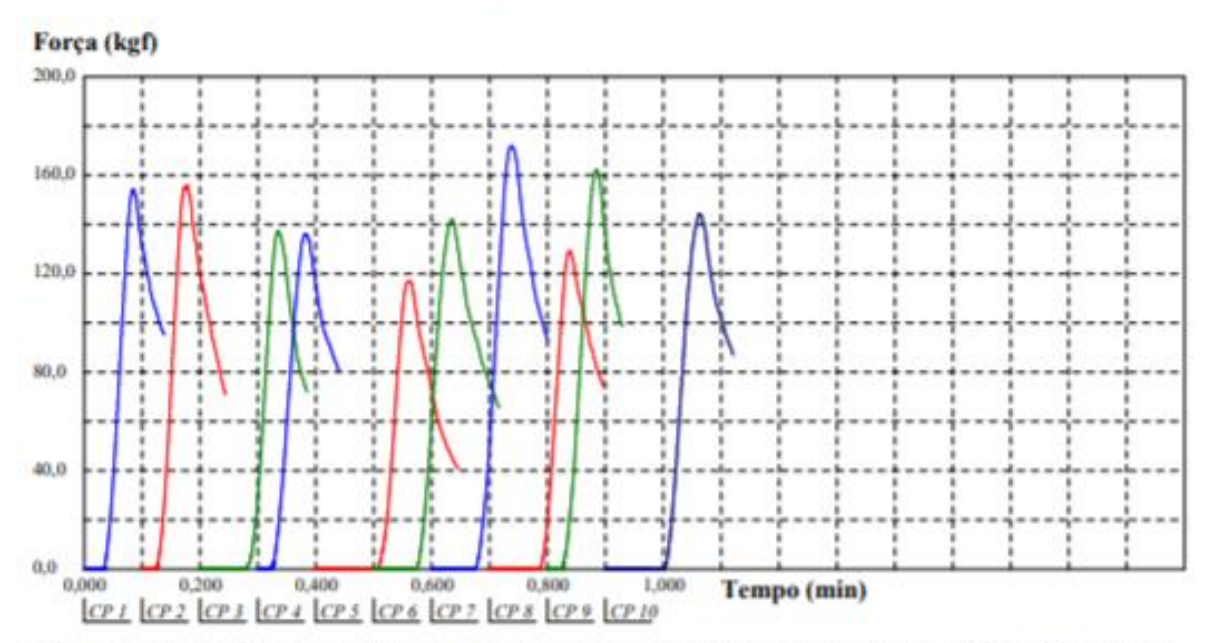
Relatório de Ensaio

Máquina: Emic DL30000N Cétula: Trd 26 Extensómetro: - Data: 17/12/2018 Hora: 14:59:55 Trabalho n° 3604

Programa: Tesc vers Método de Ensaio: Painel Aglomerado Arrancamento de Parafuso norma NBR ABNT 14810-2 2013

Ident. Amostra: >>>>>>>>> Material: Aglomerado Ensaio: Arrancamento parafuso 50% Teca Interessado: valter

Corpo de	Força Máxima
Prova	(kgf)
CP 1	154,46
CP 2	155,94
CP3	137,58
CP4	136,31
CP 5	116,90
CP 6	142,31
CP7	171,96
CP8	129,40
CP9	162,08
CP 10	144,36
Número CPs	10
Média	145,1
Desv.Padrão	16,33
Coef.Var.(%)	11,25
Minimo	116,9
Máximo	172,0



Observação: Arrancamento de Parafuso Topo, 50% Teca (Tc)+50% Corymbia (Cc)- Norma NBR 14810-2 (2013)

Faculdade de Engenharia de Bauru - Laboratório de Construção Civil

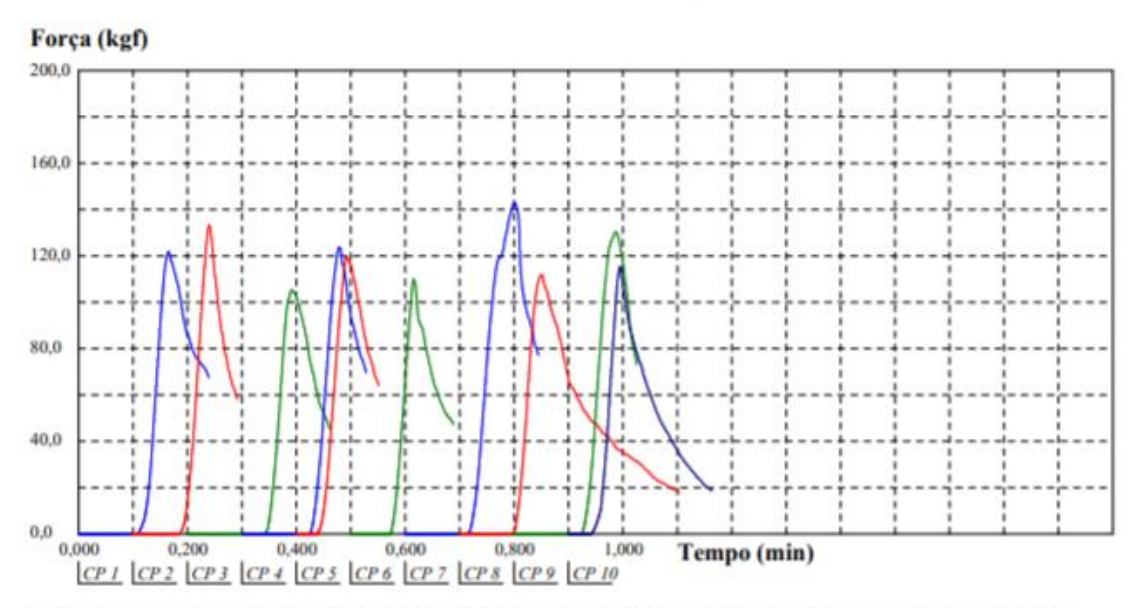
Relatório de Ensaio

Máquina: Emic DL30000N Célula: Trd 26 Extensômetro: - Data: 17/12/2018 Hora: 15:00:46 Trabalho nº 3605

Programa: Tesc versMétodo de Ensaio: Painel Aglomerado Arrancamento de Parafuso norma NBR ABNT 14810-2 2013

Ident. Amostra: >>>>>> Material: Aglomerado Ensaio: Arrancamento parafuso 25% teca Interessado: valter

Corpo de	Força Máxima
Prova	(kgf)
CP 1	121,98
CP 2	133,42
CP 3	105,54
CP 4	123,96
CP 5	119,72
CP 6	110,05
CP 7	143,02
CP8	111,96
CP 9	130,45
CP 10	115,35
Número CPs	10
Média	121,5
Desv.Padrão	11,59
Coef.Var.(%)	9,538
Mínimo	105,5
Máximo	143.0



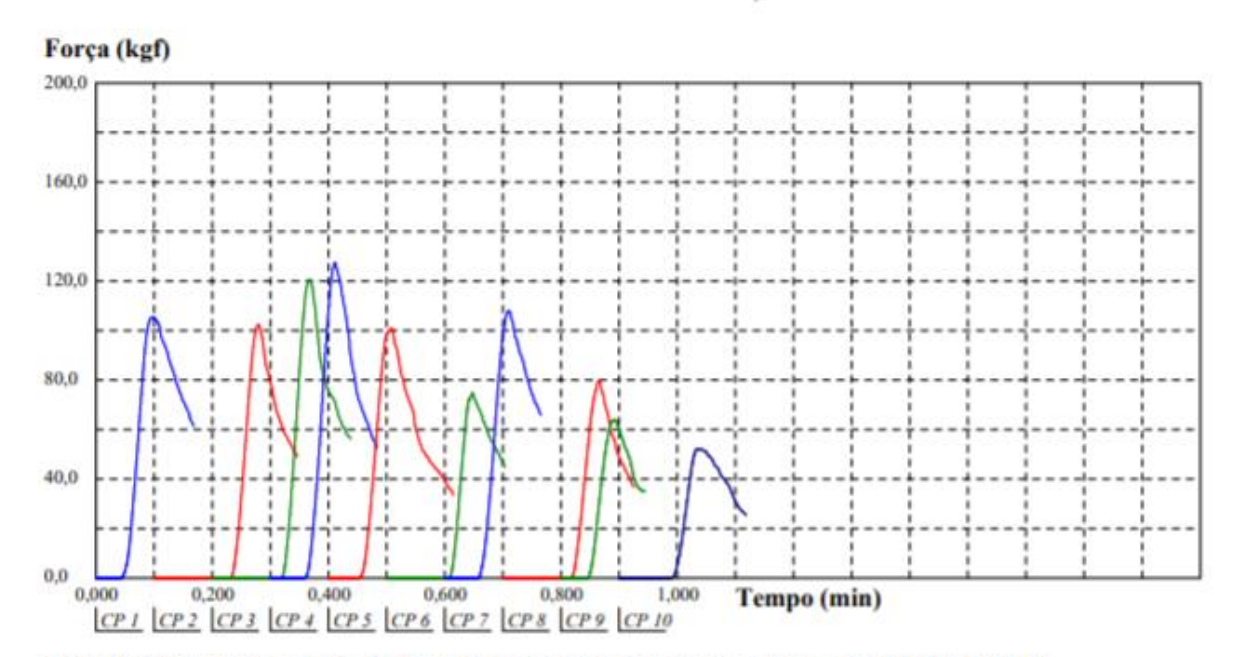
Observação: Arrancamento Parafuso Topo, 25% Teca (Tc)+75% Corymbia (Cc)- Norma NBR 14810-2 (2013)

Faculdade de Engenharia de Bauru - Laboratório de Construção Civil

Relatório de Ensaio

Máquina: Emic DL30000N Cétula: Trd 26 Extensômetro: - Data: 17/12/2018 Hora: 15:01:40 Trabalho nº 3606
Programa: Tesc versitétodo de Ensaio: Painel Aglomerado Arrancamento de Parafuso norma NBR ABNT 14810-2 2013
Ident. Amostra: >>>>>> Material: Aglomerado Ensaio: Arrancamento parafuso 100% Corymbia Interessado: valter

Corpo de	Força Máxima
Prova	(kgf)
CP 1	105,46
CP 2	102,43
CP 3	120,78
CP 4	127,35
CP 5	100,88
CP 6	75,04
CP 7	108,08
CP 8	79,98
CP 9	63,96
CP 10	52,38
Número CPs	10
Média	93,63
Desv.Padrão	24,65
Coef.Var.(%)	26,32
Mínimo	52,38
Máximo	127,3



Observação: Arrancamento de Parafuso Topo, 100 % Corymbia (Cc)- Norma NBR 14810-2 (2013)

APÊNDICE H - ENSAIOS ARRANCAMENTO DE PARAFUSO FACE

Arrancamento Parafuso Face				
	Cory	mbia (Cc) 25 % +Teo	a (Tc) 75%	
Painel	Posição	Corpo de Prova	Força	Força
raillei	rusiçau	Corpo de Prova	[kgf]	Newtons [N]
Ch 1	P 12	CP 1	149,94	1470,41
CIII	P 13	CP 2	159,26	1561,81
Ch 2	P 12	CP 3	147,33	1444,81
CII Z	P 13	CP 4	135,54	1329,19
Ch 3	P 12	CP 5	156,79	1537,58
CII 3	P 13	CP 6	112,45	1102,76
Ch 4	P 12	CP 7	136,81	1341,65
CII 4	P 13	CP 8	144,29	1415,00
Ch 5	P 12	CP 9	158,76	1556,90
Cn 5	P 13	CP 10	139.70	1369,99

Corymbia (Cc) 25 % +Teca (Tc) 75% [N]					
Máximo 1561,81					
Média	1413,01				
Mínima	1102,76				
Desvio Padrão 138,60					

Painel	Posição	Corpo de Prova	Força	Força		
raillei	rusiçau	Corpo de Prova	[kgf]	Newtons [N]		
Ch 1	P 12	CP 1	125,65	1232,21		
CIII	P 13	CP 2	139,49	1367,93		
Ch 2	P 12	CP 3	131,65	1291,05		
CII Z	P 13	CP 4	117,04	1147,77		
Ch 3	P 12	CP 5	132,64	1300,75		
CII 3	P 13	CP 6	110,55	1084,13		
Ch 4	P 12	CP 7	133,07	1304,97		
Cn 4	P 13	CP 8	123,25	1208,67		
Ch 5	P 12	CP 9	134,34	1317,43		
Cn 5	P 13	CP 10	121,35	1190,04		
	Corymbia (Cc) 75% + Teca (Tc) 25% [N]					
	Máximo		1	1367.93		

Arrancamento Parafuso Face Corymbia (Cc) 75% + Teca (Tc) 25%

Corymbia (Cc) 75% + Teca (Tc) 25% [N]				
Máximo	1367,93			
Média	1244,49			
Mínima	1084,13			
Desvio Padrão	87,57			

	Arrancamento Parafuso Face							
		Corymbia (CC) 10	00%					
Painel	Força Força							
Painei	Posição	Corpo de Prova	[kgf]	Newtons [N]				
Ch 1	P 12	CP 1	109,77	1076,48				
CHI	P 13	CP 2	91,13	893,68				
Ch 2	P 12	CP 3	110,34	1082,07				
CITZ	P 13	CP 4	94,24	924,18				
Ch 3	P 12	CP 5	123,82	1214,26				
CII 3	P 13	CP 6	83,79	821,70				
Ch 4	P 12	CP 7	106,31	1042,54				
CII 4	P 13	CP 8	92,33	905,45				
Ch 5	P 12	CP 9	78,08	765,70				
CII 5	P 13	CP 10	69,67	683,23				

Coryn	Corymbia (CC) 100% [N]				
Máximo	1214,26				
Média	940,93				
Mínima 683,23					
Desvio Padrão	162.76				

Arrancamento Parafuso Face							
	Cory	mbia (Cc) 50%+ Te	ca (Tc) 50%				
Painel	Painel Posição Corpo de Prova						
Painei	Posição	Corpo de Prova	[kgf]	Newtons [N]			
Ch 1	P 12	CP 1	164,06	1608,88			
CIII	P 13	CP 2	144,78	1419,81			
Ch 2	P 12	CP 3	156,15	1531,31			
CII Z	P 13	CP 4	126,36	1239,17			
Ch 3	P 12	CP 5	166,10	1628,88			
CIIS	P 13	CP 6	137,58	1349,20			
Ch 4	P 12	CP 7	148,24	1453,74			
	P 13	CP 8	133,91	1313,21			
Ch 5	P 12	CP 9	159,19	1561,12			
CII 3	P 13	CP 10	150,93	1480,12			

Corymbia (Cc) 50%+ Teca (Tc) 50% [N]					
Máximo 1628,88					
Média	1458,54				
Mínima	1239,17				
Desvio Padrão	129,37				

Arrancamento Parafuso Face					
		(Tc) 100% Teca	9		
Painel	Posição	Força [kgf]	Força Newtons [N]		
Ch 1	P 12	CP 1	127,77	1253,00	
CILI	P 13	CP 2	125,51	1230,83	
Ch 2	P 12	CP 3	141,25	1385,19	
	P 13	CP 4	131,51	1289,67	
Ch 3	P 12	CP 5	154,39	1514,05	
Cn 3	P 13	CP 6	135,75	1331,25	
Ch 4	P 12	CP 7	127,14	1246,82	
CII 4	P 13	CP 8	120,36	1180,33	
Ch F	P 12	CP 9	127,21	1247,50	
Ch 5	P 13	CP 10	106 17	1041 17	

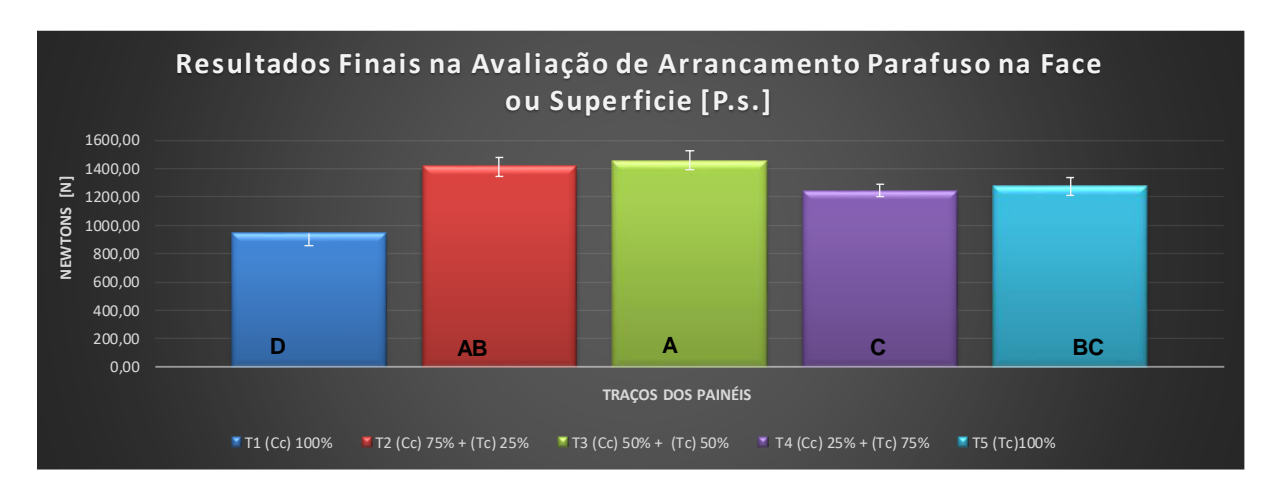
Resultados Teca (Tc) 100% [N]			
Máximo	1514,05		
Média	1271,98		
Mínima	1041,17		
Desvio Padrão	124,81		

Resultados do Ensaio de Arrancamento Parafuso Face

Resultados	T1 (Cc) 100%	T2 (Cc) 75% + (Tc) 25%	T3 (Cc) 50% + (Tc) 50%	T4 (Cc) 25% + (Tc) 75%	T5 (Tc)100%
Máximo	1214,26	1561,81	1628,88	1367,93	1253,00
Média	940,93	1413,01	1458,54	1244,49	1271,98
Mínima	683,23	1102,76	1239,17	1084,13	1041,17
Desvio Padrão	162,76	138,60	129,37	87,57	124,81

(CC) → Corymbia

(TC) → Teca 1 Quilograma Força [kgf] = 9,80665 Newtons [N]



Anova fator único – arrancamento de parafuso face

Anova: fator único

RESU	IMO

INESCIVIO				
Grupo	Grupo Contagem S		Média	Variância
T1 (Cc) 100%	10	9409,284542	940,9284542	26492,08523
T2 (Cc) 75% + (Tc) 25%	10	14130,10779	1413,010779	19211,10719
T3 (Cc) 50% + (Tc) 50%	10	14585,43055	1458,543055	16736,29902
T4 (Cc) 25% + (Tc) 75%	10	12444,93305	1244,493305	7668,735538
T5 (Tc) 100%	10	12719,81345	1271,981345	15577,55104

Δ	N	O'	٧.	Δ

7110 171						
Fonte da variação	SQ	gl	MQ	F	valor-P	F crítico
Entre grupos	1648546,036	4	412136,5089	24,0492949	0,0000000001	2,57873918
Dentro dos grupos	771172,0022	45	17137,1556			
Total	2419718.038	49				

Grupos de Tukey – arrancamento parafuso face

Grouping Information Using Tukey Method

					N	Mean	Grouping
T3	(Cc)	50% +	(Tc)	50%	10	1458,5	A
T2	(Cc)	75% +	(Tc)	25%	10	1413,0	A B
T5	(Tc)	100%			10	1272,0	BC
T4	(Cc)	25% +	(Tc)	75%	10	1244,5	C
T1	(Cc)	100%			10	940,9	D

Means that do not share a letter are significantly different.

Faculdade de Engenharia de Bauru - Laboratório de Construção Civil

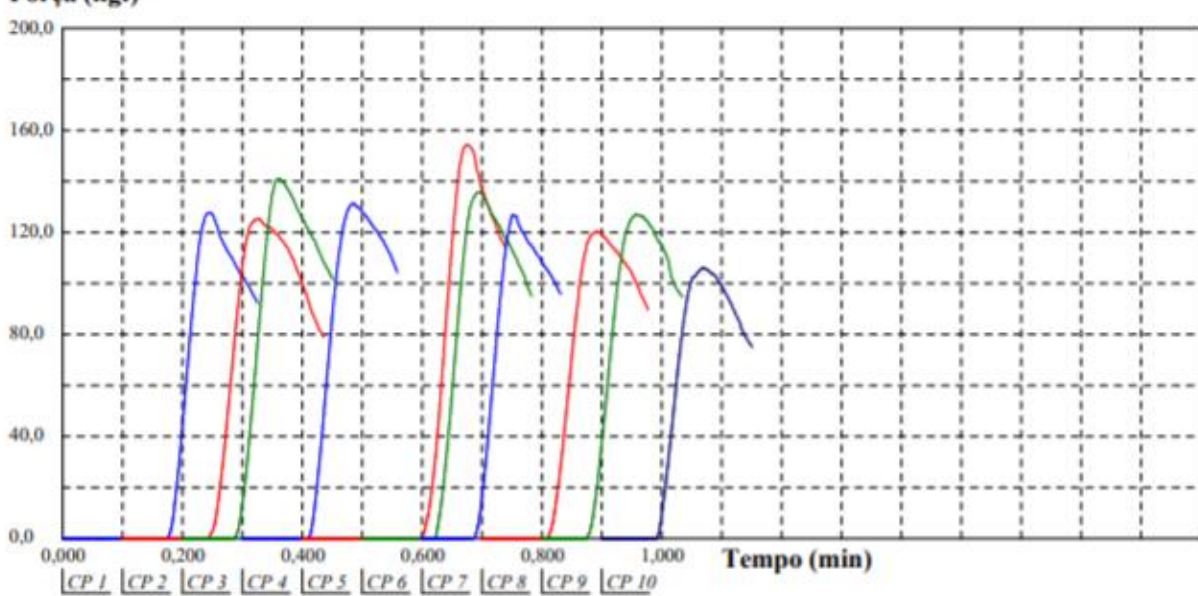
Relatório de Ensaio

Máquina: Emic DL30000N Célula: Trd 26 Extensômetro: - Data: 17/12/2018 Hora: 15:04:37 Trabalho nº 3607

Programa: Tesc versitétodo de Ensaío: Painel Aglomerado Arrancamento de Parafuso norma NBR ABNT 14810-2 2013
Ident. Amostra: >>>>>> Material: Aglomerado Ensaío: Arrancamento parafuso Face 100% teca Interessado: valter

Corpo de	Força Máxima
Prova	(kgf)
CP 1	127,77
CP 2	125,51
CP3	141,26
CP 4	131,51
CP 5	154,39
CP 6	135,75
CP 7	127,14
CP8	120,36
CP9	127,21
CP 10	106,17
Número CPs	10
Média	129,7
Desv.Padrão	12,73
Coef.Var.(%)	9,812
Mínimo	106,2
Máximo	154,4

Força (kgf)



Observação: Arrancamento de Parafuso Face, 100% Teca (Tc)- Norma NBR 14810-2 (2013)

Faculdade de Engenharia de Bauru - Laboratório de Construção Civil

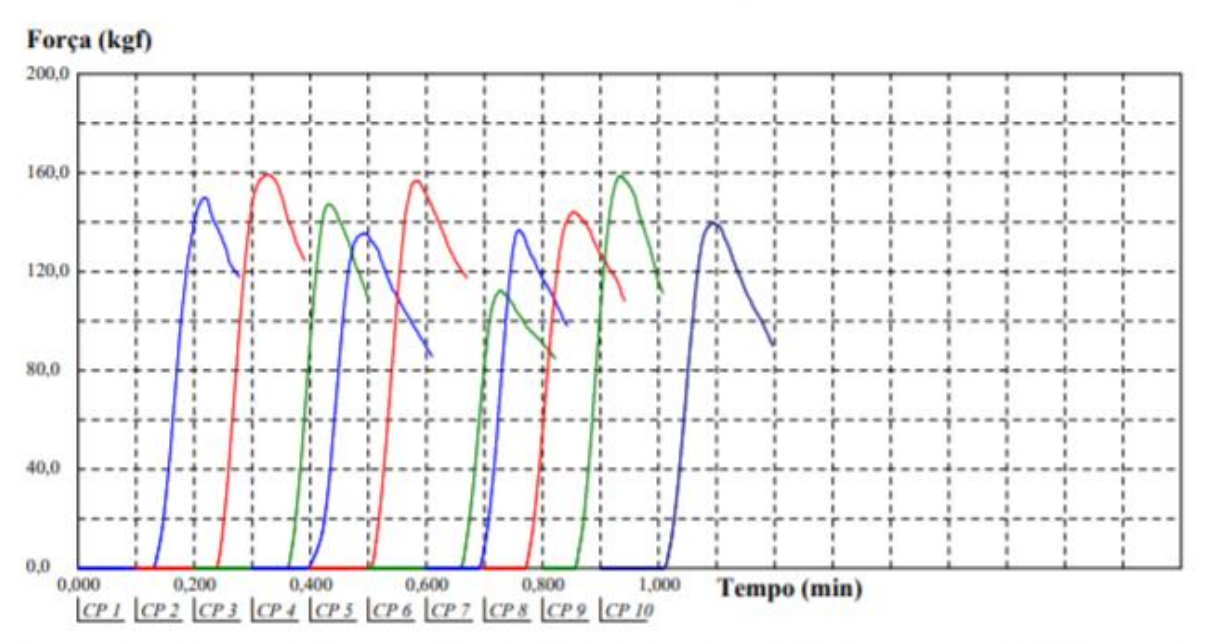
Relatório de Ensaio

Máquina: Emic DL30000N Célula: Trd 26 Extensómetro: - Data: 17/12/2018 Hora: 15:05:43 Trabalho n° 3608

Programa: Tesc versillétodo de Ensaio: Painel Aglomerado Arrancamento de Parafuso norma NBR ABNT 14810-2 2013

Ident. Amostra: >>>>>> Material: Aglomerado Ensaio: Arrancamento parafuso Face 75% teca Interessado: valter

Corpo de	Força Máxima
Prova	(kgf)
CP 1	149,94
CP 2	159,26
CP3	147,33
CP 4	135,54
CP 5	156,79
CP 6	112,45
CP 7	136,81
CP8	144,29
CP9	158,76
CP 10	139,70
Número CPs	10
Média	144,1
Desv.Padrão	14,13
Coef.Var.(%)	9,808
Minimo	112,5
Máximo	159,3



Observação: Arrancamento de Parafuso Face, 75% Teca (Tc) + 25% Corymbia (Cc)- Norma NBR 14810-2 (2013)

Faculdade de Engenharia de Bauru - Laboratório de Construção Civil

Relatório de Ensaio

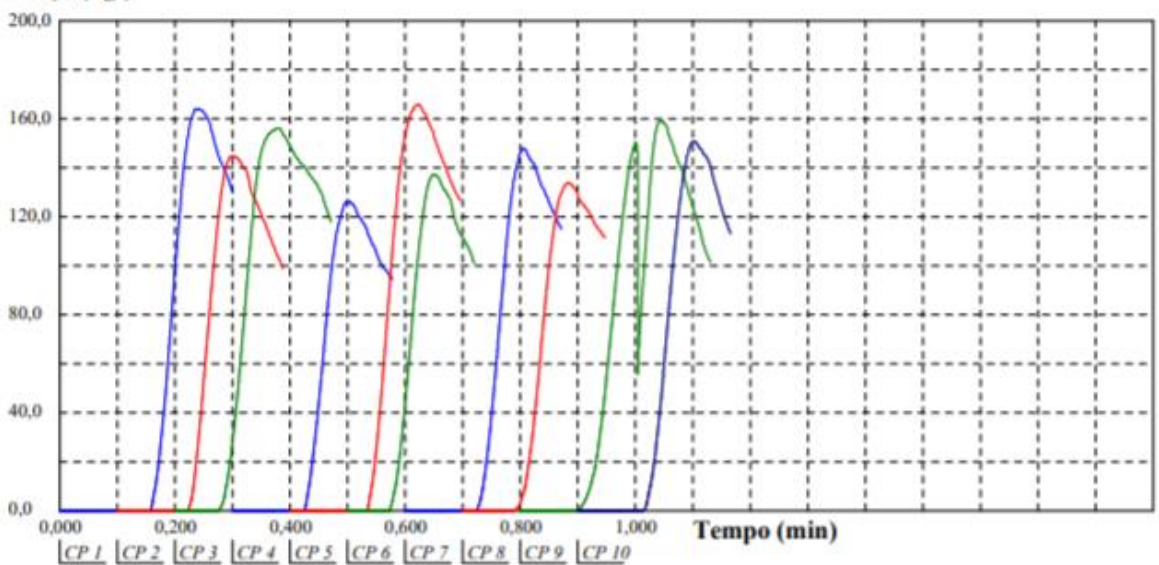
Máquina: Emic DL30000N Célula: Trd 26 Extensômetro: - Data: 17/12/2018 Hora: 15:06:50 Trabalho n° 3609

Programa: Tesc versitétodo de Ensaio: Painel Aglomerado Arrancamento de Parafuso norma NBR ABNT 14810-2 2013

Ident. Amostra: >>>>>> Material: Aglomerado Ensaio: Arrancamento parafuso Face 50% teca Interessado: valter

Corpo de	Força Máxima
Prova	(kgf)
CP 1	164,06
CP 2	144,78
CP 3	156,15
CP 4	126,36
CP 5	166,10
CP 6	137,58
CP 7	148,24
CP 8	133,91
CP 9	159,19
CP 10	150,93
Número CPs	10
Média	148,7
Desv.Padrão	13,19
Coef.Var.(%)	8,869
Mínimo	126,4
Máximo	166,1

Força (kgf)



Observação: Arrancamento de Parafuso Face, 50 % Teca (Tc) + 50 % Corymbia (Cc)- Norma NBR 14810-2 (2013)

Faculdade de Engenharia de Bauru - Laboratório de Construção Civil

Relatório de Ensaio

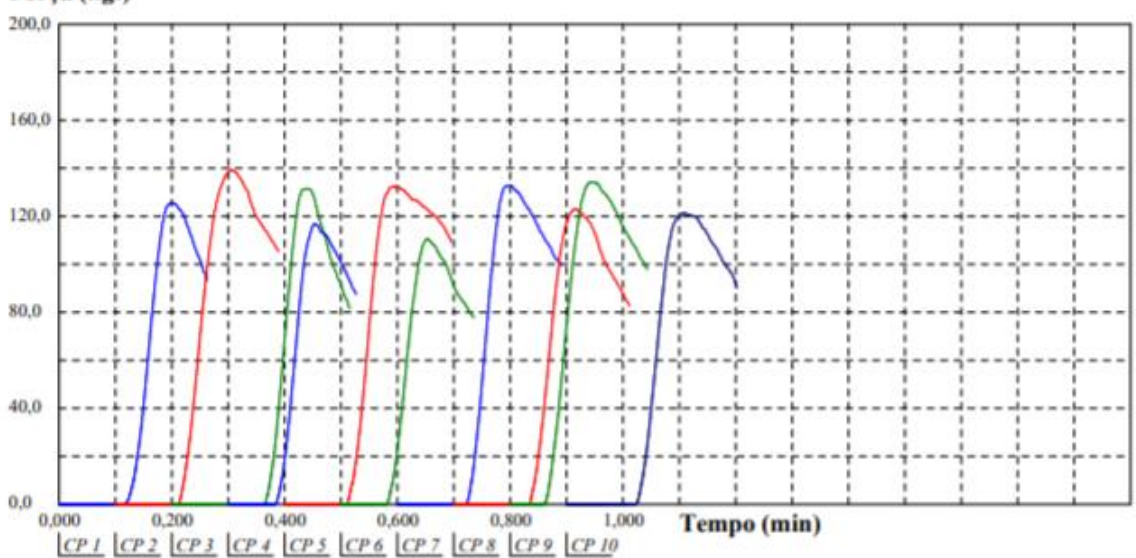
Máquina: Emic DL30000N Célula: Trd 26 Extensômetro: - Data: 17/12/2018 Hora: 15:07:39 Trabalho nº 3610

Programa: Tesc versitétodo de Ensaio: Painel Aglomerado Arrancamento de Parafuso norma NBR ABNT 14810-2 2013

Ident. Amostra: >>>>>> Material: Aglomerado Ensaio: Arrancamento parafuso Face 25% Teca Interessado: valter

Corpo de	Força Máxima
Prova	(kgf)
CP 1	125,65
CP 2	139,49
CP3	131,65
CP 4	117,04
CP 5	132,64
CP 6	110,55
CP 7	133,07
CP8	123,25
CP9	134,34
CP 10	121,35
Número CPs	10
Média	126,9
Desv.Padrão	8,930
Coef.Var.(%)	7,037
Mínimo	110,5
Máximo	139,5

Força (kgf)



Observação: Arrancamento Parafuso Face, 25 %Teca (Tc) + 75 % Corymbia (Cc)- Norma NBR 14810-2 (2013)

Faculdade de Engenharia de Bauru - Laboratório de Construção Civil

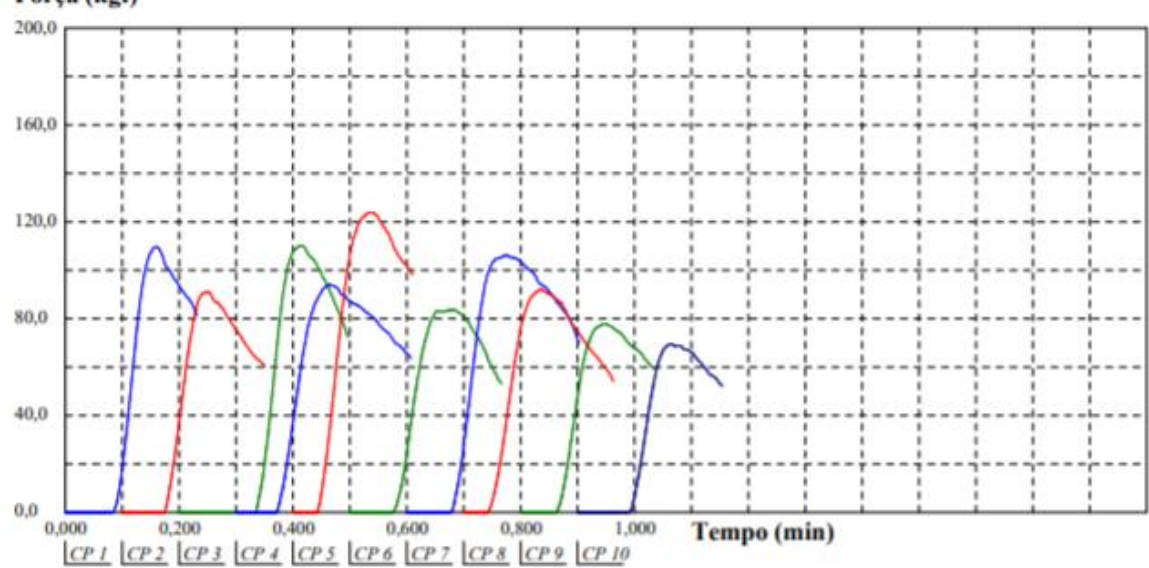
Relatório de Ensaio

Máquina: Emic DL30000N Célula: Trd 26 Extensômetro: - Data: 17/12/2018 Hora: 15:08:27 Trabalho nº 3611

Programa: Tesc versMétodo de Ensaio: Painel Aglomerado Arrancamento de Parafuso norma NBR ABNT 14810-2 2013
Ident. Amostra: > Material: Aglomerado Ensaio: Arrancamento parafuso Face 100% Corymbia (CC) Interessado: valter

Corpo de	Força Máxima
Prova	(kgf)
CP 1	109,77
CP 2	91,13
CP 3	110,34
CP 4	94,24
CP 5	123,82
CP 6	83,79
CP 7	106,31
CP 8	92,33
CP 9	78,08
CP 10	69,67
Número CPs	10
Média	95,95
Desv.Padrão	16,60
Coef.Var.(%)	17,30
Mínimo	69,67
Máximo	123,8

Força (kgf)



Observação: Arrancamento Parafuso Face, 100 % Corymbia (Cc)- Norma NBR 14810-2 (2013)

Tracão	Cuparficial	

Tração Superficial				
Corymbia (Cc) 100%				
Painel	Posição	Corpo de Prova	Força [MPa]	
Ch 1	P 3	CP 1	1,18	
CHI	P 7	CP 2	1,70	
Ch 2	Р3	CP 3	1,64	
CITZ	P 7	CP 4	1,15	
Ch 3	Р3	CP 5	1,23	
CITS	P 7	CP 6	1,37	
Ch 4	P 3	CP 7	1,37	
CII 4	P 7	CP 8	1,06	
Ch 5	P 3	CP 9	1,33	
CIIS	P 7	CP 10	1,20	

Resultados	Corvmbia	(Cc)	100%	[MPa

	110001100000001,111010 (00, 20070 [1111 0]		
Máximo	1,70		
Média	1,32		
Mínima	1,06		
Desvio Padrão	0.21		

Tração Superficial

Corymbia (Cc) 50% + Teca (Tc) 50%				
Painel	Posição	Corpo de Prova	Força [MPa]	
Ch 1	P 3	CP 1	2,21	
CHI	P 7	CP 2	1,92	
Ch 2	P 3	CP 3	1,93	
CII Z	P 7	CP 4	1,95	
Ch 3	P 3	CP 5	1,85	
CII 3	P 7	CP 6	1,74	
Ch 4	P 3	CP 7	1,33	
Cn 4	P 7	CP 8	2,56	
Ch 5	P 3	CP 9	2,02	
Cil 5	P 7	CP 10	2.12	

Corymbia (Cc)	50% + Teca	(Tc) 50% [MPa]

	<u> </u>
Máximo	2,56
Média	1,96
Mínima	1,33
Desvio Padrão	0,32

Tração Superficial

Corymbia (Cc) 75%+ Teca (Tc) 25%				
Painel Posição Corpo de Prova			Força [MPa]	
Ch 1	P 3	CP 1	1,66	
Ch 1	P 7	CP 2	1,48	
Ch 2	P 3	CP 3	1,58	
CITZ	P 7	CP 4	1,45	
Ch 3	P 3	CP 5	1,66	
CII 3	P 7	CP 6	2,02	
Ch 4	P 3	CP 7	1,39	
CII 4	P 7	CP 8	1,47	
Ch 5	Р3	CP 9	2,19	
CII 5	P 7	CP 10	1,58	

Corvmbia (Cc)	75%+ Teca (Tc) 25% [MPa]	

Máximo	2,19
Média	1,65
Mínima	1,39
Desvio Padrão	0,26

Tração Superficial

	Corymbia (Cc) 25% + Teca (Tc) 75%				
-	Painel	Posição	Corpo de Prova	Força	
	Painei	Posição	Corpo de Prova	[MPa]	
	Ch 1	P 3	CP 1	1,87	
	Cn 1	P 7	CP 2	2,02	
	Ch 2	P 3	CP 3	2,05	
-		P 7	CP 4	1,62	
	Ch 3	P 3	CP 5	2,12	
	CII 3	P 7	CP 6	2,05	
_	Ch 4	P 3	CP 7	2,17	
	Cli 4	P 7	CP 8	1,73	
-	61.5	Р3	CP 9	2,01	
	Ch 5	P 7	CP 10	2,19	

Corymbia (Cc) 25% + Teca (Tc) 75% [MPa]

Máximo	2,19
Média	1,98
Mínima	1,62
Desvio Padrão	0,19

Tração Superficial

Teca(TC) 100%				
Painel	Posição	Força [MPa]		
Ch 1	Р3	CP 1	1,88	
CIII	P 7	CP 2	2,21	
Ch 2	Р3	CP 3	2,45	
CITZ	P 7	CP 4	2,31	
Ch 3	Р3	CP 5	1,63	
CII 3	P 7	CP 6	1,77	
Ch 4	Р3	CP 7	2,41	
CII 4	P 7	CP 8	2,04	
Ch 5	Р3	CP 9	1,99	
Cil 5	P 7	CP 10	2,12	

Resultados	Teca(TC	100%	[MPa]

Máximo	2,45
Média	2,08
Mínima	1,63
Desvio Padrão	0.27

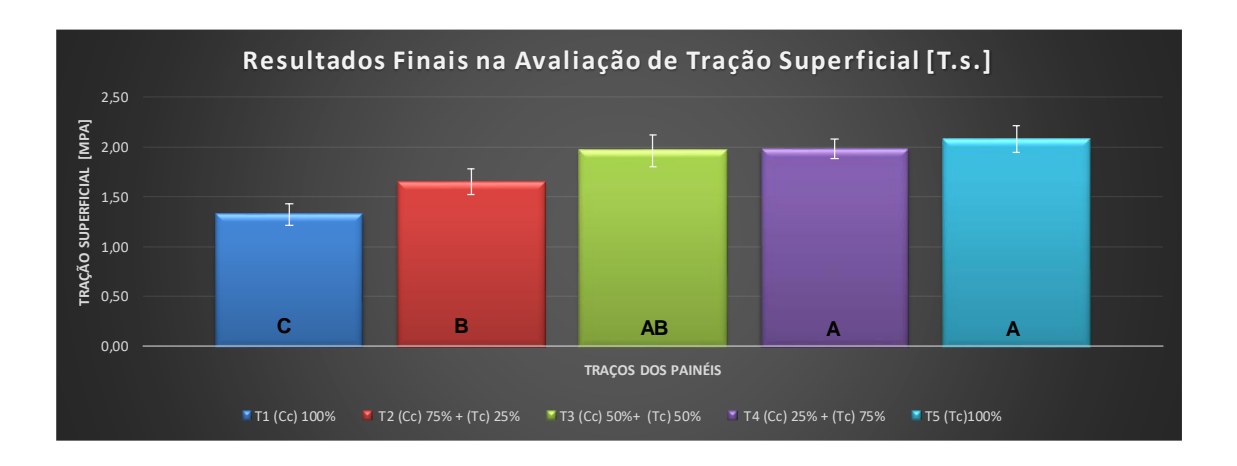
Resultados do Ensaio de Tração Superficial em [MPa]

Resultados	T1 (Cc) 100%	T2 (Cc) 75% + (Tc) 25%	T3 (Cc) 50%+ (Tc) 50%	T4 (Cc) 25% + (Tc) 75%	T5 (Tc)100%
Máximo	1,70	2,19	2,56	2,19	2,45
Média	1,32	1,65	1,96	1,98	2,08
Mínima	1,06	1,39	1,33	1,62	1,63
Desvio Padrão	0,21	0,26	0,32	0,19	0,27

(CC) → Corymbia

(TC) → Teca

Mega Pascal - [MPa]



Anova fator único - Tração superficial

Anova: fator único

RESUMO

Grupo	Contagem	Soma	Média	Variância
T1 (Cc) 100%	10	13,2273	1,32273	0,0432933
T2 (Cc) 75% + (Tc) 25%	10	16,482	1,6482	0,06689172
T3 (Cc) 50% + (Tc) 50%	10	19,6398	1,96398	0,10170056
T4 (Cc) 25% + (Tc) 75%	10	19,823	1,9823	0,03512143
T5 (Tc) 100%	10	20,8137	2,08137	0,07443593

ANOVA

Fonte da variação	SQ	gl	MQ	F	valor-P	F crítico
Entre grupos	3,901212969	4	0,975303242	15,1707059	0,0000000632	2,57873918
Dentro dos grupos	2,892986398	45	0,064288587			
	6 70 4400067					
Total	6,794199367	49				

Grupos de Tukey – Tração superficial

Grouping Information Using Tukey Method

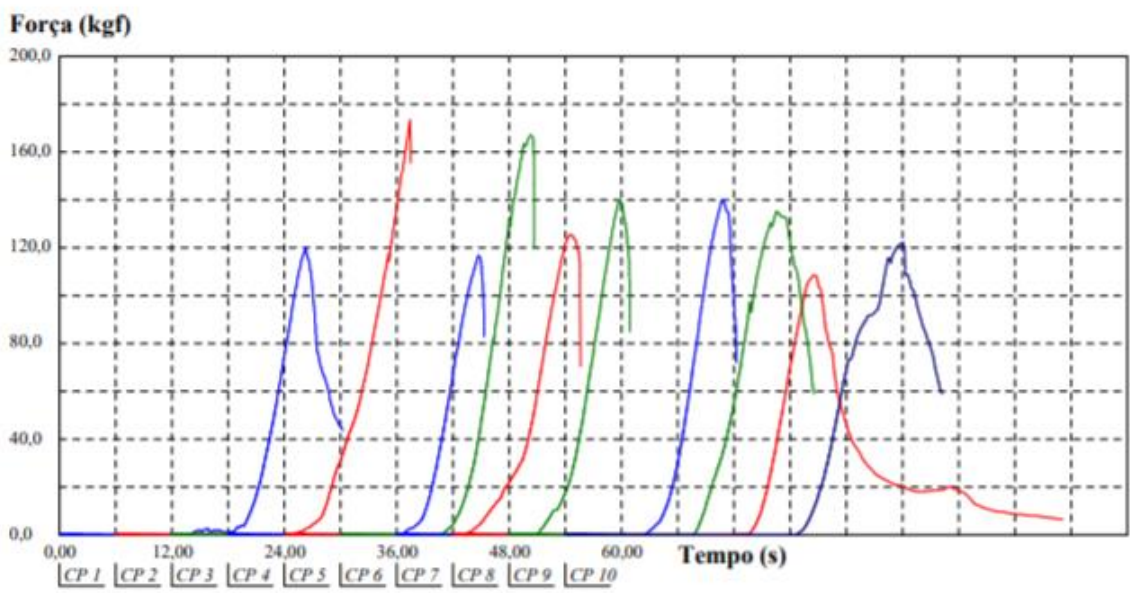
			N	Mean	Grouping
T5	(Tc)	100%	10	2,0814	A
T4	(Cc)	25% + (Tc) 75%	10	1,9823	A
T3	(Cc)	50% + (Tc) 50%	10	1,9640	A B
T2	(Cc)	75% + (Tc) 25%	10	1,6482	В
T1	(Cc)	100%	10	1,3227	C

Means that do not share a letter are significantly different.

Faculdade de Engenharia de Bauru - Laboratório de Construção Civil

Relatório de Ensaio

Máquina: Emic DL30000N	Célula: Trd 26	Extensômetro: -	Data: 18/12/2018	Hora: 09:43:43	Trabalho n° 3620
Programa: Tesc versão 1.13	3				Método de Ensaio:
Ident. Amostra: >>>> Norma N	NBR: 14810-2/2013	Traço: Aglomo	erado 100% Coryn	nbia(CC) Traball	no: Doutorado valter
	Corpo de	*diâmetro	Força	RS	
	Prova	dispositivo* (mm)	máxima (kgf)	(kgf/cm2)	
	CP 1	35,7	120,36	12,02	
	CP 2	35,7	173,37	17,32	
	CP3	35,7	167,44	16,73	
	CP4	35.7	117,04	11,69	
	CP 5	35,7	125,87	12,57	
	CP 6	35,7	139,70	13.96	
	CP7	35,7	140,20	14,01	
	CP8	35,7	108,64	10,85	
	CP9	35,7	135,33	13,52	
	CP 10	35,7	122,27	12,21	
	Número CPs	10	10	10	
	Média	35,70	135,0	13,49	
	Desv.Padrão	0,0000	21,22	2,120	
	Coef.Var.(%)	0,0000	15,71	15,71	
	Mínimo	35,70	108,6	10,85	
	Máximo	35,70	173,4	17,32	
Forca (kgf)					



Observação: Resistencia a Tração superficial - 100% Corymbia (CC) - NBR-14810-2 (2013).

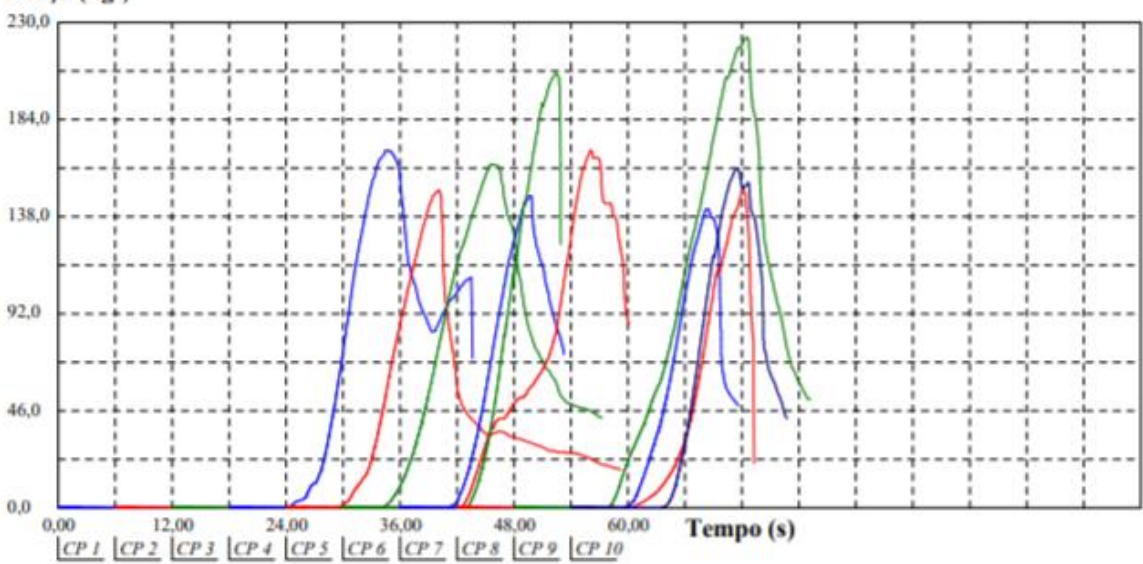
Faculdade de Engenharia de Bauru - Laboratório de Construção Civil

Relatório de Ensajo

Máquina: Emic DL30000N Célula: Trd 26 Extensômetro: - Data: 18/12/2018 Hora: 09:47:21 Trabalho nº 3621
Programa: Tesc versão 1.13 Método de Ensaio: Painel Aglomerado - Resistência à Tração Superficial
Ident. Amostra: >>>>>> Norma NBR: 14810-2/2013 Traço: 25% teca 75% Corymbia Trabalho: Doutorado Valter

Corpo de Prova	*diâmetro	Força máxima	RS
Piova	dispositivo* (mm)	(kgf)	(kgf/cm2)
CP 1	35,7	169,70	16,95
CP2	35,7	150,64	15,05
CP3	35,7	163,14	16,30
CP 4	35,7	148,10	14,80
CP 5	35.7	169,77	16,96
CP 6	35,7	205,99	20,58
CP7	35.7	141,89	14,18
CP8	35,7	150,43	15,03
CP9	35.7	223,21	22,30
CP 10	35,7	161,09	16,09
Número CPs	10	10	10
Média	35,70	168,4	16.82
Desv.Padrão	0,0000	26,36	2,634
Coef.Var.(%)	0,0000	15,65	15.65
Minimo	35,70	141,9	14,18
Máximo	35,70	223,2	22,30

Força (kgf)



Observação: Resistencia a Tração superficial - 25% Teca (TC)+75%% Corymbia (CC) - NBR-14810-2 (2013).

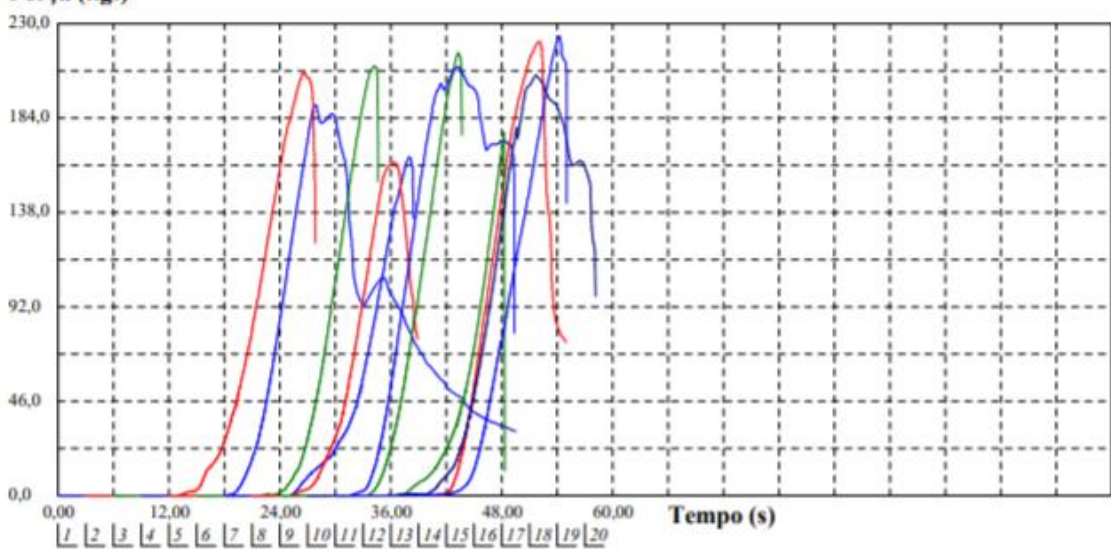
Faculdade de Engenharia de Bauru - Laboratório de Construção Civil

Relatório de Ensaio

Máquina: Emic DL30000N Cétula: Trd 26 Extensômetro: - Data: 18/12/2018 Hora: 09:49:43 Trabalho n° 3623
Programa: Tesc versão 1.13 Método de Ensalo: Painel Aglomerado - Resistência à Tração Superficial
Ident. Amostra: >>>>>> Norma NBR: 14810-2/2013 Traço: 75% Teca +25% Corymbia Trabalho: Doutorado Valter

Corpo de	*diâmetro	Força	RS
Prova	dispositivo*	máxima	
	(mm)	(kgf)	(kgf/cm2)
CP1	35,7	190,39	19,02
CP 2	35,7	206,41	20,62
CP3	35,7	209,52	20,93
CP4	35,7	165,19	16,50
CP 5	35,7	162,57	16,24
CP6	35,7	215,94	21,57
CP7	35,7	208,95	20,87
CP8	35,7	221,17	22,09
CP9	35,7	176,97	17,68
CP 10	35,7	205,00	20,48
CP 11	35,7	224,06	22,38
Número CPs	11	11	11
Média	35,70	198,7	19,85
Desv.Padrão	0,0000	21,76	2,174
Coef.Var.(%)	0,0000	10,95	10,95
Mínimo	35,70	162,6	16,24
Máximo	35,70	224,1	22,38

Força (kgf)



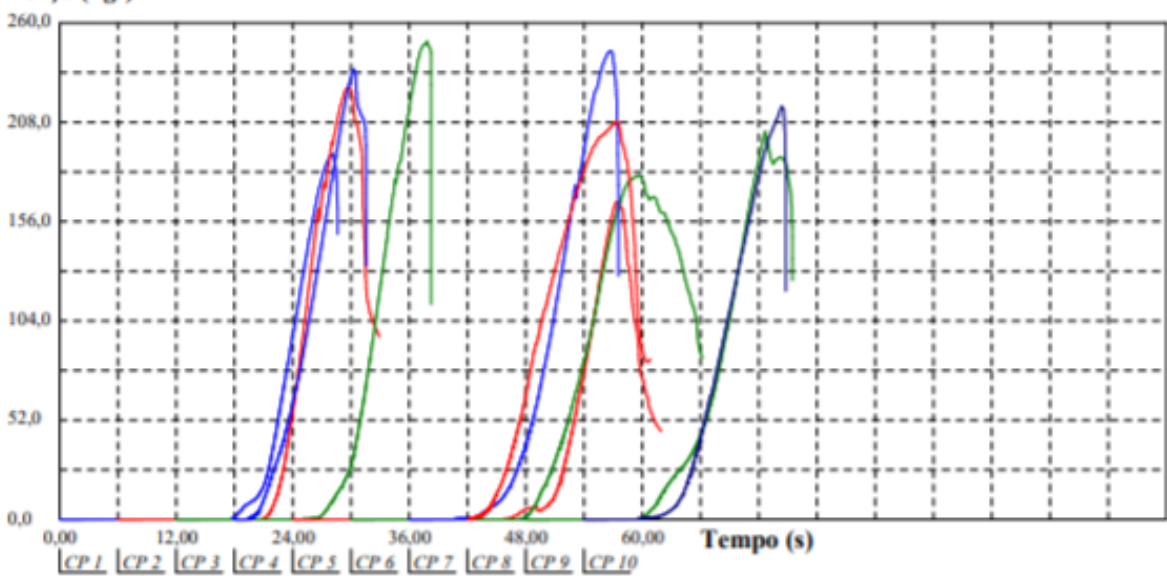
Observação: Resistencia a Tração superficial - 75% Teca (TC)+ 25%% Corymbia (CC) - NBR-14810-2 (2013).

Faculdade de Engenharia de Bauru - Laboratório de Construção Civil

Relatório de Ensaio

Corpo de	"diâmetro	Força	RS
Prova	dispositivo*	máxima	
	(mm)	(kgf)	(kgf/cm2)
CP 1	35,7	191,38	19,12
CP 2	35,7	226,04	22,58
CP 3	35,7	250,46	25,02
CP 4	35,7	235,78	23,55
CP 5	35,7	166,60	16,64
CP 6	35,7	180,15	18,00
CP 7	35,7	245,66	24,54
CP 8	35,7	208,67	20,85
CP 9	35,7	203,24	20,30
CP 10	35,7	216,65	21,64
Número CPs	10	10	10
Média	35,70	212,5	21,23
Desv.Padrão	0,0000	27,86	2,783
Coef.Var.(%)	0,0000	13,11	13,11
Mínimo	35,70	166,6	16,64
Máximo	35.70	250.5	25.02

Força (kgf)



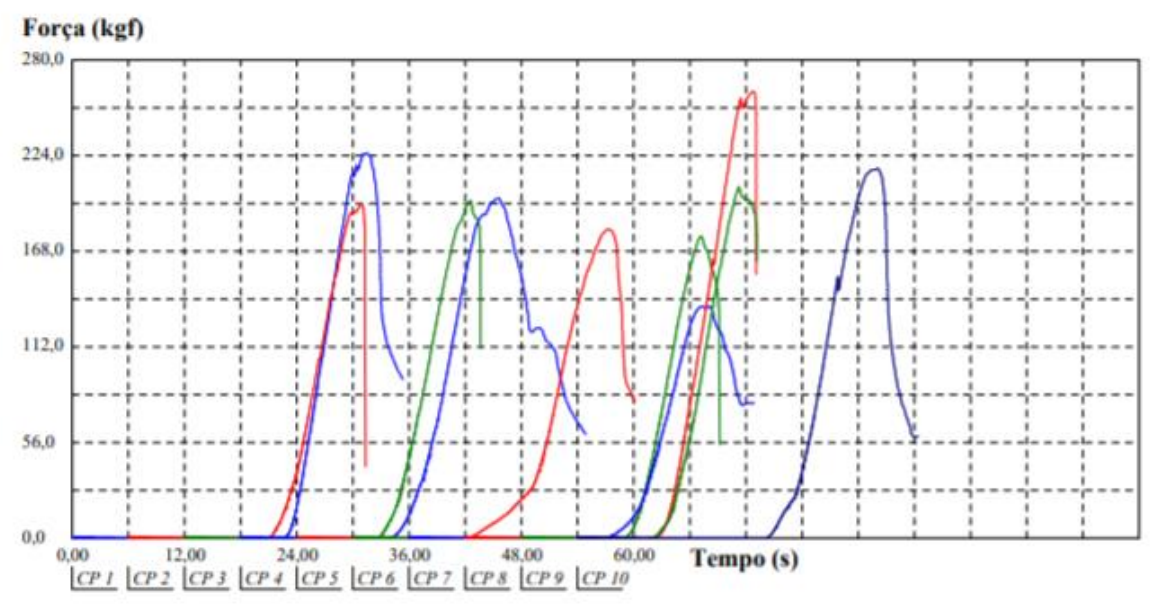
Observação: Resistencia a Tração superficial - 100% Teca (TC) - NBR-14810-2 (2013).

Faculdade de Engenharia de Bauru - Laboratório de Construção Civil

Relatório de Ensaio

Máquina: Emic DL30000N Célula: Trd 26 Extensômetro: - Data: 18/12/2018 Hora: 11:31:36 Trabalho nº 3631
Programa: Tesc versão 1.13 Método de Ensaio: Painel Aglomerado - Resistência à Tração Superficial
Ident. Amostra: >>>>>>> Norma NBR: 14810-2/2013 Traço: 50% Teca +50% Corymbia Trabalho: Doutorado Valter

Corpo de	"diâmetro	Força	RS
Prova	dispositivo*	máxima	
	(mm)	(kgf)	(kgf/cm2)
CP 1	35,7	225,75	22,55
CP2	35,7	195,68	19,55
CP3	35,7	197,52	19,73
CP4	35,7	199,28	19,91
CP5	35.7	180,93	18,08
CP6	35,7	177,33	17,72
CP7	35,7	135,89	13,58
CP8	35,7	261,69	26,14
CP9	35,7	205,92	20,57
CP 10	35,7	216,65	21,64
Número CPs	10	10	10
Média	35,70	199,7	19,95
Desv.Padrão	0,0000	32,99	3,295
Coef.Var.(%)	0.0000	16,52	16,52
Minimo	35,70	135,9	13,58
Máximo	35,70	261,7	26,14



Observação: Resistencia a Tração superficial - 50% Teca (TC)+ 50%% Corymbia (CC) - NBR-14810-2 (2013).

APÊNDICE J- ENSAIOS MECÂNICOS DUREZA JANKA

Dureza Janka			
	Corymbia (Cc) 100)%	
Painel	Corpo de Prova	Força	
raillei	Corpo de Prova	[MPa]	
Ch 1	CP10	56,03	
Cn 1	CP17	49,30	
Ch 2	CP10	59,37	
	CP17	63,71	
Ch 3	CP10	70,25	
	CP17	40,87	
Ch 4	CP10	43,75	
Cn 4	CP17	59,72	
Ch 5	CP10	36,32	
	CP17	38,09	

Corymbia (Cc) 100%		
Máximo	70,25	
Média	51,74	
Mínima	36,32	
Desvio Padrão	11,73	

Dureza Janka				
	Corymbia (Cc) 25% + Tec	a (Tc) 75%		
Painel Corpo de Prova		Força [MPa]		
Ch 1	CP10	47,44		
CILI	CP17	51,02		
Ch 2	CP10	56,86		
	CP17	56,17		
Ch 3	CP10	58,47		
	CP17	59,47		
Ch 4	CP10	58,54		
Cn 4	CP17	48,84		
Ch F	CP10	56,43		
Ch 5	CP17	60,33		

Corymbia (Cc) 25% + Teca (Tc) 75%		
Máximo	60,33	
Média	55,36	
Mínima	47,44	
Desvio Padrão	4,59	

Dureza Janka				
	Corymbia (Cc) 50% + Teca (Tc) 50%			
Painel	Corpo de Prova	Força		
raillei	corpo de Frova	[MPa]		
Ch 1	CP10	56,78		
CILI	CP17	63,42		
Ch 2	CP10	65,08		
CITZ	CP17	50,22		
Ch 3	CP10	43,08		
CIIS	CP17	49,67		
Ch 4	CP10	68,06		
CII 4	CP17	48,98		
Ch 5	CP10	56,96		
CII 5	CP17	55,98		

Corymbia (Cc) 50% + Teca (Tc) 50%			
Máximo 68,06			
Média	55,82		
Mínima	43,08		
Desvio Padrão	7,99		

Dureza Janka				
	Corymbia (Cc)75% + Teca (Tc) 25%			
Painel	Come de Busse	Força		
Painei	Corpo de Prova	[MPa]		
Ch 1	CP10	62,30		
	CP17	52,63		
Ch 2	CP10	74,84		
CITZ	CP17	51,61		
Ch 3	CP10	57,80		
	CP17	66,74		
Ch 4	CP10	52,28		
	CP17	57,69		
Ch 5	CP10	55,16		
CII 5	CP17	65.50		

Corymbia (CC)75% + Teca (TC) 25%			
Máximo 74,84			
Média	59,66		
Mínima	51,61		
Desvio Padrão	7,59		

Dureza Janka			
	Teca (TC) 100%		
Painel	Come de Busse	Força	
Painei	Corpo de Prova	[MPa]	
Ch 1	CP10	45,68	
CHI	CP17	47,80	
Ch 2	CP10	44,32	
Cn 2	CP17	45,73	
Ch 3	CP10	54,52	
Cn 3	CP17	44,37	
Ch 4	CP10	40,58	
Cli 4	CP17	41,10	
Ch F	CP10	45,12	
Ch 5	CP17	56,59	

Resultados Teca(TC) 100% [MPa]				
Máximo 56,59				
Média	46,58			
Mínima	40,58			
Desvio Padrão	5,21			

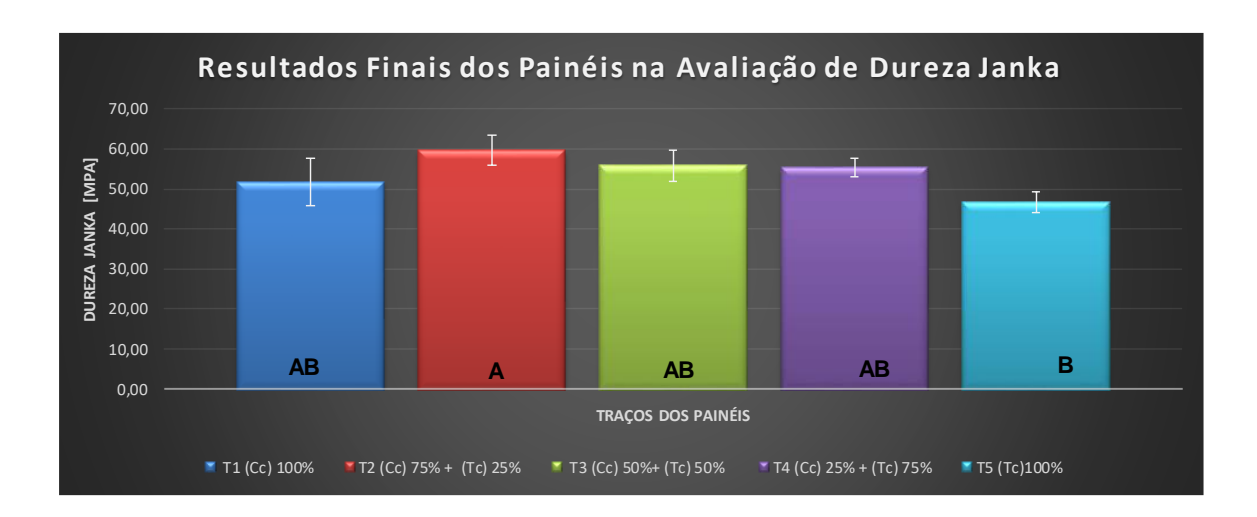
Resultados do Ensaio de Dureza Janka em [MPa]

Resultados	T1 (Cc) 100%	T2 (Cc) 75% + (Tc) 25%	T3 (Cc) 50%+ (Tc) 50%	T4 (Cc) 25% + (Tc) 75%	T5 (Tc)100%
Máximo	70,25	74,84	68,06	60,33	56,59
Média	51,74	59,66	55,82	55,36	46,58
Mínima	36,32	51,61	43,08	47,44	40,58
Desvio Padrão	11,73	7,59	7,99	4,59	5,21

(CC) \rightarrow Corymbia

(TC) → Teca

Mega Pascal - [MPa]



Anova fator único- Dureza Janka

Anova: fator único

RESUMO

KESONIO				
Grupo	Contagem	Soma	Média	Variância
T1 (Cc) 100%	10	517,41	51,741	137,583543
T2 (Cc) 75% +(Tc) 25%	10	596,55	59,655	57,5457833
T3 (Cc) 50% + (Tc) 50%	10	558,23	55,823	63,7608456
T4 (Cc) 25% +(Tc) 75%	10	553,57	55,357	21,0556456
T5 (Tc) 100%	10	465,81	46,581	27,1575878

ANOVA

Fonte da variação	SQ	gl	MQ		valor-P	F crítico
Entre grupos	971,463152	4	242,865788	3,954137	0,0078088	2,5787392
Dentro dos grupos	2763,93065	45	61,42068111			
Total	3735,393802	49				

Grupos de Tukey - Dureza Janka

Grouping Information Using Tukey Method

| N | Mean Grouping | T2 (Cc) 75% + (Tc) 25% | 10 | 59,655 | A | T3 (Cc) 50% + (Tc) 50% | 10 | 55,823 | A | B | T4 (Cc) 25% + (Tc) 75% | 10 | 55,357 | A | B | T1 (Cc) 100% | 10 | 51,741 | A | B | T5 (Tc) 100% | 10 | 46,581 | B |

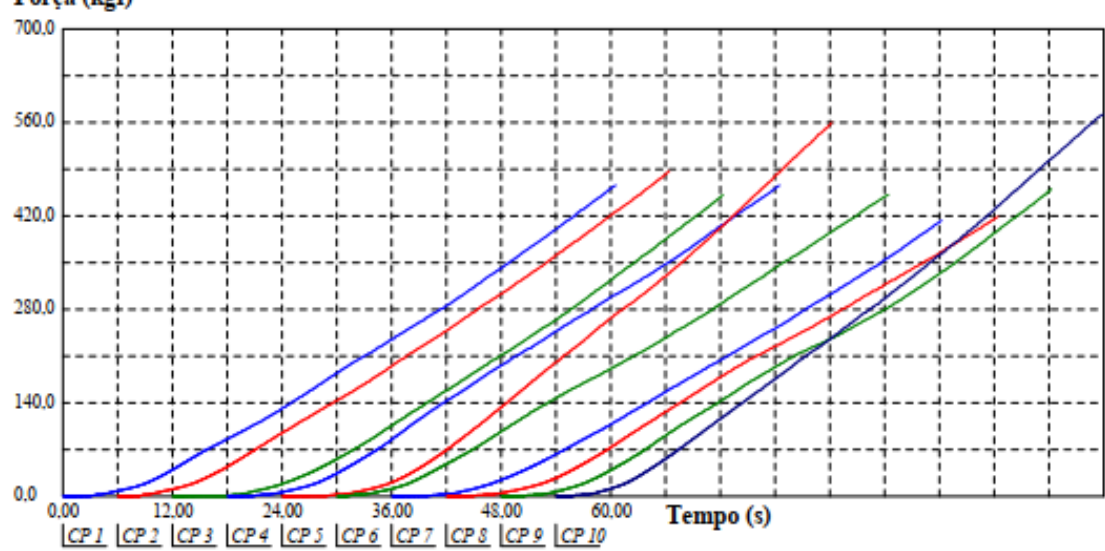
Means that do not share a letter are significantly different.

Faculdade de Engenharia de Bauru - Laboratório de Constru;áo Civil

Relatório de Ensaio

Extensômetro: - Data: 17/12/2018 Hora: 15:17:03 Trabalho nº 3613 Máquina: Emic DL30000N Célula: Trd 26 Programa: Tesc versão 1.13 Método de Ensaio: Painel Aglomerado - dureza Janka Traço: 100% Teca (TC) interessado: Doutorado Valter Ident. Amostra: >>>>>>>> Espécie: Painel Aglomerado Fc0,max Corpo de seção fc0 Prova (cm2) (kgf) (MPa) CP 1 1,00 465,80 45,68 1,00 47,80 CP 2 487,42 CP3 1,00 451,95 44,32 45,73 CP 4 1,00 466,29 CP 5 1,00 560,06 54,92 CP 6 1,00 452,51 44,37 CP 7 1,00 413,86 40,58 CP8 1,00 419,09 41,10 460,14 45,12 CP9 1,00 **CP 10** 1,00 577,09 56,59 Número CPs Média 1,000 475,4 46,62 0,0000 5,280 Desv.Padrão 53,84 0,0000 11,33 Coef.Var.(%) 11,33 1,000 1,000 Minimo 413,9 40,58 56,59 Máximo

Força (kgf)



Observação: Dureza Janka - NBR-14810-2 (2013), painel Aglomerado 100% Teca (Tc)

Faculdade de Engenharia de Bauru - Laboratório de Constru;áo Civil

Relatório de Ensaio

Trabalho n° 3614 Data: 17/12/2018 Hora: 15:19:00 Máquina: Emic DL30000N Célula: Trd 26 Extensômetro: -Programa: Tesc versão 1.13 Método de Ensaio: Painel Aglomerado dureza Janka 75% teca (TC) + 25% Corymbia (CC) interessado: Doutorado Ident. Amostra: > Espécie: Painel Aglomerado Traço: Valter Corpo de Fc0,max seção (MPa) Prova (cm2) (kgf) CP 1 1,00 483,74 47,44 CP 2 1,00 520,28 51,02 CP3 1,00 579,84 56,86 CP4 1,00 572,78 56,17 CP 5 1,00 596,24 58,47 CP 6 1,00 606,48 59,47 CP7 1,00 597,01 58,54 1,00 498,09 48,84 CP8 CP9 1,00 575,46 56,43 **CP 10** 615,17 60,33 1,00 Número CPs 10 10 10 1,000 564,5 55,36 Média

46,79

8,289

483,7

615,2

4,589

8,289

47,44

60,33

0,0000

0,0000

1,000

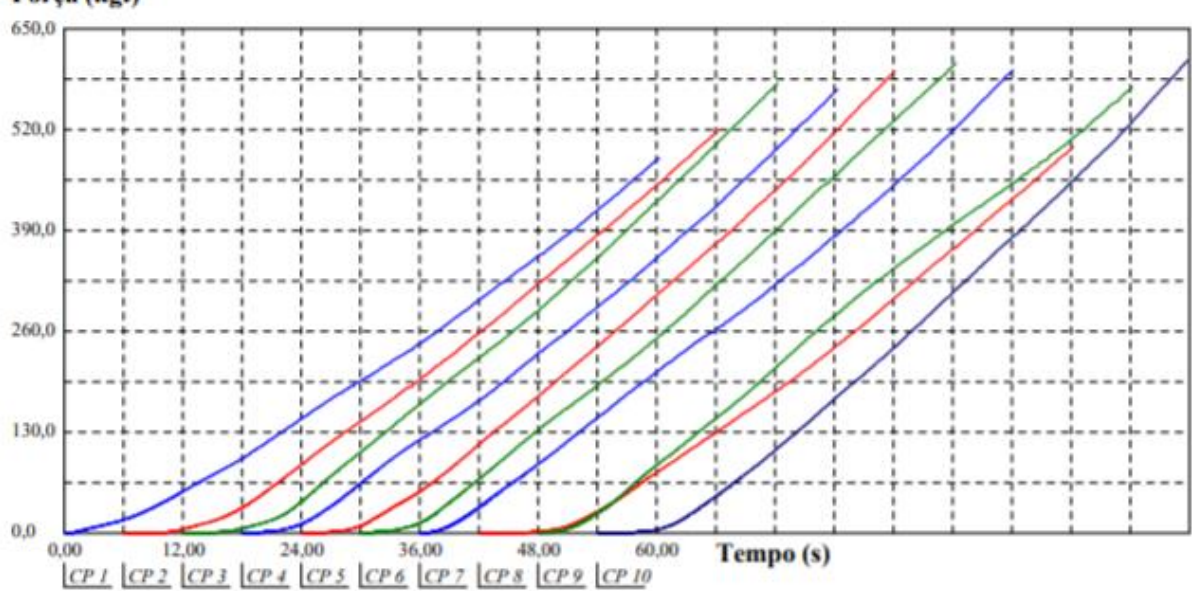
1,000

Força (kgf)

Desv.Padrão

Coef.Var.(%) Minimo

Máximo



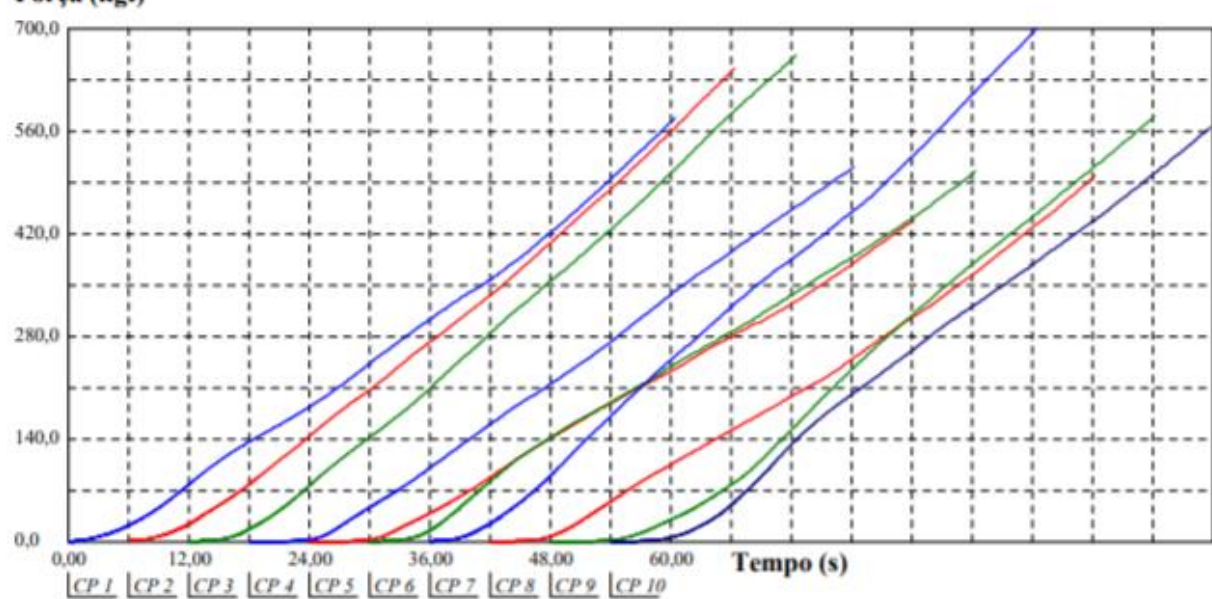
Observação: Dureza Janka Teca norma 14810-2 (2013) painel 75% (TC) + Corymbia 25%

Faculdade de Engenharia de Bauru - Laboratório de Constru;áo Civil

Relatório de Ensaio

Máquina: Emic DL30000N Célula: Trd 26 Extensômetro: - Data: 17/12/2018 Hora: 15:20:09 Método de Ensaio: Painel Aglomerado dureza Janka Programa: Tesc versão 1.13 Traço: 50% Teca + 50% Corymbia interessado: Doutorado valter Ident. Amostra: >>>> Espécie: Painel Aglomerado Fc0,max Corpo de seção fc0 Prova (cm2) (MPa) (kgf) CP 1 1,00 579,07 56,78 CP 2 1,00 646,69 63,42 1,00 CP3 663,65 65,08 CP4 1,00 512,08 50,22 1,00 439,30 43,08 CP 5 CP 6 1,00 506,50 49,67 CP7 1,00 700,18 68,66 CP8 499,50 1,00 48,98 CP9 1,00 580,83 56,96 **CP 10** 1,00 570,87 55,98 Número CPs 10 10 10 1,000 569,9 55,88 Média 0,0000 82,49 8,089 Desv.Padrão Coef.Var.(%) 0,0000 14,47 14,47 Mínimo 1,000 439,3 43,08 1,000 700,2 Máximo 68,66

Força (kgf)



Observação: Dureza Janka norma NBR 14-810-2 (2013)- painel 50 % Teca (Tc) + 50 % Corymbia (Cc)

Faculdade de Engenharia de Bauru - Laboratório de Constru;áo Civil

Relatório de Ensaio

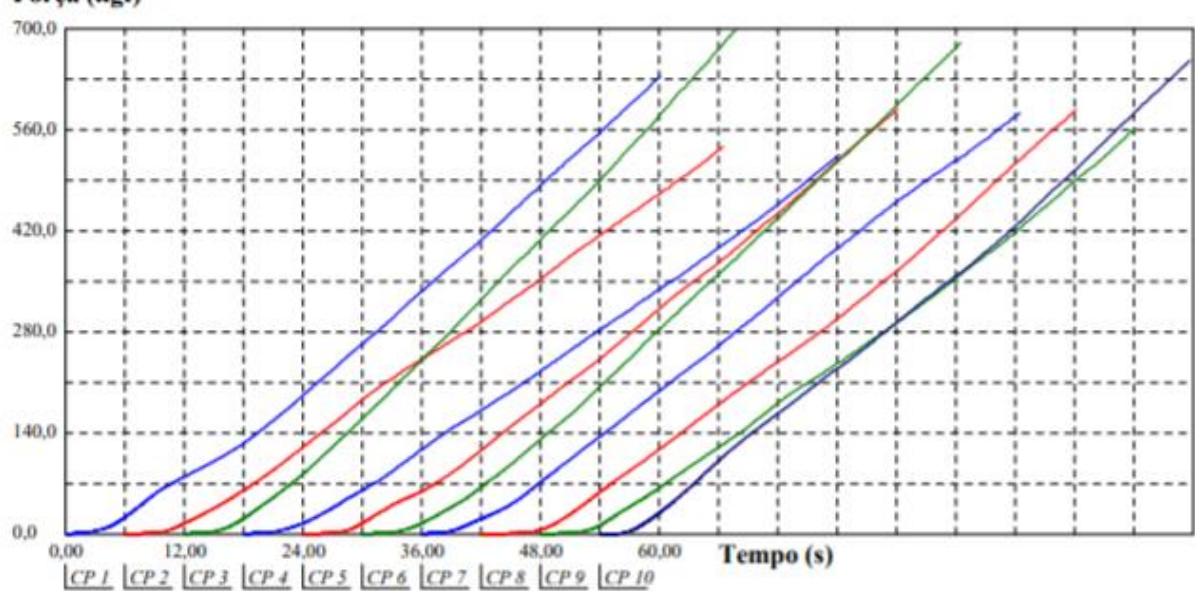
Máquina: Emic DL30000N Célula: Trd 26 Extensômetro: - Data: 17/12/2018 Hora: 15:21:22 Trabalho nº 3616

Programa: Tesc versão 1.13 Método de Ensaio: Painel Aglomerado dureza Janka 25%

Ident. Amostra: > Espécie: Painel AglomeradoTraço: Teca (Tc) + 75% Corymbia(CC)interessado: Doutorado Valter

Corpo de seção		Fc0,max	fc0
Prova	(cm2)	(kgf)	(MPa)
CP 1	1,00	635,31	62,30
CP 2	1,00	536,74	52,63
CP3	1,00	763,14	74.84
CP4	1,00	526,28	51,61
CP5	1,00	589,45	57.80
CP6	1,00	680,61	66,74
CP7	1.00	584.08	57.28
CP8	1,00	588,32	57,69
CP9	1,00	562,53	55,16
CP 10	1,00	667,96	65,50
Número CPs	10	10	10
Média	1,000	613,4	60,16
Desv.Padrão	0,0000	73,42	7,199
Coef.Var.(%)	0,0000	11,97	11.97
Mínimo	1,000	526.3	51,61
Máximo	1,000	763.1	74.84

Força (kgf)



Observação: Dureza Janka norma NBR 14810-2 (2013) painel 25% Teca (Tc)+ 75% Corymbia (Cc)

Faculdade de Engenharia de Bauru - Laboratório de Constru;áo Civil

Relatório de Ensaio

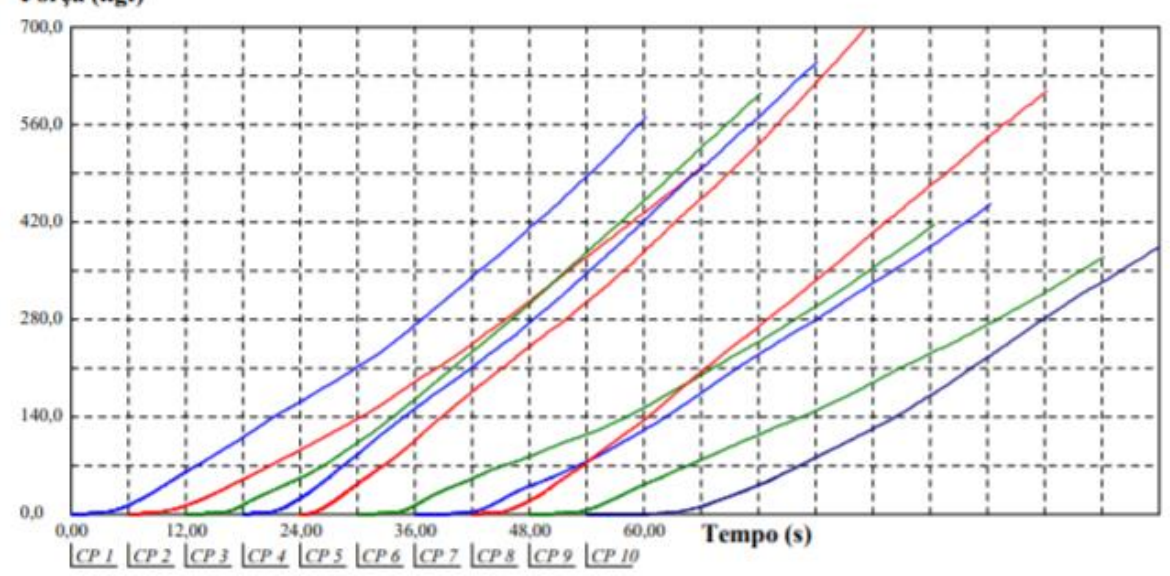
Máquina: Emic DL30000N Célula: Trd 26 Extensómetro: - Data: 17/12/2018 Hora: 15:22:21 Trabalho nº 3617

Programa: Tesc versão 1.13 Método de Ensaio: Painel Aglomerado dureza Janka

Ident. Amostra: >>>>>> Espécie: Painel Aglomerado Traço: 100% Corymbia (CC) interessado: Doutorado Valter

Corpo de	seção	Fc0,max	fc0
Prova	(cm2)	(kgf)	(MPa)
CP 1	1,00	571,36	56,03
CP 2	1,00	502,75	49,30
CP3	1,00	605,42	59,37
CP4	1,00	649,73	63,71
CP 5	1,00	716,36	70,25
CP 6	1,00	416,76	40,87
CP7	1,00	446,15	43,75
CP8	1.00	609.03	59,72
CP9	1,00	370,40	36,32
CP 10	1,00	388,42	38,09
Número CPs	10	10	10
Média	1,000	527.6	51,74
Desv.Padrão	0.0000	119,6	11,73
Coef.Var.(%)	0.0000	22,67	22,67
Mínimo	1,000	370.4	36.32
Máximo	1,000	716,4	70,25

Força (kgf)



Observação: Dureza Janka Norma NBR 14810-2 (2013) painel 100% Corymbia (Cc)

APÊNDICE L - DENSITOMETRIA DE RAIOS X

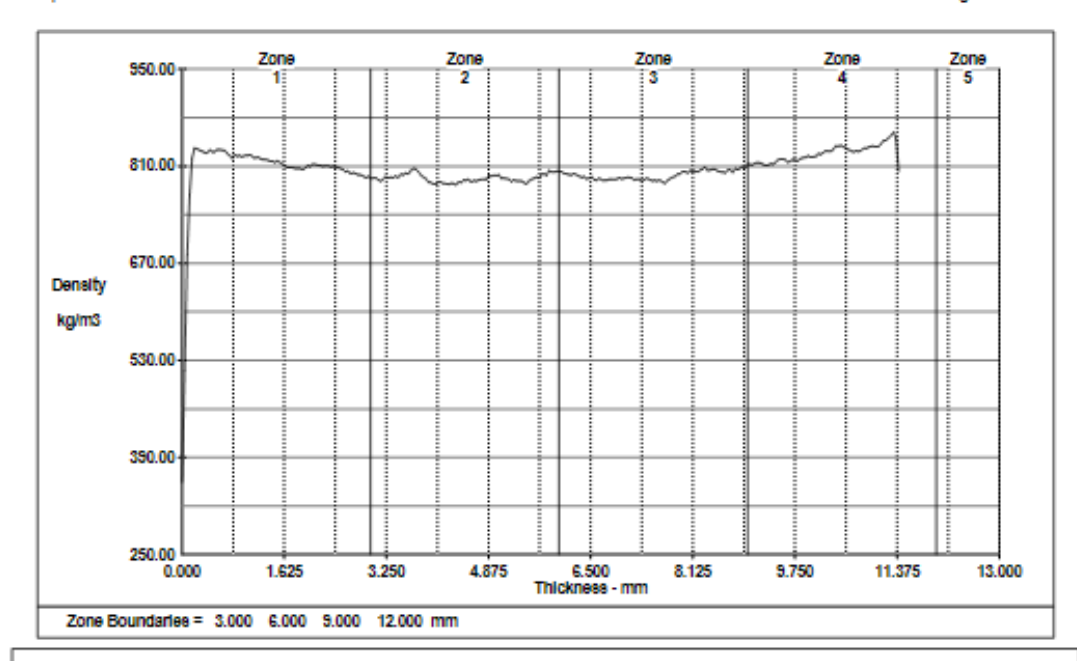
Painel aglomerado Corymbia 100%- doutorado Valter

QMS Density Profile System - v2.02 USB

Batch Summary Report - Scan Profile

Batch File: valter valter Operator:

Date: May 08, 2020 Time: 11:51:43 Page: 1 of 3



	Batch Average Density Analysis (kg/m3)
Datab Assesses Danaits:	000.00

Batch Average Density:

Zone 1/Pos. Zone 2/Pos. Zone 3/Pos. Zone 4/Pos. Zone Analysis Zone 5/Pos. Maximum Point Density: 847.91 0.560 820.20 4.560 820.35 8.240 864.75 11.200 Minimum Point Density: 354.89 0.000 770.68 4.120 774.06 7.000 Average Zone Density: 803.71 792.75 797.09 0.00 11.580 700.45 0.00 0.000 0.00

Ratio Analysis

Zone Avg. / Overall Avg.: Zone 1 Avg. / Zone 5 Avg.: (Zone 1 + Zone 5) / Overall Avg.: 0.99 1.00 0.99 0.87 0.00 0.00

Batch Analysis Parameters

Linear Resolution Step Size: Number of Samples in Batch: 10 Target Panel Thickness: 0.000 Time To Thickness: 0 Sec. mm Measured Panel Thickness: 0.000 mm Time to Decompression: 0 Sec. Target Weight: Measured Weight: Furnish Thickness: 0.000 0.000 Surface Moisture Content: Core Moisture Content: % % kg 0.000 50.151 Average Sample Beam Length: mm mm Press Temperature: Average Sample Height: 50.131 mm 12.732 m 22.30 g Mill Number: Press Load Number: Corimbya 100 % Average Sample Thickness: mm Average Sample Weight: Species Mix: Comments:

Painel aglomerado Corymbia 100%- doutorado Valter

QMS Density Profile System - v2.02 USB

Batch Summary Report - Scan Profile

Batch File: valter Operator: valter Date: May 08, 2020 Time: 11:51:43 Page: 2 of 3

Step NumtPo	sition Dens	ity	Step NumtP	osition Dens	ity		Step NumbPo	sition Dens	ity
1	0.000	354.69	61	2.400	810.14		121	4.800	791.63
2 3	0.040	515.30	62	2.440 2.480	807.40		122 123	4.840	791.16
3	0.080	681.96	63	2.480	809.46		123	4.880	796.74
4 5 6	0.120 0.160	768.41	64 65	2.520 2.560	806.89		124 125	4.920 4.980	795.44 797.14
0	0.100	821.62 836.39	68	2.500	805.74 801.93		125	5.000	797.14
7	0.200	835.21	87	2.640	803.80		127	5.040	798.05
7	0.240 0.280	833.16	67 68	2.680	799.55		128	5.080	792.67
ă	0.320	831.62	69	2.720	800.82		129	5.120	793.45
9 10	0.320 0.360	830.23	69 70	2.720 2.760	799.75		129 130	5.120 5.160	792.31
11	0.400	828.87	71 72 73	2.800	797.99		131	5,200	791.38
12 13	0.440	833.72	72	2.840 2.880	797.70		132	5.240 5.280	788.10
13	0.480	830.82	73	2.880	796.50		133	5.280	790.95
14 15	0.520 0.580	831.05 834.32	74 75 76 77 78	2.920 2.960	793.34 795.38		134 135	5.320 5.380	789.10 788.95
16	0.600	834.33	78	3.000	792.48		138	5.400	788.84
17	0.000	937.33 937.08	1 77	3.000	792.81		137	5.440	788.65
17 18	0.640 0.680	832.98 832.91	78	3.040 3.080	793.63		138	5.480	784.54
19	0.720 0.760	828.38	79 80	3.120 3.160	790.58		139	5.520 5.580	789.01
20		825.67	80	3.160	788.70		140		791.62
21	0.800	821.82	81	3.200	791.38		141	5.600	792.48
22	0.840 0.880	826.22 824.90	82 83 84 85 86	3.240 3.280	795.02		142	5.640	794.73
23	0.880	824.90 825.72	83	3.280	793.22		143	5.680	792.92
25	0.920 0.960	823.46	85	3.320 3.360	794.50 793.71		144 145	5.720 5.760	798.92 799.14
28	1.000	825.83	88	3.400	796.30		148	5.800	796.88
27	1.040	825.63	87	3.440	793.76		147	5.840	803.94
19 20 21 22 23 24 25 26 27 28 29 30 31 32 33 34 35 36 37 38	1.040 1.080	826.66	87 88	3.440 3.480	798.82		148	5.880	801.89
29	1.120	824.60	89 90	3.520 3.560	797.97		149	5.920	801.52
30	1.160	821.67	90	3.560	800.35		150	5.980	803.18
31	1.200	823.91	91	3.600	799.08		151	6.000	802.14
32	1.240 1.280	821.76 819.74	92 93	3.640 3.680	804.21 806.81		152 153	6.040 6.080	802.43 799.94
34	1.200	819.78	04	3.720	806.35		154	6.120	799.16
35	1.320 1.360	819.01	95	3.760	802.48		155	6.160	798.06
36	1.400	817.29	94 95 98	3.800	797.79		158	6.200	797.60
37	1.440	817.42	97 98	3.840 3.880	794.87		157	6.240 6.280	799.67
38	1.480	815.71	98	3.880	792.37		158	6.280	797.69
39	1.520 1.580	817.90 815.63	99 100	3.920 3.960	787.21 788.71		159 160	6.320 6.380	795.54 794.45
41	1.600	813.13	100	4.000	784.33		161	6.400	794.45
42	1.660	810.64	102	4.040	784.84		162	6.440	791.90
42 43	1.640 1.680	808.80	103	4.080	787.27		163	6.480	792.98
44 45	1.720	808.77	104	4.120	787.16		164	6.520	794.91 790.44
45	1.760	808.06	105	4.160	785.52		165	6.560	
46	1.800	807.40	108	4.200	785.20		168	6.600	790.20
47	1.840 1.880	807.45	107	4.240 4.280	783.83		167	6.640	793.19
48 49 50	1.880	807.45 805.26	108 109	4.320	785.65 785.56		168 169	6.680 6.720	790.14 790.20
50	1.980	808.08	110	4.380	783.35		170	6.780	790.07
51	2.000	811.28	111	4.400	787.49		171	6.800	791.57
52	2.040 2.080	809.68	112	4.440	786.57		172	6.840	791.35
53		813.07	113	4.480	790.38		173	6.880	791.09
54	2.120	812.67	114	4.520	789.68		174	6.920	791.75
55	2.160	811.82	115	4.580	791.63		175	6.960	793.81
50	2.200	811.25	116	4.600	787.35		176	7.000	792.04
57 58	2.240 2.280	810.07 810.69	117 118	4.640 4.680	789.77 788.61		177 178	7.040 7.080	792.78 794.19
51 52 53 54 55 56 57 58 59	2.320	810.87	119	4.720	790.08		179	7.120	794.18
60	2.380	809.31	120	4.760	791.09		180	7.180	793.12
			I			- 1			

Painel aglomerado Corymbia 100%- doutorado Valter

QMS Density Profile System - v2.02 USB

Batch Summary Report - Scan Profile

Batch File: valter Operator: valter Date: May 08, 2020 Time: 11:51:43 Page: 3 of 3

Step NumbPosition Density	Step NumbPosition Density	Step NumtPosition Density
181 7.200 789.97 182 7.240 791.88 183 7.280 791.06 184 7.320 788.80 185 7.380 791.03 186 7.400 792.96 187 7.440 790.43 188 7.480 789.47 189 7.520 789.63 190 7.580 789.10 191 7.600 790.37 192 7.640 787.68 193 7.680 785.37 194 7.720 789.40 195 7.760 791.91 196 7.800 794.22 197 7.840 795.42 198 7.820 798.95 200 7.960 802.15 201 8.000 802.15 201 8.040 802.30 204 8.120 803.99 204 8.120 801.94 207 8	241 9.600 819.30 242 9.640 816.08 243 9.680 817.64 244 9.720 819.97 246 9.800 818.20 247 9.840 821.39 248 9.800 822.54 249 9.900 822.78 250 9.960 825.37 251 10.000 823.15 252 10.040 823.84 253 10.080 823.83 254 10.120 828.01 256 10.200 829.61 257 10.240 832.39 258 10.280 831.70 259 10.320 831.70 250 10.400 834.25 261 10.400 839.45 262 10.440 838.98 263 10.480 840.39 264 10.520 837.66 265 10.560 836.74 266 10.600 834.40 267 10.640 832.87 268 10.680 830.52 269 10.720 832.43 270 10.760 831.19 271 10.800 832.57 273 10.880 835.97 274 10.920 837.58 275 10.900 831.19 271 10.800 832.87 274 10.920 837.52 279 11.120 832.83 277 11.040 838.93 274 10.920 837.52 279 11.120 832.59 274 10.920 837.58 275 10.900 838.77 278 11.000 838.77 278 11.000 838.77 278 11.000 838.77 278 11.000 838.77 278 11.000 838.77 278 11.000 838.75 277 11.040 838.77 278 11.080 838.77 278 11.080 838.77 278 11.080 838.77 278 11.080 838.77 278 11.080 838.75 279 11.120 842.59 280 11.160 848.70 281 11.200 847.58 282 11.240 851.10 283 11.280 854.89 284 11.320 854.89 284 11.320 854.89 285 11.380 849.48 286 11.400 802.96	

Painel aglomerado 75 % Corymbia 25% teca- doutorado Valter

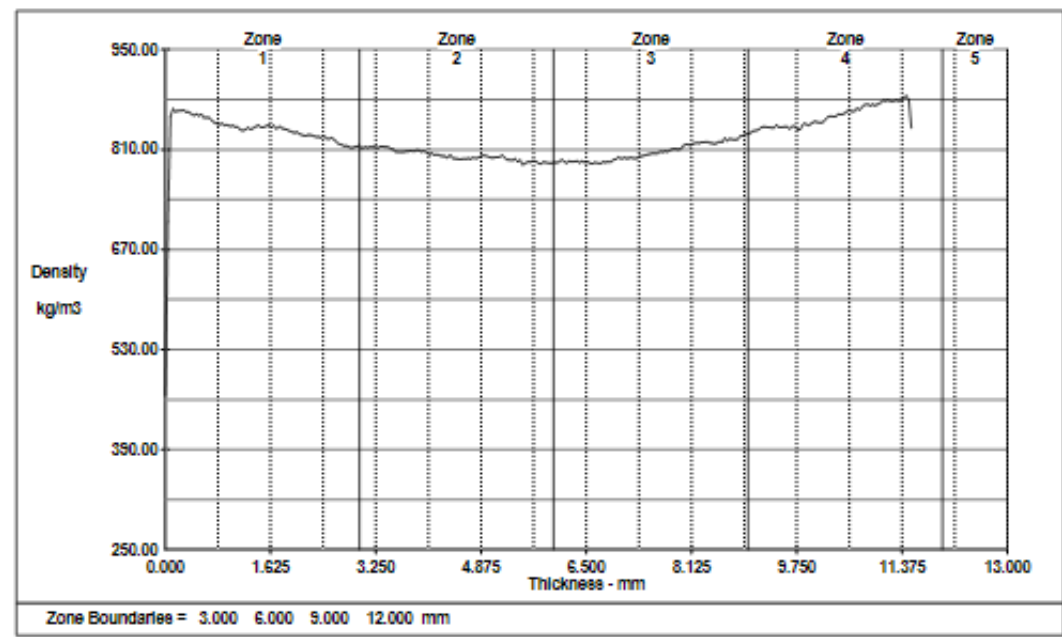
QMS Density Profile System - v2.02 USB

Batch Summary Report - Scan Profile

 Batch File:
 valter
 Date: May 08, 2020

 Operator:
 valter
 Time: 12:32:11

 Operator:
 valter
 Page: 1 of 3



Batch Average Density Analysis (kg/m3)						
latch Average Density:	822.63					
one Analysis Zone	I/Pos. Zone 2/	/Pos. Zone 3/Pos.	Zone 4/Pos.	Zone 5/Pos.		
faximum Point Density: 884.59 finimum Point Density: 465.70 werage Zone Density: 833.29	0.000 776.67	5.400 777.67 6.600				
latio Analysis						
one Avg. / Overall Avg.: one 1 Avg. / Zone 5 Avg.: Zone 1 + Zone 5) / Overall Avg.	0.00	0.98 0.98	0.94	0.00		
		Batch Analysis Para	meters			
leasured Panel Thickness: arget Weight: leasured Weight:	0.000 mm 0.000 mm 0.000 kg 0.000 kg 0.000 mm 0 °C	Time To Time to Surface Core M Average Average Average	Resolution Step Si Thickness: Decompression: Moisture Content: Sample Beam L Sample Beam L Sample Height: Sample Thickne Sample Weight:	0 0 0.000 0.000 ength: 50.138 50.143 ss: 11.712	mm mm mm	

Painel aglomerado 75 % Corymbia 25% teca- doutorado Valter

QMS Density Profile System - v2.02 USB

Batch Summary Report - Scan Profile

Batch File: valter Operator: valter Date: May 08, 2020 Time: 12:32:11 Page: 2 of 3

Delisity Analysis (opinio)								
Step NumtPosition Density	Step NumtPosition Density	Step NumtPosition Density						
Step NumbPosition Density 1 0.000 485.70 2 0.040 708.45 3 0.080 857.35 4 0.120 887.32 5 0.180 883.18 6 0.200 884.54 7 0.240 884.31 8 0.280 865.84 9 0.320 882.87 10 0.380 862.97 11 0.400 860.88 12 0.440 857.76 13 0.480 860.17 14 0.520 857.62 15 0.580 850.72 16 0.600 854.60 17 0.840 855.14 18 0.680 854.55 19 0.720 851.04 20 0.780 848.10 21 0.800 846.83 23 0.880 846.27 24 0.920 844.09 </td <td> Step NumtPosition Density 61 2.400 827.17 62 2.440 829.61 63 2.480 827.56 64 2.520 824.54 65 2.560 826.90 68 2.600 824.52 67 2.640 821.76 68 2.680 818.16 69 2.720 815.35 71 2.800 815.40 72 2.840 812.47 74 2.920 813.89 75 2.960 814.32 76 3.000 816.40 77 3.040 811.63 78 3.080 814.29 79 3.120 812.59 80 3.60 813.65 81 3.200 813.65 81 3.200 813.65 81 3.200 814.43 85 3.360 814.43 85 3.360 814.43 85 3.360 814.43 85 3.360 814.43 85 3.360 814.43 88 3.490 814.13 88 3.490 814.13 88 3.490 814.13 88 3.490 814.13 88 3.490 807.23 92 3.640 807.29 91 3.600 807.29 91 3.600 807.29 91 3.600 807.29 91 3.600 807.29 91 3.600 807.44 97 3.840 807.44 97 3.840 807.44 97 3.840 807.44 101 4.000 808.38 102 4.040 805.62 103 4.080 803.23 104 4.120 805.62 105 4.200 803.78 107 4.240 801.59 108 4.200 803.78 107 4.240 801.59 108 4.200 803.78 107 4.240 801.59 108 4.200 803.78 107 4.240 801.59 108 4.200 803.78 107 4.240 801.59 108 4.200 803.78 107 4.240 801.59 108 4.200 803.78 107 4.240 801.59 108 4.200 803.80 109 4.200 803.78 107 4.240 801.59 108 4.200 803.78 107 4.240 801.59 108 4.200 803.78 107 4.240 801.59 108 4.200 803.80 109 4.200 803.78 107 4.240 801.59 108 4.200 803.80 109 4.200 803.78 107 4.240 801.59 108 4.200 803.80 109 4.200 803.78 107 4.240 801.59 108 4.200 803.80 109 4.200 803.78 107 4.240 801.59 108 4.200 803.23 104 4.120 805.62 103 4.080 709.60 114 4.400 709.26 116 4.600 709.60 117 4.640 709.26 118 4.600 709.60 118 4.600 709.60 118 4.600 709.60 119 4.720 709.42 120 4.760 709.19 109.10 4.760 709.19 109.1</td> <td> Step NumtPosition Density 121 4.800 798.13 122 4.840 799.42 123 4.880 801.30 124 4.920 802.34 125 4.960 801.35 126 5.000 799.68 127 5.040 798.57 128 5.080 799.22 129 5.120 799.92 130 5.160 799.63 131 5.200 802.28 132 5.240 798.88 133 5.280 795.69 134 5.320 795.78 135 5.380 795.77 136 5.400 797.65 137 5.440 793.45 138 5.480 795.58 139 5.520 789.04 140 5.580 791.25 141 5.600 792.73 143 5.680 794.81 144 5.720 794.04 145 5.760 791.26 146 5.840 792.75 148 5.880 792.32 149 5.920 791.32 151 6.000 792.11 152 6.040 792.47 155 6.160 792.80 156 6.200 791.32 157 6.240 794.50 156 6.200 791.35 159 6.320 793.55 160 6.360 791.28 166 6.200 792.80 166 6.200 792.80 166 6.200 792.80 166 6.200 792.80 166 6.200 792.80 166 6.200 792.80 166 6.200 792.80 166 6.200 792.80 166 6.200 792.80 166 6.200 792.80 166 6.200 792.80 166 6.600 792.80 166 6.600 792.80 167 6.840 792.90 163 6.480 792.90 163 6.480 792.90 163 6.480 792.90 163 6.480 792.90 163 6.480 792.90 163 6.480 792.90 165 6.560 791.08 166 6.600 792.80 172 6.840 792.90 163 6.480 792.90 165 6.560 791.08 166 6.600 792.80 172 6.840 792.90 173 6.880 792.90 174 6.920 792.90 175 6.980 791.08 177 6.980 791.08 177 6.980 791.08 177 6.980 791.08 177 7.040 796.85 170 6.780 792.90 176 7.000 800.19 177 7.040 796.85 170 796.90 176 7.000 800.19 177 7.040 796.85 170 798.15</td>	Step NumtPosition Density 61 2.400 827.17 62 2.440 829.61 63 2.480 827.56 64 2.520 824.54 65 2.560 826.90 68 2.600 824.52 67 2.640 821.76 68 2.680 818.16 69 2.720 815.35 71 2.800 815.40 72 2.840 812.47 74 2.920 813.89 75 2.960 814.32 76 3.000 816.40 77 3.040 811.63 78 3.080 814.29 79 3.120 812.59 80 3.60 813.65 81 3.200 813.65 81 3.200 813.65 81 3.200 814.43 85 3.360 814.43 85 3.360 814.43 85 3.360 814.43 85 3.360 814.43 85 3.360 814.43 88 3.490 814.13 88 3.490 814.13 88 3.490 814.13 88 3.490 814.13 88 3.490 807.23 92 3.640 807.29 91 3.600 807.29 91 3.600 807.29 91 3.600 807.29 91 3.600 807.29 91 3.600 807.44 97 3.840 807.44 97 3.840 807.44 97 3.840 807.44 101 4.000 808.38 102 4.040 805.62 103 4.080 803.23 104 4.120 805.62 105 4.200 803.78 107 4.240 801.59 108 4.200 803.78 107 4.240 801.59 108 4.200 803.78 107 4.240 801.59 108 4.200 803.78 107 4.240 801.59 108 4.200 803.78 107 4.240 801.59 108 4.200 803.78 107 4.240 801.59 108 4.200 803.78 107 4.240 801.59 108 4.200 803.80 109 4.200 803.78 107 4.240 801.59 108 4.200 803.78 107 4.240 801.59 108 4.200 803.78 107 4.240 801.59 108 4.200 803.80 109 4.200 803.78 107 4.240 801.59 108 4.200 803.80 109 4.200 803.78 107 4.240 801.59 108 4.200 803.80 109 4.200 803.78 107 4.240 801.59 108 4.200 803.80 109 4.200 803.78 107 4.240 801.59 108 4.200 803.23 104 4.120 805.62 103 4.080 709.60 114 4.400 709.26 116 4.600 709.60 117 4.640 709.26 118 4.600 709.60 118 4.600 709.60 118 4.600 709.60 119 4.720 709.42 120 4.760 709.19 109.10 4.760 709.19 109.1	Step NumtPosition Density 121 4.800 798.13 122 4.840 799.42 123 4.880 801.30 124 4.920 802.34 125 4.960 801.35 126 5.000 799.68 127 5.040 798.57 128 5.080 799.22 129 5.120 799.92 130 5.160 799.63 131 5.200 802.28 132 5.240 798.88 133 5.280 795.69 134 5.320 795.78 135 5.380 795.77 136 5.400 797.65 137 5.440 793.45 138 5.480 795.58 139 5.520 789.04 140 5.580 791.25 141 5.600 792.73 143 5.680 794.81 144 5.720 794.04 145 5.760 791.26 146 5.840 792.75 148 5.880 792.32 149 5.920 791.32 151 6.000 792.11 152 6.040 792.47 155 6.160 792.80 156 6.200 791.32 157 6.240 794.50 156 6.200 791.35 159 6.320 793.55 160 6.360 791.28 166 6.200 792.80 166 6.200 792.80 166 6.200 792.80 166 6.200 792.80 166 6.200 792.80 166 6.200 792.80 166 6.200 792.80 166 6.200 792.80 166 6.200 792.80 166 6.200 792.80 166 6.200 792.80 166 6.600 792.80 166 6.600 792.80 167 6.840 792.90 163 6.480 792.90 163 6.480 792.90 163 6.480 792.90 163 6.480 792.90 163 6.480 792.90 163 6.480 792.90 165 6.560 791.08 166 6.600 792.80 172 6.840 792.90 163 6.480 792.90 165 6.560 791.08 166 6.600 792.80 172 6.840 792.90 173 6.880 792.90 174 6.920 792.90 175 6.980 791.08 177 6.980 791.08 177 6.980 791.08 177 6.980 791.08 177 7.040 796.85 170 6.780 792.90 176 7.000 800.19 177 7.040 796.85 170 796.90 176 7.000 800.19 177 7.040 796.85 170 798.15						

Painel aglomerado 75 % Corymbia 25% teca- doutorado Valter

QMS Density Profile System - v2.02 USB

Batch Summary Report - Scan Profile

Batch File: valter Operator: valter Date: May 08, 2020 Time: 12:32:11 Page: 3 of 3

Step NumtPosition Density	Step NumbPosition Density	Step NumtPosition Density
181 7.200 799.20 182 7.240 797.67 183 7.280 798.05 184 7.320 800.90 185 7.360 800.90 186 7.400 801.95 187 7.440 803.42 188 7.480 804.22 189 7.520 804.77 190 7.560 804.83 191 7.600 804.83 191 7.600 804.66 192 7.640 807.72 193 7.680 807.72 193 7.680 807.72 193 7.680 807.72 193 7.680 807.72 194 7.720 807.35 196 7.760 807.35 196 7.760 807.35 196 7.800 807.11 197 7.840 811.17 198 7.880 811.07 199 7.920 810.22 200 7.980 811.00 201 8.000 815.58 202 8.040 817.55 203 8.080 816.87 204 8.120 816.25 205 8.160 818.82 206 8.200 819.47 207 8.240 819.11 208 8.280 820.68 209 8.320 820.68 209 8.320 820.68 210 8.360 821.28 211 8.400 819.48 212 8.440 819.09 213 8.480 818.44 214 8.520 819.17 215 8.560 821.22 216 8.600 822.27 217 8.640 822.26 221 8.720 825.68 220 8.720 825.68 220 8.720 825.68 220 8.720 825.68 220 8.720 825.89 224 8.920 829.78 225 8.960 831.02 226 8.900 832.01 227 9.040 833.76 228 9.080 838.11 231 9.200 840.88 233 9.280 841.85 234 9.320 841.87 235 9.380 841.87 236 9.380 841.87 237 9.440 844.88 238 9.480 845.99 233 9.280 841.86 234 9.320 841.37 235 9.380 840.89 236 9.480 844.88 238 9.480 844.88 239 9.520 841.37 236 9.480 844.48 238 9.480 844.48 238 9.480 844.48	241 9.600 842.30 242 9.640 839.24 243 9.680 842.33 244 9.720 842.80 245 9.760 838.71 246 9.800 838.26 247 9.840 847.66 249 9.920 843.92 250 9.960 845.77 251 10.000 848.29 252 10.040 849.84 253 10.000 847.95 254 10.120 856.58 258 10.280 857.09 259 10.320 856.25 260 10.360 857.10 261 10.400 859.16 262 10.440 859.16 263 10.480 859.94 262 10.440 859.16 263 10.600 863.77 264 10.520 863.46 265 10.560 868.13 266 10.500 868.13 266 10.600 863.77 267 10.640 863.81 268 10.680 867.92 269 10.720 865.97 270 10.760 869.63 271 10.800 877.25 272 10.840 879.25 273 10.840 879.25 274 10.920 873.23 275 10.960 873.88 277 11.040 873.88 277 11.040 873.88 277 11.040 873.88 277 11.040 873.89 279 11.120 878.36 281 11.200 879.29 281 11.200 878.36 282 11.440 879.29 283 11.280 879.49 284 11.320 878.33 285 11.480 879.49 284 11.320 878.33 285 11.440 882.33 286 11.440 885.53 288 11.440 885.53 288 11.440 882.33 287 11.440 885.53 288 11.440 882.33 287 11.440 885.53 288 11.480 879.82	

Painel aglomerado 50 % Corymbia 50 % teca- doutorado Valter

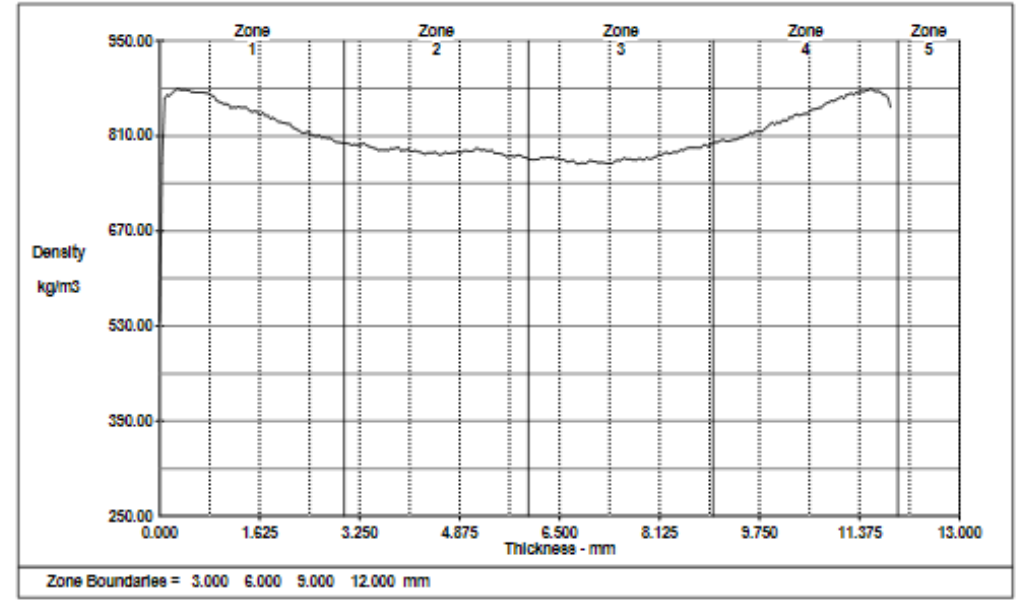
QMS Density Profile System - v2.02 USB

Batch Summary Report - Scan Profile

 Batch File:
 valter
 Date: May 08, 2020

 Operator:
 valter
 Time: 12:57:12

 Operator:
 valter
 Page: 1 of 3



		Datoli Avera	ge Density An	ary ara (Kyrina)		
Batch Average Density:	811.2	29				
Zone Analysis	Zone 1/Pos.	Zone 2/Pos.	Zone 3/Pos.	Zone 4/Pos.	Zone 5/Pos.	
Maximum Point Density: 8 Minimum Point Density: 5 Average Zone Density: 8	38.51 0.000					
Ratio Analysis						
Zone Avg. / Overall Avg.: Zone 1 Avg. / Zone 5 Avg Zone 1 + Zone 5) / Overa	.:	0.97 2.63 1.43	0.96	1.03	0.39	
		Batch	Analysis Para	meters		
Number of Samples in Ba Farget Panel Thickness: Measured Panel Thicknes Farget Weight: Measured Weight: Furnish Thickness: Press Temperature: Mill Number: Cor Press Load Number: Species Mic: Comments:	0.000 0.000 0.000 0.000 0.000	mm mm kg kg mm	Time To Time to Surface Core M Averag Averag Averag	Resolution Step o Thickness: o Decompression e Moisture Conte loisture Content: e Sample Beam e Sample Height e Sample Weigh	: nt: 0.00 0.00 Length: 50.09 : 49.97	2 0 Sec. 0 Sec. 10 % 17 mm 17 mm 13 mm

Painel aglomerado 50 % Corymbia 50 % teca- doutorado Valter

QMS Density Profile System - v2.02 USB

Batch Summary Report - Scan Profile

Batch File: valter Operator: valter Date: May 08, 2020 Time: 12:57:12 Page: 2 of 3

1 0 000 538.51 61 2.400 816.18 121 4.000 785.10 2 0.000 785.10 2 0.000 785.10 3 0.000 865.79 63 2.440 812.32 123 4.880 785.84 4 0.120 870.34 64 2.520 810.03 124 4.820 785.84 6 0.020 872.95 68 2.500 810.05 125 4.600 789.82 5 0.000 872.95 68 2.500 810.05 125 4.600 789.85 785.84 6 0.020 872.95 68 2.500 810.05 125 4.600 789.85 79 6 0.020 872.95 68 2.500 810.05 125 4.600 789.85 79 6 0.020 872.95 68 2.500 810.05 125 4.000 789.85 79 6 0.020 872.95 120 120 120 120 120 120 120 120 120 120	Step NumbPosition De	ensity	Step NumtPo	sition Densi	ty	Step NumbPo	sition Densi	ty
2 0.040 770.27 62 2.440 813.11 122 4.840 787.82 3 0.080 886.79 63 2.480 812.32 123 4.880 785.84 4 0.120 870.34 64 2.520 810.03 124 4.820 786.64 5 0.100 888.93 85 2.560 810.05 125 4.900 788.25 6 0.200 872.75 68 2.200 810.03 124 4.900 789.16 6 0.200 872.75 68 2.2000 810.81 125 5.000 788.25 7 0.240 878.03 68 2.680 800.13 127 5.040 778.24 8 0.220 879.34 68 2.2680 800.23 127 5.040 778.734 8 0.220 879.34 68 2.2680 800.24 128 5.000 778.25 10 0.200 877.71 69 2.260 800.23 128 129 5.000 778.25 11 0.400 877.71 77 2.2840 800.28 129 129 5.000 778.28 12 0.400 877.81 77 2.2840 800.28 129 129 5.000 778.82 13 0.490 877.01 73 2.880 801.01 133 5.200 780.83 14 0.520 874.88 74 2.920 800.88 124 5.260 778.14 15 0.500 874.72 75 2.980 800.88 124 5.260 780.78 16 0.500 874.72 75 2.980 800.88 124 5.300 780.78 17 0.840 874.99 77 3.2880 801.01 133 5.200 780.89 17 0.840 874.99 77 3.2880 801.01 133 5.200 780.89 18 0.500 874.72 75 2.980 800.88 124 5.300 780.78 19 0.800 874.72 75 2.980 800.88 124 5.300 780.78 19 0.800 874.72 75 2.980 800.88 124 5.300 780.78 19 0.800 874.72 75 2.980 800.88 124 5.300 780.78 19 0.800 874.72 76 2.900 800.88 124 5.300 780.78 19 0.800 874.72 75 2.980 800.88 124 5.300 780.78 19 0.800 874.72 77 3.2880 801.01 133 5.5300 780.78 19 0.800 874.72 77 3.2880 801.01 133 5.5300 780.78 19 0.800 874.89 77 874.89 77 878.79 10 0.800 874.99 874.99 77 3.300 796.90 128 5.400 789.39 17 0.840 874.9	1 0.000	538.51	61	2.400	816.18	121	4.800	785.10
4 0.120 870.34 64 2.500 810.03 124 4.900 788.42 50.000 810.05 125 4.900 789.46 6 0.200 872.75 68 2.800 810.05 125 4.900 789.16 6 0.200 877.75 68 2.800 810.05 125 4.900 789.16 6 0.200 879.50 88 2.880 805.24 122 5.000 787.34 8 0.200 879.50 88 2.880 805.24 122 5.000 787.34 127 5.040 877.34 127 5.040 877.34 127 5.040 877.34 127 5.040 877.34 127 5.040 877.34 127 5.040 877.34 127 5.040 877.34 127 5.040 877.34 127 5.040 877.34 127 5.040 877.34 127 5.040 877.34 127 5.040 877.34 127 5.040 877.34 127 5.040 877.34 12 5.040 877.34 1	2 0.040		62	2.440			4.840	
5 0.160 888.93 65 2.580 810.05 125 4.980 789.16 6 0.200 872.75 68 2.500 810.81 126 5.000 789.25 7 0.240 876.34 67 2.640 807.13 127 5.040 787.34 8 0.200 879.50 68 2.580 805.24 122 5.040 787.81 9 0.320 878.94 69 2.720 805.99 129 5.120 789.51 10 0.320 877.84 77 77 2.280 805.99 129 5.120 789.51 11 0.400 877.34 77 77 2.280 805.99 129 5.120 789.51 11 0.400 877.34 77 77 2.280 805.98 131 5.200 789.61 11 0.400 877.34 77 77 2.280 805.98 131 5.200 789.61 11 0.400 877.34 77 77 2.280 805.98 131 5.200 789.61 11 0.400 877.34 77 77 2.280 805.98 131 5.200 789.61 11 0.400 877.37 78 78 78 78 78 78 78 78 78 78 78 78 78								
6 0 200 872.75 666 2.800 810.81 128 5.000 788.25 7 7 0.240 876.34 67 2.840 807.13 127 5.040 787.34 8 0.280 878.30 68 2.880 808.24 128 5.000 787.81 9 0.320 878.94 69 2.720 805.99 129 5.120 789.51 10 0.380 877.71 70 2.780 807.28 130 5.160 778.28 11 0.400 877.84 71 2.800 805.98 131 5.200 789.85 11 0.400 877.84 71 2.800 805.98 131 5.200 789.85 12 0.440 877.84 71 2.800 805.88 132 5.240 789.85 13 13 5.200 789.85 13 13 6.200 789.85 13	4 0.120		64	2.520				
7 0.240 876.34 67 2.640 807.13 127 5.040 787.34 8 0.280 878.30 68 2.880 803.24 128 5.000 787.81 9 0.320 878.94 68 2.720 809.99 129 129 5.120 789.51 10 0.360 877.71 70 2.760 807.28 130 5.160 792.83 11 0.400 877.84 71 2.800 805.88 131 5.200 789.83 11 0.400 877.84 71 2.800 805.88 132 5.240 789.83 12 0.400 877.07 73 2.880 801.01 133 5.200 780.83 13 0.480 877.07 73 2.880 801.01 133 5.200 780.05 15 0.500 877.84 71 2.800 805.88 132 5.240 789.87 13 0.480 877.07 73 2.880 801.01 133 135 5.280 780.05 15 0.500 877.84 71 2.800 803.88 134 5.320 780.05 15 0.500 877.84 87 72 2.860 800.03 135 5.300 788.10 15 0.500 874.86 74 2.820 803.88 134 5.320 780.05 15 0.500 874.86 74 2.820 803.88 134 5.320 780.05 17 80.00 877.84 87 72 2.800 803.88 134 5.320 780.05 17 80.00 877.84 87 72 2.800 803.88 134 5.320 780.05 17 80.00 877.84 87 72 2.800 803.00 80 135 5.300 788.90 17 80.00 877.84 87 72 2.800 803.00 80 135 5.300 780.80 17 80.80 18 8	5 0.160							
8 0 280 876.90 68 2 880 808.24 128 5.090 787.81 99 0 3.20 878.94 69 2.720 808.99 129 5.120 789.51 10 0.380 877.71 70 2.760 807.28 130 5.160 702.83 11 0.400 877.84 71 2 8.00 805.98 131 5.200 789.85 12 0.440 877.81 72 2.800 805.98 131 5.200 789.85 12 0.440 877.61 72 2.800 805.98 131 5.200 789.85 12 0.440 877.61 72 2.800 805.88 132 5.240 789.47 13 0.480 877.07 73 2.880 801.01 133 5.280 790.05 14 0.520 874.86 74 2.820 800.88 134 5.240 788.10 15 0.560 874.72 75 2.980 800.03 135 5.300 788.10 15 0.560 874.72 75 2.980 800.83 134 5.300 788.10 16 0.600 874.19 76 3.000 799.36 136 5.400 789.39 17 0.640 874.84 77 3.040 799.47 137 5.440 784.91 18 0.680 874.00 79 3.120 790.05 13 136 5.300 784.79 19 0.720 874.00 79 3.120 790.05 13 139 5.500 784.79 19 0.720 874.00 79 3.120 790.05 13 139 5.500 784.79 19 0.720 873.25 80 3.160 797.87 140 5.600 783.62 12 0.900 873.25 80 3.160 797.87 140 5.600 782.01 12 0.900 873.25 80 3.160 799.87 144 142 5.600 782.01 12 0.900 873.25 80 3.160 799.87 144 142 5.600 782.01 12 0.900 873.25 80 885.88 3.3200 790.99 144 5.600 780.01 12 0.900 873.25 80 885.88 83 3.280 790.74 144 5.600 782.01 12 0.900 873.82 80 80.88 83 3.280 790.99 144 5.600 780.01 12 0.900 873.82 80 80.08 85 83 3.280 790.97 144 142 5.600 782.01 12 0.900 875.80 885.88 83 3.280 790.97 144 5.600 780.01 12 0.900 875.80 885.88 83 3.280 790.97 144 5.600 780.01 12 0.900 875.80 885.88 83 3.280 790.97 144 5.600 780.01 12 0.900 875.80 885.88 83 3.280 790.97 144 5.600 770.00 875.80 885.88 83 3.280 790.97 144 5.600 770.00 875.80 885.88 83 3.280 790.87 14 140 5.600 770.80 875.80 875.80 885.8								
9 0 3.20 878.94 69 2.720 806.99 129 5.120 789.51 10 0 3.80 877.71 70 2.780 807.28 130 5.160 702.81 11 0 4.00 877.84 71 2.800 805.88 131 5.20 780.81 12 0 4.40 877.61 72 2.840 805.58 132 5.240 780.87 13 0 4.80 877.07 73 2.80 805.58 132 5.240 780.87 14 0 5.20 877.07 73 2.80 801.01 133 5.20 780.05 14 0 5.20 874.86 74 2.920 800.88 134 5.320 780.05 15 0 5.60 874.72 75 2.80 800.03 135 5.300 788.10 16 0 5.60 874.72 75 2.80 800.03 135 5.40 780.97 17 0 5.40 874.90 76 3.000 790.36 136 5.400 780.30 17 0 5.40 874.90 778 3.040 790.47 137 5.40 780.90 18 0 5.60 874.00 778 3.040 790.47 137 5.440 784.91 18 0 5.60 874.00 778 3.000 788.87 138 5.440 784.91 18 0 5.60 874.00 778 3.000 790.87 140 5.600 783.02 20 0 7.60 872.93 81 3.120 790.66 139 5.520 783.02 21 0 8.80 875.83 81 3.200 790.87 141 5.600 783.02 21 0 8.80 885.80 88 83 3.200 790.87 141 5.600 778.20 22 0 8.80 885.80 88 83 3.200 790.87 141 5.600 778.21 22 0 8.80 885.80 88 83 3.200 790.87 141 5.600 778.11 24 0 8.60 885.80 88 83 3.80 790.07 141 5.600 778.11 24 0 8.60 885.80 88 83 3.80 790.07 141 5.600 778.11 24 0 8.60 885.80 88 83 3.80 790.07 141 5.600 778.11 24 0 8.60 885.80 88 83 3.80 790.07 141 5.600 778.11 24 0 8.60 885.80 88 83 3.80 790.07 141 5.600 778.11 25 1 1 1 1 1 1 1 1 1 1 1 1 1 1 1 1 1 1 1	7 0.240	8/0.34	0/	2.040		127	5.040	787.34
111 0.400 877.84 71 2.800 805.86 131 5.200 789.85 132 5.240 789.47 133 0.480 877.07 73 2.880 801.01 133.5.280 780.05 144 0.500 874.86 774.2 2.900 800.08 134 5.280 780.05 145 0.500 874.86 774.2 2.900 800.08 134 5.280 780.05 145 0.500 874.872 75 2.900 800.03 135 5.300 788.10 145 0.500 874.86 774.2 75 2.900 800.03 135 5.300 788.10 145 0.500 874.86 774.2 75 2.900 800.03 135 5.300 787.84 166 0.600 874.19 76 3.000 799.36 136 5.400 789.39 177 0.640 874.84 77 3.040 799.47 137 5.440 784.91 18 0.880 874.08 774.00 79 3.120 799.47 137 5.440 784.91 18 0.880 874.00 79 3.120 796.05 139 5.500 784.85 20 0.760 873.25 80 0.3.160 797.87 140 5.560 783.62 21 0.800 872.93 81 3.200 796.97 144 5.600 782.01 149 22 0.840 889.87 82 3.240 796.74 147 5.600 782.01 149 22 0.840 889.87 82 3.240 796.74 144 5.600 782.01 149 22 0.840 880.86 83 3.320 799.79 144 5.680 780.01 22 0.840 880.86 83 83 3.280 798.02 144 5.880 780.81 22 1 0.800 878.85 88 83 3.280 798.02 144 5.880 780.81 22 1 0.800 80.86 88 83 3.280 798.02 144 5.880 780.81 22 1 0.800 80.86 88 83 3.280 798.02 144 5.880 780.81 22 1 0.800 80.86 88 83 3.280 798.02 144 5.880 780.81 22 1 0.800 80.86 88 83 3.380 796.42 145 5.800 780.01 22 1 0.800 80.86 88 83 3.380 796.42 145 5.800 780.01 147 5.800 780.01 147 5.840 780.01 149 5.800 777.81 149 5.800 777.81 149 5.800 777.81 149 5.800 777.81 149 5.800 777.81 149 5.800 777.81 149 5.800 777.81 149 5.800 777.81 149 5.800 777.81 149 5.800 777.81 149 5.800 777.800				2.000				
111 0.400 877.84 71 2.800 805.86 131 5.200 789.85 132 5.240 789.47 133 0.480 877.07 73 2.880 801.01 133.5.280 780.05 144 0.500 874.86 774.2 2.900 800.08 134 5.280 780.05 145 0.500 874.86 774.2 2.900 800.08 134 5.280 780.05 145 0.500 874.872 75 2.900 800.03 135 5.300 788.10 145 0.500 874.86 774.2 75 2.900 800.03 135 5.300 788.10 145 0.500 874.86 774.2 75 2.900 800.03 135 5.300 787.84 166 0.600 874.19 76 3.000 799.36 136 5.400 789.39 177 0.640 874.84 77 3.040 799.47 137 5.440 784.91 18 0.880 874.08 774.00 79 3.120 799.47 137 5.440 784.91 18 0.880 874.00 79 3.120 796.05 139 5.500 784.85 20 0.760 873.25 80 0.3.160 797.87 140 5.560 783.62 21 0.800 872.93 81 3.200 796.97 144 5.600 782.01 149 22 0.840 889.87 82 3.240 796.74 147 5.600 782.01 149 22 0.840 889.87 82 3.240 796.74 144 5.600 782.01 149 22 0.840 880.86 83 3.320 799.79 144 5.680 780.01 22 0.840 880.86 83 83 3.280 798.02 144 5.880 780.81 22 1 0.800 878.85 88 83 3.280 798.02 144 5.880 780.81 22 1 0.800 80.86 88 83 3.280 798.02 144 5.880 780.81 22 1 0.800 80.86 88 83 3.280 798.02 144 5.880 780.81 22 1 0.800 80.86 88 83 3.280 798.02 144 5.880 780.81 22 1 0.800 80.86 88 83 3.380 796.42 145 5.800 780.01 22 1 0.800 80.86 88 83 3.380 796.42 145 5.800 780.01 147 5.800 780.01 147 5.840 780.01 149 5.800 777.81 149 5.800 777.81 149 5.800 777.81 149 5.800 777.81 149 5.800 777.81 149 5.800 777.81 149 5.800 777.81 149 5.800 777.81 149 5.800 777.81 149 5.800 777.81 149 5.800 777.800	10 0.350	877.71	70	2.780	807.28	130	5.160	792.63
14 0.520 874.86 74 2.920 800.88 134 5.320 788.10 15 0.500 874.72 75 2.900 800.03 135 5.380 787.84 16 0.600 874.19 76 3.000 799.30 136 5.400 789.39 17 0.640 874.84 777 3.040 799.47 137 5.400 789.39 18 0.680 874.06 78 3.080 798.87 138 5.480 784.79 19 0.720 874.00 79 3.120 796.05 139 5.520 784.79 20 0.700 873.25 80 3.160 797.87 140 5.560 783.62 21 0.800 872.93 81 3.200 796.97 141 5.560 783.62 22 0.840 898.87 82 3.240 796.74 142 5.640 779.74 23 0.880 886.58 83 3.240 796.74 142 5.680 779.74 24 0.920 883.10 84 3.320 799.79 144 5.220 780.61 24 0.920 883.10 84 3.320 799.79 144 5.720 781.14 25 0.960 880.68 85 3.380 799.79 144 5.720 781.14 25 0.960 885.88 86 3.3400 795.25 148 5.760 780.09 26 1.000 859.39 88 88 3.400 795.25 148 5.800 781.19 27 1.040 857.83 88 88 88 3.440 790.25 148 5.800 781.19 28 1.080 857.68 88 88 3.480 702.25 148 5.800 781.19 29 1.120 856.83 88 88 88 3.480 702.25 148 5.800 781.19 29 1.120 856.83 88 88 88 3.480 702.25 148 5.800 781.15 30 1.160 851.16 00 3.3500 789.01 150 5.980 778.55 31 1.240 856.81 88 88 3.800 789.80 150 5.980 778.55 32 1.240 856.81 98 88 88 3.800 789.80 150 5.980 778.55 33 1.250 855.41 92 855.41 92 856.83 160 775.05 33 1.260 852.82 91 3.800 789.80 150 5.800 775.85 31 1.240 856.83 88 88 3.800 789.80 150 5.600 775.85 32 1.240 856.83 88 88 3.800 789.80 150 5.600 775.85 33 1.250 855.41 92 855.41 92 856.83 160 6.000 775.85 34 1.250 855.41 92 856.83 88 150 779.70 150 5.600 775.85 35 1.360 852.00 98 83.800 789.80 150 6.000 775.85 36 1.360 852.00 98 83.800 789.80 150 6.000 775.83 36 1.360 852.00 98 83.800 789.80 150 6.000 775.83 37 1.440 849.31 97 3.840 792.25 148 6.000 775.83 38 1.450 885.44 98 88 3.800 789.80 150 6.000 775.83 38 1.450 885.44 98 88 88 98 3.700 789.80 150 6.000 775.83 39 1.520 855.41 99 856.83 88 88 88 88 88 88 88 88 88 88 88 88 8				2.800				
14 0.520 874.86 74 2.920 800.88 134 5.320 788.10 15 0.500 874.72 75 2.900 800.03 135 5.380 787.84 16 0.600 874.19 76 3.000 799.30 136 5.400 789.39 17 0.640 874.84 777 3.040 799.47 137 5.400 789.39 18 0.680 874.06 78 3.080 798.87 138 5.480 784.79 19 0.720 874.00 79 3.120 796.05 139 5.520 784.79 20 0.700 873.25 80 3.160 797.87 140 5.560 783.62 21 0.800 872.93 81 3.200 796.97 141 5.560 783.62 22 0.840 898.87 82 3.240 796.74 142 5.640 779.74 23 0.880 886.58 83 3.240 796.74 142 5.680 779.74 24 0.920 883.10 84 3.320 799.79 144 5.220 780.61 24 0.920 883.10 84 3.320 799.79 144 5.720 781.14 25 0.960 880.68 85 3.380 799.79 144 5.720 781.14 25 0.960 885.88 86 3.3400 795.25 148 5.760 780.09 26 1.000 859.39 88 88 3.400 795.25 148 5.800 781.19 27 1.040 857.83 88 88 88 3.440 790.25 148 5.800 781.19 28 1.080 857.68 88 88 3.480 702.25 148 5.800 781.19 29 1.120 856.83 88 88 88 3.480 702.25 148 5.800 781.19 29 1.120 856.83 88 88 88 3.480 702.25 148 5.800 781.15 30 1.160 851.16 00 3.3500 789.01 150 5.980 778.55 31 1.240 856.81 88 88 3.800 789.80 150 5.980 778.55 32 1.240 856.81 98 88 88 3.800 789.80 150 5.980 778.55 33 1.250 855.41 92 855.41 92 856.83 160 775.05 33 1.260 852.82 91 3.800 789.80 150 5.800 775.85 31 1.240 856.83 88 88 3.800 789.80 150 5.600 775.85 32 1.240 856.83 88 88 3.800 789.80 150 5.600 775.85 33 1.250 855.41 92 855.41 92 856.83 160 6.000 775.85 34 1.250 855.41 92 856.83 88 150 779.70 150 5.600 775.85 35 1.360 852.00 98 83.800 789.80 150 6.000 775.85 36 1.360 852.00 98 83.800 789.80 150 6.000 775.83 36 1.360 852.00 98 83.800 789.80 150 6.000 775.83 37 1.440 849.31 97 3.840 792.25 148 6.000 775.83 38 1.450 885.44 98 88 3.800 789.80 150 6.000 775.83 38 1.450 885.44 98 88 88 98 3.700 789.80 150 6.000 775.83 39 1.520 855.41 99 856.83 88 88 88 88 88 88 88 88 88 88 88 88 8	12 0.440	877.61	72	2.840		132	5.240	
15 0.560 874.72 75 2.960 800.03 135 5.380 787.34 16 0.600 874.19 76 3.000 799.36 136 5.400 789.39 17 0.640 874.84 77 3.040 799.47 137 5.440 784.91 18 0.680 874.00 79 3.120 796.05 139 5.400 789.39 19 0.720 874.00 79 3.120 796.05 139 5.200 784.73 20 0.760 873.25 80 3.160 797.87 140 5.680 783.62 21 0.800 873.23 81 3.200 796.97 141 5.600 782.01 22 0.840 896.87 82 3.340 796.74 142 5.640 779.74 23 0.890 885.58 83 3.200 798.02 143 5.680 780.01 24 0.820 883.10 84 3.320 798.02 143 5.680 780.01 24 0.820 883.10 84 3.320 7789.79 144 5.720 781.14 25 0.990 880.88 85 3.380 7786.42 144 5.720 781.14 25 0.990 880.88 85 3.400 786.25 144 5.780 781.19 28 1.090 887.68 88 3.400 786.25 144 5.800 781.19 28 1.090 887.68 88 3.400 782.25 144 5.800 781.19 28 1.090 887.68 88 3.400 782.25 144 5.800 781.19 28 1.090 887.68 88 3.400 782.25 144 5.800 781.19 28 1.090 887.68 88 3.400 782.25 144 5.800 781.19 28 1.090 887.68 88 3.400 782.25 144 5.800 781.19 29 1.120 885.61 88 3.400 782.25 144 5.800 781.19 29 1.120 885.82 91 3.800 789.90 150 150 5.900 778.15 30 1.160 881.16 90 3.800 789.90 150 5.900 778.15 31 1.200 885.82 91 3.800 789.90 150 5.900 775.95 31 1.200 885.81 93 3.800 789.85 153 6.000 775.95 34 1.320 882.21 94 3.720 788.85 153 6.000 775.95 34 1.320 882.21 94 3.720 788.85 153 6.000 777.00 39 1.500 845.85 99 3.800 789.47 160 6.200 777.80 30 1.400 883.81 97 3.840 799.23 152 6.000 777.80 30 1.400 883.81 97 3.840 789.23 152 6.000 777.80 31 1.400 883.81 97 3.840 789.23 152 6.000 777.80 32 1.240 883.41 92 3.800 789.85 163 6.000 777.80 34 1.320 882.21 94 3.720 788.85 163 6.000 777.80 34 1.320 882.42 91 3.800 789.87 165 6.000 777.80 35 1.400 883.81 97 3.840 789.23 152 6.000 777.80 36 1.400 883.81 97 3.840 789.23 152 6.000 777.80 36 1.400 883.81 97 3.840 789.23 152 6.000 777.80 36 1.400 883.81 97 3.800 789.87 165 6.000 777.80 36 1.400 883.81 97 3.800 789.87 165 6.000 777.80 36 1.400 883.81 97 3.800 789.87 165 6.000 777.80 37 1.400 883.81 97 3.800 789.87 177.900 777.80 38 1.400 883.81 97 3.800 789.87 177.900 777.80 38 1.400 883.81 97 3.800 789.83 177								
16 0.600 874.19 76 3.000 799.38 138 5.400 789.39 17 0.840 874.08 77 3.040 799.47 137 5.440 784.91 18 0.680 874.08 77 3.040 798.87 138 5.490 784.79 19 0.720 874.08 784.09 79 3.120 798.87 140 5.560 784.83 20 0.760 873.25 80 3.160 797.87 140 5.560 783.82 21 0.800 872.83 81 3.200 798.87 140 5.560 783.82 21 0.800 872.83 81 3.200 789.87 140 5.560 783.82 23 3.240 786.74 142 5.840 770.74 23 0.880 868.68 83 3.280 788.02 143 5.680 780.61 24 0.920 863.10 84 3.320 799.79 144 5.720 781.14 25 0.960 863.00 88 85 3.360 786.42 145 5.760 780.09 28 1.000 859.39 88 3.400 786.25 146 5.800 781.19 27 1.040 857.33 87 3.440 794.01 147 5.840 782.19 28 1.090 851.68 88 83 3.480 794.01 147 5.840 782.19 28 1.090 851.68 88 83 3.480 792.25 148 5.890 781.15 29 1.120 856.83 89 3.500 791.48 149 5.890 781.15 29 1.120 856.83 89 3.500 791.48 149 5.890 781.15 29 1.120 856.83 89 3.500 791.48 149 5.890 781.15 30 1.160 851.16 90 3.560 789.01 150 5.980 775.55 31 1.200 852.82 91 3.800 789.80 151 6.000 775.45 32 1.240 851.41 92 3.840 792.25 148 5.890 775.45 32 1.240 851.41 92 3.840 798.23 152 6.040 775.83 33 1.280 853.61 93 3.880 789.83 155 6.080 775.45 32 1.240 863.41 92 3.840 798.23 155 6.040 775.83 33 31 1.200 852.21 94 3.800 789.80 151 6.000 775.45 32 1.240 863.41 92 3.840 789.23 155 6.040 775.83 33 31 1.200 852.21 94 3.800 789.80 151 6.000 775.45 32 1.240 863.81 93 3.880 789.83 155 6.080 775.09 34 1.320 863.81 93 3.880 789.83 155 6.080 775.09 34 1.320 863.81 93 3.880 789.83 155 6.080 775.09 34 1.320 863.81 93 3.880 789.83 155 6.080 775.00 40 1.560 847.85 10 10 3.860 789.81 155 6.160 775.33 34 1.400 843.85 98 3.800 789.87 156 6.000 775.45 98 38 1.4800 843.85 98 3.880 789.87 156 6.000 775.45 98 38 1.4800 843.85 98 3.880 789.87 156 6.000 775.45 98 38 1.4800 843.85 98 3.880 789.87 156 6.000 775.45 98 38 1.4800 843.85 98 3.880 789.87 156 6.000 775.45 98 38 1.4800 843.85 98 3.880 789.87 156 6.000 775.45 98 38 1.4800 843.85 98 3.880 789.87 156 6.000 775.45 98 38 1.4800 843.85 98 3.8800 789.87 156 6.000 775.45 98 38 1.4800 843.85 98 3.8800 789.87 156 6.000 7	14 0.520	874.88	74	2.920	800.88	134	5.320	788.10
17 0.840 874.84 77 3.040 799.47 137 5.440 784.91 18 0.880 874.08 774.00 78 3.090 798.87 138 5.480 784.79 19 0.720 874.00 79 3.120 796.05 139 5.520 784.83 20 0.760 873.25 80 3.160 797.87 140 5.580 783.92 21 0.800 872.293 81 3.200 796.97 141 5.580 783.92 22 0.840 899.87 82 3.240 796.74 142 5.640 779.74 23 0.880 886.68 83 3.240 796.74 142 5.640 779.74 24 0.920 883.10 84 3.320 798.02 143 5.680 780.01 25 0.960 883.80 88 68 83 3.250 798.02 143 5.680 780.01 25 0.960 883.80 88 85 3.320 798.70 144 5.720 781.14 5.720 781.14 5.720 781.14 5.720 780.09 28 1.000 859.39 88 3.400 796.42 1445 5.760 781.19 27 1.040 857.33 877 3.440 794.25 148 5.800 781.15 29 1.120 880.83 88 3.460 795.25 148 5.800 781.15 29 1.120 880.83 88 3.460 792.25 148 5.800 781.15 30 1.160 851.60 90 3.560 799.01 150 5.900 775.57 35 1.120 852.82 91 3.000 852.82 91 3.000 789.01 150 5.900 775.85 31 1.200 852.82 91 3.000 853.80 853.100 775.97 80.00 150 5.900 775.85 31 1.200 852.82 91 3.000 789.83 153 0.000 775.87 83 33 3.800 799.88 153 0.000 775.87 83 33 3.800 799.88 153 0.000 775.87 83 33 3.200 799.88 153 0.000 775.87 83 33 3.800 799.88 153 0.000 775.87 83 33 3.800 799.88 153 0.000 775.87 83 33 3.800 799.88 153 0.000 775.87 83 33 3.800 799.88 153 0.000 775.87 83 33 3.800 799.88 153 0.000 775.87 83 33 3.800 799.88 153 0.000 775.87 83 33 3.800 799.88 153 0.000 775.87 83 34 1.320 852.21 94 3.720 788.85 154 6.120 775.57 83 34 1.320 852.21 94 3.720 788.85 154 6.120 775.57 83 34 1.320 852.01 94 3.720 788.85 154 6.120 775.87 84 44 1.720 840.01 104 4.120 787.57 156 6.200 775.40 44 1.800 843.85 198 83.800 794.01 166 6.200 775.40 44 1.800 843.85 198 83 100 840.85 198 83 83 80 794.01 166 6.200 775.40 44 1.800 843.85 198 83 83 800 794.01 168 6.800 775.00 44 1.800 843.85 198 83 830 794.01 166 6.200 775.40 44 1.800 843.85 198 83.800 794.01 168 6.800 775.90 165 6.200 775.40 44 1.800 843.85 198 83.800 794.01 168 6.800 775.90 175.50 189 83 83 1.900 843.85 198 83.800 794.01 168 6.800 775.90 175.50 189 83 189 83 189 189 83 1800 794.01 168 6.800 775.90 175.50 189 83 1800 794.01 16								
19 0.720 874.00 79 3.120 796.05 139 5.520 784.53 20 0.760 873.25 80 3.160 797.87 140 5.60 783.62 21 0.800 873.25 80 3.160 797.87 140 5.60 783.62 21 0.800 872.03 81 3.200 798.77 141 5.600 772.71 22 0.840 809.87 82 3.240 798.74 141 5.600 772.71 22 0.840 809.87 82 3.240 798.79 144 5.600 770.74 22 0.840 809.87 82 3.240 798.79 144 5.600 770.74 22 0.840 809.87 82 3.240 798.79 144 5.720 781.14 25 0.960 800.08 85 3.360 798.79 144 5.720 781.14 25 0.960 800.08 85 3.360 798.79 144 5.720 781.14 25 0.960 800.08 85 3.360 798.42 145 5.760 780.09 26 1.000 859.39 88 3.400 795.25 146 5.800 781.19 28 1.080 857.63 88 3.480 792.25 146 5.800 781.19 28 1.080 857.63 88 3.480 792.25 148 5.800 781.15 29 1.120 856.63 89 9.3500 791.48 149 5.900 778.55 31 1.1200 852.82 91 3.600 799.40 11 160 5.900 778.55 31 1.200 852.82 91 3.600 789.60 151 6.000 775.65 31 1.200 852.82 91 3.800 789.88 163 6.000 775.85 31 1.200 852.82 91 3.800 789.88 163 6.000 775.85 31 1.300 852.82 91 3.800 789.88 163 6.000 775.85 31 1.300 852.82 91 3.800 789.88 163 6.000 775.85 31 1.300 852.82 91 3.800 789.88 163 6.000 775.85 31 1.300 852.82 91 3.800 789.88 163 6.000 775.85 31 1.300 852.82 91 3.800 789.88 163 6.000 775.80 31 1.300 852.82 91 3.800 789.88 163 6.000 775.80 31 1.300 852.82 91 3.800 789.88 163 6.000 775.80 31 1.300 852.82 91 3.800 789.88 163 6.000 775.80 31 1.300 852.82 91 3.800 789.88 163 6.000 775.80 31 1.300 852.82 91 82 82 82 82 82 82 82 82 82 82 82 82 82			1 77	3.000				
19 0.720 874.00 79 3.120 796.05 139 5.520 784.53 20 0.760 873.25 80 3.160 797.87 140 5.60 783.62 21 0.800 873.25 80 3.160 797.87 140 5.60 783.62 21 0.800 872.03 81 3.200 798.77 141 5.600 772.71 22 0.840 809.87 82 3.240 798.74 141 5.600 772.71 22 0.840 809.87 82 3.240 798.79 144 5.600 770.74 22 0.840 809.87 82 3.240 798.79 144 5.600 770.74 22 0.840 809.87 82 3.240 798.79 144 5.720 781.14 25 0.960 800.08 85 3.360 798.79 144 5.720 781.14 25 0.960 800.08 85 3.360 798.79 144 5.720 781.14 25 0.960 800.08 85 3.360 798.42 145 5.760 780.09 26 1.000 859.39 88 3.400 795.25 146 5.800 781.19 28 1.080 857.63 88 3.480 792.25 146 5.800 781.19 28 1.080 857.63 88 3.480 792.25 148 5.800 781.15 29 1.120 856.63 89 9.3500 791.48 149 5.900 778.55 31 1.1200 852.82 91 3.600 799.40 11 160 5.900 778.55 31 1.200 852.82 91 3.600 789.60 151 6.000 775.65 31 1.200 852.82 91 3.800 789.88 163 6.000 775.85 31 1.200 852.82 91 3.800 789.88 163 6.000 775.85 31 1.300 852.82 91 3.800 789.88 163 6.000 775.85 31 1.300 852.82 91 3.800 789.88 163 6.000 775.85 31 1.300 852.82 91 3.800 789.88 163 6.000 775.85 31 1.300 852.82 91 3.800 789.88 163 6.000 775.85 31 1.300 852.82 91 3.800 789.88 163 6.000 775.80 31 1.300 852.82 91 3.800 789.88 163 6.000 775.80 31 1.300 852.82 91 3.800 789.88 163 6.000 775.80 31 1.300 852.82 91 3.800 789.88 163 6.000 775.80 31 1.300 852.82 91 3.800 789.88 163 6.000 775.80 31 1.300 852.82 91 82 82 82 82 82 82 82 82 82 82 82 82 82			78	3.080		138		784.79
21 0.800 872.93 81 3.200 796.97 141 5.800 782.01 22 0.840 889.87 82 3.240 796.74 142 5.640 770.74 23 0.880 868.88 83 3.280 798.02 143 5.680 780.61 24 0.920 863.10 84 3.320 798.02 144 5.720 781.14 25 0.960 860.68 85 3.860 798.42 145 5.760 780.09 26 1.000 850.89 86 3.400 786.25 146 5.800 781.19 27 1.040 857.33 87 3.440 794.01 147 5.840 782.19 28 1.080 857.68 88 3.480 792.25 148 5.880 781.15 30 1.160 851.16 90 3.560 781.01 150 5.960 778.55 31 1.200 852.62 91 3.600 788.00 155 6.800 778.53 31 1.200 852.62 91 3.600 788.00 155 6.800 778.53 32 1.240 851.41 92 3.840 789.23 152 6.040 775.83 33 31 1.220 853.61 93 3.800 780.85 153 6.080 775.09 34 1.320 853.61 93 3.720 788.85 153 6.080 775.09 34 1.320 852.21 94 3.720 788.85 153 6.080 775.09 34 1.320 852.21 94 3.720 788.85 153 6.080 775.09 34 1.320 852.21 94 3.720 788.85 154 6.120 775.09 34 1.320 852.24 94 1.320 852.21 94 3.720 788.85 153 6.080 775.09 34 1.320 852.24 94 1.320 852.21 94 3.720 788.85 154 6.120 775.09 34 1.320 852.24 94 1.320 852.21 94 3.720 788.85 154 6.120 775.09 34 1.320 852.24 94 1.320 852.21 94 3.720 788.85 154 6.120 775.09 38 1.440 849.31 97 3.840 792.26 157 6.240 777.89 38 1.480 849.31 97 3.840 792.26 157 6.240 777.89 38 1.480 840.35 98 3.890 789.01 158 6.200 778.06 39 1.520 845.75 99 3.920 788.38 159 6.320 778.06 42 1.840 849.81 97 3.840 792.26 157 6.240 777.89 42 1.840 849.81 97 3.840 792.26 157 6.240 777.89 42 1.840 840.88 103 4.000 789.41 160 6.000 775.06 42 1.840 840.88 103 4.000 787.85 11 160 6.000 775.00 42 1.840 840.88 103 4.000 787.65 163 6.860 777.38 44 1.880 835.00 108 4.000 787.65 163 6.860 777.39 55 1.880 835.00 108 4.000 787.65 163 6.860 777.39 55 1.99 8.300 828.16 113 4.400 788.67 177.39 6.880 770.81 160 6.000 773.40 173.4	19 0.720	874.00	79	3.120			5.520	
22 0.840 869.87 82 3.240 796.74 142 5.640 776.74 24 0.920 863.86 83 3.280 796.02 143 6.880 780.61 24 0.920 863.10 84 3.320 796.70 144 5.720 781.14 25 0.980 860.88 85 3.380 796.42 145 5.760 780.09 26 1.000 850.39 88 83 3.400 788.25 148 5.800 781.19 27 1.040 857.33 87 3.440 794.01 147 5.840 782.19 28 1.080 857.68 88 3.380 792.25 148 5.880 781.15 29 1.120 856.83 89 3.520 791.48 149 5.920 778.15 30 1.160 851.16 90 3.560 789.01 150 6.980 775.55 31 1.200 852.62 91 3.800 789.01 150 6.980 775.55 31 1.200 852.62 91 3.800 789.00 151 6.000 775.45 32 1.240 851.41 92 3.840 789.23 152 6.040 775.83 33 1.280 853.61 92 3.880 789.88 153 6.880 775.09 34 1.320 852.21 94 3.720 788.88 153 6.880 775.09 34 1.320 852.45 98 3.360 791.27 156 6.000 775.09 35 1.360 852.00 95 3.760 791.98 155 6.000 775.09 35 1.360 852.40 96 3.800 791.27 156 6.200 778.09 39 1.500 845.75 99 3.260 789.47 160 6.380 778.09 39 1.500 847.85 98 3.880 799.27 156 6.200 778.09 39 1.500 845.75 99 3.200 788.31 160 6.380 778.09 39 1.500 845.75 99 3.200 788.87 160 6.380 778.08 39 1.500 847.85 99 3.200 789.47 160 6.380 778.08 39 1.500 847.85 99 3.200 789.47 160 6.380 778.08 39 1.500 845.75 99 3.200 788.38 159 6.320 779.00 41 1.600 843.42 101 4.000 788.41 160 6.380 778.08 42 1.000 843.42 101 4.000 788.41 160 6.380 778.08 42 1.640 840.88 103 4.080 787.65 163 6.800 773.40 41 1.800 845.42 101 4.000 788.47 160 6.380 778.08 42 1.640 840.88 103 4.080 787.65 163 6.800 773.40 47 1.840 840.89 102 4.040 788.62 167 168 6.800 773.40 47 1.840 840.89 102 4.040 788.62 167 168 6.800 773.84 41 1.700 840.49 109 4.320 788.58 159 6.200 779.00 477.89 44 1.800 835.38 109 847.85 100 788.58 159 6.200 778.08 42 1.840 840.89 102 4.040 788.62 168 6.800 773.340 47 1.840 840.89 103 4.080 787.65 163 6.800 773.40 47 1.840 840.89 103 4.080 787.65 163 6.800 773.40 47 1.840 837.03 107 4.240 788.62 167 168 6.800 773.340 47 1.840 837.03 107 4.240 788.62 167 168 6.800 773.340 47 1.840 837.03 107 4.240 788.62 167 168 6.800 773.340 47 1.840 837.03 107 4.240 788.62 167 168 6.800 773.340 109 830.80 109 830.80 109	20 0.780	873.25	80	3.160			5.560	
24 0.920 883.10 84 3.320 799.79 144 5.720 781.14 25 0.980 880.88 85 3.380 798.42 145 5.780 780.09 26 1.000 889.89 88 3.400 795.25 146 5.800 781.19 27 1.040 857.33 87 3.440 794.01 147 5.840 782.19 28 1.080 857.68 88 3.480 792.25 148 5.880 781.15 29 1.120 886.83 89 3.520 791.48 149 5.920 778.15 30 1.180 852.82 91 3.800 789.01 150 5.980 778.55 31 1.200 852.82 91 3.800 789.80 151 6.000 775.45 32 1.240 851.41 92 3.840 789.23 152 6.040 775.83 33 1.280 853.61 93 3.880 789.83 153 6.080 775.85 31 1.380 853.61 93 3.880 789.88 153 6.080 775.85 31 1.380 852.21 94 3.780 788.85 153 6.080 775.89 34 1.320 852.21 94 3.780 788.85 153 6.080 775.09 34 1.320 852.21 94 3.780 788.85 155 6.160 775.09 34 1.320 852.48 96 3.800 791.27 186 6.200 778.70 37 1.440 849.31 97 3.840 792.26 157 6.240 777.80 39 1.500 845.75 99 3.920 788.85 159 6.200 778.08 39 1.500 845.75 99 3.920 788.47 160 6.320 778.08 40 1.560 847.85 100 3.980 789.41 161 6.300 775.35 160 847.85 100 3.880 791.27 186 6.200 778.74 37 1.440 849.31 97 3.840 792.26 157 6.240 777.80 38 1.490 846.35 98 3.880 794.01 188 6.280 778.08 40 1.560 847.85 100 3.980 789.47 160 6.320 778.00 40 1.560 847.85 100 3.980 789.47 160 6.320 778.00 40 1.560 847.85 100 3.980 789.47 160 6.320 778.00 40 1.560 843.42 100 3.980 789.47 160 6.320 778.34 44 1.720 840.01 104 4.120 787.15 164 6.520 778.35 43 1.880 844.86 102 4.040 791.49 162 6.440 777.38 44 1.720 840.01 104 4.120 787.15 164 6.520 778.35 43 1.880 844.86 103 4.080 789.47 160 6.320 778.35 44 1.720 840.01 104 4.120 787.15 164 6.520 777.38 44 1.840 837.03 107 4.240 789.57 11 165 6.580 771.38 49 1.920 831.49 109 4.320 783.42 169 6.700 771.84 48 1.880 837.03 107 4.240 786.55 177 6.840 771.38 49 1.920 831.49 109 4.320 783.42 169 6.700 771.84 48 1.880 837.03 107 4.240 786.55 177 177 177 178 6.840 771.38 49 1.920 831.49 109 4.320 783.42 169 6.700 771.84 48 1.880 837.03 107 4.240 786.55 177 177 177 6.800 771.84 48 1.880 837.03 107 4.240 786.55 177 177 177 6.800 771.84 48 1.880 837.03 107 4.240 786.57 177 177 177 177 177 177 177 177 177 1	21 0.800		81	3.200				
24 0.920 883.10 84 3.320 799.79 144 5.720 781.14 25 0.980 880.88 85 3.380 798.42 145 5.780 780.09 26 1.000 889.89 88 3.400 795.25 146 5.800 781.19 27 1.040 857.33 87 3.440 794.01 147 5.840 782.19 28 1.080 857.68 88 3.480 792.25 148 5.880 781.15 29 1.120 886.83 89 3.520 791.48 149 5.920 778.15 30 1.180 852.82 91 3.800 789.01 150 5.980 778.55 31 1.200 852.82 91 3.800 789.80 151 6.000 775.45 32 1.240 851.41 92 3.840 789.23 152 6.040 775.83 33 1.280 853.61 93 3.880 789.83 153 6.080 775.85 31 1.380 853.61 93 3.880 789.88 153 6.080 775.85 31 1.380 852.21 94 3.780 788.85 153 6.080 775.89 34 1.320 852.21 94 3.780 788.85 153 6.080 775.09 34 1.320 852.21 94 3.780 788.85 155 6.160 775.09 34 1.320 852.48 96 3.800 791.27 186 6.200 778.70 37 1.440 849.31 97 3.840 792.26 157 6.240 777.80 39 1.500 845.75 99 3.920 788.85 159 6.200 778.08 39 1.500 845.75 99 3.920 788.47 160 6.320 778.08 40 1.560 847.85 100 3.980 789.41 161 6.300 775.35 160 847.85 100 3.880 791.27 186 6.200 778.74 37 1.440 849.31 97 3.840 792.26 157 6.240 777.80 38 1.490 846.35 98 3.880 794.01 188 6.280 778.08 40 1.560 847.85 100 3.980 789.47 160 6.320 778.00 40 1.560 847.85 100 3.980 789.47 160 6.320 778.00 40 1.560 847.85 100 3.980 789.47 160 6.320 778.00 40 1.560 843.42 100 3.980 789.47 160 6.320 778.34 44 1.720 840.01 104 4.120 787.15 164 6.520 778.35 43 1.880 844.86 102 4.040 791.49 162 6.440 777.38 44 1.720 840.01 104 4.120 787.15 164 6.520 778.35 43 1.880 844.86 103 4.080 789.47 160 6.320 778.35 44 1.720 840.01 104 4.120 787.15 164 6.520 777.38 44 1.840 837.03 107 4.240 789.57 11 165 6.580 771.38 49 1.920 831.49 109 4.320 783.42 169 6.700 771.84 48 1.880 837.03 107 4.240 786.55 177 6.840 771.38 49 1.920 831.49 109 4.320 783.42 169 6.700 771.84 48 1.880 837.03 107 4.240 786.55 177 177 177 178 6.840 771.38 49 1.920 831.49 109 4.320 783.42 169 6.700 771.84 48 1.880 837.03 107 4.240 786.55 177 177 177 6.800 771.84 48 1.880 837.03 107 4.240 786.55 177 177 177 6.800 771.84 48 1.880 837.03 107 4.240 786.57 177 177 177 177 177 177 177 177 177 1	22 0.840		82	3.240				
26	23 0.880		83	3.280				
26	25 0.820 25 0.980		85	3.320				
29 1,120 856,63 89 3,520 791,48 149 5,920 778,15 30 1,160 851,16 90 3,560 789,00 150 5,960 778,55 31 1,200 851,41 92 3,640 789,23 152 6,040 775,83 33 1,280 853,61 93 3,890 788,88 153 6,080 775,07 34 1,320 852,21 94 3,720 788,85 154 6,120 775,57 35 1,360 852,00 95 3,760 791,98 155 6,160 776,08 36 1,400 852,48 96 3,800 791,27 156 6,200 777,89 37 1,440 849,31 97 3,840 792,28 157 6,240 777,89 38 1,520 845,75 99 3,890 794,01 158 6,280 778,08 39 1,520	28 1.000		88	3.400				
29 1,120 856,63 89 3,520 791,48 149 5,920 778,15 30 1,160 851,16 90 3,560 789,00 150 5,960 778,55 31 1,200 851,41 92 3,640 789,23 152 6,040 775,83 33 1,280 853,61 93 3,890 788,88 153 6,080 775,07 34 1,320 852,21 94 3,720 788,85 154 6,120 775,57 35 1,360 852,00 95 3,760 791,98 155 6,160 776,08 36 1,400 852,48 96 3,800 791,27 156 6,200 777,89 37 1,440 849,31 97 3,840 792,28 157 6,240 777,89 38 1,520 845,75 99 3,890 794,01 158 6,280 778,08 39 1,520	27 1.040		87	3.440			5.840	
31 1.200 852.82 91 3.600 780.00 151 6.000 775.45 32 1.240 851.41 92 3.640 789.23 152 6.040 775.09 34 1.320 852.21 94 3.720 788.85 154 6.120 775.57 35 1.380 852.00 95 3.760 791.98 155 6.180 776.08 36 1.400 852.48 96 3.800 791.27 156 6.200 778.08 37 1.440 849.31 97 3.840 792.26 157 6.240 777.80 38 1.480 846.35 98 3.890 794.01 158 6.280 778.00 39 1.520 845.75 99 3.920 788.38 159 6.320 779.00 40 1.600 847.85 100 3.980 786.47 180 6.380 7778.00 41 1.800	28 1.080		88					
31 1.200 852.82 91 3.600 780.00 151 6.000 775.45 32 1.240 851.41 92 3.640 789.23 152 6.040 775.09 34 1.320 852.21 94 3.720 788.85 154 6.120 775.57 35 1.380 852.00 95 3.760 791.98 155 6.180 776.08 36 1.400 852.48 96 3.800 791.27 156 6.200 778.08 37 1.440 849.31 97 3.840 792.26 157 6.240 777.80 38 1.480 846.35 98 3.890 794.01 158 6.280 778.00 39 1.520 845.75 99 3.920 788.38 159 6.320 779.00 40 1.600 847.85 100 3.980 786.47 180 6.380 7778.00 41 1.800	29 1.120	856.63	89	3.520		149	5.920	778.15
32 1.240 851.41 92 3.640 789.23 152 6.040 775.83 3.3 1.280 853.61 93 3.680 789.88 153 6.080 775.09 34 1.320 852.21 94 3.720 788.85 154 6.120 775.57 35 1.380 852.20 95 3.760 791.98 155 6.180 776.06 36 1.400 852.48 96 3.800 791.27 156 6.200 778.74 37 1.440 840.31 97 3.840 792.26 157 6.240 777.89 38 1.480 846.35 98 3.880 794.01 158 6.280 778.06 39 1.520 845.75 99 3.920 788.38 159 6.320 779.00 40 1.580 847.85 100 3.980 789.47 160 6.360 778.00 41 1.600 843.42 101 4.000 789.11 161 6.400 779.26 42 1.640 840.68 102 4.040 791.49 162 6.440 776.35 43 1.680 844.88 103 4.080 787.65 163 6.480 777.38 44 1.720 840.01 104 4.120 787.65 163 6.480 776.21 46 1.800 845.36 108 4.200 787.01 168 6.600 773.40 47 1.840 837.03 107 4.240 788.62 167 6.640 773.40 48 1.880 835.00 108 4.280 787.01 168 6.600 773.40 48 1.880 835.00 108 4.280 787.65 163 6.480 773.24 48 1.880 835.00 108 4.280 787.01 168 6.600 773.40 47 1.840 837.03 107 4.240 788.62 167 6.640 771.84 48 1.880 835.00 108 4.280 787.65 168 6.600 773.40 49 1.920 831.49 109 4.320 783.42 169 6.720 773.95 50 1.960 830.96 110 4.300 785.66 172 6.840 773.85 49 1.920 831.49 109 4.320 783.42 169 6.720 773.95 50 1.960 830.96 110 4.300 785.66 172 6.840 770.81 51 61 61 6.720 773.95 50 1.960 830.96 110 4.300 785.66 172 6.840 770.81 51 61 61 6.720 773.95 50 1.960 832.90 110 4.400 785.66 172 6.840 770.81 51 61 61 6.720 773.95 50 1.960 832.90 110 4.300 785.66 172 6.840 770.81 51 61 61 6.720 773.95 50 1.960 832.90 110 4.300 785.66 172 6.840 770.81 51 61 61 6.720 773.95 50 1.960 832.90 110 4.300 785.67 170 6.780 770.81 51 6.800 770.62 50 6.800 770.62 50 6.800 770.60 50 6.800 770.	30 1.160	851.16						
34 1.320 852.21 94 3.720 788.85 154 6.120 775.57 35 1.380 852.00 95 3.780 791.27 156 6.160 778.06 38 1.440 852.48 98 3.800 791.27 158 6.200 778.74 37 1.440 849.31 97 3.840 792.26 157 6.240 777.89 38 1.480 848.35 98 3.890 794.01 158 6.280 778.08 39 1.520 845.75 99 3.920 788.38 159 6.320 779.00 40 1.560 847.85 100 3.960 789.47 160 6.380 778.00 41 1.600 843.42 101 4.000 789.47 160 6.380 778.00 42 1.640 840.68 102 4.040 791.49 162 6.440 776.35 43 1.880 844.88 103 4.080 787.85 163 6.480 777.38 44 1.720 840.01 104 4.120 787.15 164 6.520 774.65 45 1.760 840.29 105 4.160 789.11 165 6.560 776.21 46 1.800 835.38 108 42.20 787.01 166 6.600 773.40 47 1.840 837.03 107 4.240 786.62 167 6.640 771.84 88 1.880 835.00 108 4.220 783.42 169 6.720 773.95 50 1.960 830.96 110 4.300 785.87 170 6.760 770.81 51 2.000 829.47 111 4.400 785.68 163 6.880 773.23 49 1.920 831.49 109 4.320 783.42 169 6.720 773.95 50 1.960 830.96 110 4.300 785.87 170 6.760 770.81 51 2.000 829.47 111 4.400 785.60 173 6.880 770.81 51 2.000 829.08 112 4.440 785.66 168 6.880 770.81 51 2.000 829.08 112 4.440 785.66 177 171 6.800 768.97 52 2.040 829.08 112 4.440 785.66 172 6.840 769.95 53 2.080 828.20 114 4.560 782.27 175 6.860 770.62 54 2.120 828.20 114 4.560 782.27 175 6.860 771.64 56 2.200 821.27 116 4.600 783.74 176 7.000 774.27 57 2.240 819.08 117 4.640 786.03 177 7.040 772.96 58 2.280 817.50 118 4.680 785.04 177 7.040 772.98 58 2.280 817.50 118 4.680 785.04 177 7.040 772.98 58 2.280 817.50 118 4.680 785.04 177 7.040 772.98 58 2.280 817.50 118 4.680 785.04 177 7.040 772.98 58 2.280 817.50 118 4.680 785.04 177 7.040 772.98 58 2.280 817.50 118 4.680 785.04 178 7.080 772.50	31 1.200		91					
34 1.320 852.21 94 3.720 788.85 154 6.120 775.57 35 1.380 852.00 95 3.780 791.27 156 6.160 778.06 38 1.440 852.48 98 3.800 791.27 158 6.200 778.74 37 1.440 849.31 97 3.840 792.26 157 6.240 777.89 38 1.480 848.35 98 3.890 794.01 158 6.280 778.08 39 1.520 845.75 99 3.920 788.38 159 6.320 779.00 40 1.560 847.85 100 3.960 789.47 160 6.380 778.00 41 1.600 843.42 101 4.000 789.47 160 6.380 778.00 42 1.640 840.68 102 4.040 791.49 162 6.440 776.35 43 1.880 844.88 103 4.080 787.85 163 6.480 777.38 44 1.720 840.01 104 4.120 787.15 164 6.520 774.65 45 1.760 840.29 105 4.160 789.11 165 6.560 776.21 46 1.800 835.38 108 42.20 787.01 166 6.600 773.40 47 1.840 837.03 107 4.240 786.62 167 6.640 771.84 88 1.880 835.00 108 4.220 783.42 169 6.720 773.95 50 1.960 830.96 110 4.300 785.87 170 6.760 770.81 51 2.000 829.47 111 4.400 785.68 163 6.880 773.23 49 1.920 831.49 109 4.320 783.42 169 6.720 773.95 50 1.960 830.96 110 4.300 785.87 170 6.760 770.81 51 2.000 829.47 111 4.400 785.60 173 6.880 770.81 51 2.000 829.08 112 4.440 785.66 168 6.880 770.81 51 2.000 829.08 112 4.440 785.66 177 171 6.800 768.97 52 2.040 829.08 112 4.440 785.66 172 6.840 769.95 53 2.080 828.20 114 4.560 782.27 175 6.860 770.62 54 2.120 828.20 114 4.560 782.27 175 6.860 771.64 56 2.200 821.27 116 4.600 783.74 176 7.000 774.27 57 2.240 819.08 117 4.640 786.03 177 7.040 772.96 58 2.280 817.50 118 4.680 785.04 177 7.040 772.98 58 2.280 817.50 118 4.680 785.04 177 7.040 772.98 58 2.280 817.50 118 4.680 785.04 177 7.040 772.98 58 2.280 817.50 118 4.680 785.04 177 7.040 772.98 58 2.280 817.50 118 4.680 785.04 177 7.040 772.98 58 2.280 817.50 118 4.680 785.04 178 7.080 772.50	33 1.280	853.61	93	3.680	789.88	153	6.080	775.09
36 1.400 852.48 96 3.800 791.27 156 6.200 778.74 37 1.440 849.31 97 3.840 792.26 157 6.240 777.80 38 1.480 846.35 98 3.880 794.01 158 6.280 778.08 39 1.520 845.75 99 3.920 788.38 159 6.320 779.00 40 1.560 847.85 100 3.980 789.47 160 6.360 778.00 41 1.600 843.42 101 4.000 789.41 161 6.400 779.28 42 1.640 840.68 102 4.040 791.49 162 6.40 776.35 43 1.680 844.88 103 4.080 787.65 163 6.480 777.38 44 1.720 840.01 104 4.120 787.15 164 6.520 774.65 45 1.760	34 1.320		94	3.720			6.120	
37 1.440 849.31 97 3.840 792.26 157 6.240 777.89 38 1.480 846.35 98 3.880 794.01 158 6.280 778.06 39 1.520 845.75 99 3.920 788.38 159 6.320 779.00 40 1.580 847.85 100 3.980 789.47 160 6.380 778.00 41 1.600 843.42 101 4.000 789.11 161 6.400 779.26 42 1.640 840.68 102 4.040 791.49 162 6.440 777.35 43 1.680 844.88 103 4.080 787.65 163 6.480 777.38 44 1.720 840.01 104 4.120 787.15 164 6.520 774.65 45 1.760 840.29 105 4.160 789.11 165 6.560 772.40 47 1.840 <td></td> <td>852.00</td> <td>95</td> <td>3.760</td> <td>791.98</td> <td></td> <td>6.160</td> <td>776.08</td>		852.00	95	3.760	791.98		6.160	776.08
39 1.520 845.75 99 3.920 788.38 159 6.320 779.00 40 1.580 847.85 100 3.980 789.47 180 6.380 778.00 41 1.600 843.42 101 4.000 789.11 161 6.400 779.26 42 1.640 840.68 102 4.040 791.49 162 6.440 776.35 43 1.680 844.86 103 4.080 787.65 163 6.480 777.38 44 1.720 840.01 104 4.120 787.15 164 6.520 774.65 45 1.760 840.29 105 4.160 789.11 165 6.500 776.21 46 1.800 835.36 108 4.200 787.01 168 6.600 773.40 47 1.840 837.03 107 4.240 786.62 167 6.640 771.84 48 1.880<	38 1.400		96	3.800				
39 1.520 845.75 99 3.920 788.38 159 6.320 779.00 40 1.580 847.85 100 3.980 789.47 180 6.380 778.00 41 1.600 843.42 101 4.000 789.11 161 6.400 779.26 42 1.640 840.68 102 4.040 791.49 162 6.440 776.35 43 1.680 844.86 103 4.080 787.65 163 6.480 777.38 44 1.720 840.01 104 4.120 787.15 164 6.520 774.65 45 1.760 840.29 105 4.160 789.11 165 6.500 776.21 46 1.800 835.36 108 4.200 787.01 168 6.600 773.40 47 1.840 837.03 107 4.240 786.62 167 6.640 771.84 48 1.880<	37 1.440		97	3.840			6.240	
40 1.560 847.85 100 3.960 789.47 160 6.360 778.00 41 1.600 843.42 101 4.000 789.11 161 6.400 779.26 42 1.640 840.68 102 4.040 791.49 162 6.440 776.35 43 1.680 844.86 103 4.080 787.65 163 6.480 777.38 44 1.720 840.01 104 4.120 787.15 164 6.520 774.65 45 1.760 840.29 105 4.160 789.11 165 6.580 773.40 46 1.800 835.36 106 4.200 787.01 166 6.600 773.40 47 1.840 837.03 107 4.240 786.62 167 6.640 771.84 48 1.880 835.00 108 4.280 784.56 168 6.680 773.23 49 1.920				3.880				
41 1.600 843.42 101 4.000 789.11 161 6.400 779.26 42 1.640 840.68 102 4.040 791.49 162 6.440 776.35 43 1.680 844.88 103 4.080 787.65 163 6.480 777.38 44 1.720 840.01 104 4.120 787.15 164 6.520 774.65 45 1.760 840.29 105 4.160 789.11 165 6.560 776.21 46 1.800 835.38 108 4.200 787.01 168 6.600 773.40 47 1.840 837.03 107 4.240 786.62 167 6.640 771.84 48 1.880 835.00 108 4.280 784.56 168 6.690 773.23 49 1.920 831.49 109 4.320 785.87 170 6.760 770.81 50 1.960	40 1.520 40 1.580	945.75 847.85	100	3.920	780 47	180	6.320	778.00
42 1.640 840.68 102 4.040 791.49 162 6.440 776.35 43 1.680 844.88 103 4.080 787.65 163 6.480 777.38 44 1.720 840.01 104 4.120 787.15 164 6.520 774.65 45 1.760 840.29 105 4.160 789.11 165 6.560 776.21 46 1.800 835.38 106 4.200 787.01 166 6.600 773.40 47 1.840 837.03 107 4.240 786.62 167 6.640 771.84 48 1.880 835.00 108 4.280 784.56 168 6.680 773.23 49 1.920 831.49 109 4.320 783.42 169 6.720 773.85 50 1.960 830.96 110 4.380 785.87 170 6.780 770.81 51 2.000								
44 1.720 840.01 104 4.120 787.15 164 6.520 774.85 45 1.760 840.29 105 4.160 789.11 165 6.560 778.40 46 1.800 835.36 106 4.200 787.01 168 6.600 773.40 47 1.840 837.03 107 4.240 786.62 167 6.640 771.84 48 1.880 835.00 108 4.290 784.56 168 6.680 773.23 49 1.920 831.49 109 4.320 783.42 169 6.720 773.95 50 1.960 830.98 110 4.300 785.87 170 6.760 770.81 51 2.000 829.47 111 4.400 785.17 171 6.800 768.97 52 2.040 829.08 112 4.440 785.56 172 6.840 769.95 53 2.080	42 1.640		102	4.040	791.49			776.35
46 1.800 835.38 108 4.200 787.01 168 6.600 773.40 47 1.840 837.03 107 4.240 786.62 167 6.640 771.84 48 1.880 835.00 108 4.280 784.56 168 6.680 773.23 49 1.920 831.49 109 4.320 783.42 169 6.720 773.95 50 1.960 830.96 110 4.380 785.87 170 6.780 770.81 51 2.000 829.47 111 4.400 785.17 171 6.800 788.97 52 2.040 829.08 112 4.440 785.56 172 6.840 789.95 53 2.080 828.16 113 4.480 786.49 173 6.880 770.62 54 2.120 828.20 114 4.520 784.30 174 6.920 769.20 55 2.160	43 1.680			4.080			6.480	777.38
46 1.800 835.38 108 4.200 787.01 168 6.600 773.40 47 1.840 837.03 107 4.240 786.62 167 6.640 771.84 48 1.880 835.00 108 4.280 784.56 168 6.680 773.23 49 1.920 831.49 109 4.320 783.42 169 6.720 773.95 50 1.960 830.96 110 4.380 785.87 170 6.780 770.81 51 2.000 829.47 111 4.400 785.17 171 6.800 788.97 52 2.040 829.08 112 4.440 785.56 172 6.840 789.95 53 2.080 828.16 113 4.480 786.49 173 6.880 770.62 54 2.120 828.20 114 4.520 784.30 174 6.920 769.20 55 2.160	44 1.720	840.01		4.120			6.520	774.65
47 1.840 837.03 107 4.240 788.62 167 6.640 771.84 48 1.880 835.00 108 4.280 784.66 168 6.680 773.23 49 1.920 831.49 109 4.320 783.42 169 6.720 773.95 50 1.960 830.96 110 4.380 785.87 170 6.760 770.81 51 2.000 829.47 111 4.400 785.17 171 6.800 768.97 52 2.040 829.08 112 4.440 785.58 172 8.80 770.62 53 2.080 828.16 113 4.480 786.49 173 6.880 770.62 54 2.120 828.20 114 4.520 784.30 174 6.920 769.20 55 2.160 822.69 115 4.560 782.27 175 6.960 771.84 56 2.200<				4.100				
48 1.880 835.00 108 4.280 784.56 168 6.680 773.23 49 1.920 831.49 109 4.320 783.42 169 6.720 773.95 50 1.960 830.98 110 4.380 785.87 170 6.760 770.81 51 2.000 829.47 111 4.400 785.17 171 6.800 788.97 52 2.040 829.08 112 4.440 785.56 172 6.840 769.95 53 2.080 828.16 113 4.480 786.49 173 6.880 770.62 54 2.120 828.20 114 4.520 784.30 174 6.920 769.20 55 2.160 822.69 115 4.580 782.27 175 6.980 771.64 56 2.200 821.27 116 4.800 783.74 176 7.040 772.26 57 2.240								
49 1.920 831.49 109 4.320 783.42 169 6.720 773.95 50 1.960 830.98 110 4.380 785.87 170 6.760 770.81 51 2.000 829.47 111 4.400 785.17 171 6.800 788.97 52 2.040 829.08 112 4.440 785.56 172 6.840 789.95 53 2.080 828.16 113 4.480 786.49 173 6.880 770.62 54 2.120 828.20 114 4.520 784.30 174 6.920 789.20 55 2.160 822.69 115 4.560 782.27 175 6.960 771.64 56 2.200 821.27 116 4.800 783.74 176 7.000 774.27 57 2.240 819.06 117 4.640 786.03 177 7.040 772.96 58 2.280	48 1.880	835.00		4.280				773.23
51 2.000 829.47 111 4.400 785.17 171 6.800 768.97 52 2.040 829.08 112 4.440 785.58 172 6.840 769.95 53 2.080 828.18 113 4.480 786.49 173 6.880 770.62 54 2.120 828.20 114 4.520 784.30 174 6.920 769.20 55 2.160 822.69 115 4.560 782.27 175 6.960 771.84 58 2.200 821.27 116 4.800 783.74 176 7.000 772.98 58 2.280 817.59 118 4.680 785.04 178 7.080 772.50	40 1 920	831.49		4 320				773.95
52 2.040 829.08 112 4.440 785.56 172 6.840 789.95 53 2.080 828.16 113 4.480 786.49 173 6.880 770.62 54 2.120 828.20 114 4.520 784.30 174 6.920 789.20 55 2.160 822.69 115 4.580 782.27 175 6.960 771.64 56 2.200 821.27 116 4.600 783.74 176 7.000 774.27 57 2.240 819.06 117 4.640 786.03 177 7.040 772.96 58 2.280 817.59 118 4.680 785.04 178 7.080 772.50	50 1.960							770.81
54 2.120 828.20 114 4.520 784.30 174 6.920 769.20 55 2.160 822.69 115 4.560 782.27 175 6.960 771.64 56 2.200 821.27 116 4.800 783.74 176 7.000 774.27 57 2.240 819.06 117 4.840 786.03 177 7.040 772.96 58 2.280 817.59 118 4.680 785.04 178 7.080 772.50								
54 2.120 828.20 114 4.520 784.30 174 6.920 769.20 55 2.160 822.69 115 4.560 782.27 175 6.960 771.64 56 2.200 821.27 116 4.800 783.74 176 7.000 774.27 57 2.240 819.06 117 4.840 786.03 177 7.040 772.96 58 2.280 817.59 118 4.680 785.04 178 7.080 772.50	52 2.040	829.08	112				6.840	769.95
56 2.200 821.27 116 4.600 783.74 176 7.000 774.27 57 2.240 819.08 117 4.640 786.03 177 7.040 772.96 58 2.280 817.59 118 4.680 785.04 178 7.080 772.50	54 2.080		113					
56 2.200 821.27 116 4.600 783.74 176 7.000 774.27 57 2.240 819.08 117 4.640 786.03 177 7.040 772.96 58 2.280 817.59 118 4.680 785.04 178 7.080 772.50	55 2.180	822.69	115	4.580	782.27		6.980	771.64
57 2.240 819.08 117 4.640 786.03 177 7.040 772.96 58 2.280 817.59 118 4.680 785.04 178 7.080 772.50								
58 2.280 817.59 118 4.680 785.04 178 7.080 772.50	57 2.240	819.06	117	4.640	786.03	177	7.040	772.98
59 2.320 814.17 119 4.720 784.30 179 7.120 771.21								
00 0 00 04400 400 700 70 100 7400 7700	59 2.320	814.17	119	4.720	784.30		7.120	771.21
60 2.380 814.83 120 4.760 785.87 180 7.160 770.93	ou 2.380	814.83	120	4.700	180.81	180	7.100	770.93

Painel aglomerado 50 % Corymbia 50 % teca- doutorado Valter

QMS Density Profile System - v2.02 USB

Batch Summary Report - Scan Profile

Batch File: valter Operator: valter Date: May 08, 2020 Time: 12:57:12 Page: 3 of 3

	Operator:	valter					Page: 3 of 3
			<u>De</u>	ensity Analys	is (kg/m3)		
Step Numb	tPosition Dens	ity	Step NumbPo	osition Densi	ty	Step NumtPosition	Density
181	7.200	771.58	241	9.600	815.89		
182	7.240	770.24	242 243	9.640	813.05		
183	7.280	789.53		9.680	817.00		
184 185	7.320 7.380	770.31 789.14	244 245	9.720 9.760	817.08 816.70		
188	7.400	773.08	248	9.800	817.37		
187	7.440	774.51	247		821.00		
188	7.440 7.480	773.43	247 248	9.840 9.880	823.44		
189	7.520	776.05	249	9.920 9.960	827.39		
190	7.580	777.87	250		830.27		
191 192	7.800 7.840	775.53 776.63	251	10.000 10.040	826.67 831.11		
193	7.680	775.11	252 253	10.040	828.34		
194 195	7.720 7.780	775.35 774.72	254 255	10.120 10.160	833.22		
	7.780	774.72	255	10.160	833.20		
198	7.800	777.58	256	10.200	832.32		
197 198	7.840 7.880	775.15 774.98	257 258	10.240 10.280	838.13 836.86		
199	7.920	778.47	259	10.320	841.13		
200	7.960	776.14	259 260	10.320 10.380	842.07		
201	8.000	776.61	261	10.400	840.44		
202 203	8.040 8.080	779.25 779.75	262 263	10.440 10.480	841.70 843.23		
203	8 120	723.73	203	10.500	842.98		
204 205	8.120 8.160	783.27 781.37	264 265	10.520 10.560	846.61		
208	8.200	784.95	266	10.600	849.11		
207 208	8.240	788.02	267 268	10.640	849.71		
208	8.280	784.14 784.75	208	10.680	850.31 851.33		
210	8.320 8.380	787.31	269 270	10.720 10.760	852.06		
211	8.400	785.88	271	10.800	855.29		
212 213	8.440	787.95	272 273	10.840 10.880	858.51		
213	8.480	790.13	273 274	10.880	880.08		
214 215	8.520 8.560	789.15 791.74	274 275	10.920 10.960	862.12 861.68		
216	8.600	792.84	276	11.000	863.52		
217 218	8.640	793.31 792.99	277 278	11.040 11.080	885.99		
218	8.680	792.99	278	11.080	868.28		
219 220	8.720 8.760	793.33 792.72	279 280	11.120 11.160	865.19 870.55		
221	8.800	793.00	281	11.200	871.11		
222 223	8.840	796.89	282	11.240	873.28		
223	8.880	797.03	283	11.280	870.62		
224 225	8.920 8.960	794.40 797.82	284 285	11.320 11.380	874.70		
225 226	9.000	800.32	288	11.400	872.96 876.07		
227	9.040	801.19	287	11.440	875.62		
227 228	9.080	801.31	287 288	11.480	876.84		
229 230	9.120	803.89	289 290	11.520 11.580	877.05		
230	9.160	804.67	290	11.560	880.10		
231	9.200 9.240	803.17 802.11	291	11.600 11.640	877.57 875.45		
232 233	9.280	803.30	292 293	11.680	876.15		
234 235	9.320 9.380	804.34 804.38	294 295	11.720 11.760	874.70		
235	9.380	804.38	295	11.760	870.48		
238	9.400 9.440	806.27	298	11.800	870.37		
237 238	9.480	808.12 807.95	297 298	11.840 11.880	866.64 852.68		
239	9.520	811.19 811.66					
240	9.560	811.66					

Painel aglomerado 25 % Corymbia 75% teca- doutorado Valter

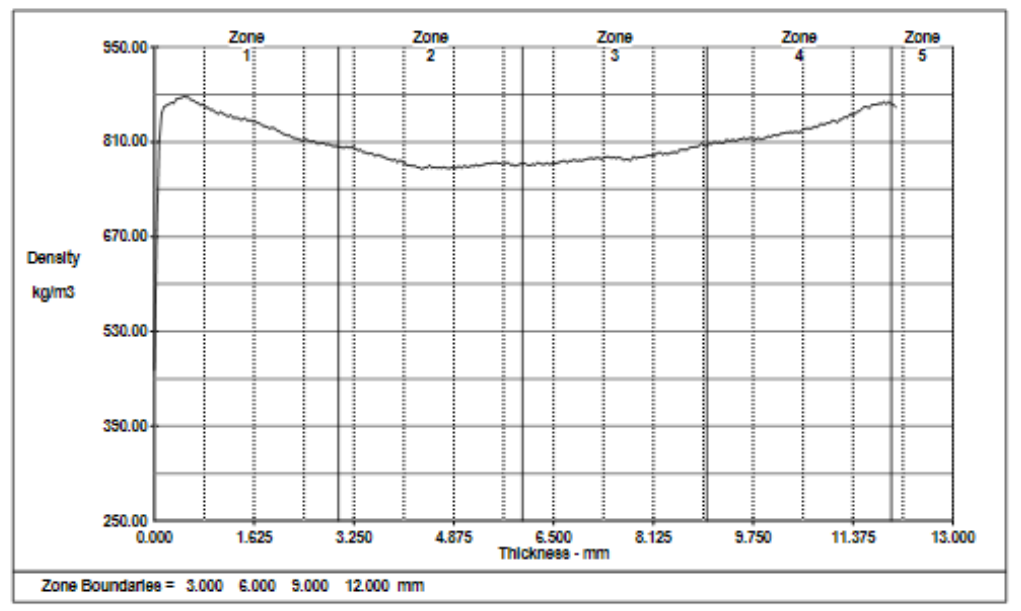
QMS Density Profile System - v2.02 USB

Batch Summary Report - Scan Profile

 Batch File:
 valter
 Date: May 08, 2020

 Operator:
 valter
 Time: 13:22:25

 Operator:
 valter
 Page: 1 of 3



Batch Average Density Analysis (kg/m3)							
Batch Average Density	808.	82					
Zone Analysis	Zone 1/Pos.	Zone 2/Pos.	Zone 3/Pos.	Zone 4/Pos.	Zone 5/Pos.		
Maximum Point Density: Minimum Point Density: Average Zone Density:	466.16 0.200						
Ratio Analysis							
Zone Avg. / Overall Avg Zone 1 Avg. / Zone 5 Av (Zone 1 + Zone 5) / Ove	/g.:	0.97 1.01 2.04	0.97	1.03	1.02		
		Batch	n Analysis Para	meters			
Number of Samples in E Target Panel Thickness: Measured Panel Thickness: Measured Weight: Measured Weight: Furnish Thickness: Press Temperature: Mill Number: Co Press Load Number: Species Mix: Comments:	: 0.000 ess: 0.000 0.000 0.000 0.000	mm kg	Time T Time to Surface Core M Averag Averag Averag	Resolution Step o Thickness: o Decompression e Moisture Conte loisture Content e Sample Beam e Sample Height e Sample Weigh	n: 0 ent: 0.000 0.000 Length: 50.082 t: 50.018 ness: 12.331	% mm mm mm	

Painel aglomerado 25 % Corymbia 75% teca- doutorado Valter

QMS Density Profile System - v2.02 USB

Batch Summary Report - Scan Profile

Batch File: valter
Operator: valter

Date: May 08, 2020 Time: 13:22:25 Page: 2 of 3

	Operator:	valter							Page:	2 of 3
				De	nsity Analys	sis (kg/m3)				
_	Position Dens	-		Step NumtPo		-		Step NumtPo		_
1	0.000	473.52 680.68		61	2.400	812.40		121	4.800	770.94
2	0.040 0.080	810.91		62 63	2.440 2.480	813.20 813.67		122 123	4.840 4.880	772.54 772.01
4 5	0.120	852.75		64	2.520 2.580	811.68		124 125	4.920	771.94
5	0.160	882.14		65	2.560	810.59		125	4.980	774.38
6	0.200	884.03 888.12		66 67	2.600	812.07 807.92		126 127	5.000	771.95 774.77
7	0.240 0.280	868.27		68	2.640 2.680	807.55		127 128	5.040 5.080	774.77 773.98
.9	0.320	887.14		69	2.720 2.760	808.60 808.21		129	5.120	772.32
10 11	0.380 0.400	873.19 874.70		70 71	2.760	808.21		130 131	5.160 5.200	774.98 774.20
	0.440			72 73	2.840			132	5.240	778.71
12 13	0.480	875.54 877.24		73	2.840 2.880	807.28 805.33		132 133	5.240 5.280	776.71 774.64
14 15	0.520 0.580	876.76 876.27		74 75	2.920 2.980 3.000	803.62 804.22		134 135	5.320 5.380	775.63 776.83
18	0.600	872.14		78	3.000	803.34		138	5.400	777.81
17	0.640	871.68		77 78	3.040 3.080	802.68		137	5.440 5.480	778.80
18	0.680	868.21			3.080	801.25		138	5.480	777.95
19 20	0.720 0.780	887.38 884.24		79 80	3.120 3.160	803.50 802.02		139 140	5.520 5.580	779.33 779.72
21	0.800	888.57		81	3 200	802.41		141	5.600	778.60
22	0.840 0.880	861.62		82 83	3.240 3.280	802.40 800.17		142 143	5.640 5.680	778.59 776.46
23 24	0.880	880.50 857.45		84	3.280	797.71		144	5.720	770.40 770.10
25	0.960	857.39		85	3.320 3.360	798.52		145	5.720 5.760	779.19 779.63
21 22 23 24 25 26 27 28	1.000	854.14		86	3.400	794.98		148	5.800	776.34
27 28	1.040 1.080	851.98 854.58		87 88	3.440 3.480	794.91 792.68		147 148	5.840 5.880	776.82 774.71
29 30	1.120 1.160	852.07 850.23		89 90	3.520 3.580	793.86 792.39		149 150	5.920 5.960	775.94 778.14
30	1.160	850.23		90	3.580	792.39		150	5.960	778.14
31 32	1.200 1.240	847.29 850.48		91 02	3.600	789.22 791.38		151 152	6.000	778.05 779.05
32 33 34 35 36 37 38	1.280	845.98		92 93	3.640 3.680	789.70		152 153	6.040 6.080	775.32
34	1.320 1.380	845.80 845.73		94 95	3.720 3.760	788.52 786.72		154 155	6.120 6.160	775.78 777.57
38	1.400	843.18		96	3.800	785.51		158	6.200	778 21
37	1.440 1.480	843.47		97	3.840 3.880	784.42 782.93		157 158	6.240 6.280	779.60 778.53
		845.60		98	3.880			158	6.280	778.53
39 40	1.520 1.580	841.49 842.60		99 100	3.920 3.960	784.59 780.20		159 160	6.320 6.360	776.83 777.53
41	1.600	840.17		101	4.000	783.37		161	6.400	779.23
42 43	1.640 1.680	840.81 838.94		102 103	4.040 4.080	780.48 779.41		162 163	6.440 6.480	776.78 778.58
44	1.000				4.000	775.38			6.520	778.08
45	1.720 1.760	837.31 834.26		104 105	4.120 4.160	775.38 776.26		164 165	6.520 6.580	778.08 779.40
48 47	1.800 1.840	833.05 832.33		108 107	4.200	774.49 775.28		168 167	6.600 6.640	780.48 781.72
48	1.880	829.99		107	4.240 4.280	772.88		168	6.680	782.63
49	1.920 1.960	831.83 830.32		109	4.320 4.380	772.65 769.83		169 170	6.720 6.760	779.93
50 51	1.960 2.000	830.32 826.94		110 111	4.380 4.400	769.83 772.88		170 171	6.760 6.800	782.15 782.22
52	2.000	828.04		112	4.440	772.00				784 45
52 53	2.040 2.080	826.04 823.02		113	4.440 4.480	772.15 776.20		172 173	6.840 6.880	784.45 782.34
54 55	2.120 2.160	821.22 820.40		114 115	4.520 4.580	772.18 772.69 771.97		174 175	6.920 6.980	782.93 782.55
58	2.200	820.03		116	4.600	771.97		178	7.000	783.63
57 58	2.240 2.280	817.01		117	4.640 4.680	772.52 771.79		177 178	7.040 7.080	785.08 785.84
58 50	2.280	815.85 915.09		118	4.680	771.79 772 27		178	7.080	785.84 798.22
59 60	2.320 2.380	815.08 813.93		119 120	4.720 4.760	773.37 771.66		179 180	7.120 7.160	788.23 785.53
			-				- 1			

Painel aglomerado 25 % Corymbia 75% teca- doutorado Valter

QMS Density Profile System - v2.02 USB

Batch Summary Report - Scan Profile

Batch File: valter Date: May 08, 2020 Time: 13:22:25

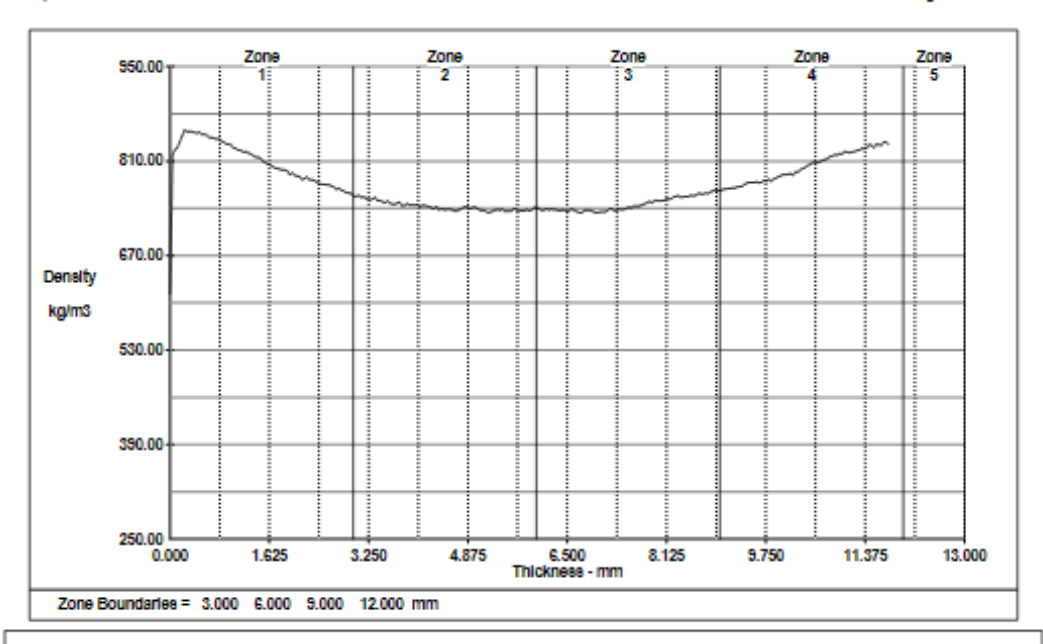
	Occupie.	valler								2 -52
	Operator:	valter		D.	ensity Analys	ric (kalm2)			Page:	3013
				<u>D</u>	ensity Analy:	sis (kgpina)				
Step NumbPosition Density			Step NumbP	osition Densi	itv	1	Step NumbPo	osition Densi	itv	
181	7.200	786.57		241	9.600	816.19		301	12.000	886.61
182	7.240	788.91		242	9.640	813.85		302	12.040	884.59
183	7.280	784.37		243	9.680	815.63		303	12.080	861.33
184	7.320	786.75		244 245	9.720	816.54				
185 188	7.380 7.400	787.99 787.88		245 248	9.760 9.800	812.72 814.48				
		788.45		247	9.840	816.17				
187 188	7.440 7.480	787.99		247 248	9.840 9.880	813.63				
189	7.520 7.580	786.06		249 250	9.920 9.960	815.37				
190 191	7.600	787.58 788.38		250 251	10.000	816.69 818.78				
192	7.640	783.19		257	10.040	816.97				
193	7.680	785.13		252 253	10.080	821.11				
194	7.720	784.03		254	10.120	819.89				
195 198	7.760 7.800	782.99 788.74		255 258	10.160 10.200	820.03 822.40				
197	7.840	788.04		257	10.240	823.19				
198	7.880	787.22		257 258	10.280	823.90				
199	7.920	787.03		259	10.320	823.64				
200 201	7.960 8.000	787.99 789.16		260 261	10.380 10.400	824.85 824.28				
202	8.040	790.57		262	10.440	825.58				
202 203	8.040 8.080	790.21		262 263	10.480	824.31				
204 205	8.120 8.160	790.31 791.40		264 265	10.520 10.580	824.82 829.51				
208	8.200	794.55		288	10.800	829.88				
207	8.240	794.57		267	10.640	830.57				
208	8.280	791.69		268	10.680	829.59				
209 210	8.320 8.360	794.07 792.02		269 270	10.720 10.760	831.26 833.06				
211	8.400	794.48		271	10.800	831.55				
212 213	8.440	794.79		272	10.840	838.70				
213	8.480	795.24		273	10.880	835.92				
214 215	8.520 8.560	794.52 799.11		274 275	10.920 10.980	836.48 838.86				
216	8.600	799.13		278	11.000	837.92				
217 218	8.640	798.72 798.52		277 278	11.040 11.080	842.07				
218	8.680					841.13				
219 220	8.720 8.760	801.95 802.64		279 280	11.120 11.160	838.75 843.21				
221	8.800	802.84		281	11.200	843.52				
222 223	8.840	802.93		282	11.240	847.60				
223	8.880	804.75		283	11.280	846.24 850.61				
224 225	8.920 8.960	808.33 804.69		284 285	11.320 11.380	850.72				
226	9.000	803.93		286	11.400	851.41				
227 228	9.040	808.20		287	11.440	854.82				
228	9.080 9.120	807.44 810.15		288 289	11.480	855.62 858.96				
229 230	9.160	808.76		290	11.520 11.580	862.17				
231 232 233	9.200	809.76		291	11.600	862.41				
232	9.240 9.280	808.26 809.15		292 293	11.640 11.680	860.23 864.88				
233	9.320	813.90		293 294	11.720	885.34				
235	9.380	811.34		295	11.760	865.01				
238	9.400	812.82		298	11.800	867.14				
237 238	9.440 9.480	813.17 811.31		297 298	11.840 11.880	886.65 889.74				
239		814.13		299		886.18				
239 240	9.520 9.560	813.97		300	11.920 11.960	869.79				
				l			- 1			

Painel aglomerado 100 % teca- doutorado Valter

QMS Density Profile System - v2.02 USB

Batch Summary Report - Scan Profile

Batch File: valter Operator: valter Date: May 08, 2020 Time: 13:47:33 Page: 1 of 3



Patob	Average	Doneite	Analysi	s (ka/m3)
Datelli	Average	Delisiti	MIIAIYSI	5 (MUHHIS)

Batch Average Density:	775.34
------------------------	--------

Zone Analysis	Zone 1	/Pos.	Zone 2	VPos.	Zone :	VPos.	Zone 4/Pos.	Zone	5/Pos.
Maximum Point Density: 8 Minimum Point Density: 5 Average Zone Density: 8	97.53	0.760	720.83	4.880	721.08	6.880	611.89 9.960	504.65	9.720

Ratio Analysis

Zone Avg. / Overall Avg.: 1.04 0.96 0.96 1.03 0.79
Zone 1 Avg. / Zone 5 Avg.: 1.32
(Zone 1 + Zone 5) / Overall Avg.: 1.83

Batch Analysis Parameters

Measured Panel Thickness: Target Weight: Measured Weight: Furnish Thickness: Press Temperature: Mill Number: Corimbya Press Load Number:	mm kg kg	Linear Resolution Step Size: Time To Thickness: Time to Decompression: Surface Moisture Content: Core Moisture Content: Average Sample Beam Length: Average Sample Height: Average Sample Thickness: Average Sample Weight:	% mm mm mm
Species Mix: Comments:			

Painel aglomerado 100 % teca- doutorado Valter

QMS Density Profile System - v2.02 USB

Batch Summary Report - Scan Profile

Batch File: valter Operator: valter Date: May 08, 2020 Time: 13:47:33 Page: 2 of 3

Step NumtPosition Density	Step Num	tPosition Density	ι	Step NumtPos	ition Densi	ty
1 0.000 613.49	61	2.400	779.31	121	4.800	741.65
2 0.040 818.77	62	2.440	776.96	122	4.840	742.78
2 0.040 818.77 3 0.080 827.50	63	2.480	778.52	123	4.880	741.10
4 0.120 830.24	64	2.520 2.560	775.38	124	4.920	740.34
		2.520		405		
5 0.160 838.60			775.43	125	4.980	741.53
6 0.200 847.70	68	2.800	775.12	126	5.000	741.68
7 0.240 856.30	67	2.840	773.68	127	5.040	739.80
8 0.280 853.84	68	2.680	772.27	128	5.080	737.21
9 0.320 854.44		2.720	768.17	129	5.120	737.73
10 0.380 853.88	70	2.760	770.44	130	5.160	738.74
11 0.400 852.74		2.800	767.31	131	5.200	733.59
12 0.440 851.97	72	2.840	766.69	132	5.240	735.08
13 0.480 853.08	73	2.880	763.45	133	5.280	735.97
14 0.520 849.67	74	2.920	762.98	134	5.320	737.94
15 0.580 850.14		2.980	762.36	135	5.380	738.47
						700.77
16 0.600 848.82		3.000	759.04	138	5.400	737.50
17 0.640 845.54	77	3.040	757.17	137	5.440	738.93
18 0.680 844.92	78	3.080	759.81	138	5.480	735.70
19 0.720 844.51	79	3.120	758.19	139	5.520	738.34
18 0.720 044.01	1 18	3.120	750.19			
20 0.760 842.90		3.160	757.38	140	5.580	735.80
21 0.800 843.45	81	3.200	755.68	141	5.600	737.76
22 0.840 839.90	82	3.240	753.98	142	5.640	739.91
22 0.840 839.90 23 0.880 838.62		3.280	752.88	143	5.680	737.67
23 0.000 030.02						
24 0.920 835.76 25 0.960 835.41	84	3.320	754.43	144	5.720	736.94
25 0.960 835.41	85	3.380	756.49	145	5.760	738.52
28 1.000 834.38	88	3.400	751.34	148	5.800	738.75
27 1.040 829.93		3.440	752.19	147	5.840	738.50
27 1.040 829.93 28 1.080 828.89						
28 1.090 828.89		3.480	749.80	148	5.880	738.73
29 1.120 826.48	89	3.520	748.88	149	5.920	738.12
29 1.120 826.45 30 1.160 826.81	90	3.580	751.20	150	5.980	741.20
31 1.200 823.12		3.600	747.64	151	6.000	740.92
31 1.200 023.12						
32 1.240 824.36	92	3.640	746.69	152	6.040	740.42
32 1.240 824.36 33 1.280 822.23	93	3.680	748.19	153	6.080	737.47
34 1.320 820.82 35 1.380 818.43	94	3.720	748.01	154	6.120	738.15
35 1.380 818.43	95	3.760	749.56	155	6.160	739.79
38 1.400 816.42		3.800	743.92	156	6.200	738.05
37 1.440 815.87 38 1.480 814.96	97	3.840	744.10	157	6.240	739.35
38 1.480 814.96	98	3.880	747.39	158	6.280	738.25
39 1.520 810.14		3.920	744.82	159	6.320	738.41
38 1.320 610.14		3.820				
40 1.560 808.11	100	3.980	745.63	160	6.360	738.92
41 1.600 805.82	101	4.000	745.02	161	6.400	737.14
42 1.640 804.91	102	4 040	745.64	162	6.440	738.18
43 1.680 802.62		4.040 4.080	742.67	163	6.480	736.98
44 1.720 800.13		4.120	744.24	164	6.520	735.99
45 1.760 799.05	105	4.160	744.82	165	6.560	738.69
46 1.800 798.26	108	4.200	743.62	188	6.600	738.49
			742.53			
47 1.840 798.75		4.240		167	6.640	738.21
48 1.880 797.33		4.280	741.13	168	6.680	734.71
49 1.920 795.47 50 1.960 790.07	109	4.320 4.380	739.89	169	6.720	733.28
50 1.980 790.07	110	4.380	742.92	170	6.780	735.68
51 2.000 792.81		4.400	738.16	171	6.800	
51 2.000 /92.81	111					737.52
52 2.040 789.35 53 2.080 788.28		4.440	740.01	172	6.840	737.54
53 2.080 788.28	113	4.480	738.52	173	6.880	737.29
54 2.120 787.29 55 2.160 782.99	114	4.520	738.28	174	6.920	735.50
55 2.120 101.28 55 2.400 702.00		4.020 4.500			0.820	
55 2.160 782.99		4.580	739.57	175	6.960	734.28
56 2.200 784.44		4.600	738.24	178	7.000	733.61
57 2.240 786.70	117	4.640	737.67	177	7.040	735.15
58 2.280 782.79	118	4.680	738.04	178	7.080	734.83
59 2.320 782.63	119	4.720	737.93	179	7.120	735.24
60 2.380 781.43	120	4.760	738.69	180	7.160	737.08
	I					
	-					

Painel aglomerado 100 % teca- doutorado Valter

QMS Density Profile System - v2.02 USB

Batch Summary Report - Scan Profile

Batch File: valter Operator: valter Date: May 08, 2020 Time: 13:47:33 Page: 3 of 3

		_			
Step NumbPosition		Step NumtPo		_	Step NumtPosition Density
181	738.69 737.04 737.04 737.04 737.05 737.05 737.95 738.62 738.47 738.62 741.17 20 741.72 30 741.72 30 741.28 30 741.72 30 744.08 30 744.08 30 748.19 40 750.54 30 748.49 30 751.89 30 758.83 30 759.88 30 759.17 30 769.17 30 769.18 30 769.38 30 769.38 30 769.38 30 769.38 30 769.38 30 769.38 30 769.38 30 769.38 30 769.98 30 769.98 30 769.98 30 769.98 30 769.98 30 769.97 30 770.22 30 770.72 49 772.64 30 776.13 40 777.58 30 778.70	241 243 244 245 248 249 247 248 249 250 251 252 253 254 255 256 257 258 259 260 261 262 263 264 265 267 268 267 268 270 271 272 273 274 275 278 279 280 281 282 283 284 285 289 290 291 292 293 294 295	9.600 9.640 9.680 9.720 9.780 9.780 9.840 9.820 9.820 9.920 10.000 10.120 10.120 10.120 10.240 10.280 10.320 10.320 10.320 10.440 10.480 10.580 10.680 10.680 10.720 10.780 10.840 10.840 11.120 11.120 11.120 11.120 11.120 11.120 11.120 11.120 11.1300 11.1400 11.120 11.1400 11.1500 11.1500 11.1600 11.1600 11.1600 11.1600 11.1780 11.1780 11.1800	779.61 777.89 7781.59 7781.59 780.52 783.16 783.50 785.30 785.30 787.29 789.16 790.32 790.05 791.32 791.50 789.46 794.87 794.06 794.87 794.08 803.95 805.94 808.24 807.09 803.95 805.94 808.28 809.41 811.47 812.64 813.95 816.58 817.92 819.48 819.22 821.71 820.52 824.68 823.51 822.63 823.79 825.96 823.79 825.96 823.79 825.96 823.79 834.53 833.62 833.62 833.62 833.62	